

**T.C.
SAKARYA ÜNİVERSİTESİ
FEN BİLİMLERİ ENSTİTÜSÜ**

**TÜRKİYE VE CİVARININ KITASAL KABUK
KALINLIĞI DEĞİŞİMİNİN İNCELENMESİ**

YÜKSEK LİSANS TEZİ

Gürbüz KAYHAN

Enstitü Anabilim Dalı : JEOFİZİK MÜHENDİSLİĞİ

Tez Danışmanı : Prof. Dr. Levent GÜLEN

Ocak 2018

T.C.
SAKARYA ÜNİVERSİTESİ
FEN BİLİMLERİ ENSTİTÜSÜ

TÜRKİYE VE CİVARININ KITASAL KABUK
KALINLIĞI DEĞİŞİMİNİN İNCELENMESİ

YÜKSEK LİSANS TEZİ

Gürbüz KAYHAN

Enstitü Anabilim Dalı : JEOFİZİK MÜHENDİSLİĞİ

Bu tez 24.01.2018 tarihinde aşağıdaki jüri tarafından oybirliği / oyçokluğu ile kabul edilmiştir.



Prof. Dr.
Levent GÜLEN
Jüri Başkanı



Prof. Dr.
Ali PINAR
Üye



Prof. Dr.
Gündüz HORASAN
Üye

BEYAN

Tez içindeki tüm verilerin akademik kurallar çerçevesinde tarafımdan elde edildiğini, görsel ve yazılı tüm bilgi ve sonuçların akademik ve etik kurallara uygun şekilde sunulduğunu, kullanılan verilerde herhangi bir tahrifat yapılmadığını, başkalarının eserlerinden yararlanılması durumunda bilimsel normlara uygun olarak atıfta bulunulduğunu, tezde yer alan verilerin bu üniversite veya başka bir üniversitede herhangi bir tez çalışmasında kullanılmadığını beyan ederim.

Gürbüz KAYHAN

24.01.2018

TEŐEKKÜR

Yüksek lisans eğitiminin boyunca değerli bilgi ve deneyimlerinden yararlandığım, her konuda bilgi ve desteğini aldığım, araştırmanın planlanmasından yazılmasına kadar tüm aşamalarında yardımlarını esirgemeyen, teşvik eden ve beni yönlendiren değerli danışman hocam Prof. Dr. Levent GÜLEN'e teşekkürlerimi sunarım.

Ayrıca bu çalışmanın maddi açıdan desteklenmesine olanak sağlayan Sakarya Üniversitesi Bilimsel Araştırma Projeleri (BAP) Komisyon Başkanlığına (Proje No: 2017-50-01-058) teşekkür ederim.

İÇİNDEKİLER

TEŞEKKÜR	i
İÇİNDEKİLER	ii
SİMGELER VE KISALTMALAR LİSTESİ	iv
ŞEKİLLER LİSTESİ	v
TABLOLAR LİSTESİ	vi
ÖZET	vii
SUMMARY	viii
BÖLÜM 1.	
GİRİŞ	1
BÖLÜM 2.	
DÜNYANIN KABUK YAPISI	2
BÖLÜM 3.	
GLOBAL KABUK ARAŞTIRMALARI	4
BÖLÜM 4.	
ÇALIŞMADA KULLANILAN VERİLERİN ELDE EDİLDİĞİ	
YÖNTEMLER	7
4.1. Alıcı Fonksiyonları	7
4.2. Sismik Kırılma ve Yansıma	7
4.3. Gravite	8
4.4. Yüzey Dalgaları	9
4.5. Sismik Tomografi	10
4.6. Manyetotellürik	11

BÖLÜM 5.	
TÜRKİYE VE CİVARINDA YAPILAN KABUK ÇALIŞMALARI	12
5.1. Zaman Uzaklık Grafikleri	12
5.2. Alıcı Fonksiyonları	13
5.3. Sismik Kırılma ve Yansıma	21
5.4. Gravite	27
5.5. Yüzey Dalgaları	31
5.6. Sismik Tomografi	34
5.7. Manyetotellürik	36
BÖLÜM 6.	
VERİLERİN TOPLANMASI VE AYIKLANMASI	38
BÖLÜM 7.	
KABUK KALINLIĞI HARİTALARININ OLUŞTURULMASI	39
7.1. GMT (Generic Mapping Tools) yazılımı	39
7.1.1. Nearneighbor (en yakın komşu) komutuyla kabuk haritaları	40
7.1.2. Surface (sürekli eğrilik) komutuyla kabuk haritası	44
BÖLÜM 8.	
SONUÇLAR	45
KAYNAKLAR	54
EKLER	76
ÖZGEÇMİŞ	210

SİMGELER VE KISALTMALAR LİSTESİ

B	: Batı
CCP	: Ortak dönüşüm noktası
D	: Doğu
GD	: Güney Doğu
GMT	: Generic Mapping Tools
ISC	: International Seismological Center
KAF	: Kuzey Anadolu Fayı
KB	: Kuzey Batı
km	: kilometre
L	: Laplace operatörü
MT	: Manyetotellürik
T	: Gerilme faktörü

ŞEKİLLER LİSTESİ

Şekil 2.1. Kabuk Yapısı.....	3
Şekil 3.1. Türkiye Kabuk Kalınlığı Haritası	5
Şekil 7.1. 0.2°×0.2° Moho derinlik haritası.	41
Şekil 7.2. 0.3°×0.3° Moho derinlik haritası.	41
Şekil 7.3. 0.4°×0.4° Moho derinlik haritası.	42
Şekil 7.4. 0.5°×0.5° Moho derinlik haritası.	42
Şekil 7.5. Türkiye'nin 0.2°×0.2° çözünürlüklü Moho derinlik haritası.....	43
Şekil 7.6. Surface komutuyla oluşturulan Moho derinlik haritası.....	44
Şekil 8.1. Türkiye ve Civarının 0.2°×0.2° Moho derinlik haritası.	45
Şekil 8.2. A-A' profili. Üstteki kesit topografya göstermektedir.	46
Şekil 8.3. B-B' profili. Üstteki kesit topografya göstermektedir.....	46
Şekil 8.4. C-C' profili. Üstteki kesit topografya göstermektedir.....	47
Şekil 8.5. D-D' profili. Üstteki kesit topografya göstermektedir.	47
Şekil 8.6. E-E' profili. Üstteki kesit topografya göstermektedir.	48
Şekil 8.7. F-F' profili. Üstteki kesit topografya göstermektedir.....	48
Şekil 8.8. G-G' profili. Üstteki kesit topografya göstermektedir.	49
Şekil 8.9. H-H' profili. Üstteki kesit topografya göstermektedir.	49
Şekil 8.10. I-I' profili. Üstteki kesit topografya göstermektedir.....	50
Şekil 8.11. J-J' profili. Üstteki kesit topografya göstermektedir.....	50
Şekil 8.12. K-K' profili. Üstteki kesit topografya göstermektedir..	51
Şekil 8.13. L-L' profili. Üstteki kesit topografya göstermektedir.	51
Şekil 8.14. M-M' profili. Üstteki kesit topografya göstermektedir..	52
Şekil 8.15. N-N' profili. Üstteki kesit topografya göstermektedir.	52

TABLolar LİSTESİ

Tablo 8.1. Ayıklanmış Veriler.....	76
------------------------------------	----

ÖZET

Anahtar kelimeler: Kabuk kalınlığı, Türkiye, Doğu Akdeniz, Karadeniz, Yunanistan, Balkanlar, Kafkaslar, Orta Doğu, İran, Moho Derinliği, alıcı fonksiyonları, sismik kırılma, yüzey dalgaları, sismik tomografi, gravite, manyetik, manyetotellürik, Generic Mapping Tools

Türkiye ve civarında yapılan 240 adet kıtasal kabuk çalışmalarına ait alıcı fonksiyonları, sismik kırılma, yüzey dalgaları, sismik tomografi, gravite ve manyetotellürik yöntem ait veriler toplanmıştır. Bu verilerden ayıklanmış 2991 tane veri kullanılmıştır. Bu veriler: 682 alıcı fonksiyonu, 377 sismik kırılma, 301 yüzey dalgaları, 1308 gravite, 55 sismik tomografi, 147 alıcı fonksiyonu ve yüzey dalgaları ortak çözümü, 64 sismik kırılma, alıcı fonksiyonları ve gravite ortak çözümü, 3 sismik kırılma ve gravite ortak çözümü, 4 alıcı fonksiyonları ve Poison oranı ortak çözümü, 43 gravite ve manyetik ortak çözümü ve 7 sismik kırılma, gravite ve manyetik ortak çözümü verileri kullanılmıştır.

Veri ayıklanırken bir bölgede çok çeşitli yöntemlerle yapılmış veri olduğundan güvenilirliği yüksek olan yöntemle elde edilen veri tercih edilmiştir. Örneğin bir bölgede sismik kırılma, alıcı fonksiyonları ve gravite ortak çözümü yapılmışsa öncelik daha yüksek güvenilirliğe sahip olduğu için bu yöntemle elde edilen verilere verilmiştir. Yüksek doğruluk sağlaması için ortak çözüm yöntemiyle yapılan kabuk araştırmalarına öncelik verilmiştir. Başka ortak çözümü yöntemiyle veri olmaması durumunda sırasıyla sismik kırılma, alıcı fonksiyonları, yüzey dalgaları, sismik tomografi ve gravite yöntemleriyle elde edilen veriler kullanılmıştır. Bir istasyonda birden fazla araştırmacı tarafından alıcı fonksiyonları yöntemiyle yapılan kabuk araştırmalarında, kaç tane alıcı fonksiyonu kullandığı ve hangi algoritmanın kullanıldığına bakılarak ayıklamalar yapılmıştır. Ayıklamalar tamamlandıktan sonra GMT (Generic Mapping Tools) programıyla kontur haritaları oluşturarak kesitler alınmıştır. Böylece bölge için ilk kez yüksek çözünürlüğe sahip kabuk kalınlığı değişiminin ayrıntılarını gösteren harita ve bazı profiller boyunca elde edilen kesitler oluşturulmuştur. Türkiye'nin Marmara bölgesinde Moho derinliği 28-34 km, Karadeniz bölgesi 32-44 km, Ege bölgesi 24-36 km, Akdeniz bölgesi 24-40 km, İç Anadolu bölgesi 34-40 km, Güney Anadolu bölgesi 32-42 km ve Doğu Anadolu bölgesi 38-46 km ve Kıbrıs'ta ise 26-30 km arasında Moho derinliği değişmektedir. Marmara Denizinde 26-30 km, Karadeniz 20-42 km, Akdeniz 14-34 km ve Ege Denizinde 20-32 km arasında değişen Moho derinlikleri bulunmuştur.

INVESTIGATION OF CONTINENTAL CRUSTAL THICKNESS VARIATIONS IN TURKEY AND SURROUNDING REGIONS

SUMMARY

Keywords: Crustal thickness, Turkey, Eastern Mediterranean, Black Sea, Greece, Balkans, Caucasus, Middle East, Iran, Moho Depth, receiver functions, seismic refraction, surface waves, seismic tomography, gravity, magnetic, magnetotelluric, Generic Mapping Tools

The continental crust studies carried out in Turkey and surrounding regions were examined and the crustal thickness data obtained by receiver functions, seismic refraction, surface waves, seismic tomography, and gravity studies were compiled out of 240 studies. A total of 2991 reliable crustal thickness data were obtained (682 receiver functions, 377 seismic refraction, 301 surface waves, 1308 gravity, 55 seismic tomography, 147 receiver function and surface waves joint inversion, 64 seismic data (seismic refraction, receiver functions and gravity inversions, 3 seismic refraction and gravity inversion, 4 receiver functions and Poisson ratio inversion, 43 magnetic and gravity inversion, 7 seismic refraction, gravity and magnetic inversion data).

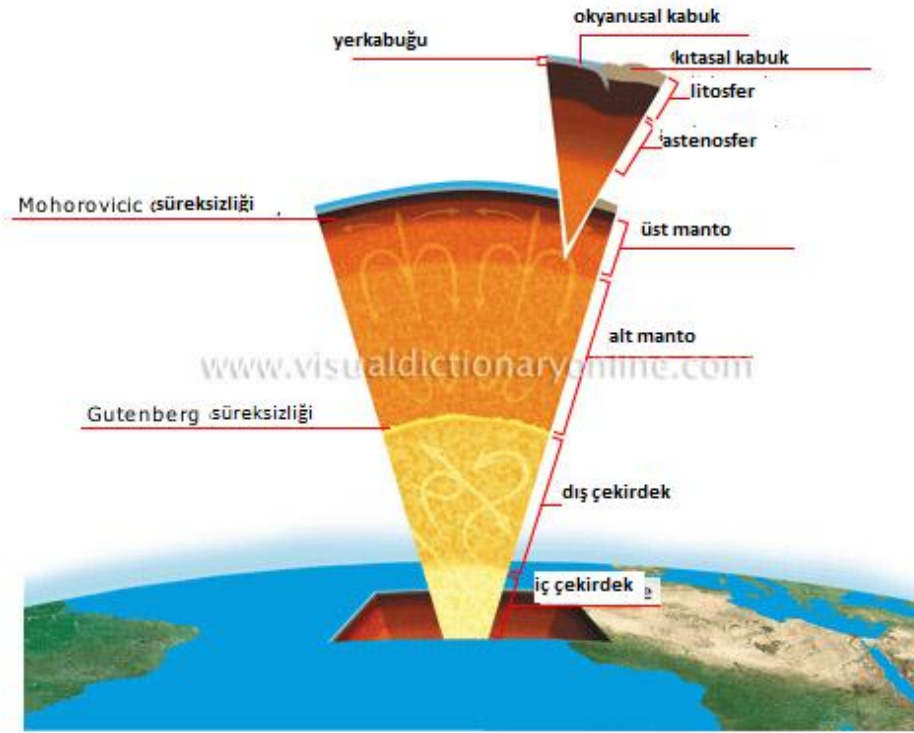
When extracting data, data obtained by a method with higher reliability is preferred because there exist data obtained by various geophysical methods in a given region. For example, if seismic refraction, receiver function, and gravity joint solution data exist in a region this data set was chosen, because of its higher reliability and the associated smaller error. For the high accuracy, crust studies with a common solution method have been given priority. Seismic refraction, receiver functions, surface waves, seismic tomography and gravity methods are used in case of no data exist that is obtained by other joint solution methods. In one case, more than one researcher performed extraction by looking at how many receiver functions are used and which algorithm is used in crust researches made by receiver functions. After the data extractions are completed, crustal thickness contour maps generated with GMT (Generic Mapping Tools) program. Thus, for the first time we have generated a map and crustal sections along a number of profiles that show the variations of crustal thickness with high resolution in Turkey and surrounding regions. In the Marmara region of Turkey, Moho depth is 28-34 km, Black Sea region is 32-44 km, Aegean region is 24-36 km, Mediterranean region is 24-40 km, Central Anatolia region is 34-40 km, South Anatolia region is 32-42 km and East Moho depth varies between 38-46 km in the Anatolian region and 26-30 km in Cyprus. Moho depths ranging from 26-30 km in the Marmara Sea, 20-42 km in the Black Sea, 14-34 km in the Mediterranean and 20-32 km in the Aegean Sea.

BÖLÜM 1. GİRİŞ

Yerbilimlerinde kabuk arařtırmaları birçok açıdan çok önemlidir; Örneğın Jeodinamiğın anlaşılması için (levha hareketleri, dağ oluşumu, volkanlar, depremler ve fay oluşumu gibi) kabuk yapısının ayrıntılarının bilinmesi gerekir.. Ayrıca mantonun yapısınının arařtırılmasında kullanılan sismik tomografi yönteminde kabuk düzeltmelerinin yapılması gerekmektedir. Kabuk arařtırmaları nükleer patlatmaların izlenmesi için de önemlidir. Nükleer patlatmalarda hassas lokasyon saptanması ve patlayıcı gücünün anlaşılması için ayrıntılı olarak kabuk yapısının bilinmesi gereklidir. Deprem lokasyonlarının hassas tayini için de kabuk yapısı büyük öneme haizdir. Yer kabuğunun kalınlığı ve yapısının bilinmesi yeraltı zenginliklerinin arařtırmasında önemli bilgiler sağlar.

BÖLÜM 2. DÜNYANIN KABUK YAPISI

Yeryüzü ile Moho Süreksizliği arasında kalan bölüm yer kabuğu olarak tanımlanmaktadır. Yerkabuğu kıtasal kabuk ve okyanusal kabuk diye iki ayrı kısımda incelenmektedir. Okyanusal kabuk denizin tabanı ile Moho Süreksizliği arasında kalan kısımdır. Arzın yaklaşık 30-60 km ve 2900 km derinliklerinde bulunan iki ana süreksizlikten sismik dalgalar etkilenmektedir. Mohorovičić süreksizliği yaklaşık 30-60 km derinlikte bulunan ve kabuk ile manto arasındaki sınırını belirlemektedir. Mohorovičić süreksizliği yerküreyi kendi içinde kabuk ve manto olarak ayırmaktadır. Ayrıca, kabuk içinde bazı lokal veya bölgesel büyüklükte olan süreksizlikler ve düzensizlikler vardır (Şekil 2.1.). Manto içinde hızın derinlikle düzenli artmasına rağmen bazı yerlerde değişen yerler vardır; bu yerler ikincil süreksizlikler gibi davranırlar. Çekirdek iki tür bölünmeden oluşur; iç çekirdek ve dış çekirdek fiziksel karakterleri bakımından oldukça farklıdırlar. Mohorovičić süreksizliğinin seviyesi değişebilir; kıtasal bölgelerde yaklaşık 30 km ile 70 km arasında değişen derinliklerde olabileceği gibi, okyanusal bölgelerde yaklaşık 5 – 10 km ye kadar inmektedir. Telesismik olaylar sayesinde hesaplanan sismik dalgaların ortalama varış zamanlarının değişimleriyle kısmen açıklanmaktadır (Richter, 1958).



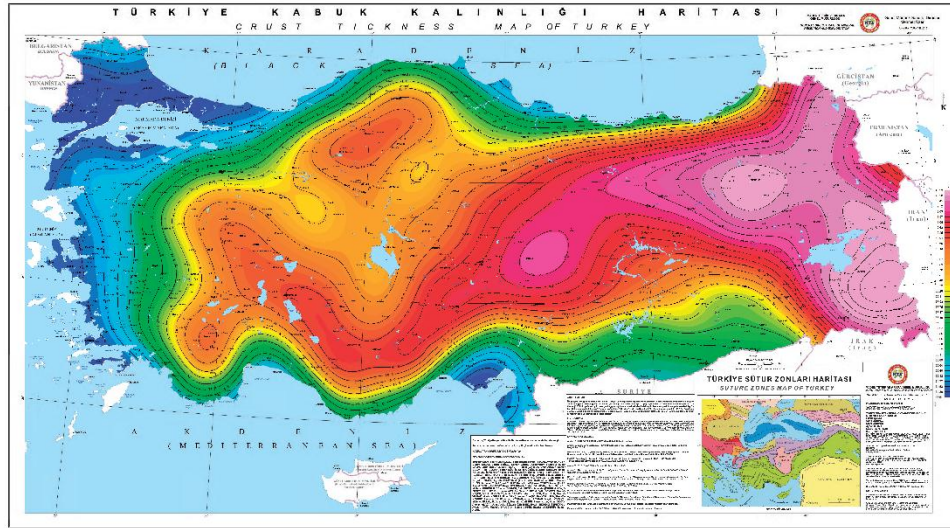
Şekil 2.1. Kabuk Yapısı (<http://www.visualdictionaryonline.com/images/earth/geology/structure-earth.jpg> düzenlenmiştir.)

BÖLÜM 3. GLOBAL KABUK ARAŞTIRMALARI

Mooney ve ark. (1998) Crust 5.1 adında $5^{\circ} \times 5^{\circ}$ küresel Moho derinlik haritası oluşturmuştur. Bu harita 1D profil modelinden türetilen 7 katmandan oluşan ve V_P , V_S ve rho parametreleri hesaplanmıştır. Bassin ve ark. (2000) Crust 5.1 haritasını geliştirerek Crust 2.0 adında $2^{\circ} \times 2^{\circ}$ küresel kabuk haritası oluşturmuştur. Bu harita 1D modelden türetilmiş 7 katmandan oluşan ve V_P , V_S ve rho parametreleri bulunmuştur. Haritada Tibet platosu ve And dağlarında 70 km'lik Moho derinliği gözükmektedir. Laske ve ark. (2013) küresel Moho haritasını geliştirerek Crust 1.0 adında $1^{\circ} \times 1^{\circ}$ küresel Moho haritası oluşturmuştur. Bu haritada 8 katmanda oluşan ve V_P , V_S ve rho parametreleri hesaplanmıştır. Haritada Tibet platosu, Rusya'nın iç kısımlarında, And dağları ve Kuzey Amerika'nın iç kısımlarında 55 km'den fazla Moho derinlikleri gözükmektedir. Türkiye'de ise 30-45 km arasında Moho derinlikleri gözükmektedir.

Canitez (1962) Türkiye'de ilk defa kabuk kalınlığı çalışması yapmıştır. Bu çalışmada Kuzey Anadolu Fay zonunda gravite anomalileri ve sismolojik yöntemi kullanmıştır. Kuzey Anadolu Fay zonunun kuzeyinde ince, güneyinde ise daha kalın kabuk olduğunu bulmuştur. Ayrıca Anadolu için ortalama kabuk kalınlığının 31 km olduğunu öne sürmüştür. Özelçi (1973) Türkiye'de ilk defa Rejyonel Bouguer anomali haritası oluşturmuştur. Bu haritaya bakarak kalitatif olarak Türkiye'de Doğu Anadolu'dan Batı'ya doğru gidildiğinde Moho derinliğinin azalmakta olduğu ve Türkiye'nin iç kısımlarında Moho derinliğinin sahil kesimlerine oranla daha fazla olduğu anlaşılabilir. Arslan ve ark. (2010) MTA'nın Türkiye rejyonel gravite haritaları projesi kapsamında gravite verileri kullanarak Türkiye kabuk kalınlığı haritası oluşturmuştur. Gravite verilerini kullanarak Bouguer, serbest hava ve izostazi haritaları oluşturulmuştur. Bu haritalar yükseklikle ilişkilendirilmiş ve ilişki katsayıları hesaplanmıştır. İlişki katsayısı +0.65 ile en iyi uyumu Bouguer verileri vermiştir.

Türkiye kabuk kalınlığı haritası oluşturulurken Bouguer haritası ele alınmıştır. Bu haritaya göre Türkiye'deki kabuk kalınlığı Doğu Anadolu'dan batı'ya doğru 50 km'den başlayarak 31.4 km'ye kadar incelmektedir (Şekil 3.1.).



Şekil 3.1. Türkiye Kabuk Kalınlığı Haritası (Arslan, 2012)

Seber ve ark. (2001) Ortadoğu ve Kuzey Afrika bölgesi için yayınlanmış Moho derinlik ölçümlerinin toplanması, entegrasyonu ve interpolasyonu ile Moho derinlik haritası oluşturmuş ve doğruluğu için 3B gravite tepkisi hesaplanarak karşılaştırılmıştır. Tesauro ve ark. (2008) Batı ve Orta Avrupa ve çevresi için sismik yansıma, kırılma ve alıcı fonksiyonları çalışmalarından oluşan veriler kullanarak gridleme yöntemiyle EuCRUST-07 adında model oluşturmuştur. Grad ve ark. (2009) Avrupa plakasında 250'den fazla sismik profil, yüzey dalgalarından elde edilen 3 boyutlu modeller, alıcı fonksiyonları, sismik veya gravite verilerinden yararlanarak Moho derinlik haritası oluşturmuştur. Bu haritada 10-60 km arasında Moho derinlik değerlerine ulaşılmıştır. Baranov (2010) Orta, Güney Asya ve çevresi için depremler ya da patlamalar tarafından oluşturulan yüzey dalgalarının yanı sıra sismik yansıma ve kırılma verilerini analiz ederek $1^{\circ} \times 1^{\circ}$ çözünürlüklü haritalar elde etmiştir. Molinari ve Morelli (2011) Avrupa levhasında önceden yapılan bütün küresel, bölgesel ve yerel modellerin verilerini birleştirerek EPcrust modeli oluşturmuştur. Bu çalışmada Moho derinliği 10-50 km arasında değişmektedir. Molinari ve ark. (2012) Orta ve Güney Avrupa'da son 20 yılda yapılmış olan sismik kırılma çalışmalarını kullanmış, 37 tane 2D sismik hattı ele almış ve EPcrust modeli arkaplan kullanarak Moho derinlik haritası

oluřturmuřtur. Artemieva ve Thybo (2013) EUNaseis modeliyle Avrupa, Grönland, İzlanda, Svalbard, Avrupa Arktik rafi ve Kuzey Atlantik Okyanusunda 650 yayından alınan sadece sismik verileri kullanarak Moho derinlięi ve kabuk yapısı oluřturmuřtur.

Bu alıřmanın amacı, son yıllarda yapılan kabuk arařtırmaları ile önemli ölçüde artan kabuk kalınlık verilerini derleyerek Türkiye ve civarı için yüksek özünürlüęe sahip bir kabuk kalınlıęı (Moho derinlięi) haritasının elde edilmesidir.

BÖLÜM 4. ÇALIŞMADA KULLANILAN VERİLERİN ELDE EDİLDİĞİ YÖNTEMLER

4.1. Alıcı Fonksiyonları

Alıcı fonksiyonları kabuk, üst manto ve S dalgası hız yapısını belirlemek üzere kullanılan etkili yöntemlerden birisidir (Cassidy ve Ellis, 1993; Mangino ve ark., 1999; Darbyshire ve ark., 2000; Du ve Foulger, 2001). Alıcı fonksiyonlar üç bileşenli sismogramlardan hesaplanır. Dalga formu hız süreksizliklerinde P-fazından S-fazına dönüşmüş dalgalardan oluşmaktadır. Bu dönüşmüş Ps fazlarının genliği, varış zamanı ve polaritesi süreksizliğin geometrisine, P dalgası geliş açısı ve ışın parametresine duyarlıdır. Ps fazının varış zamanı hız-derinlik yapısına duyarlıdır. Genliği ise sınırdaki S-dalga hızı karşıtlığının büyüklüğüne bağlıdır. (Ammon ve ark., 1990).

Üç bileşenli geniş bant sayısal veri modellenerek istasyon altındaki S dalgası hız yapısını alıcı fonksiyonların modellenmesiyle yapılmaktadır (Langston, 1979; Owens ve Zandt, 1985; Gurrola ve ark., 1995; Özalaybey ve ark., 1997; Sandvol ve ark., 1998). Genliklerinin ve zamanlarının modellenmesi kabuk yapısı ve manto hakkında bilgiler sunar. (Ammon ve ark., 1990).

Üç bileşen bir sismik istasyonda kaydedilen uzak-alan P dalga formları deprem kaynağı, kaynak çevresindeki yer yapısı, kabuktaki hız dağılımı, Moho derinliği, alıcı ile manto yayılma etkilerini içeren bilgileri sunmaktadır (Cassidy, 1992).

4.2. Sismik Kırılma ve Yansıma

Sismik kırılma ve yansıma yöntemleri deprem sismolojisinden doğmuştur. Sismik yöntemde kullanılan dalgaları oluşturan kaynak kontrollü kaynaktır. Sismik dalgaları üreten kaynağın kontrollü, istenilen yerden istenilen ölçüde ve zamanda

kullanılabilmesi, tekrarlanabilir olması ve kaynak ile alıcı arasındaki uzaklığın deprem sismolojisine oranla çok daha küçük olması en önemli farklılıklarıdır (Beyhan, 2013).

Sismik yansıma, sismik kırılma çalışmalarından sonra kullanılmaya başlanmıştır. 1912'de Gutenberg, arzın çekirdeği ile ilgili araştırmalar yaparken, deprem dalgalarının kırılmasından yararlanmıştır. Mohorovicic, kendi adıyla anılan ve yer kabuğu ile üst manto arasındaki süreksizliği temsil eden kesimin araştırılmasında kırılma çalışmasını kullanmıştır. Meksika'da, 1923 yılında petrol araştırmaları için sismik kırılma yöntemi kullanılmıştır. İlk sismik yansıma çalışması, 1928 Amerika'da Oklahoma'da antiklinal yapıların tespit edilmesinde kullanılmıştır (Beyhan, 2013).

Sismik yansıma yönteminde aşağıya doğru giden dalgalar sınırdaki büyük ölçüde yansyarak yeryüzüne dönerler ve kaynaktan yakın uzaklıklarda kayıt edilirler. Kırılma yönteminde de aşağıya doğru giden dalgalar sınırdaki yön değiştirir ve kaydedilir (Beyhan, 2013).

4.3. Gravite

Gravite kavramı her ne kadar 1600'lü yıllar ile, yani Newton dönemi ile başlarsa da petrol gibi ekonomik kaynakların aranmasında gravite yöntemi uygulaması 1920 yılında başlamıştır (Keçeli, 2009).

Gravite yöntemi, yerçekimi alanı nedeniyle ivmenin ölçülmesini içerir. Gravite yöntemi yeraltındaki farklı yoğunluktaki cisimlerin saptanmasına olanak sağlar. Hidrokarbon aramalarında ve kabuk yapısı çalışmalarında yaygın olarak kullanılan bir yöntemdir. (Tezcan, 2008).

Gravite yöntemi yer kabuğu içindeki yoğunluk değerlerinin farklı olmasından dolayı kütle çekimi farklılık değerlerini ölçerek tespit eden, kütle çekim değerlerinin haritalanmasında, tespit edilen kütlenin şeklini, derinliğini, yoğunluğunu ve rezervini saptayan bir jeofizik yöntemidir. Gravite yöntemi, diğer yöntemlerden daha ekonomik

ve pratik bir yöntem olması sebebiyle petrol ve maden arařtırmalarında yardımcı ve ağır metalik madenlerin arařtırmasında ise direkt yöntem olarak kullanılmaktadır (Keçeli, 2009).

4.4. Yüzey Dalgaları

Yüzey dalgaları ile ilk çalıřmalar Lord Rayleigh (1885), Lamb (1903) ve daha sonra bunları izleyen A.E.H. Love (1911) tarafından yapılmıřtır. Yerkabuğunun yapısının saptanmasında Gutenberg (1926) tarafından yüzey dalgaları dispersiyon verileri kullanılmıřtır (Sayıl, 1998).

Yüzey dalgaları çeřitlerinin isimleri A.E.H. Love ve Lord Rayleigh'in isimlerinden türetilmiř olup Love (L) ve Rayleigh (R) dalgalarıdır. Rayleigh dalgası tabakalı veya yarı sonsuz bir ortamın yüzeyinde oluřur ve tanecik hareketi yayılma dođrultusunu içine alan düşey düzlemlle sınırlıdır. Yüzeydeki hareket ters yönlü bir elips çizer. Düşey bileřen sismograflarında kaydedilirler. Love dalgaları ise, kabuğun içi ile yeryüzü arasındaki yansımaların defalarca tekrarlanmasıyla oluřur. Yüzey dalgalarının oluřumu için tabakalı bir ortama gereksinim vardır (Aki ve Richards, 1980).

Rayleigh dalgaları tabakalı yapıya sahip olan yer içerisinde elastik özelliklerin deđiřmesiyle dispersiyon gösterirler. Love dalgaları yatay bileřen sismograflarında kaydedilirler. Tabakalı bir ortamda oluřtukları için hız deđiřimi olacađından Love dalgaları daima dispersiyon özelliđi gösterirler. Bir sismograma bakıldıđında sırasıyla P, S, Love ve Rayleigh dalgaları görülebilir. Kayıt süresi depremin büyüklüğüne bađlıdır. Bu dalgalar için iki tür hız söz konusu olmaktadır. Bunlar faz hızı ve grup hızlarıdır. Grup ve faz hızının her ikisi de frekansın veya periyodun fonksiyonudur (Şerif, 2004).

10-200 sn periyot aralıđındaki yüzey dalgası kayıtları, yer kürenin yapısı ve sismik kaynak mekanizması hakkında önemli bilgiler içermektedir. Yüzey dalgalarının faz ve

grup hızları ve yerin soğurma özelliklerinden yararlanılarak yer kabuğu ve üst manto yapısı araştırılır. Uzak depremlerin odak derinliklerinin belirlenmesinde ve ayrıca kaynak spektrumları ve yayılım modellerinden sismik moment ve odak mekanizması bulunmasında yüzey dalgalarından yararlanılmaktadır. Ayrıca yer altı patlatmalarının depremlerden ayırt edilmesinde de önemli veriler sağlarlar (Sayıl, 1998).

4.5. Sismik Tomografi

Sismik Tomografi yönteminin temeli 1960'lı yıllarında oluşturulmuştur. İlk başta bölgelendirme adı verilerek kullanılan yöntemdir. Yüzey dalgaları, belirli bir alanın altındaki yapının bir boyutlu yerel karakterizasyonu için analiz edilmekteydi. Yüzey dalgalarının seyahat süresi anomalileri hesaplanması ve bu anomaliler ışın yolu boyunca eşit olarak dağıtılması için simetrik bir yer modeli referans alınmıştır (Lay ve Wallace, 1995)

Tomografi, ters çözüm problemi olarak bilinir. Bir bölge içinde yayılan enerjinin ölçülmesi, bu enerjinin genlik, seyahat zamanı ve benzeriyle ilgili bölgenin hız, yoğunluk, iletkenlik gibi benzeri verilerin elde edilmesi tomografinin temelini oluşturur (Turhan, 2008).

Sismik tomografi yöntemi sismik dalgaların, deprem kayıt istasyonlarına varış zamanları ve hız yapısı başlangıç modelinden hesaplanan varış zamanları arasındaki farklarının belirlenmesine dayanmaktadır. Sismik tomografi, görüntülenecek bölge civarında alıcılar ve kaynakların uygun dağılımının bulunmasını gerektirir. Bunun nedeni, hız değerlerinin hesaplanacağı blokların sayısının gözlem sayısına doğrudan bağlı olmasıdır. Sismik tomografide iki metot vardır. Bunlar lokal ve global metotlardır. Lokal metotlarda belirli bir bölgenin altındaki yerçi yapısı görüntülenirken, global metotlarda tüm Dünyanın iç yapısı görüntülenebilir (Koca, 2005).

4.6. Manyetotellürük

Manyetotellürük (MT) yöntem eski zamanlardan beri bilinen Jeofizik mühendisliğinin ana yöntemlerinden biridir. Telford ve ark., (1976)'da belirtildiği gibi Romalılarından beri varlığı bilinen ve Roman tanrısı Tellus'un ismi verilen yerküre üzerindeki büyük ölçekli doğal yer akımları ilk kez 1847 yılında İngiltere'de Barlow tarafından İngiliz telgraf sistemi çalışmaları esnasında gözlenmiştir.

Manyetotellürük olaylar; Arzın etrafını saran atmosfer, iyonosfer ve manyetosfer katmanlarından oluşan ve çok çeşitli değişimlerin yerin manyetik alanında tetiklediği hadiselerdir. (Özürkan ve Ulugergerli, 2005).

Manyetotellürük yöntem, genel olarak çok alçak frekans, ekstra alçak frekans ve ultra alçak frekans aralığındaki frekanslarda oluşan elektromanyetik alan değişimleridir. Kuramsal olarak incelediğinden 10^{-5} - 10^{+5} Hz frekans aralığı hedef alınmakla birlikte uygulamada elde edilen veriler çeşitli sebeplerden dolayı 10^{-3} - 10^{+3} Hz aralığında kalmaktadır (Özürkan ve Ulugergerli, 2005).

Uygulama alanları olarak derin kabuk araştırmaları, volkan ve magma araştırmaları, petrol ve doğal gaz aramaları, jeotermal alanların aranması, jeolojik yapı araştırmaları ve kırık ve süreksizlik bölgelerinin aranmasında kullanılır (Özürkan ve Ulugergerli, 2005).

BÖLÜM 5. TÜRKİYE VE CİVARINDA YAPILAN KABUK ARAŞTIRMALARI

5.1. Zaman Uzaklık Grafikleri

Uluslan (1978) Batı Anadolu'da deprem verilerini kullanarak kabuk kalınlığını toplam 32 km olarak bulmuştur. Canitez ve Toksöz (1980) depremlere ait zaman-uzaklık verilerini değerlendirerek Batı Türkiye'nin kabuk yapısını araştırmıştır. Chen ve ark. (1980) Türkiye ve İran'da kabuk yapısını araştırmak için zaman-uzaklık yöntemini kullanmışlardır. Necioğlu ve ark. (1981) Kuzeybatı Türkiye'de ortalama kabuk kalınlığını 28.4 km olarak saptamıştır. Kalafat ve ark. (1985) Batı Türkiye'de deprem verilerini kullanarak kabuk ve üst manto yapısının araştırmasında ortalama kabuk kalınlığını 29-32 km olarak bulmuşlardır. Kalafat ve ark. (1992) Marmara Denizinin güneyinde kalan bölgede 7 adet sismik istasyondan alınan verilerle zaman-uzaklık grafikleriyle toplam ortalama kabuk kalınlığını 29-30 km olarak bulmuşlardır. Horasan ve Canitez (1995) Batı Anadolu'da kabuk yapısını araştırmak için sentetik sismogram eldesi ile toplam kabuk kalınlığını 31 km ve Pn dalga hızını 7.85 km/s olarak bulmuşlardır. Horasan ve ark. (1998) Batı Türkiye'de Marmara ve Ege bölgesinde yapay sismogram eldesi ile Ege bölgesi için kabuk kalınlığını 31-33 km ve Marmara bölgesi için kabuk kalınlığını 30 km olarak saptamışlardır. Horasan ve ark. (2002) Türkiye'nin Marmara ve Ege bölgesindeki deprem verilerinde yararlanarak sentetik dalga şekilleri hesaplanarak Marmara İzmit körfezinde ortalama kabuk kalınlığı 32 km ve Ege bölgesinde ortalama kabuk kalınlığı 33 km hesaplamışlardır.

5.2. Alıcı Fonksiyonları

Saunders ve ark. (1998) ANTO, KULA ve USAK istasyonları ile KULA ve USAK istasyonlarının çevresine geçici sismograf istasyonları (KULA: KEN, SIH, SAL ve USAK: DAN, GUS, ALI) kurmuştur. Rayleigh dalga faz hızı ölçüldüğü ve telesismik alıcı fonksiyonu yönteminin de yardımcı olarak kullanıldığı bu çalışmada Moho derinlikleri KULA, UŞAK ve ANTO istasyonları için sırasıyla 30, 34 ve 37,5 km olarak bulunmuştur. Zor ve ark. (2003) Doğu Türkiye Sismik Çalışması (ETSE) verilerini kullanarak Türkiye’de alıcı fonksiyonlarıyla Doğu Anadolu platosunda 6-tabakalı bir grid arama yöntemi kullanarak kabuk kalınlığı için 38-50 km arasında değerler bulmuştur. Kalyoncuoğlu ve Özer (2003) Isparta geniş bant sismograf istasyonunda 1996-2001 yılları arasında cisim dalgası magnitudü 5.5’den büyük 26 deprem verisinden Isparta istasyonunun altında alıcı fonksiyonu analizi yaparak 31 ± 1 km kabuk kalınlığı bulmuştur. Çakır ve Erduran (2004) TBZ istasyonunda alıcı fonksiyonları analizi, bölgesel Rayleigh dalgaları ve Love yüzey dalgaları dispersiyonu sonucu Trabzon için 35 km kabuk kalınlığı elde etmişlerdir. Zhu ve ark. (2006) Türkiye’nin Ege bölgesinde 5 geniş bant ve 45 kısa süreli geçici sismik istasyon ve bazı sabit istasyonlardan alınan verilerden itibaren H-K istifleme ve ortak dönüşüm noktası istifleme (CCP stacking) yöntemiyle Moho derinlikleri için 25-43 km arasında değişen değerler bulmuştur. Angus ve ark. (2006) Türkiye’nin doğusunda Kasım 1999 ve Temmuz 2001 arasında kabaca 22 aylık bir süre boyunca konuşlandırılan 29 geniş bant PASSCAL istasyonundaki verilerle telesismik S-P dönüşüm evreleri kullanılarak yapılan kabuksal ve üst manto sismik süreksizliklerde Moho derinliğinin 30-55 km arasında değiştiğini bulmuşlardır. Zor ve ark. (2006) Türkiye’nin Doğu Marmara Bölgesinde 11 geniş bant istasyonunda ((BOZ, BUY, PEN, KAL, TAR, TER, ALB, KKK, ISK, YLV ve KCT) istiflenmiş tek olaylı alıcı fonksiyonları, beş katmanlı bir kabuksal hız modeline dayanan bir inversiyon algoritması ile modellenmiştir. Moho derinliği 29-35 km arasında değişmektedir. Gülen ve ark. (2007) Kuzey Batı Marmara Bölgesi’nde Marmara bölgesindeki Kandilli Rasathanesi ve Deprem Araştırma Enstitüsü tarafından işletilen 14 genişbant sismik istasyonunda 2002-2007 arasında kaydedilen toplam 285 depremden ($M_w > 5.5$) elde edilen verileri analiz etmişler ve H-K istifleme alıcı fonksiyonu yöntemiyle Marmara bölgesinde Moho derinliklerinin

29-37 km arasında deđiřtiđini saptamıřlardır. zakın (2008) Gneybatı Anadolu’da 12 sismik istasyonda 15 ay boyunca alınan verilerden P alıcı fonksiyonları analizleriyle kıtasal kabuk kalınlıđı iin 21-35 km arasında deđiřen deđerler bulmuřtur. Kahraman (2008) Trkiye’nin gney-batısında kalan Isparta bklmnde KRDAE sabit istasyonları ve 19 adet geici geniř banttann alınan verilerde iki yntem kullanmıřtır. Birinci olarak alıcı fonksiyonların ve yzey dalgası grup hızlarının ters zm ve ikinci olarak H-K yıđma tekniđini kullanmıřtır. Sonu olarak kıtasal kabuk kalınlıđının 30-47 km arasında deđiřtiđini hesaplamıřtır. Erduran (2009) ISP istasyonunda alıcı fonksiyonu ve yzey dalgaları ortak zm sonucu Moho derinliđi 40 km bulmuřtur. Tezel ve ark. (2010) Trkiye’nin batısında 25 geniř bant sismik istasyonunda 2007-2008 yılları arasındaki 50 telesismik olayı ele alarak alıcı fonksiyonlarında inversiyon sonuları ve 2-boyutlu derinlikten g eden alıcı fonksiyonları sonularına gre kıtasal kabuk kalınlıđı iin 20-35 km arasında deđerler bulmuřtur. Ersan ve Erduran (2010) Orta Anadolu’da 5 istasyonda (ANTO, CDAG, ELDT, ILGA, BBAL) P alıcı fonksiyonları analizi ile ANTO iin 36 km, BBAL iin 38 km, CDAG iin 40 km, ELDT iin 36 km ve ILGA istasyonu iin 36 km kabuk kalınlıđı bulmuřtur. akır ve Erduran (2011) ANTO istasyonunda P ve S alıcı fonksiyonları ve yzey dalgaları ortak zm sonucu Moho derinliđi 38 km bulmuřtur. Vanacore ve ark. (2013) Trkiye’de 300 istasyondan alınan verilerde su seviyesinde dekonvolsyon kullanarak frekans alanında alıcı fonksiyonlarını hesaplanarak H-K istifleme (H-K stacking) ve derinlik istifleme (depth stacking) yntemi kullanarak Orta Anadolu’da Moho derinliđi 37-47 km, Dođu Anadolu’da 55 km Moho derinliđi ve Kıbrıs’da 30 km Moho derinliđi belirlemiřtir. Tezel ve ark. (2013) Trkiye’deki 120 adet geniř bant sismik istasyondan Ocak 2004-Ekim 2010 tarihleri arasında alınan episantır uzaklıđı $25^{\circ} \leq \Delta \leq 95^{\circ}$ arasında ve magnitd 5.5 ve zerinde olan depremlere ait parametreler semiřtir. Alıcı fonksiyonlarının genetik algoritma inversiyon yntemi ve bazı istasyonlarda 2-d kesitte derinlik g yntemiyle 24-48 km arasında Moho derinlik deđerleri bulmuřtur. Karabulut ve ark. (2013) Batı Trkiye Kuzey Anadolu fayı ve Ege kıyıları boyunca kuzey-gney uzantısı boyunca 40 geniř bant sismik istasyondan 2600’den fazla yapılan alıcı fonksiyonları yntemiyle 19-32 km arasında Moho derinlik deđerleri bulmuřtur. Frederiksen ve ark. (2015) Kuzey Anadolu Fayı, Batı Trkiye tarafında alıcı fonksiyonlarında H-K istifleme yntemiyle

yapılan kabuk kalınlığı çalışmasında kabuk kalınlığı 30-45 km arasında değişmektedir. Kahraman ve ark. (2015) H-K istifleme ve yakın çevre (Neighbourhood) algoritma ortak çözüm yöntemi ile Kuzey Anadolu Fay Zonunun Marmara bölgesinin bir kısmında 34-40 km arasında Moho derinliği hesaplamıştır. Kind ve ark. (2015) Türkiye ve çevresindeki istasyonlardan elde edilen 12000 S alıcı fonksiyonları izleri ile litosferik kalınlık değişimleri incelemiştir. Abgarmi ve ark. (2017) Türkiye'nin Orta Anadolu platosunda 92 geçici ve kalıcı genişbant sismik istasyonlardan kaydedilen 500 sismik olay alıcı fonksiyonları yöntemiyle kabuk kalınlıkları hesaplamıştır. Çıvgın ve Kaypak (2017) Türkiye'nin İç Anadolu Bölgesinde 6 geniş bant sismograf istasyonlarında 2007-2010 yıllarında kaydedilen Mw 6.5'den eşit ve büyük olan 43 telesismik deprem ele alınarak alıcı fonksiyonları yöntemiyle kabuk kalınlığını 34.5-40.5 km arasında hesaplamalar sonucunda elde etmiştir. Delph ve ark. (2017) Türkiye'nin Orta Anadolu platosunda kabuk kalınlıkları bulunan verileri kullanarak kesme dalga hızı kesitleri oluşturmuştur. Doloei ve Roberts (2003) İran'ın Tahran bölgesinde yedi istasyonunda kaydedilen 20 telesismik deprem kullanılarak telesismik P-dalga biçimi alıcı fonksiyon analizi yapmıştır. Paul ve ark. (2006) İran'ın Zagros bölgesinde 620 km'lik bir profil boyunca 45 geçici istasyondan alınan verilerden itibaren alıcı fonksiyonları yöntemiyle ve Bouguer anomali verilerini de kullanarak kabuk kalınlık çalışmaları yapmıştır. Nowrouzi ve ark. (2007) İran Kopet Dağ'ında telesismik alıcı fonksiyonları yöntemiyle KAR, ZOW ve HAM istasyonlarında Moho derinliğini sırasıyla 50, 47 ve 44 km olarak hesaplamıştır. Nasrabadı ve ark. (2008) İran Platosunda 2004 ile 2005 yılları arasında İran Ulusal Deprem Ağı'nın (INSN) 12 geniş bant istasyonundan alınan 220 telesismik depremden elde edilen alıcı fonksiyonları ve yüzey dalgaları dispersiyonu ortak çözümü sonucu Moho derinliği için 40-56 km arasında değerler bulmuştur. Sodoudi ve ark. (2009) İran Alborz dağların olduğu bölgedeki 11 istasyondan 1993 ile 2003 yılları arasındaki P-alıcı fonksiyon analizi için, magnitüdü 5.5'den büyük olan 290'dan fazla telesismik olay kullanmıştır. S alıcı fonksiyonlarını hesaplamak için magnitüdü 5.7 Mb 'den büyük olan 21 olay kullanmıştır. P alıcı fonksiyonları için Moho derinliği 51-68 km arasında değerler bulmuştur. S alıcı fonksiyonlarıyla Moho derinlikleri 49-65 km arasında değerler hesaplamıştır. Paul ve ark. (2010) İran'da iki tane hat oluşturup, geçici sismik istasyonlar kurmuştur. İlk hat olan 620 km uzunluğundaki toplam 67

geçici sismik istasyonda Kasım 2000'den Nisan 2001'e kadar veriler almıştır. 470 km uzunluğunda 42 istasyondan oluşan ikinci hattan Mayıs ve Kasım 2003 tarihleri arasında veriler almıştır. Bunlara merkezi Alborz'da olan 25 istasyondan alınan veriler de eklenmiştir. Magnitüdü 5.5'tan büyük olan telesismik 100 olay ele alınmıştır. Sonuç olarak kıtasal kabuk kalınlığı çalışmasında 42-69 km arasında değerler elde edilmiştir. Farahmand ve ark. (2010) Kuzey Batı İran'da 8 istasyonda kıtasal kabuk kalınlığı araştırmasında alıcı fonksiyonları yönteminde Ps dönüşüm zamanları yöntemiyle 38-56 km ve Zhu ve Kanamori yöntemiyle 38-54 km arasında kıtasal kabuk kalınlığı değerleri elde edilmiştir. Radjaee ve ark. (2010) Kuzey İran Alborz dağlarında 26 geniş bant geçici sismik istasyondan Mayıs-Kasım 2003 tarihleri arasında 5.7 veya daha büyük magnitüdü 53 telesismik deprem kaydetmiştir. Alıcı fonksiyonları yöntemiyle Moho derinliği için 45-68 arasında değerler bulmuştur. Afsari ve ark. (2011) Kuzey Batı Zagros ve Orta İran'daki üç bileşenli 12 istasyonda $M_b \geq 5.5$, 30° ile 95° arasındaki merkez dışı uzaklığına sahip verilerden P alıcı fonksiyonları yöntemi kullanarak Moho derinliğinin 40 ile 56 km arasında değiştiğini saptamıştır. Motaghi ve ark. (2011) Kuzeydoğu İran kıtasal çarpışma zonu boyunca Ağustos 2006 ile Şubat 2008 arasında 16 geniş bant istasyonunda alınan magnitüdü 5.5 ve büyük olan 196 tane deprem verisi kaydetmiştir. İstasyonlardaki veriler için Zhu ve Kanamori'nin H-κ istifleme yöntemiyle elde edilen Moho derinliği 27-56 km arasında değerler hesaplamıştır. Yaminifard ve ark. (2012) İran Zagros'taki Khurgu profilinde bulunan mb 5 olan olaylardan gelen 248 telesismik olay ve analiz için 509 alıcı fonksiyonu Zhu ve Kanamori'nin ortak dönüşüm noktası yöntemini kullanarak derinlikler bulmuştur. Mohammadi ve ark. (2013) İran'da Uluslararası Deprem Mühendisliği ve Sismoloji Enstitüsünün dokuz kalıcı genişbant sismik istasyonunun 2006-2010 yıllarında alınan 100 tane olay ele alınarak P ve S alıcı fonksiyonları analizi kullanmıştır. Farahmand ve ark. (2014) İran'da yapılan P alıcı fonksiyonlarında Z&K yaklaşımı, Ps varış zamanı ve ileri modelleme kullanarak Moho derinlikleri bulmuştur. Ps varış zamanı göre Moho derinliği 32-65 km, Z&K yaklaşımına göre 31-65 km ve ileri modellemeye göre ise 33-66 km arasında Moho derinliği hesaplamıştır. Motaghi ve ark. (2015) İran'da bir sismik profil boyunca Uluslararası Deprem Mühendisliği ve Sismoloji Enstitüsünden Ağustos 2006'dan Şubat 2008'e 16 genişbant istasyondan alınan verilerle alıcı fonksiyonları ve temel mod Rayleigh dalga grubu hızı ortak

çözümü yapmıştır. Bouguer gravite anomali verileriyle de modelleme doğrulamıştır. Kalvandi ve ark. (2016) Arap plakasının kuzey kenarında Zagros dağ kemerinde yer alan Mayıs-Kasım 2003 tarihleri arasında 400 km uzunluğunda bir profil üzerinde kurulu olan 38 geçici sismolojik istasyonun verileriyle P dalgası alıcı fonksiyonlarının ve Rayleigh dalga temel mod faz hızı dağılım eğrilerinin analizi sonucu Moho derinliği 42-62 km arasında değerler bulmuştur. Mochan ve ark. (2017) İran'ın ASAO ve NASN iki genişbant sismik istasyonunun P alıcı fonksiyonunun ve Rayleigh dalga fazı ve grup hız dağılım eğrilerinin ortak çözümü ile Moho derinliği ASAO 50 ± 2 km ve NASN 56 ± 2 km değerleri hesaplamıştır. Motaghi ve ark. (2017) Arabistan-Avrasya çarpışmasında Zagros orojenik kuşağı boyunca P ve S alıcı fonksiyonlarıyla kabuk kalınlıkları yaklaşık olarak 30-60 km arasında değişen değerler bulmuştur. Sandvol ve ark. (1998a) Suudi Arabistan kalkanı altında dokuz tane üç bileşenli geçici genişbant istasyonu Kasım 1995'den Mart 1997'ye kadar veri alacak şekilde konuşlandırmışlardır. Bu istasyonların verilerinden elde edilen alıcı fonksiyonlarının analizi ile Arap Kalkanı altında kabuk kalınlığının 35-45 km arasında değiştiği saptanmıştır. Kumar ve ark. (2002) Suudi Arabistan kalkanında bulunan sekiz istasyonda yapılan alıcı fonksiyonları analizi sonucu Moho derinliğinin 35-38 km arasında değişmekte olduğunu göstermişlerdir. Julia ve ark. (2000) Suudi Arabistan'daki SODA istasyonunda yapılan P alıcı fonksiyonları ve yüzey dalgası dispersiyonu ortak çözümü sonucu Moho derinliği için 35-40 km arasında değişen değerler elde etmiştir. Al-Damegh ve ark. (2005) Ürdün ve Suudi Arabistanda 23 geniş bant ve orta bant istasyonlarından alınan veriler ile alıcı fonksiyonları analizi yapmıştır. Her bir istasyon için Moho derinliklerini tahmin etmek için eğimli istifleme (slant stacking) tekniği ve hataları hesaplamak için bootstrap re-sampling yöntemi kullanmışlardır. Arap plakasında Moho derinliği için 14-44 km arasında değişen değerler elde edilmiştir. Tkalcic ve ark. (2006) Arap Yarımadasında yüzey dalgaları dispersiyonu ve telesismik alıcı fonksiyonlarıyla modelleme yapmıştır. RF analizi için işlenmemiş veriler, $M_b > 5.8$ büyüklükleri ve episentral mesafeleri 30° - 90° arasında olan depremler için üç bileşenli geniş bant hız sismogramlarından oluşmaktadır. Hız yapısı için yüzey dalgası dağılımı ve alıcı fonksiyon ters problemini birlikte çözmek için ileri modelleme de dahil olmak üzere grid arama ve standart yinelemeli ters çözüm tekniğinin bir kombinasyonu (MSA4 yöntemi) kullanmıştır. Moho derinlikleri 28-41

km olarak hesaplanmıştır. Hansen ve ark. (2007) Kızıldeniz ve Arap Yarımadasındaki dört farklı sismik ağ 39 geniş bant istasyonundan alınan telesismik verilerden S alıcı fonksiyonları yöntemiyle Moho derinliğini 12-45 km arasında bulmuşlardır. Gök ve ark. (2012) Suudi Arabistan, Umman, Irak ve Kuveyt ulusal ağlardan gelen 68 sismik istasyondan elde edilen sürekli veya olaya dayalı bölgesel sismik verilerle alıcı fonksiyonları yöntemiyle Moho derinlikleri bulmuştur. Al-Amri (2015) Suudi Arabistanda bulunan 50 geniş bant istasyonundan 30° ile 90° merkezî mesafe arasında ve 5.5 mb veya daha büyük olan sismik kaynaklardan alınarak yapılan alıcı fonksiyonu H-K istifleme yöntemiyle kabuk kalınlığı 24-50 km arasında değişmektedir. Tang ve ark. (2016) Suudi Arabistan'daki 56 geniş bant istasyonunda alınacak alıcı fonksiyonlarından H-k istifleme yöntemi ve yüzey dalgaları dispersiyonuyla ortaklaşa çözümü sonucu olarak Moho derinliği 27-45 km arasında değerler bulmuştur. Al Amri ve ark. (2017) Arap Kalkanı ve Kızıldeniz bölgesinde alıcı fonksiyonları analizi için ham veriler, $M_w > 5.8$ büyüklüğündeki depremler için üç bileşenli geniş bant hız sismogramlarından ve 30° ile 90° arasındaki merkez dışı mesafesinden oluşturmuş. Yüzey dalgaları grup hızları ve alıcı fonksiyonları ortak çözümü ve telesismik kayma-dalga bölmesi ile modelleme sonucu Moho derinlikleri bulmuştur. Brew ve ark. (2001) Suriye'de 4 sismik istasyondan alınan verilerle elde ettikleri alıcı fonksiyonları analizi sonucu kabuk kalınlığının 28-44 km arasında değiştiğini belirlemişlerdir. Gök ve ark. (2006) Irak'ta P-dalgası alıcı fonksiyonları ve yüzey dalgalarının ortak ters çözümü ile MSL istasyonunda 39 km ve BGD istasyonunda 43 km Moho derinliği bulmuştur. Gök ve ark. (2008) Irak'ta MSL ve BHD istasyonlarında yapılan P dalgası alıcı fonksiyonları ve yüzey dalgaları grup hız dispersiyonu ortak dönüşümü sonucu kabuk kalınlığı MSL istasyonunda 39 km ve BHD istasyonunda 43 km bulmuştur. Gritto ve ark. (2008) Kuzey Irak'taki istasyonlardan 30 Kasım 2005 ile 31 Mart 2007 tarihleri arasında magnitudü 5.5 tan büyük ve eşit olan 290 telesismik deprem verilerinden elde edilen P alıcı fonksiyonları analizi sonucu Moho derinliği için 39-55 arasında değerler bulmuştur. Abdalnaby ve ark. (2012) Irak'ın kuzeybatısında Duhok'taki bir Guralp CMG-3ESPD genişbant sismik istasyon alınan verilerle telesismik P dalgası alıcı fonksiyonlarının ve yüzey (Rayleigh) dalga grubu hız dağılımının ortak çözümü sonucu olarak Conrad derinliği 18-20 km ve Moho derinliği ise 42-44 km arasında değerler bulmuştur. Hofstetter ve Bock (2004) İsrail Sina bloğunda 7 istasyondan elde

edilen alıcı fonksiyonları ile kıtasal kabuk kalınlıkları hesaplamıştır. İlk önce hata oranı hesaplanmadan Kind ve ark. (1995) tarafından tanımlanan ters çözüm yöntemi kullanılmıştır. İkinci olarak hatalar hesaplanarak Monte-Carlo ters çözüm yöntemi kullanılmıştır. Kind ve ark. (1995) uygulanan ters çözüm yönteminde İsrail’de kıtasal kabuk kalınlık 27-36 km arasında değişmektedir. Monte-Carlo ters çözüm yönteminde İsrail’de kıtasal kabuk kalınlığı 27.8-35.6 km arasında değerler hesaplanmıştır. Mohsen ve ark. (2005) Ölü Deniz transformunda Nisan 2000 ve Haziran 2001 ayları arasında 42 geçici istasyondan oluşan bir sismik ağ kurmuştur. Buradan alınan verilerle alıcı fonksiyonlarının Zhu&Kanamori (HK) yöntemiyle kabuk kalınlığı için 31-38 km arasında değişen değerler bulunmuştur. Salah (2011) Mısır’da olan KEG istasyonunda toplam 206 alıcı fonksiyonuyla genetik algoritma kullanarak Moho derinliği için 32-34 km arasında değerler bulmuştur. Hosny ve Nyblade (2014) Güneydoğu Mısır’dan KB Kızıldeniz boyunca P dalgası alıcı fonksiyonlarıyla modellemesi sonucu olarak kabuk kalınlığı 25-38 km arasında değerler hesaplamıştır. Gharib ve ark. (2016) Mısır’da transfer fonksiyonları yöntemi, alıcı fonksiyonları, H-k istifleme yöntemi ve alıcı fonksiyonları ve grup hız dağılımının ortak inversiyon sonucu kabuk kalınlıkları bulmuştur. Lemnifi ve ark. (2017) Libya’da 15 istasyondan elde edilen veriler alıcı fonksiyonları yöntemi işleme alınarak Moho derinliğini 24-34 km arasında değişen değerler bulmuştur. Van der Meijde ve ark. (2003) Akdeniz ve Kuzey Afrika bulunan 17 geniş bant sismolojik istasyonunda Poison oranı ve alıcı fonksiyonlarında grid arama yöntemiyle Moho derinlikleri için 19-47 km arasında değişen değerler hesaplamıştır. Li ve ark. (2003) Hellenik dalma batma zonunda 8 sismograf istasyonundan elde edilen alıcı fonksiyonlarıyla Moho derinlikleri için 25-40 km arasında değerler bulmuştur. Endrun ve ark. (2004) Girit adasının altındaki yay boyunca litosferik yapıyı alıcı fonksiyonları ve Rayleigh faz hızlarının dispersiyon analizi ile ortaya koymuştur. Sodoudi ve ark. (2006) Ege Denizi ve Yunanistan’da bulunan 65 geçici ve sürekli istasyondan elde edilen P ve S alıcı fonksiyonlarını kullanmıştır. P alıcı fonksiyonlarını işlemek için magnitudü Mb 5.5tan büyük telesismik olaylar ele alınmıştır. S alıcı fonksiyonları işlemek için Mb 5.7den büyük telesismik olaylar ele alınmıştır. Alıcı fonksiyonları yöntemiyle Ege denizi ve Yunanistan’da 21-40 km arasında değişen Moho derinlik değerleri elde edilmiştir.. Hetényi ve Bus (2007) Macaristan’ da BUD, PKSM, PSZ ve SOP istasyonlarından

elde edilen alıcı fonksiyonlarında iki farklı yöntem kullanmıştır. Birinci yöntem yarı-linearleştirilmiş (semilinearized method), ikinci yöntem ise stokastik dönüşüm yöntemidir. Bu istasyonlar için Moho derinliği sırasıyla 34, 27, 33 ve 28 km olarak bulunmuştur. Georgieva ve Nikolova (2013) Bulgaristan'da yapılan alıcı fonksiyonlarının H-k istifleme yönteminde Moho derinliği 30-50 km arasında değişmektedir. Kabuk kalınlığı Bulgaristan'ın KD yönünde daha ince iken GB yönünde ise daha kalın gözükmektedir. Georgieva (2015) Bulgaristan'ın altındaki kabuk ve üst manto yapısını incelemek için MPE, PVL ve SZH istasyonlarından kaydedilen veriler kullanmıştır. Zhu ve Kanamori yöntemiyle MPE istasyonunda 29-31 km, PVL istasyonunda 31-33 km ve SZH istasyonunda ise 32-34 km Moho derinliği bulmuştur. Sodoudi ve ark. (2015) Helenik dalma batma zonu çevresinde alıcı fonksiyonlarında H-k istifleme yöntemiyle Moho derinliği 20-45 km arasında ve modifiye IASP91 referans modelinden elde edilen karşılık Moho derinlikleri 17-52 arasında değişmektedir. Sandvol ve ark. (1998b) alıcı fonksiyonlarının grid arama modellemesiyle Orta Doğu ve Kuzey Afrika'da 12 istasyonda yapılan kabuk kalınlığı çalışmasında 8-64 km arasında değişen değerler elde etmişlerdir. Mangino ve Priestley (1998) Hazar bölgesinde yapılan alıcı fonksiyonlarıyla kabuk kalınlıkları saptamışlardır. Al-Lazki ve ark. (2002) Umman Dağları boyunca üç geçici dijital sismik istasyonundan alınan verilerle alıcı fonksiyon analizi yaparak Moho derinliğini 41-49 km arasında değiştiğini bulmuşlardır. Al-Hashmi ve ark. (2011) Umman Sismik Ağının geniş bantlı ve kısa süreli sismik istasyonlarında $M_b \geq 5.5$ 2005–2007 yılları arasında kaydedilen verilerden alıcı fonksiyonları ve Rayleigh dalga grubu hızlarının ortak çözüm sonucu Moho derinliği 34-48 km arasında değiştiğini bulmuştur. Marone ve ark. (2003) Avrasya-Afrika plakası sınır bölgesinde kabuk kalınlığı için alıcı fonksiyonları ve yüzey dalgası verileriyle Moho derinlik haritası oluşturmuştur. Pasyanos ve ark. (2007) yüzey dalgaları ve alıcı fonksiyonu ortak ters dönüşümü sonucu Kuveyt için kıtasal kabuk kalınlığını 45 km olarak hesaplamıştır. Mellors ve ark. (2008) Kafkasya-Hazar Bölgesinde magnitüdü 5.2'den büyük ve 30 ile 90 derece arasındaki mesafelerde teleseismik depremler seçmiştir. Yinelemeli dekonvülyasyon ve çeşitli filtre pencereleri uygulanmıştır. Moho ve V_p/V_s oranına derinlik tahmini sağlamak için eğik istifleme kullanmıştır. Kafkaslar için Moho derinliğinin 35-51 km arasında değiştiği saptanmıştır. Gök ve ark. (2009) Anadolu platosu, Kafkaslar ve

Hazar bölgesindeki 29 geniş bant istasyonunda alınan verilerle alıcı fonksiyonları ve yüzey dalgaları (Love ve Rayleigh) ortak ters çözümyle kıtasal kabuk kalınlığı için 34-52 km arasında değerler bulmuştur. Di Bona ve ark. (2008) İtalya'nın kabuk yapısını araştırmak için 15 istasyondan alınan 364 adet veriden itibaren alıcı fonksiyonu yöntemiyle ve neighborhood algoritması inversiyon şemasını kullanarak kabuk yapısını ortaya koymuştur. Agostinetti ve Amato (2009) İtalya yarımadası için 174 genişbant sismik istasyondan gelen veriler alıcı fonksiyonları analizi ve grid arama yaklaşımıyla Moho süreksizliği için 20-50 km arasında değerler bulmuştur. Di Stefano ve ark. (2011) Orta Akdeniz bölgesinde yüksek kaliteli kontrollü sismik ve telesismik alıcı fonksiyon verilerini kullanarak 3 boyutlu Moho derinlik haritası oluşturmuştur. Mele ve ark. (2013) İtalya'da yapılan önceki çalışmalardan alınan 38 geniş bant sismik istasyonundan hesaplanan telesismik alıcı fonksiyonlarını kullanmış ve önceki çalışmalarla Moho derinlikleri karşılaştırmıştır. Spada ve ark. (2013) İtalya ve çevresinde kontrollü kaynak sismolojisi ve alıcı fonksiyon bilgilerini enterpolasyonuyla Moho derinlik haritası oluşturmuştur. Diehl ve ark. (2005) Güneydoğu Romanya'daki 30 istasyonda Mayıs 1999'dan Kasım 1999'a kadar olan yerel, bölgesel ve telesismik deprem kayıtlarından alınan verilerle alıcı fonksiyonları yönteminin bootstrap resampling ve chi-square yöntemi ile Moho derinlikleri için 27-46 km arasında değişen değerler hesaplamıştır. Bala ve ark. (2016) Romanya'nın batısında 33 genişbant sismik istasyonundan 2009-2011 yılları arasında kaydedilen verilerle alıcı fonksiyonları yöntemi ve alıcı fonksiyonu ve Rayleigh dalga dispersiyonu ortak çözümü yöntemi kullanmıştır. Pannonien Havzasının 28-30 km, Karpatlar 31-36 km ve Apuseni Dağları'nda 31-33 km Moho derinliği belirlenmiştir. Stipcevic ve ark. (2011) Hırvatistan'da 8 istasyonda yapılan alıcı fonksiyonları yönteminde H-k arama yönteminde Moho derinliği 36-58 km ve Monte Carlo dalga biçimi inversiyonuyla 39-60 km arasında Moho derinlikleri elde etmiştir.

5.3. Sismik Kırılma ve Yansıma

Karahan ve ark. (2001) Akyazı ve civarında sismik kırılma çalışmasında kabuk kalınlığını 39 km bulmuştur. Gürbüz ve ark. (2003) Marmara bölgesinde yapılan sismik kırılma çalışmasında seyahat sürelerini hesaplamak için 2B ışın izi SEIS83

programını kullanmıştır. Seyahat süreleri verilerinden türetilen hız modellerinde 30-35 km arasında kabuk kalınlığı değişmektedir. Toksöz ve ark. (2003) 23 Kasım 2002'de Orta Anadolu'da bulunan Keskin yakınlarında iki tonluk kontrollü bir patlatma gerçekleştirmiş ve atış çevresinde yaklaşık 300 km yarıçapında 90 adet geçici sismik istasyon tarafında kaydedilen veriler sayesinde seyahat zamanı verileri analiz edilerek kabuk modellemesi yapmıştır. Gürbüz ve ark. (2004) Doğu Anadolu'da 5 Haziran 2001'de gerçekleştirilen 12 tonluk kontrollü kaynak patlatması gerçekleştirmiştir. Ağrı'daki atış noktasındaki kabuğun kalınlığı 33 km olarak bulunmuştur. Bekler ve ark. (2005) Marmara, Orta Anadolu, Doğu Anadolu ve Güneydoğu Anadolu bölgelerinde gerçekleştirilen sismik kırılma yapmıştır. Sismik kaynak olarak taş ocaklarından ve kuyu içi dinamit atışlarından yararlanmıştır. Doğu Marmara bölgesi için ortalama kabuk kalınlığı 32-35 km, Orta Anadolu için ortalama kabuk kalınlığı 36 – 40 km, Ağrı'daki patlatmada ise kabuk kalınlığı 41 km ve KB-GD doğrultulu Güneydoğu'daki profilde ise 38-42 km kabuk kalınlığı saptanmıştır. Bekler ve Gürbüz (2008) Doğu Marmara bölgesinde Kuzeybatı Anadolu'da Kuzey Anadolu Fayı bölgesinde sismik kırılma çalışmasında kabuk hızı ve derinlik modelini ilk varış sürelerinin ters çözümünden elde etmiştir. Kuzeyde yaklaşık 26 ± 2 km, güneydeki orta Armutlu bloğunun altında yaklaşık 32 ± 2 km kabuk kalınlığı bulunmuştur. Becel ve ark. (2009) Marmara Denizinin içinde Kuzey Anadolu Fayı (KAF) üzerinde yapılan deniz kaynaklı çok kanallı sismik yansıma, okyanus altı sismometre ve geniş açılı yansıma ve kırılma kaydeden kara istasyonlarından yararlanmıştır. Deniz tabanında üç bileşenli sensörlerle 1 ve 2 ay boyunca kaydeden 37 OBS, MTA Sismik-1 gemisi tarafından yerleştirilmiş ve toplanmıştır. Karada ise 3 bileşenli 2 Hz sensörler ile benzer sayıda geçici istasyon kurmuştur. OBS ve kara istasyonları için temel olarak 5-15 Hz'lik bandpass filtresi ve spektral normalizasyonu kullanılmıştır. Profillerde bandpass filtre, hız analizi, normal move-out düzeltmesi, yığın ve su hız göçü uygulanmıştır. Bu çalışmada Marmara denizi altında kıtasal kabuk kalınlığı için 25-40 km arasında değerler bulunmuştur. Hirn ve ark. (1996) İyon adalarında yapılan sismik kırılma sonucu kabuk kalınlığını 23 km olarak elde etmiştir. Bohnhoff ve ark. (2001) Girit bölgesi Helenik yayında geniş açılı sismik kara ve denizde olmak üzere üç sismik hat oluşturmuştur. Her profil için 2B P dalgası hız derinliği modeli oluşturmuş. Modellerin doğruluğu derinliğe ve konuma bağlı olarak test etmiştir. Modelleme

sonucu 14-35 km arasında deęişen kabuk kalınlığı bulunmuştur. Makris ve ark. (2001) Yunanistan'ın merkezinde yer alan Maliakos-Sporades ve kuzey Evoikos havzalarında sismik araştırma yapmıştır. İki sismik hatta 14 deniz sismografi (OBS) ve 10 kara istasyonu kullanmıştır. İki noktalı ışın izi modellenmesiyle Moho derinliğinin 17-32 km arasında deęiştığı saptanmıştır. Clement ve ark. (2004) Korint Körfezinde yapılan sismik kırılma çalışmasında Körfezin kuzey doğu kıyısı altında 32 km ve Aigion körfezinin batı ucunda 40 km Moho derinliği belirlemiştir. Zelt ve ark. (2005) Korint Körfezi boyunca yapılan sismik kırılma ve yansıma 2B dönüşümünden sıg kabuk yapısı ve PmP yansıma sürelerinin tomografik inversiyonunda 2 boyutlu hız modelinin 1B ortalaması kullanmıştır. 1B hız modeli verilerinden 3B dönüşüm ile oluşturulan haritada Moho derinliği 25-45 km arasında deęişmektedir. Makris ve ark. (2013) Yunanistan'ın 3 boyutlu gravite modellemesi ile 2B sismik profillerle oluşturmuştur. Yoęunluklar, sedimanlar, kabuk ve üst manto için Nafe & Drake ve Birch deneysel fonksiyonları kullanılarak sismik hızlar ve kabuk kalınlıkları bulunmuştur. Raileanu ve ark. (1994) Romanya'da yapılan derin sismik kırılma çalışmasında modelleme yaparak Conrad, Moho, alt kabuk ve üst kabuk vb. derinlikleri modellemiştir. Mocanu ve ark. (1996) Romanya'nın kabuk özelliklerini belirlemek için sismik kırılma yöntemiyle Moho ve Conrad süreksizliklerini elde etmiştir. Raileanu ve ark. (2005) Romanya'da 1999'da gerçekleştirilen bir sismik kırılma profili boyunca Vp, Vs, Poisson oranı ve gravite verilerinden yararlanmıştır. Bu profilde kabuk kalınlığının 30-45 km arasında deęiştığı bulunmuştur. Mucuta ve ark. (2006) Romanya'da yapılan toplam uzunluğu yaklaşık 64 km olan iki profil boyunca yapılan sismik kırılma çalışmasında 25-50 km arasında Moho derinliği bulunmuştur. Hauser ve ark. (2007) Romanya'da litosferik yapıyı incelemek için 450 km uzunluğunda sismik kırılma çalışmasını Ağustos-Eylül 2001'de 700'den fazla jeofonla gerçekleştirmiştir. Veri yorumu, deęişken kalınlık ve hızlara sahip 7 katmanlı tabakadan oluşmaktadır. Bu araştırma bölgesinde kabuk kalınlığı için 33- 47 km arasında deęerler bulunmuştur. Raileanu ve ark. (2012) Romanya'nın batısında yer alan derin sismik kırılma ve yansıma çalışmaları ile Romanya sismik ağının yerel istasyonlarından toplanan deprem verilerini kullanarak bir model oluşturmuştur. Bu modelde Moho süreksizliği, alt kabuk kalınlığı ve ortalama P dalgası sismik hızları haritaları oluşturmuştur. Grad ve Tripolsky (1995) Ukranya kalkanında yapılan sismik kırılma çalışmasında kabuk

yapısını anlamak için kırılan ve yansıyan P ve S dalgalarını kullanarak 1B ve 2B modellemeler yapmıştır. Ukrayna kalkanında Moho derinliği için 30-56 km arasında değerler bulmuştur. Grad ve ark. (2003) Doğu Ukranya'da Ağustos-Eylül 1999'da sismik kırılma ve geniş açılı sismik yansıma yapmıştır. 360 km uzunluğundaki profil boyunca yaklaşık 245 adet kayıt istasyonundan veri toplanmıştır. Ayrıca profile paralel 190 km uzunluğunda yan profillerden de veri alınmıştır. Profil boyunca Moho derinliği 40 ± 2 km olarak bulunmuştur. Thybo ve ark. (2003) Ukrayna Kalkanı boyunca uzanan 530 km uzunluğunda EUROBRIDGE'97 adındaki profilde yaklaşık 30 km aralıklarla 18 atış noktasındaki patlatmalarla yapılan, iki boyutlu tomografik seyahat süresi ve ışın izi modellemesi kullanmıştır. Yegorova ve ark. (2004) sismik kırılma ve gravite verilerinden Doğu Avrupa Kratonun yani Ukranya-Rusya güney kenarının altında litosfer yapısı ile ilgili çalışmalar yapmıştır. Bogdanova ve ark. (2006) Doğu Avrupa Kratonunun Ukrayna ve Baltık kalkanları arasındaki bölgedeki EUROBRIDGE sismik profilleri ve gravite verileriyle modellemiştir. Starostenko ve ark. (2013a) Pannonian Havzası ve Doğu Avrupa Kratonunun arasında Ekim 2008'de bir profil boyunca yerleştirilen 14 patlayıcı kaynak (3 Macaristan ve 11 Ukranya'da) ve 2.5 km mesafeli tek bileşenli içeren 261 kayıt istasyonuyla geniş açılı sismik yansıma ve kırılma çalışmasında Moho derinliği için 20-50 km arasında değişen değerler bulmuştur. Starostenko ve ark. (2013b) Güney Ukrayna'da sismik geniş açılı bir yansıma ve kırılma projesi olan DOBRE-4'de 500 km'lik bir profil boyunca ışın izleme deneme yanılma modeli ve fazların amplitüdüleri sonlu farklar tam dalga formu yöntemi kullanarak kabuk yapısını ortaya çıkarmıştır. Starostenko ve ark. (2015) Karadeniz'in kuzeyi, Ukranya güneyi ve Kırım'dan geçen bir profil boyunca 630 km uzunluğundaki sismik geniş açılı yansıma ve kırılma projesi DOBRE-5 2011 Ekim ayında yapmıştır. Moho derinliği için yaklaşık 30-50 km arasında değişen değerler bulmuştur. Janik ve ark. (2016) Ukrayna'da 2009'da 505 km uzunluğundaki sismik geniş açılı yansıma ve kırılma profili DOBRE-4 boyunca toplanan veri setini kullanarak kırılmış ve yansıyan fazlara dayalı deneme ve yanılma ileri model SEIS83 kodu, ilk gelenlere dayanan FAST kodu, kırılmış gelenler ve yansımalar da kullanılabilen JIVE3D kodu ve kırılmada hem de yansıyan fazları kullanan ileri ve ters RAYINVR kodu kullanarak modelleme yapmıştır. De Voogd ve ark. (1992) Doğu Akdeniz Havzasında 1988 yılında 28 Kasım -19 Aralık ayları arasında 2 sismik gemi tarafından 14 profile

sismik kırılma çalışmaları yapmıştır. Doğu Akdeniz’de yapılan sismik kırılma çalışmasında Moho derinliğinin 17-24 km arasında değiştiği bulunmuştur. Ben Avraham ve ark. (2002) Doğu Akdeniz Levant Havzasında sismik kırılma ve geniş açılı yansıma çalışması yapmıştır. İki adet profilde 16 adet deniz altı sismometresi kullanılmıştır. Bu çalışmada sismik kırılma, gravite ve manyetik modellemeyle kabuk kalınlığının 15-40 km arasında değiştiği saptanmıştır. Welford ve ark. (2015) Doğu Akdeniz’in Kıbrıs’ın güneyindeki Hecataeus Yükseltisinde sismik kırılma ve gravite çalışması yapmıştır. Sismik çalışmada ortalama 5 km boşluk bırakan hidrofonlar ve üç bileşenli 4.5-Hz jeofonlardan oluşan 15 okyanustan-dibi sismometresi (OBS) kullanılarak veriler elde edilmiştir. Gravite verileri ise Danimarka Teknik Üniversitesi Ulusal Uzay Enstitüsünden DNSC08 gravite anomalisi derlemesinden elde edilmiştir. Gravite verileriyle serbest hava gravite modellemesi yapılmıştır. Truffert ve ark. (1993) iki gemi tarafından elde edilen derin sismik verileri ve gravite modellemesiyle Batı Akdeniz kabuk yapısını ortaya koymuştur. Jackson ve ark. (2002) Güney Hazar Havzasında yapılan sismik kırılma ve alıcı fonksiyonları yöntemiyle kabuk kalınlığı için 28-55 km arasında değerler bulmuştur. Knapp ve ark. (2004) Güney Hazar Havzasında derin sismik yansıma, sismik kırılma ve de telesismik modellerin uyumlu olduğunu belirtmiştir. Hrubcova ve ark. (2005) Bohem Masifi'nin kabuk yapısı için CELEBRATION 2000 verileriyle sismik tomografi inversiyonu, P ve S dalgalarının iki boyutlu (2-B) deneme yanılma ileri modellenmesiyle kabuk yapısını ortaya çıkarmıştır. Grad ve ark. (2006a) Doğu Avrupa Kratonu'nun güneybatı kesimindeki EUROBRIDGE'94-97, POLONAISE'97, CELEBRATION 2000, Coast profili ve VIII ve XXIV profillerinden elde edilen derin sismik sondaj verileriyle Moho derinliği için 40-55 km arasında değişen değerler hesaplamıştır. Grad ve ark. (2006b) CELEBRATION 2000'nin en uzun profili CEL05 (1420 km) de yapılan iki boyutlu tomografik ve ışın izi modelleriyle kabuk yapısını ortaya çıkarmıştır. Netzeband ve ark. (2006) Güneydoğu Akdenizde Levant Havzasında yapılan iki profilde sırasıyla 19 ve 20 denizaltı hidrofonu kullanılarak sismik kırılma verileri toplamıştır. Burada kabuk kalınlığı 22-27 km arasında değişmekte olup bu sonuçlar gravite verileri ile doğrulanmıştır. Majdanski ve ark. (2006) SUDETES 2003 deneyindeki S02, S03 ve S06 profilleri için üç farklı yöntemle kabuk yapısını ortaya çıkarmıştır. 2-B teknikler bsmoothQ tomografisi, yansıyan ve kırılan dalgaların ışın izi ve ortak hız ve yansıyan

tomografik derinlik yöntemleriyle kabuk yapısı her 2-B teknik içinde uyum içinde olduğu bulunmuştur. Sroda ve ark. (2006) CELEBRATION 2000 uluslararası geniş açılı yansıma ve kırılma sismik profillerinden CEL01 ve CEL04 profilleri boyunca yapılan ileri modelleme tekniğiyle Moho derinliğinin 25-43 km arasında değiştiği bulunmuştur. Behm ve ark. (2007) Doğu Alplerde gerçekleştirilen CELEBRATION 2000, ALP 2002 ve çevresindeki 3-D sismik geniş açılı yansıma ve kırılma verilerinin yorumlanması sonucu Moho derinliği için 25-50 km arasında değerler bulunmuştur. Brückl ve ark. (2007) 2002 yılında Doğu Alpler'de 2 profil boyunca sismik kırılma ve geniş açılı yansıma çalışması yapmıştır. Bu profiller boyunca 363 tek kanallı kaydedici kullanılmıştır. Işın izleme teknikleri ile iki boyutlu ileri modellemeyle P dalga hızı modelleri üretilmiştir. Bu çalışmada 25-50 km arasında Moho derinlikleri bulunmuştur. Ruzek ve ark. (2007) Orta Avrupa'da 8 adet profil CEL09, CEL10, Alp01, S01, S02, S03, S04 ve S05 için en uygun 2D homojen olmayan izotropik P-dalga hızı modelleri hesaplamıştır. Moho derinliğinin 30-45 km arasında değiştiği bulunmuştur. Hrubcova ve Sroda (2008) CELEBRATION 2000 ve ALP 2002'nin verilerini kullanarak sismik kırılma ve geniş açılı yansıma profilleri CEL10 ve ALP04 boyunca sismik tomografi inversiyonu ve P dalgalarının 2-D deneme-yanılma ileri modellemesi yapmıştır. Grad ve ark. (2009) Bohem Masifi'nden, Molasse havzasında ve Doğu Alpleri'nden başlayıp Avusturya bölgesi üzerindeki Güney Alpleri'ne geçiş bölgesindeki kabuk yapısını 2B ileri modelleme ve bir ışın izleme tekniği kullanarak oluşturmuştur. Janik ve ark. (2009) GD Polonya tarafında yürütülen CELEBRATION 2000 deneyindeki 13 profili ele alarak, 2B ışın izleme tekniği kullanmış ve kırılmış ve yansıyan dalgaların modellemesi sonucu Moho derinliği için 30 ile 52 km arasında değişen değerler elde etmiştir. Hrubcova ve ark. (2010) SUDETES 2003 uluslararası sismik kırılma deneyi verilerini analiz etmişlerdir. Yegorova ve Gobarenko (2010) Batı ve Doğu Karadeniz Havzasında yapılan 3 boyutlu gravite ve sismik kırılma profilleriyle kabuk kalınlıkları için 18-40 km arasında değişen değerler bulunmuştur. Yegorova ve ark. (2011) Batı ve Doğu Karadeniz'de yapılan sismik kırılma, gravite ve lokal sismik tomografi çalışmaları yeniden değerlendirmiştir. Janik ve ark. (2011) Batı Karpatlar ve Pannonien havzasında yapılan CELEBRATION 2000 sismik deneyindeki yedi profil için 2B ışın izlemesi kullanarak kırılmış ve yansıyan dalgaların modellenmesi sonucu Moho derinliğinin 25-45 km arasında değiştiğini saptamıştır.

Hrubcova ve Sroda (2015) Batı Karpatlar ile kesişen derin kırılma ve geniş açılı yansıma profillerinden elde edilen sismik verilerin sistematik analizini yapmışlardır. Delipetrov ve ark. (2016) Makedonya Cumhuriyeti'ndeki Moho süreksizliğinin derinliğini belirlemek için derin sismik sondaj verilerini kullanarak Moho süreksizliği için 30-50 km arasında değişen değerler elde etmiştir. El-Isa ve ark. (1987) Ürdün'de yapılan sismik kırılma çalışmasında seyahat-zaman ve genlik modellemesi gerçekleştirmiştir. Yansıma yönteminde sentetik sismogramlar, 5 Hz baskın frekansta bir döngünün bir kaynak sinyaliyle hesaplamıştır. Verilerin diğer tüm yorumları için iki ve üç boyutlu yanal olarak homojen olmayan ortamdaki ışın izi yöntemi ve ışın teorisi sismogram hesaplamaları kullanmıştır. Moho derinliği ise 32-37 km arasında değişmektedir. Badri (1991) Suudi Arabistan'ın derin sismik kırılma profilini kullanarak, seyahat süresi ve dalga amplitüd oranlarındaki iki boyutlu ışın yolu yöntemiyle Moho derinliklerinin Arap platformunda 42 km ve Arap kalkanında 38 km olduğunu bulmuştur. Desert Group ve ark. (2004) Ölü Deniz Transformun'da yapılan sismik kırılma çalışmasında Moho derinliğinin 25-40 km arasında değiştiği bulunmuştur.

5.4. Gravite

Aydın ve Altınoğlu (2005) Denizli ve çevresinde yapılan gravite çalışmasında normalize edilmiş tam gradyan metoduyla yoğunluk belirleme yönteminden yararlanarak ortalama kabuk kalınlığını 35 km olarak belirlemiştir. Yüksel (2005) Batı Anadolu'da yapılan gravite çalışmasında Bouguer Gravite haritasında iki boyutlu alçak geçişli süzgeçler kullanmıştır. Rejyonel Bouguer gravite anomali haritasından alınan profillere Talwani yöntemi uygulanarak Batı Anadolu'da kabuk kalınlığı için 30-40 km arasında değişen değerler bulmuştur. Bu sonuçlar Batı Anadolu'da daha önceden yapılmış çalışmalar ile uyumludur. Dolmaz ve ark. (2009) Güneydoğu Anadolu çarpışma kuşağındaki (Malatya-Elazığ-Bingöl-Diyarbakır-Adıyaman) litosferik yapının manyetik ve gravimetrik yöntemler ile araştırılması yapmıştır. Gravite çalışmasında yapı sınır analizi yöntemi, güç spektrumu yapı derinliği yöntemi ve 2B modelleme sonucu kabuk kalınlığı 38-50 km arasında hesaplamıştır. Arslan ve ark. (2010) MTA'nın Türkiye rejyonel gravite haritaları projesi kapsamında gravite

verileri kullanarak Türkiye kabuk kalınlığı haritası oluşturmuştur. Gravite verilerini kullanarak Bouguer, serbest hava ve izostazi haritaları oluşturmuştur. Bu haritalar yükseklikle ilişkilendirilmiş ve ilişki katsayıları hesaplamıştır. İlişki katsayısı +0.65 ile en iyi uyumu Bouguer verilerinde vermiştir. Türkiye kabuk kalınlığı haritası oluşturulurken Bouguer haritası ele almıştır. Bu haritada Doğu Anadolu'dan batı'ya doğru 50 km'den başlayarak 31.4 km'ye kadar incelmektedir. Ateş ve ark. (2012) havadan manyetik, gravite ve derin sismik yansıma verileri Türkiye'nin kabuk yapısını incelemiştir. Gravite çalışmasıyla Türkiye'nin kabuk kalınlığı haritasını oluşturmuştur. Bu haritada kabuk kalınlığı 23-43 km arasında değişen değerlerden oluşmaktadır. Bektaş (2013) havadan manyetik, gravite verileri ve Curie noktası derinliği bilgilerinden yararlanmıştır. Gravite haritasından oluşturulan İç Anadolunun doğusunda Moho derinliği 33-37 km arasındaki değerlere sahiptir. Kende ve ark. (2017) Marmara Denizi bölgesindeki gravite verilerine Parker yöntemi uygulamış, Moho topografyasını oluşturmak için kalıntıların ters çözümü ve 3 Boyutlu inceltilmiş modellemeyle Moho derinliği ve kabuksal incelemeleri ortaya koymuştur. Sönmez ve Oruç (2017) Doğu Marmara Bölgesindeki EGM08 Bouguer gravite verilerini kullanarak gravimetrik ve izostazik yöntemlerle kestirimiyle Moho derinlik haritaları oluşturmuş. Çavşak ve ark. (2002) Doğu Pontidler ve Karadenizde gravite çalışmaları sonucu Moho derinliğini 25-55 km arasında bulmuştur. Tezcan (2008) Doğu Akdeniz ve Karadeniz'in uydu altimetri verisinden türetilen gravite verilerini kullanarak Serbest Hava ve Basit Bouguer Anomali haritaları oluşturmuştur. Karadeniz'de 19 km ve Doğu Akdeniz'de 22 km Moho derinlikleri bulmuştur. Starostenko ve ark. (2004) Batı ve Doğu Karadeniz havzalarında yapılan gravite çalışmasında, sırasıyla 19 ve 22 km sıklıkta Moho derinlikleri elde etmişlerdir. Bu çalışmada Orta Karadeniz Sırtı güney ve kuzey bölgelerinde Moho derinliği 29 ve 33 km olarak bulunmuştur. Ayrıca Doğu Karadeniz Havzasının güneyinde 32 km'lik bir Moho derinliği belirlenmiştir. Anbaran ve ark. (2016) Orta ve Doğu Anadolu, Karadeniz Havzası ve Kafkasya bölgesini kapsayan direkt lineerleştirilmiş iteratif bir 3B ters çözüm yöntemi kullanarak litosfer kalınlığı ve ortalama kabuk kalınlıkları bulmuştur. Parlak (2017) Orta Karadeniz Bölgesindeki gravite verileriyle temel kaya, Conrad ve Moho süreksizlikleri bulmuştur. Çavşak ve Elmas (2011) Doğu Karadeniz Bölgesi'nde yapılan 3B gravite ters çözüm modellemesiyle kabuk yapısı ve Moho derinliği

bulmuşlardır. Bilim ve ark. (2016) Doğu Akdeniz'de ve Ege Bölgesinin güney kesiminde Maden Tetkik ve Arama Genel Müdürlüğü'nden elde edilen verilerle ampirik bir denklem kullanılarak gravite anomalilerinden Moho derinliği haritası oluşturmuş ve Moho derinliği için 18-42 km arasında değişen değerler hesaplamıştır. Tziavos ve ark. (2017) Parker-Oldenburg gravite ters çözüm yöntemi kullanarak Kıbrıs'da Moho derinlik modeli oluşturmuştur. Tsokas ve Hansen (1997) Yunanistan'daki gravite değerlerine uygulanan çok kaynaklı Werner dekonvolüsyon yöntemi vasıtasıyla kabuk kalınlıklarını 19-50 km arasında elde edilmiştir. Tirel ve ark. (2004) Ege'de yapılan gravite araştırmalarında öncelikle arazi anomalileri ve manto etkilerini düzeltmiştir. Kısa dalga boyundaki kabuksal etkilerden kaçınmak için 50 ile 300 km arasında filtrelemiştir. Sonuçlar daha önce yapılan jeofizik çalışmalarla karşılaştırılmıştır. Ege'de ortalama kabuk kalınlığı 25 km'yi göstermektedir. Makris ve Yeşeroğlu (2006) Girit ve Libya denizi için 3B yoğunluk modeli ve beş 2B sismik hat sınırlandırarak modelleme yapmıştır. Nafe-Drake ve Birch ampirik fonksiyonlarını kullanmıştır. Snopek ve ark. (2007) Ege'de Helenik dalma-batma zonu ve Girit bölgesinde yapılan sismik, alıcı fonksiyonları ve yüzey dalgaları çalışmalarını 3B gravite modeli ile karşılaştırmıştır. Gravite çalışmasında kabuk kalınlıkları 30-45 km arasında hesaplamıştır. Makris (2010) Yunanistan'da derin sismik ölçüm ve Bouguer yerçekimi alanı ile kabuğun ve üst mantonun 3B hız modelini oluşturmuştur. Grigoriadis ve ark. (2016) Hellenik yayı bölgesinde Parker-Oldenburg gravite yöntemiyle yapılan hesaplamalarda yüksek çözünürlüklü gravite verileri kullanmıştır. Verilere alçak geçişli filtre uygulamıştır. Filtrenin yüksek kesme frekansını belirlemek için kabuğun ve mantonun farklı ortalama derinlik ve yoğunluk kontrastları kullanmıştır. Yoğunluk kontrastı ve Mohorovičić süreksizliğinin ortalama derinliği, sismik verilerinden yorumlanan Moho derinliği ile uyumlu olanı kullanmıştır. Ege Denizi ve Yunanistanı kapsayan önceki Moho derinlik çalışmaları karşılaştırılmıştır. Grigoriadis ve Tziavos (2017) Yunanistan'daki Moho süreksizliğini belirlemek için üç farklı gravite ters dönüşüm yöntemiyle Moho derinlik haritaları oluşturmuştur. Dorre ve ark. (1997) Mısır ve çevresinde Bouguer gravite anomalileriyle kabuk kalınlığı bulmuştur. 300 <math> < h < 700 < /math> km dalga boyu bandında gözlemlenen alana band pass filtre uygulamış ve yedi gravite profili seçilerek 2.5 boyutlu modeller ile yorumlamıştır. El-Khadragy ve ark. (2010) Mısır'ın kuzeybatı çölü güney Sitra

bölgesinin spektral analiz ve 2 boyutlu gravite modelleme tekniğiyle Conrad ve Moho süreksizlik haritaları oluşturmuştur. Conrad ve Moho süreksizliği sırasıyla 19.5-22.7 km ve 32-34.9 km arasında değerlere ulaşmıştır. Saada ve ark. (2013) Mısır'ın orta kesimindeki kabuğu ve üst mantoyu araştırmak için Bouger gravite verileri kullanmıştır. Gravite verilerine en küçük kareler polinomu kullanan bölgesel-kalıcı ayırma tekniğini ve spektral analiz tekniği uygulayıp Conrad ve Moho süreksizlik haritaları oluşturmuştur. Azab (2014) Agnes Horst'ta yapılan gravite ve havadan manyetik ölçümlerle ortak bir çözüm yapmıştır. 2B ve 2.5B Modelleme sonucu Conrad yüzeyi için 21.5-22 km, Moho sınırı için ise 32-33 km arasında değerlere ulaşmıştır. El-Khadragy ve ark. (2014) Mısır'daki Sina Yarımadası'nın kuzey ve orta kesimlerinin kabuk yapısını belirlemek için Bouguer gravite ve aeromanyetik haritalar kullanmıştır. Gravite verileri, derin sismik kırılma verileri ve jeolojik bilgi ile birleştirilerek çalışma alanı için oluşturulan altı kabuk modelinde Moho derinliği 27-35 km arasında değişmektedir. Ghanoush ve ark. (2014) Libya'daki Ajdabiya çukurunda yapılan gravite ve manyetik modelleme sonucu Moho derinliği için 26-41 km arasında değişen değerler elde etmiştir. Azab ve ark. (2015) Mısır'da sismik kırılma ve spektral analiz sonuçlarına dayanılarak 2B gravite modellemesiyle Conrad ve Moho süreksizliklerini bulmuştur. Ismail ve ark. (2015) Mısır'daki Alamein bölgesine ait gravite ve aeromanyetik verileri kullanarak Conrad süreksizliği için 17.9-20.5 km arasında ve Moho süreksizliği için 28.5-31.5 km arasında değerlere elde etmiştir. Prutkin ve Saleh (2008) Süveyş Körfezi ve Akabe Körfezi dahil olmak üzere Kuzey Kızıldeniz bölgesinin gravite ve manyetik yöntemle Moho sınırının üç boyutlu topoğrafyasını ortaya çıkarmıştır. Ali ve Watts (2009) Birleşik Arap Emirlikleri'nde yapılan sismik yansıma profili, gravite anomalisi ve keşif kuyusu verileri kullanarak kabuk yapısını araştırmıştır. Maden ve ark. (2009) Doğu Pontidler'de gravite yöntemiyle kabuk yapısını belirlemek için Moho derinliği ile gravite anomalisi arasında geliştirilen ampirik bağıntı, güç spektrumu analizi ve gravite ters çözümü uygulayıp iki ve üç boyutlu modelleme sonucu Moho derinliği için 32-44 km arasında değerler hesaplamıştır. Tašárová ve ark. (2009) Batı Karpat ve Pannonien Havzasında Bouguer gravite anomalisinin 3 boyutlu modellenmesini kullanarak litosfer astenosfer sınırı (LAB), kabuk/manto sınırı (Moho), sedimanter havzaların dibi ve alt kabuk izopak haritaları oluşturmuştur. Munt ve ark. (2012) Arabistan-Avrasya çarpışması

(İran) alanında bölgesel gravite, yükseklik ve jeoid verileri birleştirilerek elde edilen 3 boyutlu kabuk yapısını ortaya çıkarmıştır. Fnais ve ark. (2013) Suudi Arabistan'ın kuzeybatı bölgesinin gravite verilerini Earth Gravitational Modelinden elde etmiş ve onbir profil boyunca 2B gravite modellemesi yapmıştır. Kabuk kalınlığı olarak 25-38 km arasında değişen değerler elde etmiş ve bu sonuçların diğer yapılan derin sismik ve sismolojik araştırmalarla uyum içinde olduğunu belirtmiştir. Mechie ve ark. (2013) Arap levhası için üç çeşit harita yapmıştır; birinci haritada EIGEN 06C gravite modeli, ikinci haritada sismolojik veriler (alıcı fonksiyonları ve sismik kırılma) ve gravite verileri ve üçüncü haritada ise sadece sismolojik verilerden Moho derinlik haritası oluşturmuştur. Saleh (2013) Güneydoğu Akdeniz Havzası bölgesinin kabuk yapısını belirlemek için 3B Bouguer ve yükseklik verilerini analiz ederek Moho süreksizliği için 20.5-35.5 km arasında değerler elde etmiştir. Asgari ve Mehramuz (2015) Kopeht Dağ bölgesinde, İran Ulusal Kartografya Merkezi ve Bureau Gravimetrique Uluslararası karasal gravite verilerini kullanarak Bouguer anomalilerini hesaplamıştır. Parker - Oldenburg yöntemi ile frekans uzayında ortak çözüm yöntemi kullanarak Moho derinliklerinin 34-56 km arasında değiştiği saptanmıştır. Kaban (2002) Tien-Shan'ın, Hazar ve Karadeniz'in bir parçası olan Kafkasya için Kopet Dağ için, ayrıca Doğu Avrupa platformu ve Turan plakasının komşu bölümlerini kapsayan bölgede gravite verileriyle Moho süreksizlik haritası oluşturmuştur. Marovic ve ark. (2002) Sırbistan'da yapılan gravite çalışmalarından derlenen verilere dayanarak üretilen kabuk kalınlığı haritasında 23-38 km arasında değerler elde etmiştir. Ioane ve Ion (2005) Romanya'da yapılan sismik kırılma ve sondaj verileri temel alınarak yayınlanan kabuk modellerinden jeofizik model oluşturmuştur. Bouguer gravite haritasının tamamlanması ve ortalama gravite veri kümesinin 5 'x 7.5' grid hesaplanmasıyla 3B modelleme yapmıştır. Moho süreksizliği 27-53 km arasında değişmektedir.

5.5. Yüzey Dalgaları

Mindevalli ve Mitchell (1989) Türkiye'nin kabuk yapısını Rayleigh ve Love dalgaları grup hızlarının tek istasyon ölçümleriyle bulmuştur. Karagianni ve Papazachos (2007) Ege gölgesinde geniş bant, üç bileşenli dijital istasyonlar tarafından 6 aylık bir sürede

kaydedilen bölgesel depremlerden elde edilen Rayleigh ve Love dalgalarının ortak çözümü sonucu Moho süreksizliğini belirlemiştir. Endrun ve ark. (2008) Ege bölgesinde Rayleigh dalgası dispersiyonu analizi yöntemiyle Moho derinlikleri için 25-48 km arasında değerlere ulaşmıştır. Erduran (2009) ISP istasyonunda alıcı fonksiyonu ve yüzey dalgaları ortak çözümü sonucu Moho derinliğini 40 km olarak bulmuştur. Karagianni ve ark. (2005) Türkiye'nin Ege bölgesi, Yunanistan ve Ege Denizi'nde 6 aylık bir süre için kurulan geniş bant istasyonlarında kaydedilen 185 bölgesel depremden oluşan Rayleigh dalgası temel modunun grup hızlarını kullanarak Ege bölgesinde kabuk-üst manto kesme dalga hızı yapısının 3 boyutlu bir tomografik modelini oluşturmuştur. Rayleigh dalgalarının inversiyonu ile elde edilen Moho derinliği 20-46 km arasında değişmektedir. Ersan ve Erduran (2010) Orta Anadolu'da 5 istasyonda (ANTO, CDAG, ELDT, ILGA, BBAL) P alıcı fonksiyonları analizini kullanarak bu istasyonlar için kıtasal kabuk kalınlığını sırasıyla 36 km, 40 km, 36 km, 36 km, 38 km olarak bulmuştur. Çakır ve Erduran (2011) ANTO istasyonunda P ve S alıcı fonksiyonları ve yüzey dalgaları ortak çözüm sonucu Moho derinliğini 38 km olarak bulmuştur. Çakır ve Erduran (2004) TBZ istasyonun alıcı fonksiyonları, bölgesel Rayleigh dalgaları ve Love yüzey dalgası dispersiyonu sonucu kabuk kalınlığı için 35 km elde etmişler. Altunışık (2010) IST ve TBZ istasyonlarını alınan verilerde polarizasyona dayalı yüzey dalgası ayırım süzgeci kullanarak Love ve Rayleigh dalgaları ayrılmış ve ardışık süzgeç tekniği kullanılarak grup hızları bulmuştur. Grup hızı dispersiyon eğrilerinin ortalamaları kullanılarak yapı belirlemiştir. Profillerden kabuk ve üst mantonun hızları hesaplanmıştır. Kutlu ve Sayıl (2012) TBZ istasyonundan alınan yüzey dalgaları verilerinde ayırım süzgeci, ardışık süzgeç tekniği ve Kirpi (Hedgehog) yöntemi uygulayarak Moho derinliğini 40 km bulmuştur. Çınar ve Alkan (2016) Kandilli Rasathanesi ve Deprem Araştırma Enstitüsü istasyonlarında kaydedilen Doğu Karadeniz'de meydana gelen 13 bölgesel depremden oluşan dijital genişbant kayıtlar kullanmıştır. Doğu Karadeniz bölgesinde Rayleigh dalgalarının tek istasyon grup hızı analizleri ve inversiyon yöntemi kullanılarak kabuk kalınlığı için 26-42 km arasında değişen değerler bulunmuştur. Di Luccio ve Pasyanos (2007) yüzey dalgaları dispersiyon eğrilerinin analizinden Doğu Akdeniz'de kabuk kalınlığı için 15-48 km arasında değişen değerler hesaplamıştır. Sayıl (2014) üç bileşenli kayıtlara kutuplaşma özelliklerine dayanan yüzey dalgası

ayırt etme filtresi uygulamış ve grup hızlarını çoklu filtre ile hesaplamıştır. Yüzey dalgaları grup hız dağılım verilerinden Anadolu'da kabuk kalınlığını 38-40 km olarak belirlemiştir. Delph ve ark. (2015) Türkiye'nin doğusunda ortak dönüşüm noktası (CCP) istifleme yöntemi kullanarak yüzey dalgaları dispersiyon verileri ve alıcı fonksiyonların ortak ters çözümü sonucu kabuğun ve üst mantonun 3B kayma dalgası hızı modelini oluşturmuştur. Şerif (2004) Türkiye'de ISKB, BALB ve VANB istasyonlarından alınan magnitüdüleri 4.6-6.4 arasında değişen depremlerin Rayleigh ve Love dalgalarını kullanmıştır. Grup hızları için ardışık süzgeç tekniği kullanılmış ve dispersiyon eğrilerinin ters çözümü yapılmıştır. ISKB-BALB istasyonları için 35 km, VANB istasyonu için 40 km kabuk kalınlığı değerleri bulunmuştur. Çınar ve Alkan (2015) 2011 Van Deprem şokunun düşey bileşen sismogramları ve 10 artçı sarsıntı, Kandilli Rasathanesi ve Deprem Araştırma Enstitüsü (KOERI) 'nin 9 geniş bant istasyonunda gelen veriler kullanılarak tek istasyon Rayleigh dalga grubu hızları Doğu Anadolu'nun 1B kesme hızı kabuk yapısını oluşturmuştur. Kabuk kalınlığını 42 km olarak hesaplamıştır. Çınar ve Alkan (2017) Van Gölü bölgesindeki Kandilli Rasathanesi ve Deprem Araştırma Enstitüsü istasyonları tarafından kaydedilen yerel ve bölgesel depremlerden temel modlu istasyon Rayleigh dalga faz hızları altı farklı geniş bant istasyonu çifti ve 27 deprem seçerek Moho derinliğinin ~ 42 km olduğu bulmuştur. Pasyanos ve ark. (2001) Orta Doğu, Kuzey Afrika, Güney Avrasya ve Akdenizde yapılan yüzey dalgaları yönteminde 13.500'den fazla sismogram, 6817 Rayleigh ve 3806 Love dalgası dispersiyon ölçümleri yapmıştır. Grup hız tomografisini modellemek için eşlenik gradient yöntemi kullanmıştır. Meier ve ark. (2004) Libya sahillerinden Doğu Akdeniz'den merkezi ve Türkiye doğrultulu profilde Rayleigh dalgası faz hızlarını iki istasyonlu bir yöntemle ölçerek kesme dalga hızının 1B modellemesi yapmıştır. Gök ve ark. (2006, 2008) Irak'ta P-dalga alıcı fonksiyonları ve yüzey dalgaları grubunun ortak ters çözümüyle MSL istasyonunda 39 km ve BGD istasyonunda 43 km Moho derinliği bulmuştur. Nasrabadi ve ark. (2008) İran Platosunda 2004 ile 2005 yılları arasında İran Ulusal Deprem Ağı'nın (INSN) 12 geniş bant istasyonundan alınan 220 telesismik depremin alıcı fonksiyonları ve yüzey dalgaları dispersiyonu ortak çözümü sonucu Moho derinliğini 40-56 km arasında değiştiğini bulmuştur. Gök ve ark. (2009) Anadolu platosu, Kafkaslar ve Hazar bölgesindeki 29 geniş bant istasyonunda alınan verilerle alıcı fonksiyonları ve yüzey

dalgaları (Love ve Rayleigh) ortak ters çözümüyle kıtasal kabuk kalınlığı için 34-52 km arasında değerler bulmuştur. Abdelwahed ve ark (2013) Mısır Ulusal Deprem Ağı tarafından kaydedilen 2513 depremi kullanarak Mısır altında 3 boyutlu Conrad ve Moho süreksizliklerini saptamıştır. Gharib ve ark. (2016) Mısır'da transfer fonksiyonları yöntemi, alıcı fonksiyonları, H-k istifleme yöntemi ve alıcı fonksiyonları ve grup hız dağılımının ortak çözümü sonucu kabuk kalınlıkları bulmuştur. Corchete ve ark. (2017) Mısır'ın KD kısmında ve çevresindeki Rayleigh dalgası dağılımının tersine çözümüyle belirlenen S hız haritaları ile Moho derinliği için 20-45 km arasında değerler bulmuştur. Tang ve ark. (2016) Suudi Arabistan'daki 56 geniş bant istasyonundan elde edilen alıcı fonksiyonlarından H-k istifleme yöntemi ve yüzey dalgaları dispersiyonunun ortak çözümü ile Moho derinliği için 27-45 km arasında değerler bulmuştur.

5.6. Sismik Tomografi

Karabulut ve ark. (2003) Doğu Marmara'da 120 km uzunluğunda sismik kırılma profili boyunca 2B tomografik bir sismik hız kesiti elde etmiştir. Yolsal-Çevikbilen ve ark. (2012) Kuzey Anadolu Fayı Zonu boyunca kuzey-orta Anadolu'da 2006 Ocak ve 2008 Mayıs ayları arasında 168 depremden elde edilen 5400 P ve 3200 S dalgası okumaları kullanarak 3B Vp ve Vp/Vs için tomografik modelleme yapmıştır. Özer ve Polat (2017) İzmir ve çevresinde tomografi yöntemiyle 2008-2014 yılları arasındaki 44 istasyondan kaydedilen 1723 depremi kullanarak Moho süreksizliğini 24 km olarak bulmuştur. Özer ve ark. (2017) Ege bölgesinde 55 istasyondan alınan yerel depem tomografisi verilerini kullanarak Moho derinliği 25-35 km arasında değişmekte ve Aydın'da 19 km, Selendi-Demirci'de 29 km olarak bulmuşlar. Cambaz (2010) Türkiye ve çevresinde yüzey dalgası tomografisi yöntemi kullanarak grup hız haritaları oluşturulmuştur. Papazachos (1998) Kuzey Yunanistan'da yapılan tomografi çalışmasında kabuk ve üst mantonun P ve S hızları ve yerel depremlerin seyahat zamanlarının ters çözümü ile kabuk kalınlığı için 25-35 km arasında değerlere ulaşmıştır. Haslinger ve ark. (1999) 1995 yılında Arta Körfezi çevresinde (İyon bölgesi, KB Yunanistan) yerel deprem tomografisiyle 37 istasyonda gözlemlenen 441 yerel olaydan toplamda 2776 P-faz okumasına sahip 232 konumlandırılmış depremi

kullanarak 1B hız modeli ve 3B kabuk yapısı elde etmiştir. Karagianni ve ark. (2002) Yunanistan'da Ocak-Temmuz 1997 döneminde elde edilen veriler ve 1996-2000 döneminde diğer geçici şebekelerden elde edilen ilave verilerle 2B tomografi yöntemi ile Rayleigh grup hız haritalarını belirlemek için kullanarak kabuk kalınlığı için 22-45 km arasında değerlere ulaşmıştır. Maggi ve Priestley (2005) Türk-İran platosunda üst manto kesme dalga hızı yapısı için yüzey dalgası tomografisi kullanmıştır. Hearn ve Ni (1994) Ortadoğu'daki üst mantonun tomografik modelini oluşturmuştur. Karadeniz ve Hazar Deniz'inde normal Pn hızları bulunmuştur. Kıtasal çarpışma bölgesi olan Türk-İran Platosu altında ise tomografi yöntemiyle düşük Pn hızları hesaplamıştır. Türkiye İran sınırında oldukça düşük Pn hızları bulunmuştur. Pasyanos ve Walter (2002) yüzey dalgaları dispersiyonu tomografisiyle elde edilen veriler ile Kuzey Afrika, Avrupa ve Orta Doğu'da yüzey dalga tomografisi çalışması yapmıştır. Tomografi modeli bölgedeki her $2^\circ \times 2^\circ$ blok için ortalama Rayleigh ve Love dalga dispersiyon eğrileri sağlayarak kabuk ve üst manto sismik hız yapısı bulmak için grid arama tekniği kullanmıştır. Al-Lazki ve ark. (2004) Arap, Avrasya ve Afrika plakaları birleşme noktasında üst manto hız ve anizotropisinin Pn tomografik görüntülemesini yapmıştır. Koulakov ve Sobolev (2006) Uluslararası Sismoloji Merkezi (ISC) verileri olan 250 sismik istasyon tarafından kaydedilen 3000 kaynaktan gelen 82 000 P ve S varış süresi kullanmıştır. 3B P ve S yapısı tomografik inversiyonundan türetilmiş Doğu Akdeniz ve Ortadoğu'da kabuk kalınlığı olarak 15-39 km arasında değişen değerler bulmuştur. Park ve ark. (2008) Rayleigh dalga tomografisinde Arap Kalkanının Rayleigh dalga faz hızı ölçümlerini ters çözümü ve daha önce yayınlanmış 10 ile 45 s arasındaki Rayleigh dalga grubu hız ölçümleri ile bölgesel ağa ait verilerle modifiye edilmiş yöntemle modelleme yapmıştır. Manaman ve ark. (2011) bölünmüş dalga formu ters çözüm tekniği kullanarak üst manto ve Moho derinliğinin değişimlerini İran platosununda göstermiştir. Rahimi ve ark. (2014) İran'da Rayleigh dalgası dispersiyonunun tomografik inversiyonu yapmıştır. Bavalli ve ark. (2016) KB İran'daki sismik profil boyunca 23 istasyon tarafından kaydedilen 2780 bölgesel ve teleseismik P dalgası varış zaman ölçümlerini kullanarak 2 boyutlu tomografik modeller elde etmiştir. Fan ve ark. (1998) sismik tomografi yöntemiyle Karpatlarda (Romanya) yerel ve bölgesel sismik istasyonlardan alınmış 433 depremden 7837 P ve 2292 S varış zamanlarının ters çözümü yapmıştır. Martin ve ark. (2005) CALIXTO

deneyinden elde edilen verilerle GD Romanya'nın telesismik tomografi için oluşturulan bölgesel 3 boyutlu kabuk sismik hız modelini elde etmiştir. Raykova ve Nikolova (2007) Güney Avrupa'daki yüzey dalgası verileriyle frekans-zaman analizi, 2B yüzey tomografisi, dispersiyon verilerinin ters çözümü sonucu Moho süreksizliğini belirlemiştir. Yang ve ark. (2007) 2004 yılından itibaren 12 aylık ortam gürültüsünü 125 geniş bantlı sismik istasyonda kaydetmiştir. Ortam gürültü verileri uzun zaman serilerinin çapraz korelasyonlarına dayanan yüzey dalgaları tomografisinin geniş bir zaman aralığında elde edilebileceğine ve geleneksel depreme dayalı daha yüksek çözünürlüklü ve daha güvenilir grup hız haritalarına sahip olduğu ölçülmüştür. Haritalarda sedimanter havzalar ve kabuk kalınlıkları görüntülenmiştir. Stehly ve ark. (2009) Batı Avrupa ortamındaki sismik gürültülerin korelasyonu ile 150 geniş bant istasyonunda kaydedilen 1 yıllık gürültünün çapraz korelasyonu 3000'den fazla Rayleigh dalga grubu hız haritalarından Moho derinliğini belirlemek için ters çözüm işlemi yapmıştır. Totaro ve ark. (2014) Apennines-Calabria Yayı'nda (Güney İtalya) yerel deprem tomografisi yapmıştır. V_p , V_s ve V_p/V_s oranının dağılımını hesaplayarak kabuk yapısını elde etmiştir. Ren ve ark. (2013) Orta Avrupa Karpat-Pannoniyen bölgesindeki 7500'den fazla Rayleigh dalgası ampirik Green fonksiyonlarını çoklu filtre analiz tekniği kullanılarak belirlemiştir. Grup hız haritaları, alt uzay yöntemi kullanılarak doğrusal olmayan 2 boyutlu tomografik dönüşümden $0.2^\circ \times 0.2^\circ$ lik grid haritaları oluşturmuştur.

5.7. Manyetotellürik

Tank ve ark. (2005) 1999 İzmit depreminin fay kırılma alanında iki profil boyunca geniş bant ve uzun periyotlu manyetotellürik (MT) veriler elde ederek modelleme yapmıştır. Bayrak ve Nalbant (2001) İzmir-Ankara Suture Zonu (ASZ), Bornova Flysh Bölgesi ve Batı Türkiye'nin Menderes Masifi boyunca geniş bant manyetotellürik yöntemle (MT) 1996 yılında ölçülen 35 MT istasyonundan alınan verilerin iki boyutlu dönüşümleri ve 2B Mackie kodu kullanılarak kabuk yapısını modellemiştir. Yılmaz ve Özel (2008) manyetotellürik (MT) ve gravite yöntemlerini kullanarak Orta Anadolu'nun doğu kesiminde bir profil boyunca 37 istasyondan alınan veriler ile 2B ters çözüm yaparak kabuk kalınlığının 40-45 km arasında değiştiğini bulmuştur. Kaya

(2010) Polatlı-Nallıhan-Karasu (KB Türkiye) bölgesinin derin kabuk yapısı Manyetotellürik, Geçici Elektromanyetik ölçümleri ve gravite yöntemiyle araştırarak modelleme yapmıştır. 1996 yılında elde edilen MT verilerini kullanmış ve Moho derinliği için 20-40 km arasında değişen değerler bulmuştur. Gürer ve ark. (2004) Güneybatı Toroslarda manyetotellürik yöntem ile kabuk kalınlığının 30-50 km arasında değiştiğini belirtmiştir. Gürer ve Bayrak (2007) Türkiye’de manyetotellürik yöntemin tarihçesi ve gelişimi ve geçmişte yapılmış kabuk kalınlık çalışmaları hakkında bilgiler sunmuştur. Türkoğlu ve ark. (2008) Doğu Anadolu’da 2005 yılında alınan manyetotellürik verileri kullanarak kabuk yapısına ilişkin araştırmalar yapmıştır.

BÖLÜM 6. VERİLERİN TOPLANMASI VE AYIKLANMASI

Türkiye ve civarındaki yapılan kıtasal kabuk çalışmaları için 240 tane yayınlanmış makale incelenerek alıcı fonksiyonları, sismik kırılma, yüzey dalgaları, sismik tomografi, gravite, manyetik ve manyetotellürik yöntem verileri noktasal olarak derlenmiştir. Toplamda ayıklanmış 2991 tane noktasal veri kullanılmıştır. Bu veriler: 682 alıcı fonksiyonları, 377 sismik kırılma, 301 yüzey dalgaları, 1308 gravite, 55 sismik tomografi, 147 alıcı fonksiyonları ve yüzey dalgaları ortak çözümü, 64 sismolojik veri (sismik kırılma ve alıcı fonksiyonları) ve gravite ortak çözümü, 3 sismik kırılma ve gravite ortak çözümü, 4 alıcı fonksiyonları ve poison oranı ortak çözümü, 43 tanede gravite ve manyetik ortak çözümü ve 7 tanede sismik kırılma, gravite ve manyetik ortak çözümü verilerinden oluşmaktadır. Veri ayıklanırken bir bölgede birden fazla yöntemle elde edilmiş veri varsa güvenilirliği yüksek olan yöntemle elde edilen veri tercih edilmiştir. Örneğin bir bölgede alıcı fonksiyonları yöntemi, sismik kırılma yöntemi ve gravite ortak çözümü yapılmışsa öncelik daha yüksek güvenilirliğe sahip olduğu için bu yöntemle elde edilen verilere verilmiştir. Yüksek doğruluk sağlaması için ortak çözüm yöntemiyle yapılan kabuk araştırmalarına öncelik verilmiştir. İkinci olarak genelde ortak çözümlerden sonra güvenilir sonuçlar veren sismik kırılma yöntemi tercih edilmiştir. Daha sonra başka veri olmaması durumunda sırasıyla alıcı fonksiyonları, yüzey dalgaları, sismik tomografi ve gravite yöntemleriyle elde edilen veriler kullanılmıştır. Bir istasyonda birden fazla kişi tarafından alıcı fonksiyonları yöntemiyle yapılan kabuk araştırmasında ne zaman yapıldığı, kaç tane alıcı fonksiyonu kullandığı ve hangi algoritmayı kullanıldığına bakılarak ayıklamalar yapılmıştır. Ek-1'de ayıklanmış veriler sunulmuştur.

BÖLÜM 7. KABUK KALINLIĞI HARİTALARININ OLUŞTURULMASI

Bu çalışmada haritaları oluşturmak için Generic Mapping Tools programını kullanarak farklı komutlarda haritalar oluşturulmuştur. Ek-2’de haritaların yapımında kullanılan GMT yazılım kodları verilmiştir.

7.1. GMT (Generic Mapping Tools) yazılımı

GMT (Generic Mapping Tools) açık kaynak programcılığı kullanan, coğrafi verileri işleyen, filtreleyen, gridleyen ve bir harita projeksiyonuna değişik şekillerde aktaran 2 ve 3 boyutlu olarak gösteren ve sonuçları postscript dosya olarak üreten birçok program ve alt programlardan oluşmaktadır (Üstün, 2010).

1988'den beri yaygın olarak kullanılan Generic Mapping Tools, Hawaii Üniversitesinde görevli Prof. Paul Wessel ve Prof. Walter Smith tarafından geliştirilmiştir (Üstün, 2010).

ANSI C dilinde yazılan program kodları birbiriyle bağlantılı çok sayıda küçük araçlar olarak tasarlanmıştır. Ham veriden fitrelemeye sonra ise görselleştirme şeklinde işleyen iş akışının çalışmasını sağlar (Üstün, 2010).

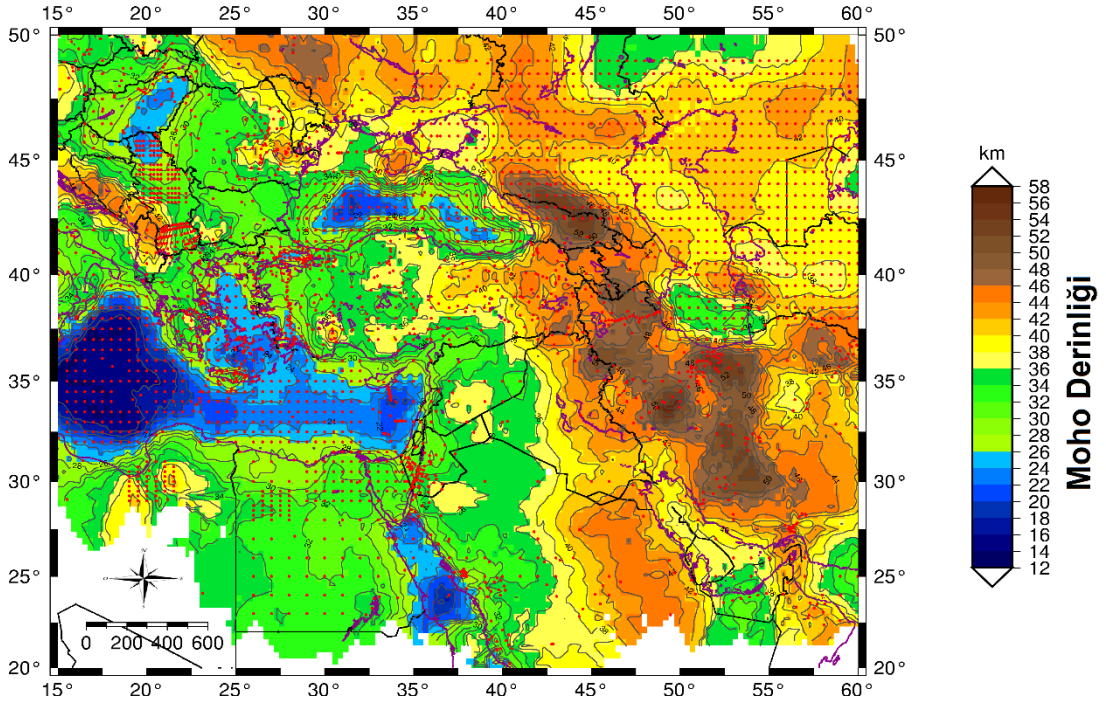
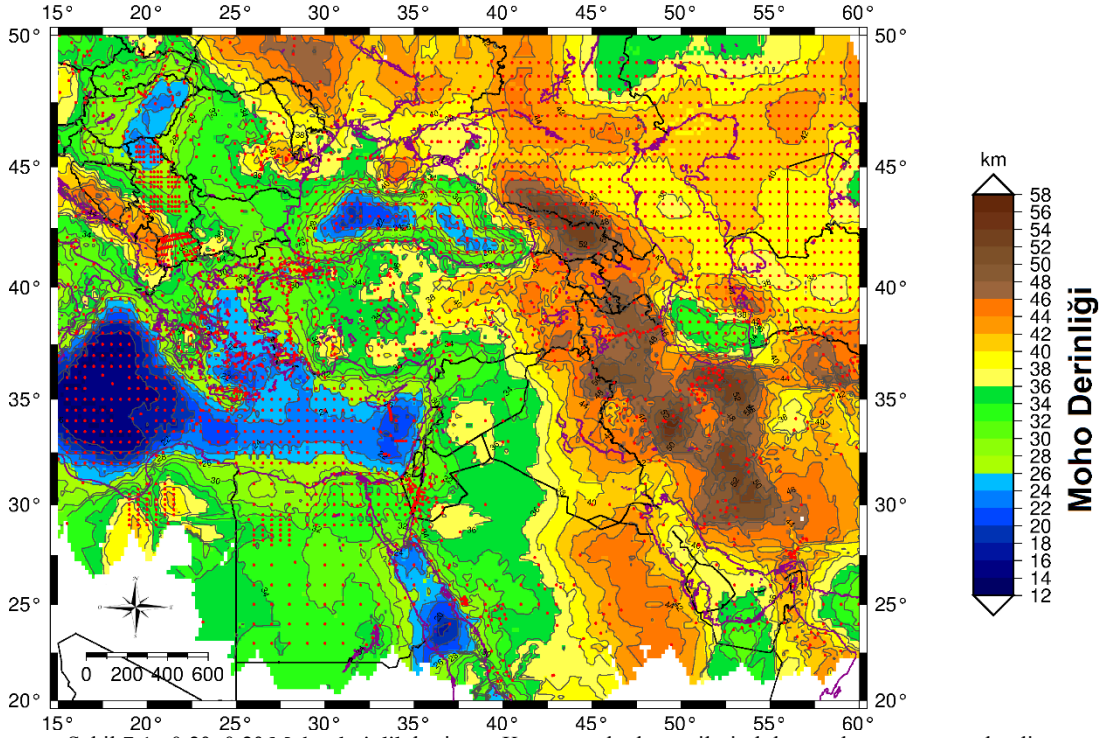
Generic Mapping Tools programı tarafından işlenen veriler iki boyutlu veya üç boyutlu veriler oluşturulabilir. Veriler metin (ascii) formatında ve ikili (binary) dosya formatında da oluşturulabilir (Üstün, 2010).

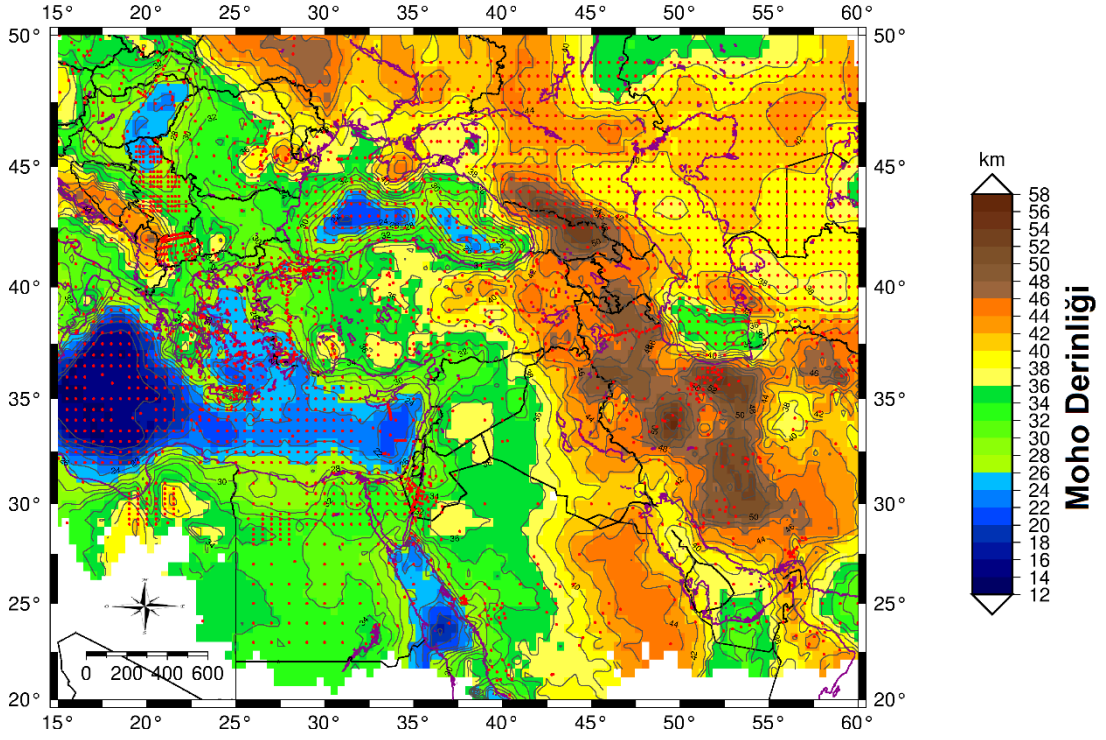
Çıktılar ise dört gruba ayrılır:

- 1-B sonuçlar (örneğin $x,y=f(x)$ koordinatları veya zaman dizileri) ekrana yönlendirilir.
- 2-B sonuçlar (örneğin; $x,y,z=f(x,y)$) metin formatında ise ekrana ya da binary formatında ise belirtilen dosyaya yazılır.
- Çizim programlarının tümü postscript dilini kullanır ve bu dilin komutları metin formatında ekrana yönlendirilir. Postscript dilinde elde edilen birden fazla komut çıktısı, uygun seçeneklerle ve kabuk yönlendirme işaretiyle (>,>>) aynı postscript sayfaya yazılabilir.
- Bazı GMT programları, girdi verilerini değerlendirdikten sonra sonuçları doğrudan ekrana döker. Verbose seçeneği (-v) daha ayrıntılı sonuçların gösterilmesini sağlar (Üstün, 2010).

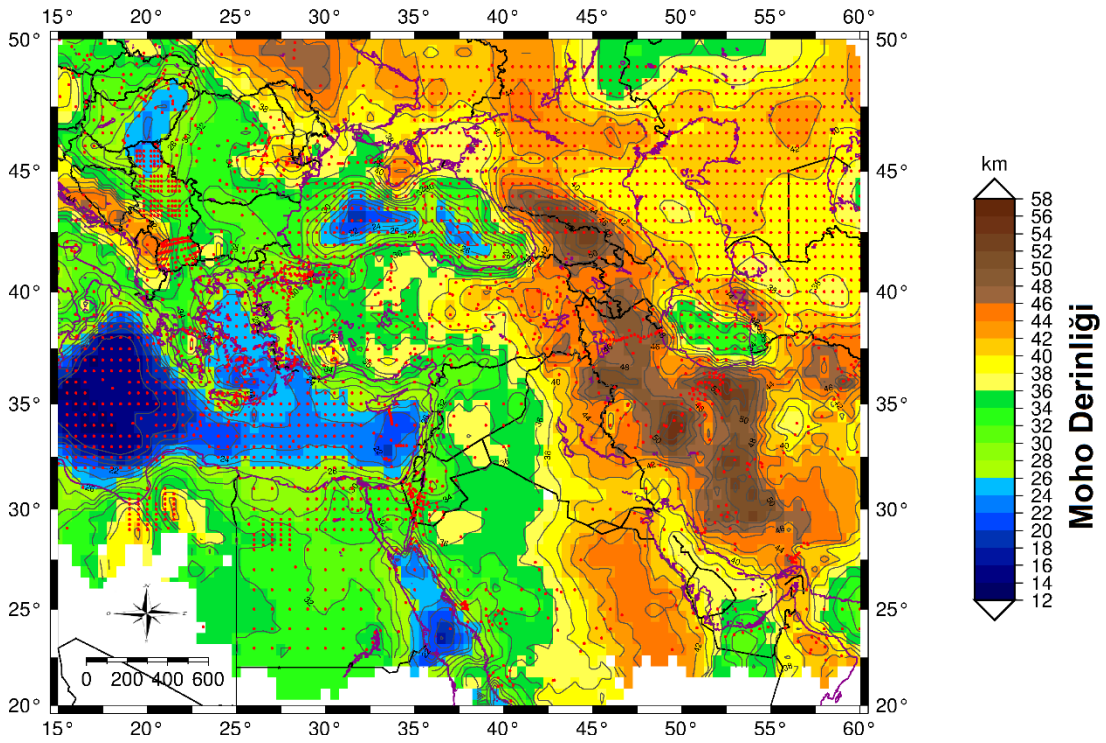
7.1.1. Nearneighbor (en yakın komşu) komutuyla kabuk haritaları

Veri olan ya da olmayan noktalara ortalama bir değer atamak için kullanılan yöntem En Yakın Komşu (Nearest Neighbor) algoritmasıdır. Verilen örnekleme aralığına uygun bir nokta için belirli bir yarıçap içinde kalan çevre verilerin ortalaması alınarak değer atanır (Wessel ve Smith, 1998). Bu çalışmada örnekleme aralığı 0.2, 0.3, 0.4 ve 0.5 olarak ve daire yarıçapı 350 km kullanarak haritalar oluşturulmuştur. (Şekil 7.1.,7.2.,7.3.,7.4.). Türkiye sınırları içinde oluşturulan Moho derinlik haritası Şekil 7.5.'de gösterilmiştir.

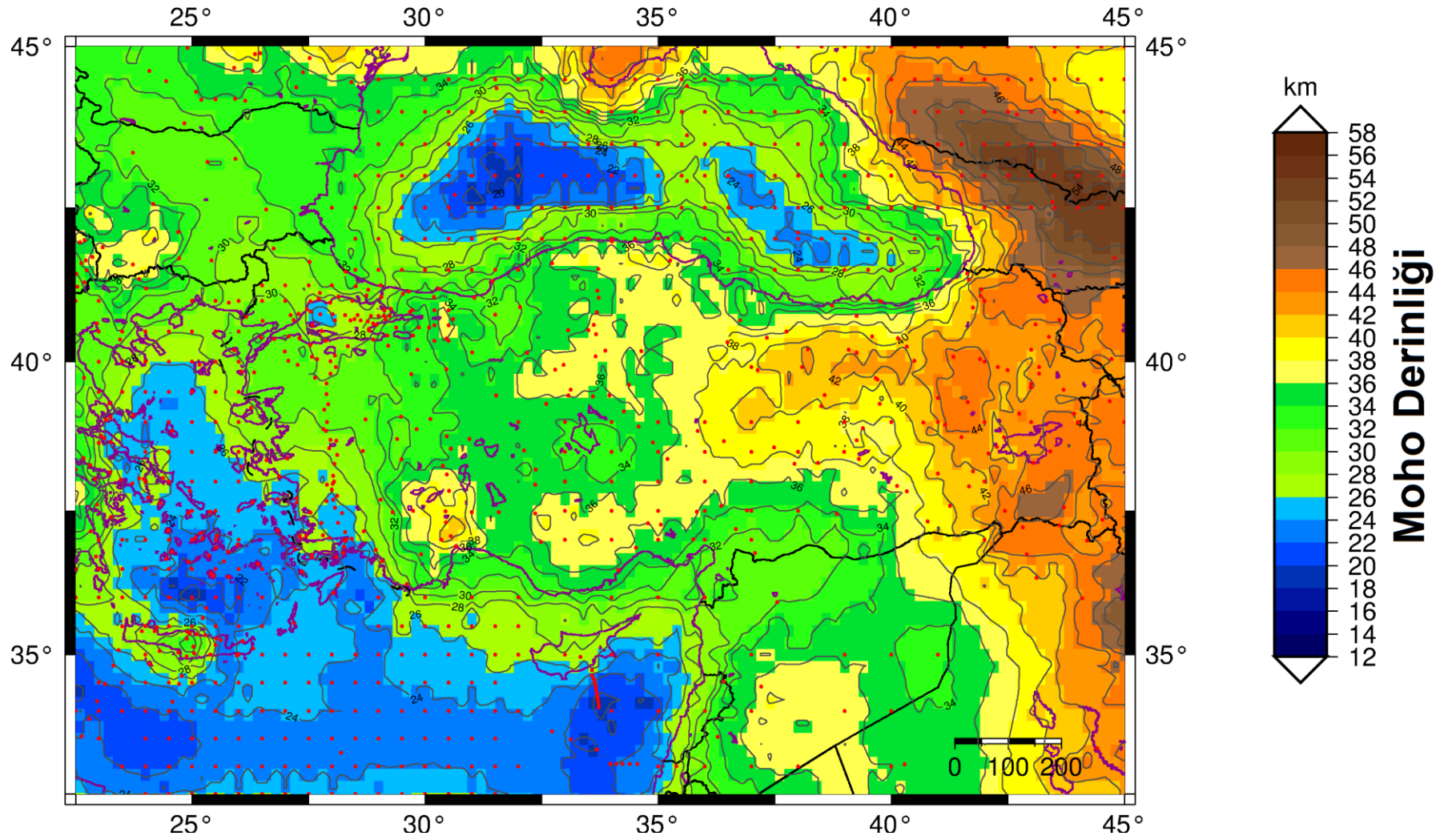




Şekil 7.3. $0.4^{\circ} \times 0.4^{\circ}$ Moho derinlik haritası. Kırmızı noktalar verilerin lokasyonlarını göstermektedir.



Şekil 7.4. $0.5^{\circ} \times 0.5^{\circ}$ Moho derinlik haritası. Kırmızı noktalar verilerin lokasyonlarını göstermektedir.



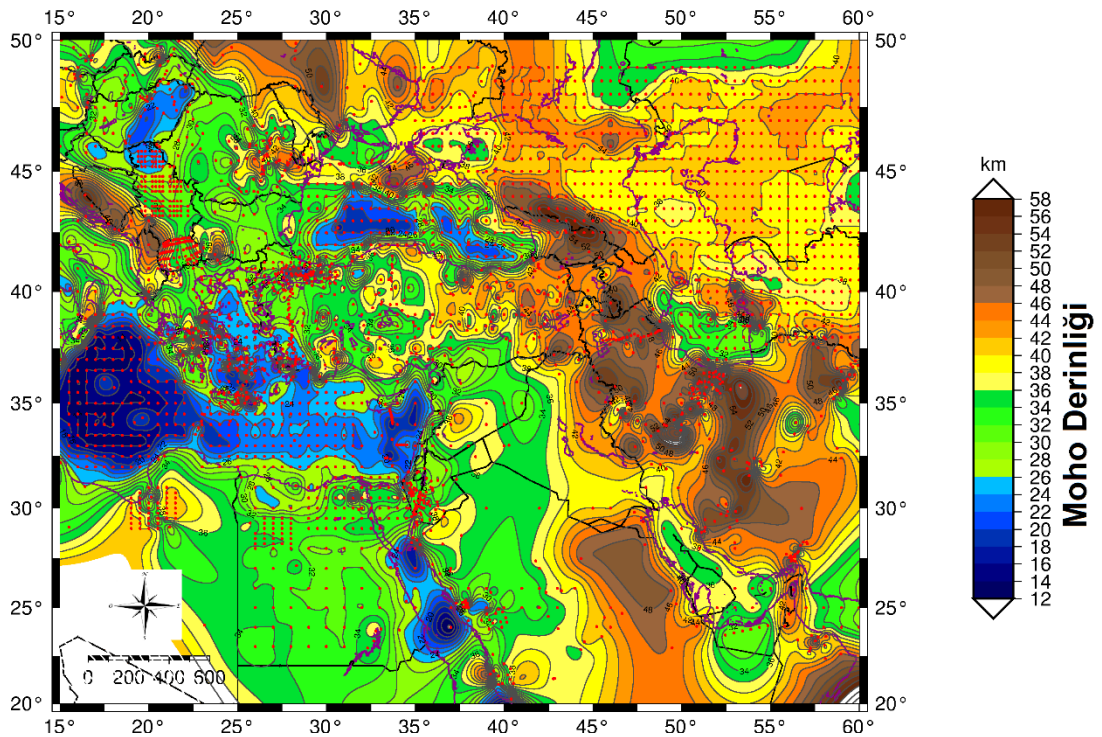
Şekil 7.5. Türkiye'nin $0.2^\circ \times 0.2^\circ$ çözünürlüklü Moho derinlik haritası. Kırmızı noktalar ayıklanmış verilerin lokasyonları göstermektedir.

7.1.2.Surface (sürekli eğrilik) komutuyla kabuk haritası

Surface rastgele aralıklı (x, y, z) verileri okuyarak [veya xyz dosyasından] 'den üçlü çözerek gridlenmiş değerler z (x, y) bir ikili grid dosyası oluşturur:

$$(1 - T) * L(L(z)) + T * L(z) = 0 \quad (7.1)$$

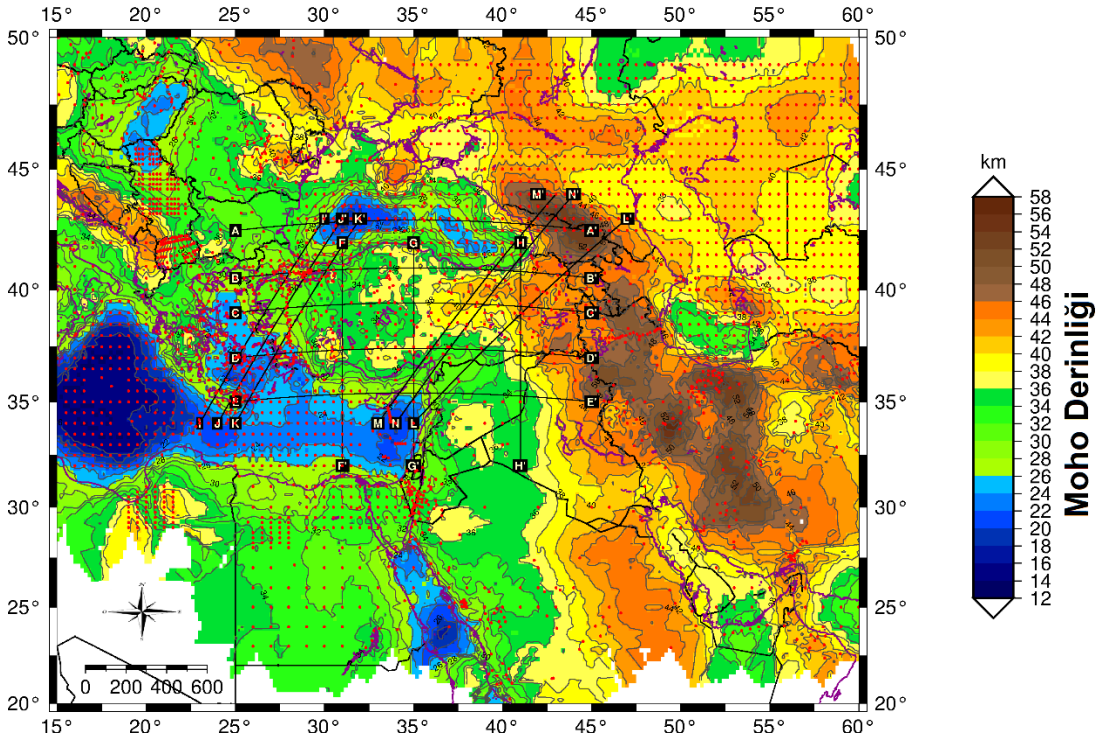
burada T, 0 ile 1 arasında bir gerilim faktörü ve L Laplace operatörü göstermektedir. T = 0 "minimum eğrilik" çözüm sunar (Wessel ve Smith, 1998). Surface komutuyla T=0 olarak kontur haritası oluşturulmuştur. (Şekil 7.6.).



Şekil 7.6. Surface komutuyla oluşturulan Moho derinlik haritası. Kırmızı noktalar verilerin lokasyonlarını göstermektedir.

BÖLÜM 8. SONUÇLAR

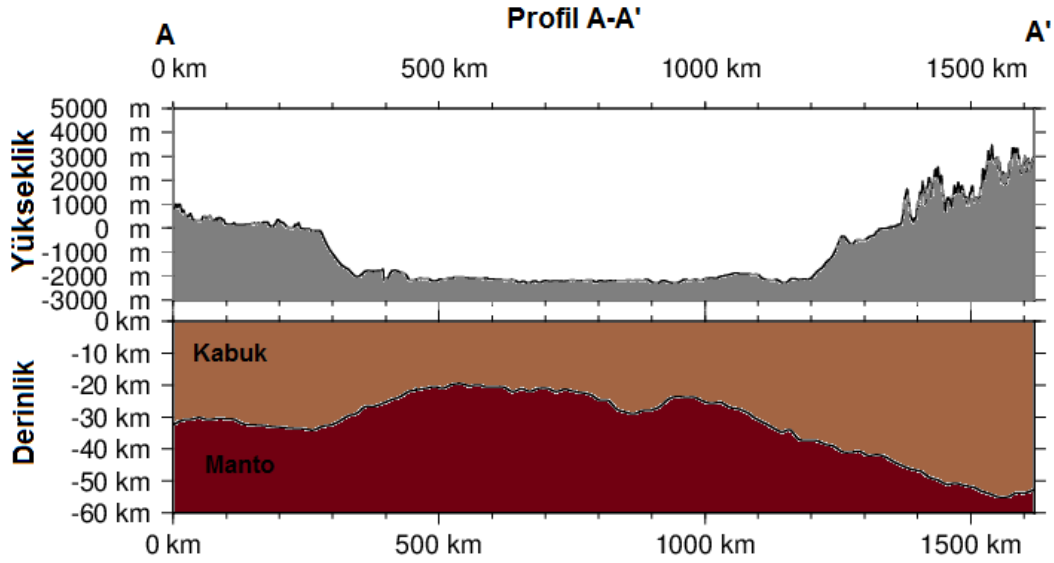
0.2°×0.2° çözünürlüklü haritada 14 tane profil oluşturulmuştur. Şekil 7.1.'deki Moho derinlik haritasını ele alarak oluşturulan profillerin lokasyonları Şekil 8.1.'de gösterilmektedir.



Şekil 8.1. Türkiye ve Civarının 0.2°×0.2° Moho derinlik haritası. Düz siyah çizgiler profilleri göstermektedir.

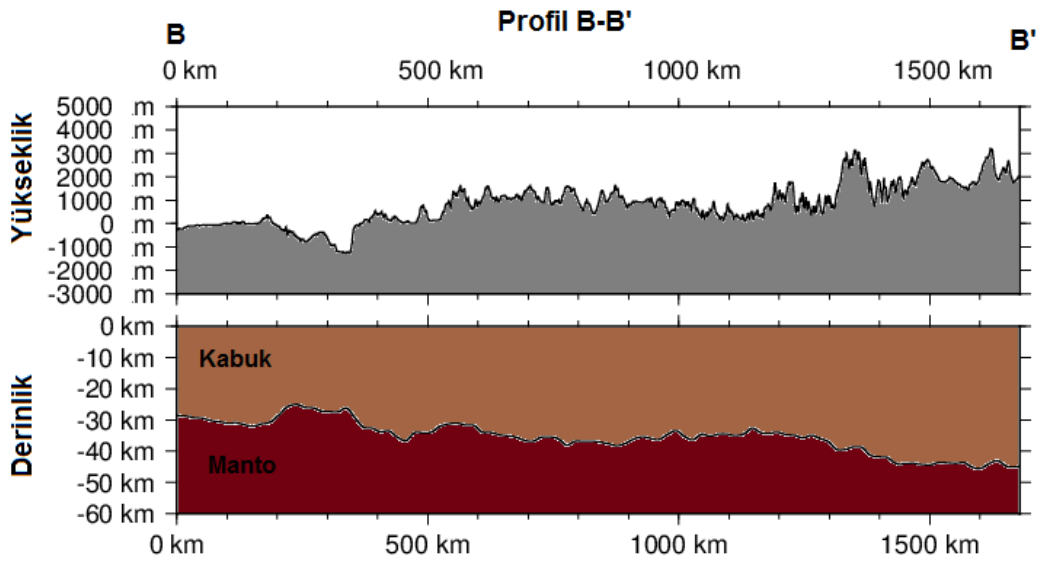
Kırmızı noktalar verilerin lokasyonlarını göstermektedir.

Şekil 8.1.'de lokasyonu gösterilen A-A' profili Şekil 8.2.'de gösterilmiştir. Bu profil boyunca topografyanın yükseldiği yerlerde Moho derinliği artmaktadır. Deniz kısımlarında ise Moho derinliğinin azalmakta olduğu gözükmektedir. A-A' profili boyunca Moho derinliği yaklaşık 54 km'ye kadar çıkmaktadır.



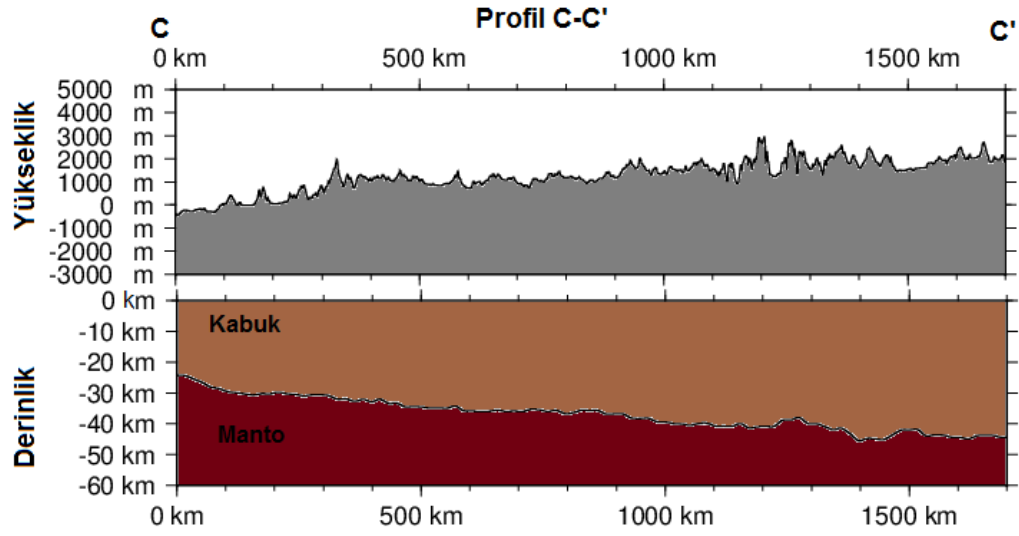
Şekil 8.2. A-A' profili. Üstteki kesit topografyayı göstermektedir. Alttaki kesit Moho derinliğini göstermektedir.

B-B' profilli yaklaşık 1700 km uzunluğundadır (Şekil 8.3.). Lokasyonu Türkiye'nin üzerinde olan B-B' profiline bakıldığında Marmara bölgesinden Karadeniz bölgesine doğru gidildikçe Moho derinliği artmaktadır.



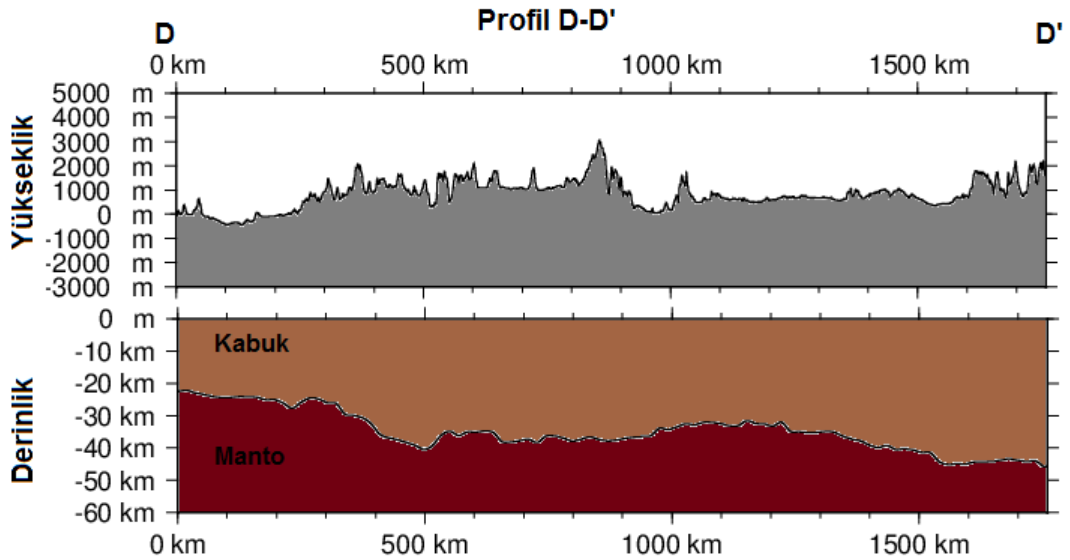
Şekil 8.3. B-B' profili. Üstteki kesit topografyayı göstermektedir. Alttaki kesit Moho derinliğini göstermektedir.

C-C' profili Türkiye'nin Ege bölgesinden başlayarak Doğu Anadolu bölgesine doğru uzanmaktadır. C-C' profiline bakıldığında topografyanın yükseldiği kısımlarda Moho derinliğinin artmakta olduğu gözükmektedir (Şekil 8.4.).



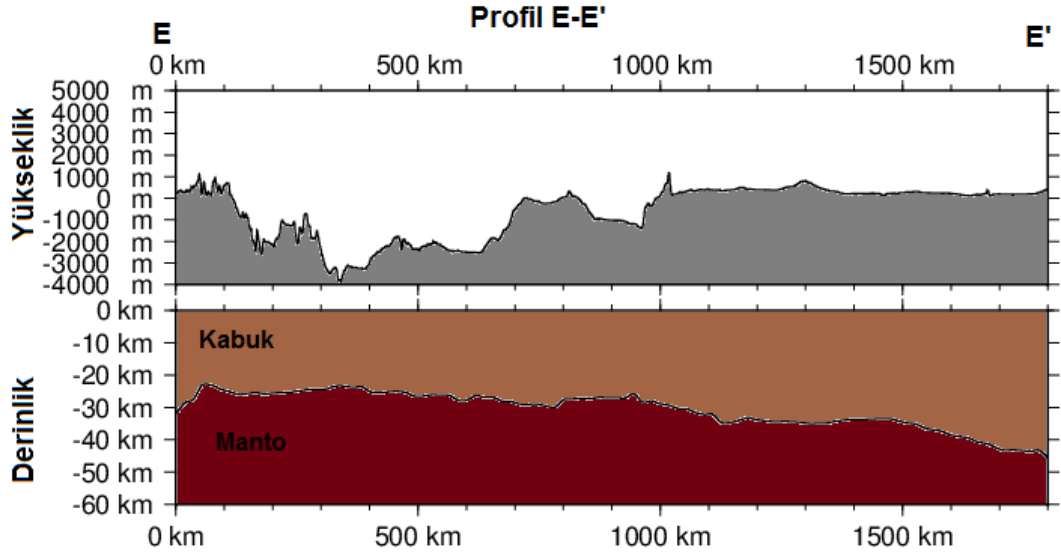
Şekil 8.4. C-C' profili. Üstteki kesit topografyayı göstermektedir. Altteki kesit Moho derinliğini göstermektedir.

D-D' profilli Ege Denizinden başlayarak Türkiye'nin Akdeniz Bölgesinde devam ederek Güney Doğu Anadolu Bölgesine doğru uzanmaktadır. Bu profilede Ege Denizinde Moho derinliği yaklaşık 22 km civarında olup Akdeniz Bölgesinde 40 km civarlarında çıkmaktadır. D-D' profillinde Moho derinliği en yüksek Güney Doğu Anadolu Bölgesinde gözükmemektedir (Şekil 8.5.).



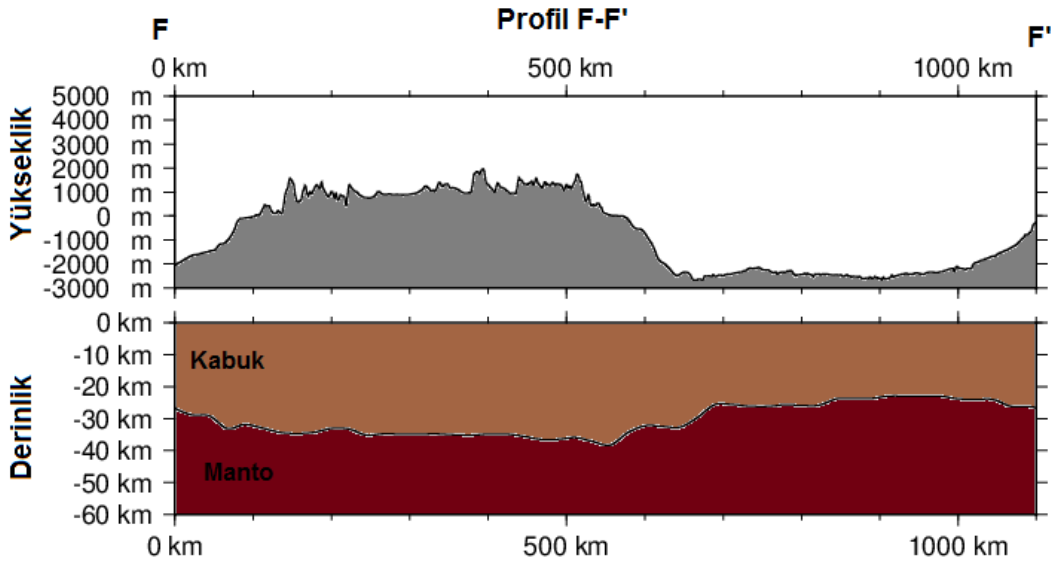
Şekil 8.5. D-D' profili. Üstteki kesit topografyayı göstermektedir. Altteki kesit Moho derinliğini göstermektedir.

Girit adasının üzerinde başlayarak Irak'a kadar devam eden E-E' profilli boyunca Girit adasında Moho derinliği yaklaşık 22 km iken Kıbrıs üzerinde artmakta olup Suriye ve Irak'ta bu profil boyunca en derin Moho derinlikleri gözükmemektedir (Şekil 8.6.).

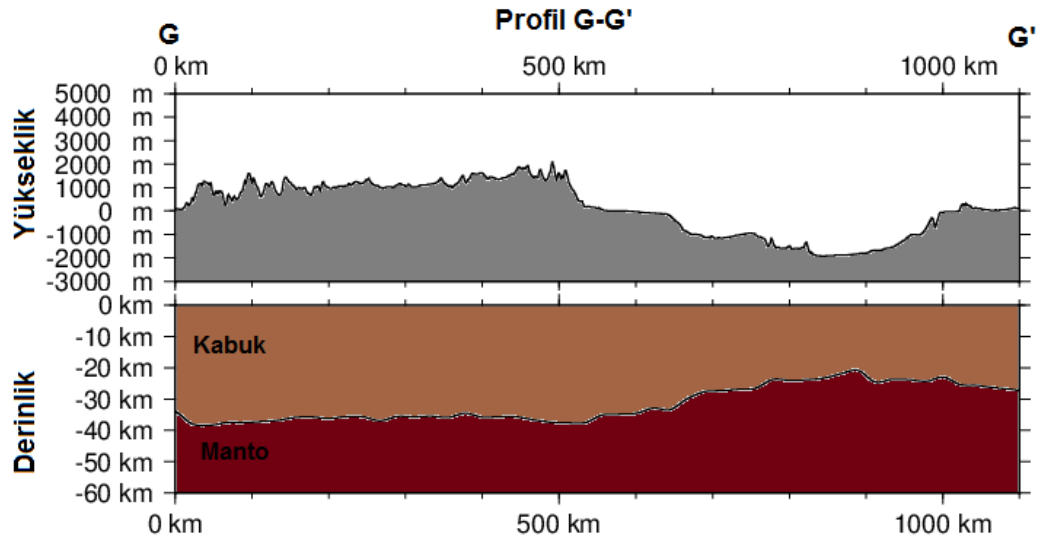


Şekil 8.6. E-E' profili. Üstteki kesit topografyayı göstermektedir. Altteki kesit Moho derinliğini göstermektedir.

F-F' ve G-G' profilleri boyunca Moho derinliği Deniz kısımlarında düşük değerleri gösterirken Kara kısımlarında yüksek derinlikler göstermektedir (Şekil 8.7. ve Şekil 8.8.).

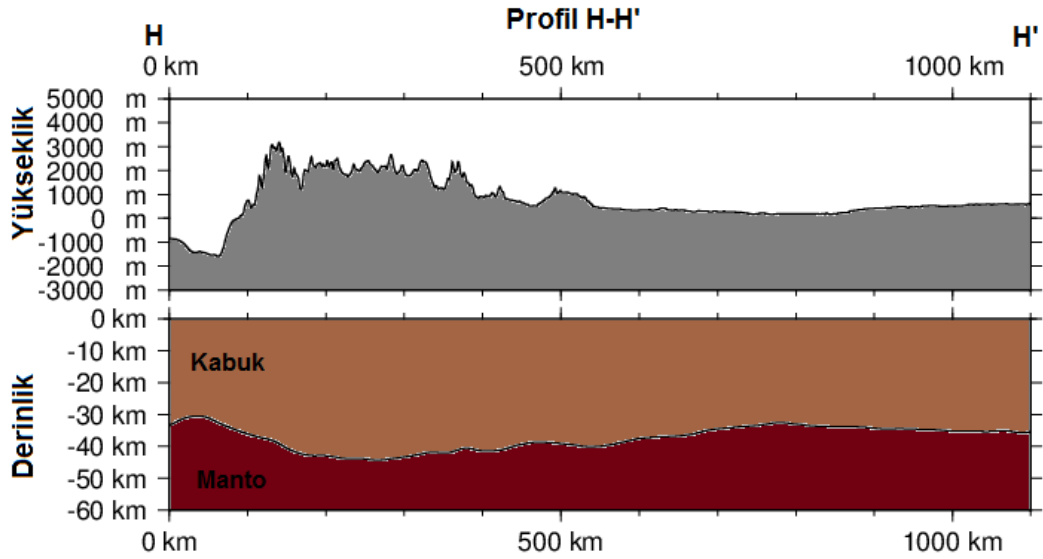


Şekil 8.7. F-F' profili. Üstteki kesit topografyayı göstermektedir. Altteki kesit Moho derinliğini göstermektedir.



Şekil 8.8. G-G' profili. Üstteki kesit topografyayı göstermektedir. Altteki kesit Moho derinliğini göstermektedir.

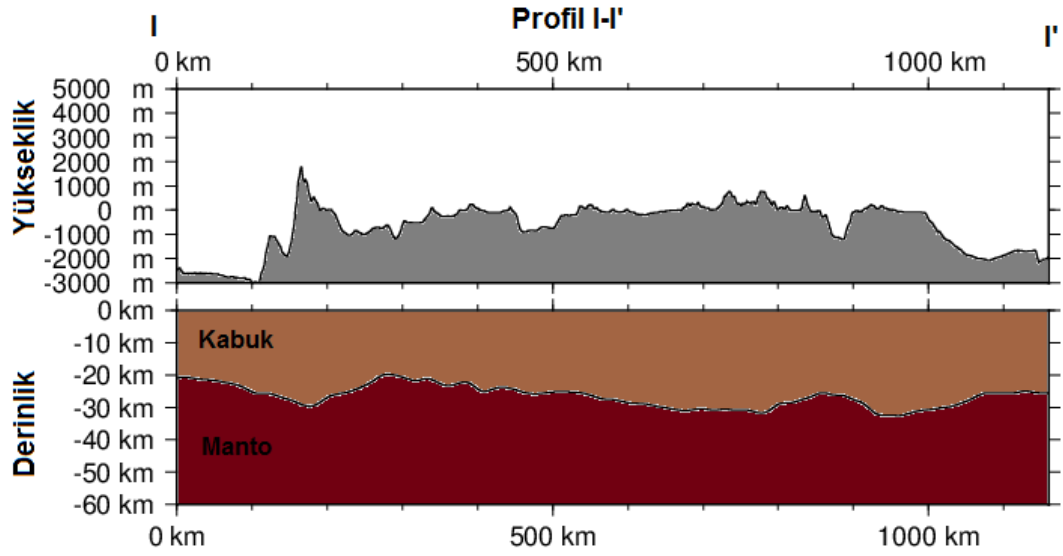
Türkiye, Suriye ve Irak'tan geçen H-H' profilli boyunca Moho derinlikleri 30-42 km arasında değişmekte olduğu gözükmemektedir (Şekil 8.9.).



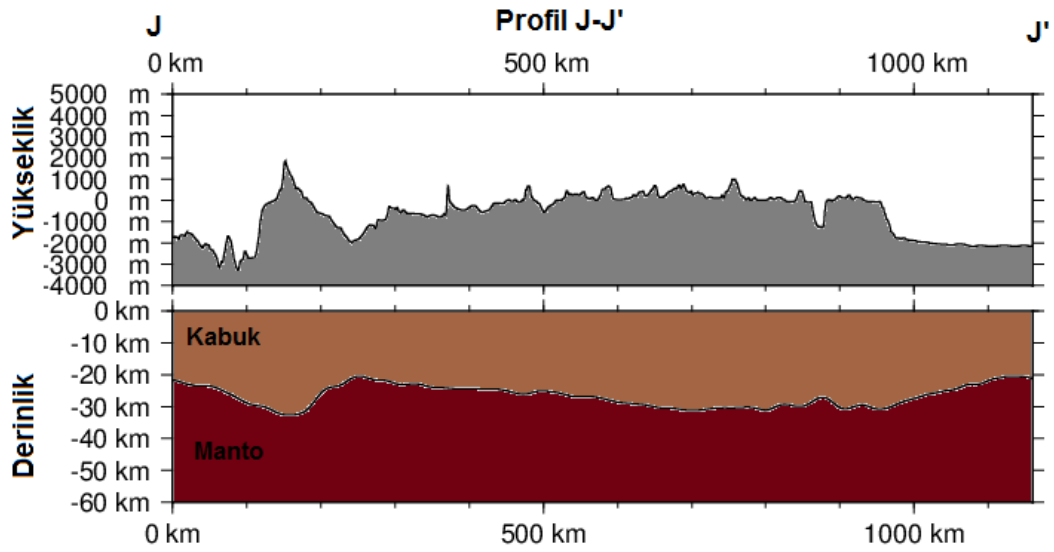
Şekil 8.9. H-H' profili. Üstteki kesit topografyayı göstermektedir. Altteki kesit Moho derinliğini göstermektedir.

I-I' ve J-J' profillerine bakıldığında topografyanın eksi değerlerde olduğu yerlerde Moho derinlikleri düşük ve Girit adasının üzerinden geçen profillerde Moho derinliği artarken deniz kısımlarında Moho derinliği tekrardan azalır profillerin kara kısımlarında ise Moho derinliği artmaktadır (Şekil 8.10. ve Şekil 8.11.). K-K' profilinde ise topografyanın düşük değerlerde olduğu yerde düşük Moho derinliği

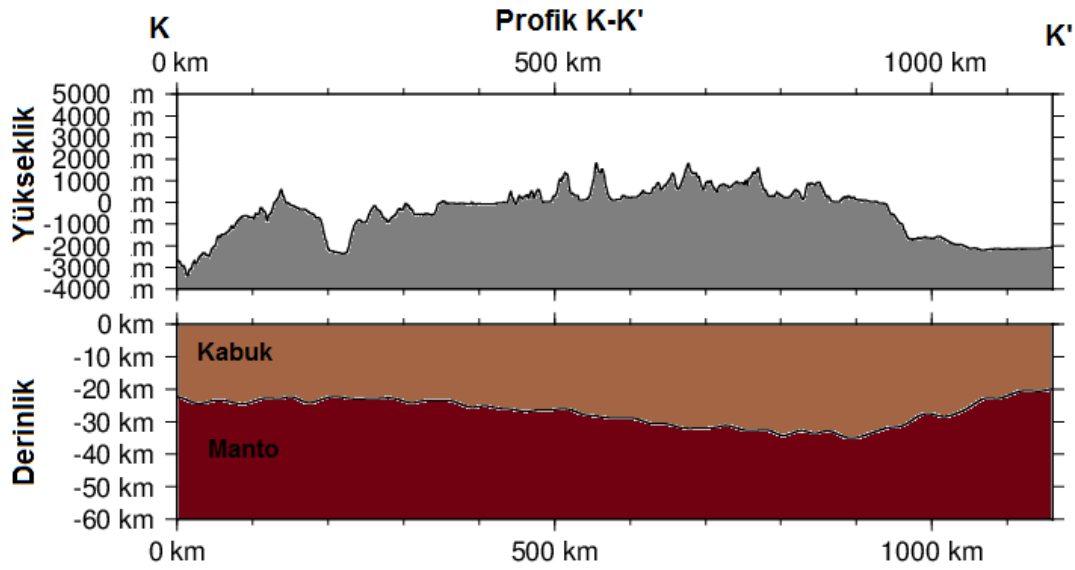
topografyanın yüksek değerler olduğu kısımda ise derinliklerin daha fazla olduğu görülmektedir (Şekil 8.12.).



Şekil 8.10. I-I' profili. Üstteki kesit topografyayı göstermektedir. Altteki kesit Moho derinliğini göstermektedir.

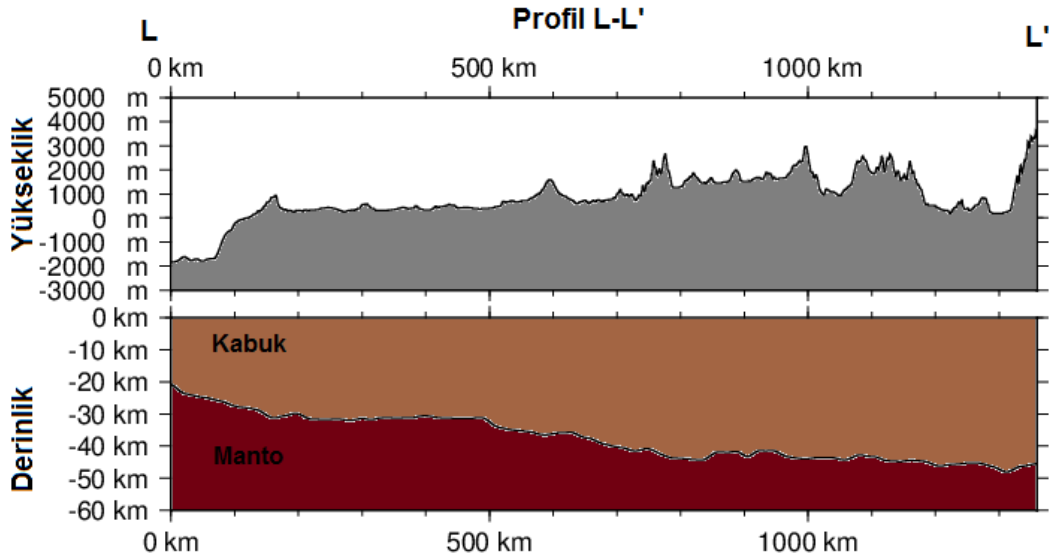


Şekil 8.11. J-J' profili. Üstteki kesit topografyayı göstermektedir. Altteki kesit Moho derinliğini göstermektedir.



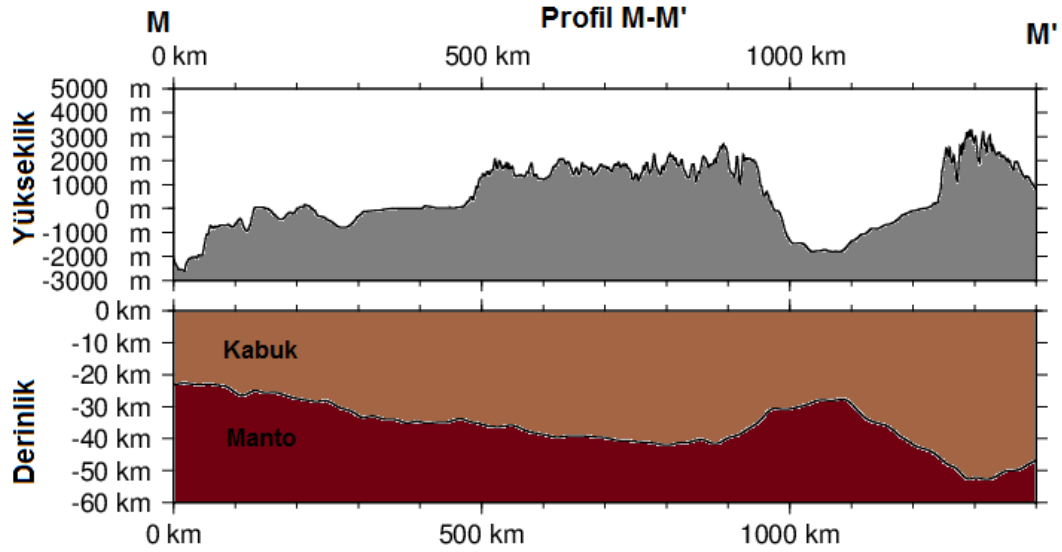
Şekil 8.12. K-K' profili. Üstteki kesit topografyayı göstermektedir. Altteki kesit Moho derinliğini göstermektedir.

L-L' profili boyunca profil başlangıcından sonuna doğru artan Moho derinliklerine ulaşılmıştır (Şekil 8.13.).

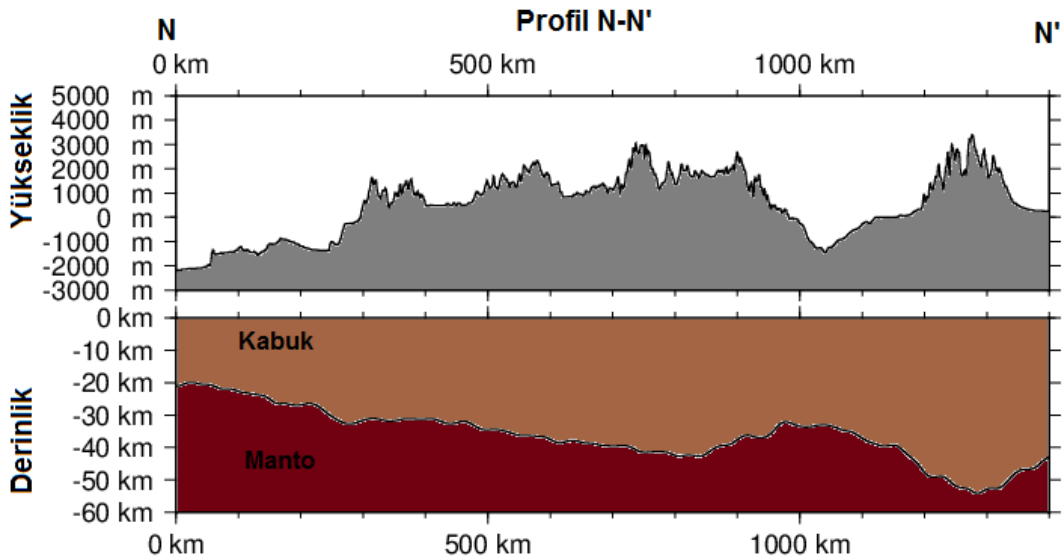


Şekil 8.13. L-L' profili. Üstteki kesit topografyayı göstermektedir. Altteki kesit Moho derinliğini göstermektedir.

M-M' ve N-N' profilleri boyunca Akdeniz'de 22 km civarında olan Moho derinliği Türkiye sınırlarında artmakta olup Karadeniz'de tekrar düşerek, Gürcistan'da yaklaşık 54 km'leri bulmuştur (Şekil 8.14. ve Şekil 8.15.).



Şekil 8.14. M-M' profili. Üstteki kesit topografyayı göstermektedir. Alttaki kesit Moho derinliğini göstermektedir.



Şekil 8.15. N-N' profili. Üstteki kesit topografyayı göstermektedir. Alttaki kesit Moho derinliğini göstermektedir.

Türkiye ve civarındaki alıcı fonksiyonları, sismik kırılma, gravite, manyetik, yüzey dalgaları, sismik tomografi ve manyetotellürik yöntemlerden alınan noktasal olarak ayıklanmış 2991 veriden yararlanarak kontur haritası oluşturulmuştur. Şekil 7.1.'deki haritadan ulaşılan Moho derinlikleri; Türkiye'nin Marmara bölgesinde 28-34 km, Karadeniz bölgesi 32-44 km, Ege bölgesi 24-36 km, Akdeniz bölgesi 24-40 km, İç Anadolu bölgesi 34-40 km, Güney Anadolu bölgesi 32-42 km ve Doğu Anadolu bölgesi 38-46 km ve Kıbrıs'ta ise 26-30 km arasında Moho derinliği değişmektedir.

Marmara Denizinde 26-30 km, Karadeniz 20-42 km, Akdeniz 14-34 km, Ege Denizinde 20-32 km ve Hazar denizinde ise 32-44 km arasında Moho derinliđi deđişmektedir. Türkiye'nin güney tarafında kalan ölkelere bakıldığında Suriye'de Moho derinliđi 30-44 km, Irak'ta 34-50 km, Lübnan'da 26-34 km, İsrail 24-32 km, Ürdün 30-36 km, Suudi Arabistan'da 24-44 km ve Mısır'da 24-34 km olarak Moho derinlikleri bulunmuştur. Türkiye'nin doğusundaki ölkelere bakıldığında İran'da 32-56 km, Azerbaycan 38-48 km, Gürcistan 38-54 km ve Ermenistan 42-48 km Moho derinliđi bulunmuştur. Türkiye'nin batısındaki ve kuzey batısındaki ölkelere bakıldığında Yunanistan 24-36 km, Bulgaristan 30-36 km, Sırbistan 24-44 km, Romanya 26-40 km, Makedonya'da 32-44 km, Macaristan'da 24-34 km ve Ukrayna'da 28-46 km arasında Moho derinlik deđerlerine ulaşılmıştır. Bu çalışmadan elde edilen harita diđer yapılmış kabuk kalınlıđı haritalarına göre daha günceldir ve yüksek kaliteli veriler kullanıldığında yüksek çözünürlüđe sahiptir.

KAYNAKLAR

- Abdelwahed, M.F., El-Khrepy, S. ve Qaddah, A., 2013. Three-dimensional structure of Conrad and Moho discontinuities in Egypt. *Journal of African Earth Sciences* 85, 87–102.
- Abdulnaby, W., Mahdi, H. ve Al-Shukri, H., 2012. Crustal Structure from Joint Inversion of Receiver Function and Surface Wave Dispersion beneath Duhok, NW Iraq. *Istanbul International Geophysical Conference and Oil & Gas Exhibition, Istanbul, Turkey, 17-19 September.*
- Abgarmi, B., Delph, J.R., Ozacar, A.A., Beck, S.L., Zandt, G., Sandvol, E., Turkelli, N., ve Biryol, C.B., 2017. Structure of the crust and African slab beneath the central Anatolian plateau from receiver functions: New insights on isostatic compensation and slab dynamics: *Geosphere*, v. 13, no. 6.
- Afsari, N., Sodoudi, F., Farahmand, F.T. ve Ghassemi, M.R., 2011. Crustal structure of Northwest Zagros (Kermanshah) and Central Iran (Yazd and Isfahan) using teleseismic Ps converted phases. *Journal of Seismology*, 15, 2, 341-353.
- Agostinetti, P.N. ve Amato, A., 2009. Moho depth and Vp/Vs ratio in peninsular Italy from teleseismic receiver functions. *Journal of Geophysical Research*. Vol. 114, B06303.
- Akın, U., 2016. Investigation of the seismic velocity distribution and crustal structure of Turkey by means of gravity data. *Bulletin of the Mineral Research and Exploration* 153:185-202.
- Aki, K. ve Richards, P.G., 1980. *Quantitative Seismology Theory and Methods*, Vol I ve II, San Francisco.
- Al-Amri, M. A., 2015. Lithospheric structure of the arabian shield from joint inversion of p- and s- wave receiver functions and dispersion velocities. *Acta Geologica Polonica*, Vol. 65, No. 2, pp. 229-245.
- Al-Amri, M. A., Abdelrahman, K., Andrae, M. O. ve Al-Dabbagh, M., 2017. Crustal and Upper Mantle Structures Beneath the Arabian Shield and Red Sea. *Lithosphere Dynamics and Sedimentary Basins of the Arabian Plate and Surrounding Areas* Part of the series *Frontiers in Earth Sciences* pp 3-29.
- Al-Damegh, K., Sandvol, E. ve Barazangi, M., 2005. Crustal structure of the Arabian plate: New constraints from the analysis of teleseismic receiver functions. *Earth and Planetary Science Letters* 231, 177– 196.

- Al-Hashmi, S., Gök, R., Al-Toubi, K., Al-Shijbi, Y., El-Hussain, I. ve Rodgers, A.J., 2011. Seismic velocity structure at the southeastern margin of the Arabian Peninsula. *Geophys. J. Int.* 186, 782–792.
- Al-Lazki, I. A., Sandvol, E., Seber, D., Barazangi, M., Turkelli, N. ve Mohamad, R., 2004. Pn tomographic imaging of mantle lid velocity and anisotropy at the junction of the Arabian, Eurasian and African plates. *Geophys. J. Int.* 158, 1024–1040.
- Al-Lazki, I. A., Seber, D. Sandvol, E. ve Barazangi, M., 2002. A crustal transect across the Oman Mountains on the eastern margin of Arabia. *GeoArabia*, Vol. 7, No. 1.
- Ali, M.Y. ve Watts, A.B., 2009. Subsidence history, gravity anomalies and flexure of the United Arab Emirates (UAE) foreland basin. *GeoArabia*, vol. 14, no. 2, p. 17-44.
- Altunışık, V., 2010. Tek istasyon yüzey dalgaları verileri ile Anadolu'nun kabuk yapısının belirlenmesi. Karadeniz Teknik Üniversitesi Fen Bilimleri Enstitüsü Jeofizik Mühendisliği Anabilim Dalı Yüksek Lisans Tezi.
- Ammon, C.J., Randall, G.E. ve Zandt, G., 1990. On the non-uniqueness of receiver function inversions. *J. Geophys. Res.*, Vol. 95, pp. 15303-15318.
- Anbaran, M.S., Zeyen, H., Ardestani, E.V., 2013. 3D joint inversion modeling of the lithospheric density structure based on gravity, geoid and topography data—application to the Alborz Mountains (Iran) and South Caspian Basin region. *Tectonophysics* 586, 192–205.
- Anbaran, M.S.H., Zeyen, H. ve Jamasb, A., 2016. 3D crustal and lithospheric model of the Arabia–Eurasia collision zone. *Journal of Asian Earth Sciences* 122, 158–167.
- Angus, A.D., Wilson, C.D., Sandvol, E. ve Ni, F.J., 2006. Lithospheric structure of the Arabian and Eurasian collision zone in eastern Turkey from S-wave receiver functions. *Geophys. J. Int.* 166, 1335–1346, doi: 10.1111/j.1365-246X.2006.03070.x.
- Arslan, S., Akın, U. ve Alaca, A., 2010. Gravite verileri ile Türkiye'nin kabuk yapısının incelenmesi. *MTA Dergisi*, 140, 57-73.
- Arslan, S., 2012. Türkiye 1/1.500.000 Ölçekli Gravite Kabuk Kalınlığı Haritası. Maden Tetkik ve Arama Genel Müdürlüğü, Ankara.
- Asgari, J. ve Mehramuz, M., 2015. Estimate the Crust Thickness using the Gravity Data for the KopehtDagh Region. *Indian Journal of Science and Technology*, Vol 8(S9), 513–517.
- Artemieva, I.M. ve Thybo, H., 2013. EUNaseis: A seismic model for Moho and crustal structure in Europe, Greenland, and the North Atlantic region. *Tectonophysics* 609, 97–153.
- Ateş, A., Bilim, F., Büyüksaraç, A., Aydemir, A., Bektaş, Ö. ve Aslan, Y., 2012. Crustal Structure of Turkey from Aeromagnetic, Gravity and Deep Seismic Reflection Data. *Surv Geophys* 33:869–885.

- Avraham, Z.B., Ginzburg, A., Makris, J. ve Eppelbaum, L., 2002. Crustal structure of the Levant Basin, eastern Mediterranean. *Tectonophysics* 346, 23– 43.
- Aydın, A. ve Altınoğlu, F., 2005. Ege Bölgesinin Kabuk Yapısının Potansiyel Alan ve Sismisite Verileriyle Belirlenmesi. *Deprem Sempozyumu. Kocaeli* 23-25 Mart.
- Azab, A.A., 2014. Agnes high, Western Desert, Egypt: A structural study in view of potential data modelling. *Egyptian Journal of Petroleum* 23, 229–245.
- Azab, A.A., El-Khadragy, A. ve Soliman, S.A., 2015. Egyptian Crust: A structural modeling, based on gravity and seismic data. *Journal of American Science* 11(12).
- Badri, M., 1991. Crustal structure of central Saudi Arabia determined from seismic refraction profiling. *Tectonophysics*, 185: 351-314.
- Bala, A., Tataru, D., Grecu, B. ve Toma-Danila, D., 2016. Crustal Structure Models in Western Part of Romania Using Cross Correlation of Seismic Noise and Receiver Functions. 16th International Multidisciplinary Scientific GeoConference SGEM.
- Baranova, A.A., 2010. A New Crustal Model for Central and Southern Asia. *Physics of the Solid Earth*, Vol. 46, No. 1, pp. 34–46.
- Bassin, C., Laske, G. ve Masters, G., 2000. The Current Limits of Resolution for Surface Wave Tomography in North America, *EOS Trans AGU*, 81, F897.
- Bavalli, K., Motaghi, K., Sobouti, F., Ghods, A., Abbasi, M., Priestley, K., Mortezaejad, G. ve Rezaeian, M., 2016. Lithospheric structure beneath NW Iran using regional and teleseismic travel-time tomography. *Physics of the Earth and Planetary Interiors* 253, 97–107.
- Bayrak, M. ve Nalbant S.S., 2001. Conductive crust imaged in western Turkey by MT. *Geophysical Research Letters*, Vol. 28, No. 18, p. 3521-3524.
- Becel, A., Laigle, M., Voogd, D.B., Hirn, A., Taymaz, T., Galvé, A., Shimamura, H., Murai, Y., Lépine, C.J., Sapin, M. ve Özalaybey, S., 2009. Moho, crustal architecture and deep deformation under the North Marmara Trough, from the SEISMARMARA Leg 1 offshore–onshore reflection–refraction survey. *Tectonophysics* 46, 1–21.
- Behm, M., Brückl, E., Chwatal, W. ve Thybo, H., 2007. Application of stacking and inversion techniques to three-dimensional wide-angle reflection and refraction seismic data of the Eastern Alps. *Geophys. J. Int.* 170, 275–298.
- Bekler, T., Gürbüz, C., Kalafat, D. ve Toksöz, 2005. Anadolu’da Kontrollü Sismik Kaynak Kullanarak Kabuk Yapısı Araştırmaları. *Deprem Sempozyumu* 23-25 Mart Kocaeli.
- Bekler, T. ve Gürbüz, C., 2008. Insight into the Crustal Structure of the Eastern Marmara Region, NW Turkey. *Pure appl. geophys.* 165, 295–309.
- Bektaş, Ö., 2013. Thermal structure of the crust in Inner East Anatolia from aeromagnetic and gravity data. *Physics of the Earth and Planetary Interiors* 221, 27–37.
- Beyhan, G., 2013. Sismik Prospeksiyon Ders Notları. Sakarya Üniversitesi Mühendislik Fakültesi Jeofizik mühendisliği bölümü.

- Bilim, F., Aydemir, A. ve Ates, A., 2016. Crustal thickness variations in the Eastern Mediterranean and southern Aegean region. *Marine and Petroleum Geology* 77, 190-197.
- Bogdanova, S., Gorbatshev, R., Grad, M., Janik, T., Guterch, A., Kozlovskaya, E., Motuza, G., Skridlaite, G., Starostenko, V., Taran, L. ve EUROBRIDGE and POLONAISE Working Groups, 2006. EUROBRIDGE: new insight into the geodynamic evolution of the East European Craton. *Geological Society, London, Memoirs*, 32, 599-625.
- Bohnhoff, M., Makris, J., Papanikolaou, D. ve Stavrakakis, G., 2001. Crustal investigation of the Hellenic subduction zone using wide aperture seismic data. *Tectonophysics* 343, 239–262.
- Brew, G., Barazangi, M., Al-Maleh, A.K. ve Sawaf, T., 2001. Tectonic and Geologic Evolution of Syria. *GeoArabia*, Vol. 6, No. 4.
- Brückl, E., Bleibinhaus, F., Gosar, A., Grad, M., Guterch, A., Hrubcova, P., Keller, R.G., Majdanski, M., Sumanovac, F., Tiira, T., Yliniemi, J., Hegedüs, E. ve Thybo, H., 2007. Crustal structure due to collisional and escape tectonics in the Eastern Alps region based on profiles Alp01 and Alp02 from the ALP 2002 seismic experiment. *Journal Of Geophysical Research*, Vol. 112, B06308, doi:10.1029/2006JB004687.
- Büyükakpınar, P., 2013. The crustal structure of the Marmara region using receiver function analysis. Graduate Program in Geophysics Boğaziçi University Master of Science 26 July.
- Cambaz, D.M., 2010. Surface wave tomography of Turkey and surroundings. Submitted to the Kandilli Observatory and Earthquake Research Institute in partial fulfillment of the requirements for the degree of Doctor of Philosophy Graduate Program in Geophysics Department Boğaziçi University.
- Canitez, N., 1962. Gravite anomalileri ile Sismolojiye göre Kuzey Anadolu'da arz kabuğun yapısı. Doktora Tezi. İ.T.Ü.M.F.
- Canitez, N. ve Toksöz, M.N., 1980. Crustal Structure beneath Turkey. *EOS Trans. Agu.*, 61, 290.
- Cassidy, J.F., 1992. Numerical experiments in broadband receiver function analysis. *Bull. Seism. Soc. Am.*, Vol. 82, pp. 1453-1474.
- Cassidy, J.F. ve Ellis, R.M. 1993. S-wave velocity structure of the northern Cascadia subduction zone. *J. Geophys. Res.*, Vol. 98, pp. 4407-4421.
- Chen, C.Y., Chen, W.P. ve Molnar, P., 1980. The uppermost Mantle P wave velocities beneath Turkey and Iran. *Geophys. Res. Lett.* 7, 1, pp 77-80.
- Clement, C., Sachpazi, M., Charvis, P., Graindorge, D., Laigle, M., Hirn, A. ve Zafiroopoulos, G., 2004. Reflection–refraction seismics in the Gulf of Corinth: hints at deep structure and control of the deep marine basin. *Tectonophysics* 391, 97–108.

- Corchete, V., Chourak, M., Hussein, H.M., Atiya, K. ve Timoulali, Y., 2017. Crustal and upper mantle structure of the north-east of Egypt and the Afro-Arabian plate boundary region from Rayleigh-wave analysis. *Journal of African Earth Sciences* 129, 195-201.
- Çakır, Ö. ve Erduran, M., 2004. Constraining crustal and uppermost mantle structure beneath station TBZ (Trabzon, Turkey) by receiver function and dispersion analyses. *Geophys. J. Int.* 158, 955-971.
- Çakır, Ö. ve Erduran, M., 2011. On the P and S Receiver Functions Used for Inverting the One-Dimensional Upper Mantle Shear-Wave Velocities. *Surv Geophys* 32:71–98.
- Çavşak, H. ve Elmas, A., 2011. 3B gravite hesaplarıyla Doğu Pontitlerde kabuk çalışması. *e-Journal of New World Sciences Academy*. vol. 6, no 3.
- Çavşak, H., Jacoby, R.W. ve Şeren, A., 2002. Eastern Pontides and Black Sea: gravity inversion, crustal structure, isostasy and geodynamics. *Journal of Geodynamics* 33,201–218.
- Çınar, H. ve Alkan, H., 2015. Crustal Structure of Eastern Anatolia from Single-Station Rayleigh Wave Group Velocities. *Eastern Anatolian Journal of Science* Volume I, Issue II, 57-69.
- Çınar, H. ve Alkan, H., 2016. Crustal S-wave structure beneath Eastern Black Sea Region revealed by Rayleigh-wave group velocities. *Journal of Asian Earth Sciences* 115, 273–284.
- Çınar, H. ve Alkan, H., 2017. Crustal S-wave structure around the Lake Van region (eastern Turkey) from interstation Rayleigh wave phase velocity analyses. *Turkish J. Earth Sci.* 26: 73-90.
- Çıvıgın, B. ve Kaypak, B., 2017. Estimation of the crustal structure in Central Anatolia (Turkey) using receiver functions. *Turkish J. Earth Sci.* 26: 314-330.
- Darbyshire, F.A., Priestley, K., White, R., Stefansson, R., Gudmundsson, G. ve Jakobsdottir, S.S., 2000. Crustal structure of central and northern Iceland from analysis of teleseismic receiver functions. *Geophys. J. Int.*, Vol. 143, pp. 163-184.
- Delipetrov, T., Blazev, K., Doneva, B. ve Popovski, R., 2016. Map of the Moho discontinuity of the republic of Macedonia. *Geologica Macedonica*, No 4.
- Delph, J.R., Abgarmi, B., Ward, K.M., Beck, S.L., Özacar, A.A., Zandt, G., Sandvol, E., Türkelli, N., and Kalafat, D., 2017. The effects of subduction termination on the continental lithosphere: Linking volcanism, deformation, surface uplift, and slab tearing in central Anatolia: *Geosphere*, v. 13, no. 6.
- Delph, J.R., Zandt, G. ve Beck, L.S., 2015. A new approach to obtaining a 3D shear wave velocity model of the crust and upper mantle: An application to eastern Turkey. *Tectonophysics* 665, 92–100.
- De Voogd, B., Truffert, C., Rooke, C.N., Huchon, P., Lallemand, S. ve Le Pichon, X., 1992. Two-ship deep seismic soundings in the basins of the Eastern Mediterranean Sea (Pasiphae cruise). *Geophys. J. Int.* 109, 536-552.

- DESERT Group, Weber, M., Ayyash, A.K., Abueladas, A., Agnon, A., Amoush, A.H., Babeyko, A., Bartov, Y., Baumann, M., Avraham, B.Z., Bock, G., Bribach, J., Kelani, E.R., Förster, A., Förster, J.H., Frieslander, U., Garfunkel, Z., Grunewald, S., Götze, J.H., Haak, V., Haberland, C., Hassouneh, M., Helwig, S., Hofstetter, A., Jackel, H.K., Kesten, D., Kind, R., Maercklin, N., Mechie, J., Mohsen, A., Neubauer, M.F., Oberhansli, R., Qabbani, I., Ritter, O., Rumpker, G., Rybakov, M., Ryberg, T., Scherbaum, F., Schmidt, J., Schulze, A., Sobolev, S., Stiller, M., Thoss, H., Weckmann, U. ve Wylegalla, K., 2004. The crustal structure of the Dead Sea Transform, *Geophys. J. Int.* 156, 655–681.
- Diehl, T., Ritter, R.R.J. ve CALIXTO Group, 2005. The crustal structure beneath SE Romania from teleseismic receiver functions. *Geophys. J. Int.* 163, 238–251.
- Di Bona, M., Lucente, F. P. ve Agostinetti, N.P., 2008. Crustal structure and Moho depth profile crossing the central Apennines (Italy) along the N42° parallel, *J. Geophys. Res.*, 113, B12306.
- Di Stefano, R., Bianchi, I., Ciaccio, M.G., Carrara, G. ve Kissling, E., 2011. Three-dimensional Moho topography in Italy: New constraints from receiver functions and controlled source seismology. *Geochem. Geophys. Geosyst.*, Volume 12, Number 9.
- Dolmaz, N.M., Öksüm, E., Kalyancuoğlu, Y.Ü., Elitok, Ö., Aydın, İ. ve Poyraz, A.S., 2009. Güneydoğu anadolu çarpışma kuşağındaki (Malatya-Elazığ-Bingöl-Diyarbakır-Adıyaman) litosferik yapının manyetik ve gravimetrik yöntemler ile araştırılması. *İstanbul Yerbilimleri Dergisi*, C. 22, S. 2, SS. 105-118.
- Doloei, J. ve Roberts, R., 2003. Crust and uppermost mantle structure of Tehran region from analysis of teleseismic P-waveform receiver functions. *Tectonophysics* 364, 115–133.
- Dorre, A.S., Carrara, E., Cella, F., Grilmaldi, F., Hady, Y.A., Hassan, H., Ropalla, A. ve Roberti, N., 1997. Crustal thickness of Egypt determined by gravity data. *Journal of African Earth Sciences*, vol. 25. no. 3, pp. 425-434.
- Du, Z. ve Foulger, G.R., 2001. Variation in the crustal structure across central Iceland. *Geophys. J. Int.*, Vol. 145, pp. 246-264.
- Endrun, B., Meier, T., Bischoff, M. ve Harjes, H.P., 2004. Lithospheric structure in the area of Crete constrained by receiver functions and dispersion analysis of Rayleigh phase velocities. *Geophys. J. Int.* 158, 592–608.
- Endrun, B., Meier, T., Lebedev, S., Bohnhoff, M., Stavrakakis, G., ve Harjes, H.P., 2008. S velocity structure and radial anisotropy in the Aegean region from surface wave dispersion. *Geophys. J. Int.* 174, 593–616.
- El-Isa, Z., Mechie, J., Prodehl, C., Makris, J. ve Rihm, R., 1987. A crustal structure study of Jordan derived from seismic refraction data. *Tectonophysics*, 138, 235-253.
- El-Khadragy, A.A., Saad, M.H. ve Azab, A., 2010. Crustal Modeling of South Sitra Area, North Western Desert, Egypt Using Bouguer Gravity Data. *Journal of Applied Sciences Research*, 6(1): 22-37.

- El-Khadragy, A.A., Azab, A.A. ve El-Khafeef, A.A., 2014. Contribution to the Integrated Interpretation of Gravity, Aeromagnetic and Seismic Data of the Northern and Central Parts of Sinai, Egypt. *World Applied Sciences Journal* 31 (9): 1540-1551.
- Erduran, M., 2009. Teleseismic inversion of crustal S-wave velocities beneath the Isparta Station. *Journal of Geodynamics* 47, 225–236.
- Ersan, A. ve Erduran, M., 2010. Orta Anadolu'nun kabuksal hız yapısının araştırılması. *Dicle Üniversitesi Mühendislik Fakültesi Mühendislik Dergisi Cilt: 1, Sayı: 1*, 49-60.
- Fan, G., Wallace, T.C. ve Zhao, D., 1998. Tomographic imaging of deep velocity structure beneath the Eastern and Southern Carpathians, Romania: Implications for continental collision. *Journal of Geophysical Research*, Vol. 103, No. B2, Pages 2705-2723.
- Farahmand, T.F., Afsarı, N. ve Sodoudi, F., 2014. Crustal Thickness of Iran Inferred from Converted Waves. *Pure Appl. Geophys.* , Vol. 171, No. 7, pp. 1089-1596.
- Farahmand, T.F., Sodoudi, F., Afsari, N. ve Ghassemi, R.M., 2010. Lithospheric structure of NW Iran from P and S receiver functions. *J Seismol* 14:823–836, DOI 10.1007/s10950-010-9199-2.
- Fnaï, M.S., El-Araby, H.M., Kamal, A.R., Elawadi, I. ve Al Soma, A., 2013. Crustal structure of the Northwestern part of the Arabian Shield in Saudi Arabia deduced from gravity data. *Scientific Research and Essays*. Vol. 8(12), pp. 466-484.
- Frederiksen, A.W., Thompson, D.A., Rost, S., Cornwell, D.G., Gülen, L., Houseman, G.A., Kahraman, M., Poyraz, S.A., Teoman, U.M., Türkelli, N. ve Utkucu, M., 2015. Crustal thickness variations and isostatic disequilibrium across the North Anatolian Fault, western Turkey. *Geophys. Res. Lett.*, 42, 751–757, doi:10.1002/2014GL062401.
- Georgieva, G. ve Nikolova, S., 2013. The moho depth and crustal structure beneath bulgaria obtained from receiver function analysis. *Comptes rendus de l'Academie bulgare des Sciences Tome 66, No 5*.
- Georgieva, G., 2015. Crustal and upper mantle structure in the southern part of the Moesian platform obtained by data from seismic stations MPE, PVL and SZH. *Bulgarian Chemical Communications*, Volume 47, Special Issue B. pp. 323–330.
- Ghanoush, H.B., Imber, J. ve McCaffrey, K., 2014. Cenozoic Subsidence and Lithospheric Stretching Deformation of the Ajdabiya Trough Area, Northeast Sirt Basin, Libya. *AAPG Annual Convention and Exhibition Search and Discovery Article*. #10695.
- Gharib, A., Hosny, A., Marzouk, I., Abdselhady, S., Hegazi, M., Mohamed, A.G., Farag, I., Bakir, R., Mohamed, M., Badreldin, H. ve Gharib, S., 2016. Crustal and Uppermost Mantle Structures beneath the Qattara Depression Area from the Transfer and Receiver Functions method. *Journal of American Science* ;12(4).

- Gök, R., Herzog, S., Nakanishi, K., Pasyanos, M., Mellors, R., Rodgers, A., Harris, D. ve Vergino, E., 2012. Lithospheric Models of the Middle East to Improve Seismic Source Parameter Determination/Event Location Accuracy. Lawrence Livermore National Laboratory. July 6.
- Gök, R., Mahdi, H., Al-Shukri, H. ve Rodgers, J.A., 2006. Crustal Structure of Iraq from Receiver Functions and Surface Wave Dispersion. Lawrence Livermore National Laboratory. August 31.
- Gök, R., Mahdi, H., Al-Shukri, H. ve Rodgers J.A., 2008. Crustal structure of Iraq from receiver functions and surface wave dispersion: implications for understanding the deformation history of the Arabian–Eurasian collision. *Geophys. J. Int.* 172, 1179–1187, doi: 10.1111/j.1365-246X.2007.03670.x.
- Gök, R., Mellors, J.R., Sandvol, E., Pasyanos, M., Hauk, T., Yetirmishli, G., Teoman, U., Turkelli, N., Godoladze, T. ve Javakishvirli, Z., 2009. Lithospheric Velocity Structure of the Anatolian plateau-Caucasus-Caspian Regions. Lawrence Livermore National Laboratory. April 16.
- Gök, R., Pasyanos, E.M. ve Zor, E., 2007. Lithospheric structure of the continent–continent collision zone: eastern Turkey. *Geophys. J. Int.* 169, 1079–1088.
- Grad, M., Brückl, E., Majdanski, M., Behm, M., Guterch, A., CELEBRATION 2000 ve ALP 2002 Working Groups, 2009. Crustal structure of the Eastern Alps and their foreland: seismic model beneath the CEL10/Alp04 profile and tectonic implications. *Geophys. J. Int.* Volume 177, Issue 1, Pages 279–295.
- Grad, M., Gryn, D., Guterch, A., Janik, T., Keller, R., Lang, R., Lyngsie, B.S., Omelchenko, V., Starostenko I.V., Stephenson, A.R., Stovba, M.S., Thybo, H. ve Tolkunov, A., 2003. “DOBREFraction’99” —velocity model of the crust and upper mantle beneath the Donbas Foldbelt (East Ukraine). *Tectonophysics* 371, 81– 110.
- Grad, M., Guterch, A., Keller, G.R., Janik, T., Hegedüs, E., Vozar, J., Slaczka, A., Tiira, T. ve Yliniemi, J., 2006b. Lithospheric structure beneath trans-Carpathian transect from Precambrian platform to Pannonian basin: CELEBRATION 2000 seismic profile CEL05. *Journal of Geophysical Research*, Vol. 111, B03301.
- Grad, M., Janik, T., Guterch, A., Sroda, P., Czuba, W., EUROBRIDGE’94–97, POLONAISE’97 ve CELEBRATION 2000 Seismic Working Groups, 2006a. Lithospheric structure of the western part of the East European Craton investigated by deep seismic profiles. *Geological Quarterly*, 50 (1): 9–22.
- Grad, M., Tiira, T. ve ESC Working Group, 2009. The Moho depth map of the European Plate. *Geophys. J. Int.* 176, 279–292.
- Grad, M., Tripolsky, A.A., 1995. Crustal structure from P-seismic-wave and S-seismic-wave and petrological models of the Ukrainian shield. *Tectonophysics* 250 (1–3), 89–112.
- Grigoriadis, V.N. ve Tziavos, I.N., 2017. Determination of Moho depth models for Greece using different gravity inversion methods. Joint Scientific Assembly of the IAG and IASPEI, Session G02 “Static Gravity Field”, G02-P-12. July 30- August 4, Kobe, Japan.

- Grigoriadis, V.N., Tziavos, I.N., Tsokas, G.N. ve Stampolidis, A., 2016. Gravity data inversion for Moho depth modeling in the Hellenic area. *Pure and Applied Geophysics*, Volume 173, Issue 4, pp.1223-1241.
- Gritto, R., Sibol, S.M., Siegel, E.J., Ghalib, A.H., Chen, Y., Herrmann, B.R., Alequabi, I.G., Tkalcic, H., Ali, S.B., Saleh, I.B., Mahmood, S.D., Shaswar, K.O., Mahmood, A., Abdullah, S., Ibrahim, F., Zand, R., Ali, B., Omar, L., Aziz, I.N., Ahmed, H.N., Al-Nasiri, T., Ali, A.A., Taqi, A.A. ve Khalaf, R., 2008. Crustal structure of north Iraq from receiver function analyses, 2008 Monitoring Research Review, *Ground-Based Nuclear Explosion Monitoring Technologies*, 298, 80–86.
- Gurrola, H., Baker, G.E. ve Minster, J.B., 1995. Simultaneous time domain deconvolution with application to the computation of receiver functions, *Geophys. J. Int.*, Vol. 120, pp. 537-543.
- Gutenberg, B., 1926. Untersuchungen Zur Frage, Bis zu Welcher Tiefe die Erde Kristallin ist *Zeitschr, Für Geophysics*, 2, pp. 24-29.
- Gülen, L., Benoit, M., Kalafat, D. ve Toksöz, N.M., 2007. Crustal structure revealed by the analysis of teleseismic receiver functions in the Marmara Region, Northwestern Turkey. *Seismological Society of America 2007 Annual Meeting Kona, Hawaii USA*. 11-13 April.
- Gürbüz C., Bekler T., Toksöz N., Kuleli S., Kalafat D., Schultz C., 2003. "Seismic Refraction Studies And Crustal Structure In Anatolia", *Deep Seismic Methods 12th International Workshop*, ABD, Ekim.
- Gürbüz C., Turkelli, N., Bekler, T., Gök, R., Sandvol, E., Seber, D. ve Barazangi, M., 2004. Seismic Event Location Calibration Using the Eastern Turkey Broadband Seismic Network: Analysis of the Agri Dam Explosion. *Bulletin of the Seismological Society of America*, Vol. 94, No. 3, pp. 1166–1171, June.
- Gürer, A. ve Bayrak, M., 2007. Relation between electrical resistivity and earthquake generation in the crust of West Anatolia, Turkey. *Tectonophysics* 445, 49–65.
- Gürer, A., Bayrak, M. ve Gürer, F.Ö., 2004. Magnetotelluric images of the crust and mantle in the southwestern Taurides, Turkey. *Tectonophysics* 391, 109– 120.
- Hansen, E.S., Rodgers, J.A., Schwartz, Y.S. ve Al-Amri, S.M.A., 2007. Imaging ruptured lithosphere beneath the Red Sea and Arabian Peninsula. *Earth and Planetary Science Letters* 259, 256–265.
- Haslinger, F., Kissling, E., Ansorge, J., Hatzfeld, D., Papadimitriou, E., Karakostas, V., Makropoulos, K., Kahle, G. H. ve Peter, Y., 1999. 3D crustal structure from local earthquake tomography around the Gulf of Arta (Ionian region, NW Greece). *Tectonophysics* 304, 201–218.
- Hauser, F., Raileanu, V., Fielitz, W., Dinu, C., Landes, M., Bala, A. ve Prodehl, C., 2007. Seismic crustal structure between the Transylvanian Basin and the Black Sea, Romania. *Tectonophysics* 430, 1–25.
- Hearn, M. T. ve Ni, F. J., 1994. Pn velocities beneath continental collision zones: the Turkish-Iranian Plateau. *Geophys. J. Int.* 117, 273-283.

- Hetényi, G. ve Bus, Z., 2007. Shear wave velocity and crustal thickness in the Pannonian Basin from receiver function inversions at four permanent stations in Hungary. *J. Seismol* 11, pp. 405–414.
- Hirn, A., Sachpazi, M., Siliqi, R., Bride, M.J., Marnelis, F., Cernobori, L. ve STREAMERS-PROFILES group, 1996. A traverse of the Ionian islands front with coincident normal incidence and wide-angle seismics. *Tectonophysics* 264, 35-49.
- Hofstetter, A. ve Bock, G., 2004. Shear-wave velocity structure of the Sinai subplate from receiver function analysis. *Geophys. J. Int.* 158, 67-84.
- Horasan, G. ve Canitez, N., 1995. Sentetik Sismogram Eldesi ile Batı Anadolu'da Yer Kabuğunun Yapısının İncelenmesi. *Jeofizik Dergisi*. Vol.9, pp. 285-290.
- Horasan, G., Gülen, L., Pınar, A., Kalafat, D., Özel, N., Kuleli, S.D. ve Işıkkara A.M., 2002. Lithospheric Structure of the Marmara and Aegean Regions, Western Turkey. *Bulletin of the Seismological Society of America*. 92, 1, pp. 322–329.
- Horasan, G., Kuleli, S.D. ve Gülen, L., 1998. Yapay Sismogram Modelleme Tekniği ile Batı Türkiyede Kabuk ve Üst Mantonun Yapısı. *Aktif Tektonik Araştırma Grubu Birinci (ATAG-1)Toplantısı*. pp. 94.
- Hosny, A. ve Nyblade, A., 2014. Crustal structure in southeastern Egypt: Symmetric thinning of the northern Red Sea rifted margins: *Geology*, v. 42, p. 219–222, doi:10.1130/G34726.1.
- Hrubcova, P. ve Sroda, P., 2008. Crustal structure at the easternmost termination of the Variscan belt based on CELEBRATION 2000 and ALP 2002 data. *Tectonophysics* 460, 55–75.
- Hrubcova, P. ve Sroda, P., 2015. Complex local Moho topography in the Western Carpathians: Indication of the ALCAPA and the European Plate contact. *Tectonophysics* 638, 63–81.
- Hrubcova, P., Sroda, P., Grad, M., Geissler, W.H., Guterch, A., Vozar, J., Hegedüs, E. ve Sudetes 2003 Working Group, 2010. From the Variscan to the Alpine Orogeny: crustal structure of the Bohemian Massif and the Western Carpathians in the light of the SUDETES 2003 seismic data. *Geophys. J. Int.* 183, 611–633.
- Hrubcova, P., Sroda, P., Spicak, A., Guterch, A., Grad, M., Keller, G.R., Brueckl, E. ve Thybo, H., 2005. Crustal and uppermost mantle structure of the Bohemian Massif based on CELEBRATION 2000 data. *Journal of Geophysical Research*. Vol. 110, B11305.
- Ioane, D. ve Ion, D., 2005. A 3D crustal gravity modelling of the Romanian territory. *Journal of Balkan Geophysical Society*, Vol.8, No 4, pp. 189-198.
- Ismail, I.S., Saada, S.A., Ali, Y.M.Y. ve Ibrahim, Y.M.Y., 2015. An Integrated Study of Gravity and Magnetic Data to Determine Subsurface Structure and Depth to Basement in Alamein Area, Western Desert, Egypt. *IOSR Journal of Applied Geology and Geophysics* Volume 3, Issue 6 Ver. II, pp. 11-29.
- Jackson, J., Priestley, K., Allen, M. ve Berberian, M., 2002. Active tectonics of the South Caspian Basin. *Geophys. J. Int.* 148, 214–245.

- Janik T., Grad M., Guterch A. and CELEBRATION 2000 Working Group, 2009. Seismic structure of the lithosphere between the East European Craton and the Carpathians from the net of CELEBRATION 2000 profiles in SE Poland. *Geol. Quart.*, 53 (1): 141–158.
- Janik T., Grad M., Guterch A., Vozár, J., Bielik, M., Vozárova, A., Hegedüs, E., Kovács, C.A., Kovács, I., Keller, G.R. ve CELEBRATION 2000 Working Group. 2011. Crustal structure of the Western Carpathians and Pannonian Basin: Seismic models from CELEBRATION 2000 data and geological implications. *Journal of Geodynamics* 52, 97–113.
- Janik T., Sroda, P., Czuba, W. ve Lysynchuk, D., 2016. Various Approaches to Forward and Inverse Wide-Angle Seismic Modelling Tested on Data from DOBRE-4 Experiment. *Acta Geophysica* vol. 64, no. 6, Dec., pp. 1989-2019.
- Julia, J., Ammon, C.J., Herrmann, R.B. ve Correig, A.M., 2000. Joint inversion of receiver function and surface wave dispersion observations. *Geophys. J. Int.* 143, 99-112.
- Kaban, M.K., 2002. A gravity model of the north Eurasia crust and upper mantle: 2. The Alpine-Mediterranean foldbelt and adjacent structures of the southern former USSR. *Russian Journal of Earth Sciences*. Vol. 4, No. 1, Pages 19–33.
- Kaçmaz, F., 2009. Zonguldak-Akşehir arasındaki bölgenin kabuk yapısının manyetotellürik yöntemle araştırılması ve boyutluluk analizi. Cumhuriyet Üniversitesi Fen Bilimleri Enstitüsü Jeofizik Anabilim Dalı Yüksek Lisans Tezi.
- Kahraman, M., 2008. Crustal structure of the Isparta angle and surrounding regions using p-receiver function analysis. Graduate Program in Geophysics Department Boğaziçi University 15.August.
- Kahraman, M., Cornwell, G.D., Thompson A.D., Rost, S., Houseman, A.G., Türkelli, N., Teoman, U., Poyraz, A.S., Utkucu, M. ve Gülen L., 2015. Crustal-scale shear zones and heterogeneous structure beneath the North Anatolian Fault Zone, Turkey, revealed by a high density seismometer array. *Earth and Planetary Science Letters* 430, 129–139.
- Kalafat, D., Kara, M., Ögütücü, Z. ve Horasan, G., 1992. Batı Anadolu'da Kabuk Yapısının Saptanması. *Deprem Araştırma Enstitüsü Bülteni*. pp. 64.
- Kalafat, D., Gürbüz, C. ve Üçer, S.B., 1985. Batı Türkiye'de kabuk ve üst manto yapısının araştırılması. *Deprem Araştırma Enstitüsü Bülteni*. 59, pp 43-64.
- Kalvandi, F., Motaghi, K. ve Shabanian, E., 2016. Lithosphere structure in the north Zagros collision revealed by joint inversion of P receiver function and surface wave dispersion. *Iranian Journal of Geophysics*, vol 10, no 4, p. 4.
- Kalyoncuoğlu, Y.Ü. ve Özer, F.M., 2003. Isparta sismograf istasyonu altındaki kabuk yapısının belirlenmesi. *DEÜ Mühendislik Fakültesi Fen ve Mühendislik Dergisi*. Cilt 5, Sayı 3, sh. 111-127.
- Kaplan, M., 2006. Doğu Marmara'da kabuk kalınlığının ve hız yapısının belirlenmesi. Süleyman Demirel Fen Bilimleri Enstitüsü Jeofizik Mühendisliği Ana Bilim Dalı Yüksek Lisans Tezi.

- Karabulut, H., Paul, A., Ergün, A.T., Hatzfeld, D., Childs, M.D. ve Aktar, M., 2013. Long-wavelength undulations of the seismic Moho beneath the strongly stretched Western Anatolia. *Geophys. J. Int.* doi: 10.1093/gji/ggt100.
- Karabulut, H., Özalaybey, S., Taymaz, T., Aktar, M., Selvi, O. ve Kocaoğlu, A., 2003. A tomographic image of the shallow crustal structure in the Eastern Marmara. *Geophysical Research Letters*, Vol. 30, No. 24, 2277.
- Karagianni, E.E., Panagiotopoulos, G.D., Panza, F.G., Suhadolc, P., Papazachos, B.C., Papazachos, C.B., Kiratzi, A., Hatzfeld, D., Makropoulos, K., Priestley, K. ve Vuan K., 2002. Rayleigh wave group velocity tomography in the Aegean area. *Tectonophysics* 358, 187–209.
- Karagianni, E.E., Papazachos, B.C., Panagiotopoulos, G.D., Suhadolc, P., Vuan, A. ve Panza, F.G., 2005. Shear velocity structure in the Aegean area obtained by inversion of Rayleigh waves. *Geophys. J. Int.* 160, 127–143.
- Karagianni, E.E. ve Papazachos, C.B., 2007. Shear velocity structure in the Aegean region obtained by joint inversion of Rayleigh and Love waves. *Geol. Soc London, Spec. Publ.*, 291, 159–181.
- Karahan, E.A., Berekhemer, H. ve Baier, B., 2001. Crustal structure at the western and of the North anatolian fault zone from deep seismic sounding. *Annali di geofisica*. Vol. 44, N. 1, February 2001.
- Kaya, C., 2010. Deep crustal structure of northwestern part of Turkey. *Tectonophysics* 489, 227–239.
- Keçeli, A., 2009. Uygulamalı Jeofizik, JFMO Eğitim Yayınları, 473s.
- Kende, J., Henry, P., Bayraktı, G., Özeren, M. S. ve Grall, C., 2017. Moho depth and crustal thinning in the Marmara Sea region from gravity data inversion, *J. Geophys. Res. Solid Earth*, 122, 1381–1401.
- Kind, R., Eken, T., Tilmann, F., Sodoudi, F., Taymaz, T., Bulut, F., Yuan, X., Can, B. ve Schneider, F., 2015. Thickness of the lithosphere beneath Turkey and surroundings from S-receiver functions. *Solid Earth*, 6, 971–984.
- Kind, R., Kosarev, G. ve Petersen, N., 1995. Receiver functions at the stations of the German Regional Seismic Network (GRSN). *Geophys. J. Int.*, 121, 191-202.
- Knapp, C.C., Knapp, H.C. ve Connor, A.J., 2004. Crustal-scale structure of the South Caspian Basin revealed by deep seismic reflection profiling. *Marine and Petroleum Geology* 21, 1073–1081.
- Koca, B., 2005. Elastik dalgalar kullanılarak yerinin üç boyutlu hız yapısının belirlenmesi. Ankara Üniversitesi Fen Bilimleri Enstitüsü Jeofizik Mühendisliği Anabilim Dalı Yüksek Lisans Tezi.
- Koulakov, I. ve Sobolev, V.S., 2006. Moho depth and three-dimensional P and S structure of the crust and uppermost mantle in the EasternMediterranean and Middle East derived from tomographic inversion of local ISC data. *Geophys. J. Int.* 164, 218–235. doi: 10.1111/j.1365-246X.2005.02791.x.

- Kumar, M.R., Ramesh, D.S., Saul, J., Sarkar, D. ve Kind, R., 2002. Crustal structure and upper mantle stratigraphy of the Arabian shield. *Geophysical Research Letters*. Vol. 29, No. 8, 1242.
- Kutlu, Y.A. ve Sayıl, N., 2012. Güneybatı-Kuzeydoğu Anadolu Boyunca Moho Süreksizliğinin Araştırılması. *Nevşehir Üniversitesi Fenbilimleri Enstitü Dergisi* 1, 1-10.
- Lamb, H., 1903. On the Propagation of Tremors Over the Surface of an Elastic solid, *Philosophical Transactions*, 203, 1-42.
- Langston, C.A. 1979, Structure under Mount Rainier, Washington, inferred from teleseismic body waves. *J.Geophys.Res.*, Vol. 84, pp. 4749-4762.
- Laske, G., Masters., G., Ma, Z. ve Pasyanos, M., 2013. Update on CRUST1.0 - A 1-degree Global Model of Earth's Crust, *Geophys. Res. Abstracts*, 15, Abstract EGU2013-2658.
- Lay, T. and Wallace, T.C. 1995. *Modern global seismology*, International geophysics series: 58, Academic Press, 521 p., London.
- Lemnifi, A. A., Elshaafi, A., Browning, J., Aouad, N. S., El Ebaidi, S. K., Liu, K. K. and Gudmundsson, A., 2017. Crustal thickness beneath Libya and the origin of partial melt beneath AS Sawda Volcanic Province from receiver function constraints. *Journal of Geophysical Research: Solid Earth*, 122, 10,037–10,051.
- Li, X., Bock, G., Vafidis, A., Kind, R., Harjes, P.H., Hanka, W., Wylegalla, K., Van Der Meijde, M. ve Yuan, X., 2003. Receiver function study of the Hellenic subduction zone: imaging crustal thickness variations and the oceanic Moho of the descending African lithosphere. *Geophys. J. Int.* 155, 733–748.
- Love, A.E.H., 1911. *Some Problems of Geodynamics*, Cambridge.
- Luccio, D.F. ve Pasyanos, E.M., 2007. Crustal and upper-mantle structure in the Eastern Mediterranean from the analysis of surface wave dispersion curves. *Geophys. J. Int.* (2007), doi: 10.1111/j.1365-246X.2007.03332.x.
- Maden, N., Gelişli, K., Eyüpoğlu, Y. ve Bektaş, O., 2009. Two-and-Three-Dimensional Crustal Thickness of the Eastern Pontides (NE Turkey). *Turkish Journal of Earth Sciences (Turkish J. Earth Sci.)*, Vol. 18, pp. 225–238.
- Maggi, A. ve Priestley, K., 2005. Surface waveform tomography of the Turkish–Iranian plateau. *Geophys. J. Int.* 160, 1068–1080.
- Majdanski, M., Grad, M., Guterch, A. ve SUDETES 2003 Working Group, 2006. 2-D seismic tomographic and ray tracing modelling of the crustal structure across the Sudetes Mountains basing on SUDETES 2003 experiment data. *Tectonophysics* 413, 249–269.
- Makris, J., Papoulia, J., Papanikolaou, D. ve Stavrakakis, G., 2001. Thinned continental crust below northern Evoikos Gulf, central Greece, detected from deep seismic soundings. *Tectonophysics* 341, 225–236.
- Makris, J. ve Yegorova, T., 2006. A 3-D density–velocity model between the Cretan Sea and Libya. *Tectonophysics* 417, 201–220.

- Makris, J., 2010. Geophysical Studies and Tectonism of the Hellenides. *Bulletin of the Geological Society of Greece*, 43, 32-45.
- Makris, J., Papoulia, J. ve Yegorova, T., 2013. A 3-D density model of Greece constrained by gravity and seismic data. *Geophys. J. Int.* 194, 1-17.
- Manaman, S.N., Shomali, H. ve Koyi, H., 2011. New constraints on upper-mantle S-velocity structure and crustal thickness of the Iranian plateau using partitioned waveform inversion. *Geophys. J. Int.* 184, 247–267.
- Mangino, S. ve Priestley, K., 1998. The crustal structure of the southern caspian region. *Geophys. J. Int.* 133, 630-648.
- Mangino, S., Priestley, K. ve Ebel, J. 1999. The receiver structure beneath the China digital seismograph network stations. *Bull. Seism. Soc. Am.*, Vol. 89, pp. 1053-1076.
- Marone, F., Meijde, M.V.D., Lee, S.V.D. ve Giardini, D., 2003. Joint inversion of local, regional and teleseismic data for crustal thickness in the Eurasia-Africa plate boundary region. *Geophys. J. Int.* 154, 499-514.
- Marovic, M., Djokovic, I., Pesic, L., Radovanovic, S., Toljic, M. ve Gerzina, N., 2002. Neotectonics and seismicity of the southern margin of the Pannonian basin in Serbia. *EGU Stephan Mueller Special Publication Series*, 3, 277–295.
- Martin, M., Ritter, J.R.R., ve CALIXTO working group, 2005. High-resolution teleseismic body-wave tomography beneath SE Romania – I. Implications for three-dimensional versus one-dimensional crustal correction strategies with a new crustal velocity model. *Geophys. J. Int.* 162, 448–460.
- Mechie, J., Avraham, B.Z., Weber, H.M., Götze, J.H., Koulakov, I., Mohsen, A. ve Stiller, M., 2013. The distribution of Moho depths beneath the Arabian plate and margins. *Tectonophysics* 609, 234–249.
- Meier, T., Dietrich, K., Stöckhert, B. ve Harjes, P.H., 2004. One-dimensional models of shear wave velocity for the eastern Mediterranean obtained from the inversion of Rayleigh wave phase velocities and tectonic implications. *Geophys. J. Int.* 156, 45–58.
- Mele, G., Di Luzio, E. ve Di Salvo, C., 2013. Mapping Moho depth variations in central Italy from PsMoho-P delay times: Evidence of an E-W transition in the Adriatic Moho at 42°N latitude. *Geochem. Geophys. Geosyst.*, 14, 3929–3938.
- Mellors, R., Gök, R., Pasyanos, M., Skobeltsyn, G., Teoman, U., Godoladze, T. ve Sandvol, E., 2008. High-resolution seismic velocity and attenuation models of the caucasus-caspian region. *Lawrance Livermore National Laboratory*. July 9.
- Mindevalli, Y.O. ve Mitchell, J.B., 1989. Crustal structure and possible anisotropy in Turkey from seismic surface wave dispersion. *Geophys. J. Int.* 98, 93-106.
- Mocanu, V.I., Dinu, C., Radulescu, F., Diaconescu, M., Diaconescu, C. ve Pompilian, A., 1996. Seismogeological features of the crust in Romania. *EAGE Special Publication*, 5, 289-299.

- Mochan, M., Nasrabadi, A., Rahimi, H. ve Sepahvand, M.R., 2017. Crustal velocity structure in northwest edge of the Central Iran zone. *Journal of Research on Applied Geophysics*. Vol 2, No 2.
- Mohammadi, N., Sodoudi, F., Mohammadi, E. ve Sadidkhouy, A., 2013. New constraints on lithospheric thickness of the Iranian plateau using converted waves. *J. Seismol*, 17:883–895.
- Mohsen, A., Hofstetter, A., Bock, G., Kind, R., Weber, M., Wylegalla, K., Rümpker, G. ve the DESERT Group, 2005. A receiver function study across the Dead Sea Transform. *Geophys. J. Int.* 160, 948–960, doi: 10.1111/j.1365-246X.2005.02534.x.
- Mokhtari, M., Farahbod, A.M., Lindholm, C., Alahyarkhani, M. ve Bungum, H., 2004. An Approach to a Comprehensive Moho Depth Map and Crust and Upper Mantle Velocity Model for Iran. *Iranian Int. J. Sci.* 5(2), p.223-244.
- Molinari, I. ve Morelli, A., 2011. EPcrust: a reference crustal model for the European Plate. *Geophys. J. Int.* 185, 352–364.
- Molinari, I., Raileanu, V. ve Morelli, A., 2012. A Crustal Model for the Eastern Alps Region and a New Moho Map in Southeastern Europe. *Pure Appl. Geophys.* 169, 1575–1588.
- Mooney, D.W., Laske, G., ve Masters, G.T., 1998. CRUST 5.1: A global crustal model at 5°×5°. *Journal of Geophysical Research*, Vol. 103, No. B1, Pages 727-747.
- Motaghi, K., Tatar, M. ve Priestley, K., 2011. Crustal thickness variations across the northeast Iran continental collision zone from teleseismic converted waves. *J. Seismol.*, 16, 253–260, doi:10.1007/s10950-011-9267-2.
- Motaghi, K., Tatar, M., Priestley, K., Romanelli, F., Doglioni, C. ve Panza, G.F., 2015. The deep structure of the Iranian Plateau. *Gondwana Research* 28, 407–418.
- Motaghi, K., Shabanian, E., Tatar, M., Cuffaro, M. ve Doglioni, C., 2017. The south Zagros suture zone in teleseismic images. *Tectonophysics* 694, 292–301.
- Mucuta, M.D., Knapp, C.C. ve Knapp, H.J., 2006. Constraints from Moho geometry and crustal thickness on the geodynamic origin of the Vrancea Seismogenic Zone (Romania). *Tectonophysics* 420, 23–36.
- Munt, J.I., Fernandez, M., Saura, E., Verges, J. ve Castellanos, D.G., 2012. 3-D lithospheric structure and regional/residual Bouguer anomalies in the Arabia–Eurasia collision (Iran). *Geophys. J. Int.* 190, 1311–1324.
- Nasrabadi, A., Tatar, M., Priestley, K. ve Sepahvand, R.M., 2008. Continental lithosphere structure beneath the Iranian plateau, from analysis of receiver functions and surface waves dispersion. *The 14 th World Conference on Earthquake Engineering* October 12-17, 2008, Beijing, China.
- Necioğlu, A., Maddison, B. ve Türkelli, N., 1981. A study of crustal and upper mantle structure of Northwestern Turkey. *Geophys. Res. Lett.*, 8, 1, 33-35.
- Netzeband, L.G., Gohl, K., Hübscher, P.C., Ben-Avraham, Z., Dehghani, A.G., Gajewski, D. ve Liersch, P., 2006. The Levantine Basin—crustal structure and origin. *Tectonophysics* 418, 167–188.

- Nowrouzi, G., Priestley, K., Ghafory-Ashtiany, M., Doloei, G. ve Rham D., 2007. Crustal velocity structure in Iranian Kopeh-Dagh, from analysis of P-waveform receiver functions. *J. Seismol. Earthquake Eng.*, 8, 187–194.
- Owens, T.J. ve Zandt, G., 1985. The response of the continental crust-mantle boundary observed on broadband teleseismic receiver functions. *Geophys. Res. Lett.*, Vol. 12, pp. 705-708.
- Özakın, Y., 2008. Crustal structure of southwestern anatolia using p-receiver function analysis. Graduate Program in Geophysics Department Boğaziçi University 21.January.
- Özalaybey, S., Savage, M., Sheehan, A.F., Louie, J.N. ve Brune, J.N., 1997. Shear-Wave velocity structure in the Northern Basin and Range Province from the combined analysis of receiver funcitons and surface waves. *Bull. Seism. Soc. Am.*, Vol. 87, pp. 183-199.
- Özelçi H. F., 1973. Gravity anomalies of the Eastern Mediterranean, *Bull. min. res. expl. Inst. Turkey.* , 80, 54–92.
- Özer, Ç., Gök, E. ve Polat, O., 2017. Ege bölgesi graben sistemlerinin kabuk hız yapısı. 4. Uluslararası Deprem Mühendisliği ve Sismoloji Konferansı. 11-13 Ekim. Anadolu Üniversitesi. Eskişehir.
- Özer, Ç. ve Polat, O., 2017. İzmir ve çevresinin 3-B kabuk hız yapısı. *Journal of the Faculty of Engineering and Architecture of Gazi University* 32:3, 733-747.
- Özürkan, G. ve Ulugergerli, E.U., 2005. Jeofizik Mühendisliğinde Elektromanyetik Yöntemler. *Birsen Yayınevi*, 47-52.
- Papazachos, B.C., 1998. Crustal P- and S-velocity structure of the Serbomacedonian Massif (Northern Greece) obtained by non-linear inversion of traveltimes. *Geophys. J. Int.* 134, 25–39.
- Park, Y., Nyblade, A.A., Rodgers, A.J. ve Al-Amri, A., 2008. S wave velocity structure of the Arabian Shield upper mantle from Rayleigh wave tomography. *Journal of the Earth Sciences.* Volume 9, Number 7.
- Parlak, A.Y., 2017. Orta Karadeniz Bölgesinin Kabuk Yapısının Gravite Verileri ile Modellenmesi. Karadeniz Teknik Üniversitesi Fen Bilimleri Enstitüsü Yüksek Lisans Tezi.
- Pasyanos, E.M. ve Walter, R.W., 2002. Crust and upper-mantle structure of North Africa, Europe and the Middle East from inversion of surface waves. *Geophys. J. Int.* 149, 463–481.
- Pasyanos, E.M. ve Walter, R.W. ve Hazler, S.E., 2001. A surface wave dispersion study of the middle east and north Africa for monitoring the comprehensive Nuclear test ban treaty. *Pure. appl. geophys.* 158, 1445-1474.
- Pasyanos, E.M., Tkalcic, H., Gök, R., Al-Enezi, A. ve Rodgers, J.A., 2007. Seismic structure of Kuwait. *Geophys. J. Int.* 170, 299–312.
- Paul, A., Hatzfeld, D., Kaviani, A., Tatar, M. ve Pequegnat, C., 2010. Seismic imaging of the lithospheric structure of the Zagros mountain belt (Iran). *Geological Society, London, Special publications*, vol. 330.

- Paul, A., Kaviani, A., Hatzfeld, D., Vergne, J. ve Mokhtari, M., 2006. Seismological evidence for crustal-scale thrusting in the Zagros mountain belt (Iran). *Geophys. J. Int.*, 166 (1): 227-237.
- Prutkin, I. ve Saleh, A., 2008. Gravity and magnetic data inversion for 3D topography of the Moho discontinuity in the northern Red Sea area, Egypt. *Journal of Geodynamics* 47, 5.
- Radjaee, A., Rham, D., Mokhtari, M., Tatar, M., Priestley, K. ve Hatzfeld, D., 2010. Variation of Moho depth in the central part of the Alborz Mountains, northern Iran. *Geophys. J. Int.* 181, 173–184.
- Rahimi, H., Hamzehloo, H., Vaccari, F. ve Panza, G.F., 2014. Shear-Wave Velocity Tomography of the Lithosphere–Asthenosphere System beneath the Iranian Plateau. *Bulletin of the Seismological Society of America*, Vol. 104, No. 6, pp. 2782–2798.
- Raileanu, V., Bala, A., Hauser, A., Prodehl, C. ve Fielitz, W., 2005. Crustal properties from S-wave and gravity data along a seismic refraction profile in Romania. *Tectonophysics* 410, 251– 272.
- Raileanu, V., Diaconescu, C. ve Radulescu, F., 1994. Characteristic of Romania lithosphere from deep seismic reflection profiling. *Tectonophysics* 239, 165– 185.
- Raileanu, V., Tataru, D., Grecu, B. ve Bala, A., 2012. Crustal Models in Romania – II. Moldavian Platform and Adjacent Areas. *Rom. Journ. Phys.*, Vol. 57, Nos. 9–10, P. 1438–1454, Bucharest.
- Raykova, R. ve Nikolova, S., 2007. Tomography and Velocity Structure of the Crust and Uppermost Mantle in Southeastern Europe Obtained from Surface Wave Analysis. *Stud. Geophys. Geod.*, 51, 165–184.
- Rayleigh, L., 1885. On Waves Propagated along the Plane Surface of an Elastic Solid, *Proc. London Math. Society*, 17, 4-11.
- Ren, Y., Grecu, B., Stuart, G., Houseman, G., Hegedüs, E. ve South Carpathian Project Working Group, 2013. Crustal structure of the Carpathian–Pannonian region from ambient noise tomography. *Geophys. J. Int.* 195, 1351–1369.
- Rham, D., Mokhtari, M., Tatar, M., Priestley, K. ve Hatzfeld, D., 2010. Variation of Moho depth in the central part of the Alborz Mountains, northern Iran. *Geophys. J. Int.* 181, 173–184.
- Richter, C. F., 1958. *Elementary Seismology*, Freeman.
- Ruzek, B., Hrubcova, P., Novotný, M., Spicak, A. ve Karousova, O., 2007. Inversion of travel times obtained during active seismic refraction experiments CELEBRATION 2000, ALP 2002 and SUDETES 2003. *Stud. Geophys. Geod.*, 51, 141 – 164.
- Saada, S.A., Zahra, H. ve El-Khadragy, A.A., 2013. Structural Pattern and Crustal Modeling of the Central Northern Part of Egypt, Using Bouguer Gravity Data. *Journal Of Applied Sciences Research* 9(10), December, Pages: 6373-6386.

- Sandvol, E., Seber, D. ve Barazangi, M., 1998a. Lithospheric seismic velocity discontinuities beneath the Arabian Shield. *Geophysical Research Letters*, vol. 25, no. 15, pp. 2873-2876.
- Sandvol, E., Seber, D., Calvert, A., ve Barazangi, M., 1998b. Grid search modeling of receiver functions: Implications for crustal structure in the Middle East and North Africa. *Journal Of Geophysical Research*, Vol. 103, NO. B11, Pages 26,899-26,917.
- Salah, K.M., 2011. Crustal structure beneath Kottamiya broadband station, northern Egypt, from analysis of teleseismic receiver functions. *Journal of African Earth Sciences* 60, 353–362
- Saleh, S., 2013. 3D Crustal and Lithospheric Structures in the Southeastern Mediterranean and Northeastern Egypt. *Pure Appl. Geophys.* 170, 2037–2074.
- Saunders, P., Priestley, K. ve Taymaz, T., 1998. Variations in the crustal structure beneath western Turkey. *Geophys. J. Int.* 134, 373-389.
- Sayıl, N., 1998. Karadeniz ve Civarındaki Kabuk ve Üst Manto Yapısının İncelenmesi, Doktora Tezi, KTÜ Fen Bilimleri Enstitüsü, Trabzon.
- Sayıl, N., 2014. Determination of the Crust and Upper-Mantle Structure in Anatolia by Surface Wave Data. *Natural Science*, 6, 968-977.
- Seber, D., Sandvol, E., Sandvol, C., Brindisi, C. ve Barazangi, M., 2001. Crustal model for the Middle East and North Africa region: implications for the isostatic compensation mechanism. *Geophys. J. Int.*, 147, 630–638.
- Snopek, K., Meier, T., Endrun, B., Bohnhoff, M. ve Casten, U., 2007. Comparison of gravimetric and seismic constraints on the structure of the Aegean lithosphere in the forearc of the Hellenic subduction zone in the area of Crete. *Journal of Geodynamics* 44, 173–185.
- Sodoudi, F., Kind, R., Hatzfeld, D., Priestley, K., Hanka, W., Wylegalla, K., Stavrakakis, G., Vafidis, A., Harjes, P.H. ve Bohnhoff, M., 2006. Lithospheric structure of the Aegean obtained from P and S receiver functions. *Journal Of Geophysical Research*, Vol. 111, B12307, doi:10.1029/2005JB003932.
- Sodoudi, F., Brüstle, A., Meier, T., Kind, R., Friederich, W. ve EGELADOS working group, 2015. Receiver function images of the Hellenic subduction zone and comparison to microseismicity. *Solid Earth*, 6, 135–151.
- Sodoudi, F., Yuan, X., Kind, R., Heit, B. ve Sadidkhoy, A., 2009. Evidence for a missing crustal root and a thin lithosphere beneath the Central Alborz by receiver function studies. *Geophys. J. Int.* 177, 733–742.
- Sönmez, T. ve Oruç, B., 2017. Doğu Marmara Bölgesinin Moho Derinliklerinin Gravimetrik ve İzostazik Yöntemlerle Kestirimi ve Kabuk Denge Analizleri. *Yerbilimleri*, 38 (2), 115-128.
- Spada, M., Bianchi, I., Kissling, E., Agostinetti, N.P. ve Wiemer, S., 2013. Combining controlled-source seismology and receiver function information to derive 3-D Moho topography for Italy. *Geophys. J. Int.* 194, 1050–1068.

- Sroda, P., Czuba, W., Grad, M., Guterch, A., Tokarski, A. K., Janik, T., Rauch, M., Keller, G. R., Hegedüs, E., Vozar, J. ve CELEBRATION 2000 Working Group, 2006. Crustal and upper mantle structure of the Western Carpathians from CELEBRATION 2000 profiles CEL01 and CEL04: seismic models and geological implications. *Geophys. J. Int.* 167, 737–760.
- Starostenko, V., Buryanov, V., Makarenko, I., Rusakov, O., Stephenson, R., Nikishin, A., Georgiev, G., Gerasimov, M., Dimitriu, R., Legostaeva, O., Pchelarov, V. ve Sava, C., 2004. Topography of the crust–mantle boundary beneath the Black Sea Basin. *Tectonophysics* 381, 211–233.
- Starostenko, V., Janik, T., Kolomiyets, K., Czuba, W., Środa, P., Grad, M., Kovács, I., Stephenson, R., Lysynchuk, D., Thybo, H., Artemieva, M.I., Omelchenko, V., Gintov, O., Kutas, R., Gryn, D., Guterch, A., Hegedüs, E., Komminaho, K., Legostaeva, O., Tiira, T. ve Tolkunov, A., 2013. Seismic velocity model of the crust and upper mantle along profile PANCAKE across the Carpathians between the Pannonian Basin and the East European Craton. *Tectonophysics* 608, 1049–1072.
- Starostenko, V., Janik, T., Lysynchuk, D., Środa, P., Czuba, W., Kolomiyets, K., Aleksandrowski, P., Gintov, O., Omelchenko, V., Komminaho, K., Guterch, A., Tiira, T., Gryn, D., Legostaeva, O., Thybo, H. ve Tolkunov, A., 2013. Mesozoic(?) lithosphere-scale buckling of the East European Craton in southern Ukraine: DOBRE-4 deep seismic profile. *Geophys. J. Int.* 195, 740–766.
- Starostenko, V., Janik, T., Yegorova, T., Farfuliak, L., Czuba, W., Środa, P., Thybo, H., Artemieva, I., Sosson, M., Volfman, Y., Kolomiyets, K., Lysynchuk, D., Omelchenko, V., Gryn, D., Guterch, A., Komminaho, K., Legostaeva, O., Tiira, T. ve Tolkunov, A., 2015. Seismic model of the crust and upper mantle in the Scythian Platform: the DOBRE-5 profile across the north western Black Sea and the Crimean Peninsula. *Geophys. J. Int.* 201, 406–428.
- Stehly, L., Fry, B., Campillo, M., Shapiro, N.M., Guilbert, J., Boschi, L. ve Giardini, D., 2009. Tomography of the Alpine region from observations of seismic ambient noise. *Geophys. J. Int.* 178, 338–350.
- Stipcevic, J., Tkalcic, H., Herak, M., Markusic, S. ve Herak, D., 2011. Crustal and uppermost mantle structure beneath the External Dinarides, Croatia, determined from teleseismic receiver functions. *Geophys. J. Int.* 185, 1103–1119.
- Şerif, T., 2004. *Yüzey Dalgalarının Ters Çözümlemesi ile Anadolu’da Kabuk ve Üst Manto Yapısının İncelenmesi, Yüksek Lisans Tezi, İÜ, Fen Bilimleri Enstitüsü, İstanbul.*
- Tang, Z., Julià, J., Zahran, H. ve Mai, M.P., 2016. The lithospheric shear-wave velocity structure of Saudi Arabia: Young volcanism in an old shield. *Tectonophysics* 680, 8–27.
- Tank, B.S., Honkura, Y., Ogawa, Y., Matsushima, M., Oshiman, N., Tunçer, K.M., Çelik, C., Tolak, E. ve Işıkara, M.A., 2005. Magnetotelluric imaging of the fault rupture area of the 1999 Izmit (Turkey) earthquake. *Physics of the Earth and Planetary Interiors* 150, 213–225.

- Tašárová, A., Afonso, J.C., Bielik, M., Götze, H.J. ve Hók, J., 2009. The lithospheric structure of the Western Carpathian–Pannonian Basin region based on the CELEBRATION 2000 seismic experiment and gravity modelling. *Tectonophysics* 475, 454–469.
- Telford, W.M., Geldard, L.P., Sheriff, R.E., ve Keyes, D.A., 1976. *Applied Geophysics*, Cambridge University Press.
- Tesauro, M., Kaban, M.K. ve Cloetingh, S.A.P.L., 2008. EuCRUST-07: A new reference model for the European crust. *Geophysical Research Letters*, Vol. 35, L05313.
- Tezcan, D., 2008. *Crustal Structure of the Eastern Mediterranean and Black Sea Basins From Satellite Altimetry And Shipborne Gravity Data*. Marine Geology and Geophysics Middle East Technical University Graduate School of Marine Sciences Doctor of Philosophy.
- Tezel, T., Shibutani, T. ve Kaypak, B., 2010. Crustal structure variation in western Turkey inferred from the receiver function analysis. *Tectonophysics* 492, 240–252.
- Tezel, T., Shibutani, T. ve Kaypak, B., 2013. Crustal thickness of Turkey determined by receiver function. *Journal of Asian Earth Sciences* 75, 36–45.
- Thybo, H., Janik, T., Omelchenko, V.D., Grad, M., Garetsky, R.G., Belinsky, A.A., Karatayev, G.I., Zlotki, G., Knudsen, M.E., Sand, R., Yliniemi, J., Tiira, T., Luosto, U., Komminaho, K., Giese, R., Guterch, A., Lund, C.E., Kharitonov, O.M., Ilchenko, T., Lysynchuk, D.V., Skobelev, V.M. ve Doody, J.J., 2003. Upper lithospheric seismic velocity structure across the Pripyat Trough and the Ukrainian Shield along the EUROBRIDGE'97 profile. *Tectonophysics* 371, 41–79.
- Tirel, C., Gueydan, F., Tiberi, C. ve Brun, P.J., 2004. Aegean crustal thickness inferred from gravity inversion. Geodynamical implications. *Earth and Planetary Science Letters* 228, 267–280.
- Tkalcic, H., Pasyanos, E.M., Rodgers, J.A., Gök, R., Walter, R.W. ve Al-Amri, A., 2006. A multistep approach for joint modeling of surface wave dispersion and teleseismic receiver functions: Implications for lithospheric structure of the Arabian Peninsula. *Journal of Geophysical Research*, Vol. 111, B11311.
- Toksöz, M.N., Kuleli, S., Gürbüz, C., Kalafat, D., Bekler, T., Zor, E., Yilmazer, M., Ogutcu, Z., Schultz, C.A. ve Harris, D.B., 2003. Calibration of Regional Seismic Stations in the Middle East with Shot in Turkey. 25th Seismic Research Review - Nuclear Explosion Monitoring: Building the Knowledge Base.
- Totaro, C., Koulakov, I., Orecchio, B. ve Presti, D., 2014. Detailed crustal structure in the area of the southern Apennines–Calabrian Arc border from local earthquake tomography. *Journal of Geodynamics* 82, 87–97.
- Truffert, C., Chamot-Rooke, N., Lallemand, S., De Voogd, B., Huchon, P. ve Le Pichon, X., 1993. The crust of the Western Mediterranean Ridge from deep seismic data and gravity modelling. *Geophys. J. Int.* 114, 360–372.

- Tsokas, N.G. ve Hansen, O.R., 1997. Study of the crustal thickness and the subducting lithosphere in Greece from gravity data. *Journal Of Geophysical Research*, Vol. 102, No. B9, p. 20, 585-20,597, September 10.
- Turhan, B., 2008. Batı Karadeniz Bölgesi'nin 3 boyutlu sismik hız yapısının tomografik yöntemlerle belirlenmesi. Ankara Üniversitesi Fen Bilimleri Enstitüsü Jeofizik Mühendisliği Anabilim Dalı Yüksek Lisans Tezi.
- Türkoğlu, E., Unsworth, M., Çağlar, İ., Tuncer, V. ve Avşar, Ü., 2008. Lithospheric structure of the Arabia-Eurasia collision zone in eastern Anatolia: Magnetotelluric evidence for widespread weakening by fluids?. *Geology*, v. 36, no. 8, p. 619-622.
- Tziavos, I.N., Vergos, G.S., Grigoriadis, V.N., Stylianidis, S., 2017. Geoid and Moho-depth modeling in Cyprus. Joint Scientific Assembly of the IAG and the IASPEI, Session G02 "Static Gravity Field", G02-P-10 July 30-August 4, Kobe, Japan.
- Uluslan, N., 1978. Batı Anadolu'daki kabuk hızlarının araştırılması. Lisans Üstü Tezi İ.Ü.F.F.
- Üstün, A., 2010. Generic mapping tools ve kartografik uygulamalar. Selçuk Üniversitesi Harita Mühendisliği Ders notları.
- Vanacore, E.A., Taymaz, T. ve Saygın, E., 2013. Moho structure of the Anatolian Plate from receiver function analysis. *Geophys. J. Int.* 193, 329–337, doi: 10.1093/gji/ggs107.
- Van der Meijde, M., Van der Lee, S. ve Giardini, D., 2003. Crustal structure beneath broad-band seismic stations in the Mediterranean region. *Geophys. J. Int.* 152, 729–739.
- Welford, K.J., Hall, J., Rahimi, A., Reiche, S., Hübscher, C. ve Loudon, K., 2015. Crustal structure from the Hecataeus Rise to the Levantine Basin, eastern Mediterranean, from seismic refraction and gravity modelling. *Geophys. J. Int.* 203, 2055–2069.
- Wessel, P. and Smith, W.H.F., 1998. New, improved version of Generic Mapping Tools released. *EOS*. 79, (47), 579.
- Yaminifard, F., Sedghi, M.H., Gholamzadeh, A., Tatar, M. ve Hessami, K., 2012. Active faulting of the southeastern-most Zagros (Iran): Microearthquake seismicity and crustal structure. *Journal of Geodynamics* 55, 56– 65.
- Yang, Y., Ritzwoller, M.H., Levshin, A.L. ve Shapiro, N.M., 2007. Ambient noise Rayleigh wave tomography across Europe. *Geophys. J. Int.* 168, 259–274.
- Yegorova, T. ve Gobarenko, V., 2010. Structure of the Earth's crust and upper mantle of the West- and East-Black Sea Basins revealed from geophysical data and its tectonic implications. Geological Society, London, Special Publications; v. 340; p. 23-42.
- Yegorova, T., Baranova, E., Gobarenko, V. ve Yanovskaya, T., 2011. Basin Architecture and Lithosphere Structure of West- and East-Black Sea Basins from Geophysical Studies. Search and Discovery Article #30153 Posted March 28.

- Yegorova, T., Stephenson, A.R., Kostyuchenko, L.S., Baranova, P.E., Starostenko, I.V. ve Popolitov, E.K., 2004. Structure of the lithosphere below the southern margin of the East European Craton (Ukraine and Russia) from gravity and seismic data. *Tectonophysics* 381, 81–100.
- Yılmaz, H., ve Özel, S., 2008. Crustal Structure of the Eastern Part of Central Anatolia (Turkey). *Turkish Journal of Earth Sciences (Turkish J. Earth Sci.)*, Vol. 18, pp. 169-185.
- Yolsal-Çevikbilen, S., Biryol, B.C., Beck, S., Zandt, G., Taymaz, T., Adıyaman, E.H. ve Özacar, A.A., 2012. 3-D crustal structure along the North Anatolian Fault Zone in north-central Anatolia revealed by local earthquake tomography. *Geophys. J. Int.* 188, 819–849.
- Yüksel A.F., 2005. Batı Anadolu Bouguer Gravite Anomalilerinin Süzgeçlenmesi ve Yerkabuğu Kalınlık Dağılımının İncelenmesi. Pamukkale Üniversitesi Mühendislik Fakültesi Mühendislik Bilimleri Dergisi, Cilt 11, Sayı 1, Sayfa 1-13.
- Zelt, B.C., Taylor, B., Sachpazi, M. ve Hirn, A., 2005. Crustal velocity and Moho structure beneath the Gulf of Corinth, Greece. *Geophys. J. Int.* 162, 257–268.
- Zhu, L., Mitchell, J.B., Akyol, N., Cemen, İ. ve Kekovali, K., 2006. Crustal thickness variations in the Aegean region and implications for the extension of continental crust. *Journal Of Geophysical Research*, Vol. 111, B01301, doi:10.1029/2005JB003770, 2006.
- Zor, E., Özalaybey, S. ve Gürbüz, C., 2006. The crustal structure of the eastern Marmara region, Turkey by teleseismic receiver functions. *Geophys. J. Int.* 167, 213–222, doi: 10.1111/j.1365-246X.2006.03042.x.
- Zor, E., Sandvol, E., Gürbüz, C., Türkelli, N., Seber, D. ve Barazangi, M., 2003. The crustal structure of the East Anatolian plateau (Turkey) from receiver functions. *Geophysical Research Letters*, Vol. 30, No. 24, 8044.
- <http://www.visualdictionaryonline.com/images/earth/geology/structure-earth.jpg>.
Erişim Tarihi: 25.09.2016.

EKLER

Ek 1: Ayıklanmış Veriler

Tablo 8.1. Ayıklanmış Veriler. Yanlarında * işareti olanlar ortak çözümler.

Lokasyon	Enlem	Boylam	Kalınlık (km)	Yöntem	Referans	Hata Oranı (\pm) km
CSS (Kıbrıs)	34,960000°	33,330000°	30	alıcı fonksiyonları	Vanacore vd.,2013	
KOUM (Ege Adası)	37,704000°	26,838000°	25	alıcı fonksiyonları, Poison oranı*	Meijde vd., 2003	1,4
APER (Ege Adası)	35,550000°	27,174000°	29	alıcı fonksiyonları, Poison oranı*	Meijde vd., 2003	2,3
ITHO (Yunanistan)	37,179000°	21,925000°	43	alıcı fonksiyonları, Poison oranı*	Meijde vd., 2003	1,7
KEG (Mısır)	29,927000°	31,829000°	32	alıcı fonksiyonları	Salah 2011	
MSL (Musul)	36,343033°	43,115183°	39	alıcı fonksiyonları, yüzey dalgaları*	Gök vd., 2006	5,9
BGD (BAĞDAT)	33,329783°	44,416750°	43	alıcı fonksiyonları, yüzey dalgaları*	Gök vd., 2006	
HITJ (ÜRDÜN)	29,740000°	35,840000°	36,4	alıcı fonksiyonları	Al-Damegh vd., 2005	1,42
ALWS (ARABİSTAN)	29,310000°	35,070000°	24,7	alıcı fonksiyonları	Al-Damegh vd., 2005	1,64
MLSB (Ege B.)	37,295300°	27,776500°	25	alıcı fonksiyonları	Tezel vd., 2010	
AKHS (Ege B.)	38,878800°	29,813800°	25	alıcı fonksiyonları	Tezel vd., 2010	
EDRB (Marmara)	41,847000°	26,743700°	30	alıcı fonksiyonları	Tezel vd., 2013	
SILT (Marmara)	41,153000°	29,643000°	39,2	alıcı fonksiyonları	Tezel vd., 2013	

Tablo 8.1. (Devamı)

Lokasyon	Enlem	Boylam	Kalınlık (km)	Yöntem	Referans	Hata Oranı (\pm) km
RKY (Marmara)	40,687500°	27,177700°	31	alıcı fonksiyonları	Tezel vd., 2013	
BOZC (Marmara)	39,841900°	26,052800°	24	alıcı fonksiyonları	Tezel vd., 2013	
EZN (Marmara B.)	39,826700°	26,325800°	30,6	alıcı fonksiyonları	Tezel vd., 2013	
BALY (Marmara)	39,740300°	27,629500°	28,6	alıcı fonksiyonları	Tezel vd., 2013	
BORA (İç Anadolu)	39,880100°	30,453400°	34,8	alıcı fonksiyonları	Tezel vd., 2013	
KDZE (Karadeniz)	41,313200°	31,443000°	32,6	alıcı fonksiyonları	Tezel vd., 2013	
DEMI (Ege)	39,042800°	28,716200°	29,5	alıcı fonksiyonları	Tezel vd., 2013	
GDZ (Ege)	39,088800°	29,481100°	33,9	alıcı fonksiyonları	Tezel vd., 2013	
ALT (Ege)	39,055200°	30,110300°	32,6	alıcı fonksiyonları	Tezel vd., 2013	
BOLV (Ege)	38,713800°	30,950200°	34,5	alıcı fonksiyonları	Tezel vd., 2013	
SHUT (Ege)	38,553000°	30,551000°	35	alıcı fonksiyonları	Tezel vd., 2013	
KHAL (Ege)	38,370300°	29,491700°	31,9	alıcı fonksiyonları	Tezel vd., 2013	
BLCB (Ege)	38,385300°	27,042000°	26,5	alıcı fonksiyonları	Tezel vd., 2013	
URLA (Ege)	38,360200°	26,595500°	29,7	alıcı fonksiyonları	Tezel vd., 2013	
GCAM (Ege)	37,713900°	27,241800°	23,8	alıcı fonksiyonları	Tezel vd., 2013	
AYDN (Ege)	37,660800°	27,879200°	27	alıcı fonksiyonları	Tezel vd., 2013	
DNZL (Ege)	37,689700°	29,046400°	34,5	alıcı fonksiyonları	Tezel vd., 2013	
BODT (Ege)	37,062200°	27,310300°	23,6	alıcı fonksiyonları	Tezel vd., 2013	
BDRM (Ege)	37,065300°	27,444200°	26,7	alıcı fonksiyonları	Tezel vd., 2013	
DAT (Ege)	36,730800°	27,576800°	33	alıcı fonksiyonları	Tezel vd., 2013	
AKAS (Akdeniz)	36,232700°	29,605200°	38,4	alıcı fonksiyonları	Tezel vd., 2013	
ELL (Akdeniz)	36,748300°	29,908500°	37,8	alıcı fonksiyonları	Tezel vd., 2013	
KORT (Akdeniz)	37,000700°	30,350300°	41,3	alıcı fonksiyonları	Tezel vd., 2013	

Tablo 8.1. (Devamı)

Lokasyon	Enlem	Boylam	Kalınlık (km)	Yöntem	Referans	Hata Oranı (\pm) km
HDMB (İç Anadolu)	36,964000°	32,486000°	41,3	alıcı fonksiyonları	Tezel vd., 2013	
KIZK (Akdeniz)	36,480300°	34,143700°	41,4	alıcı fonksiyonları	Tezel vd., 2013	
MERS (Akdeniz)	36,867800°	34,522000°	36,6	alıcı fonksiyonları	Tezel vd., 2013	
GULE (Akdeniz)	37,283700°	34,776500°	37,6	alıcı fonksiyonları	Tezel vd., 2013	
KARA (Akdeniz)	37,260700°	35,054700°	39	alıcı fonksiyonları	Tezel vd., 2013	
CEYT (Akdeniz)	37,010700°	35,747800°	37	alıcı fonksiyonları	Tezel vd., 2013	
KOZT (Akdeniz)	37,480500°	35,826800°	34,3	alıcı fonksiyonları	Tezel vd., 2013	
ANDN (Akdeniz)	37,580000°	36,345300°	35,4	alıcı fonksiyonları	Tezel vd., 2013	
KMRS (Akdeniz)	37,505300°	36,900000°	34,2	alıcı fonksiyonları	Tezel vd., 2013	
KAMA (Akdeniz)	37,186100°	36,666700°	28,4	alıcı fonksiyonları	Tezel vd., 2013	
KUZU (Güney And.)	36,773500°	37,075000°	29,3	alıcı fonksiyonları	Tezel vd., 2013	
SVRH (İç Anadolu)	39,447000°	31,523200°	33,2	alıcı fonksiyonları	Tezel vd., 2013	
KDHN (İç Anadolu)	38,521100°	32,116400°	37	alıcı fonksiyonları	Tezel vd., 2013	
LADK (İç anadolu)	38,199900°	32,364800°	34,4	alıcı fonksiyonları	Tezel vd., 2013	
KONT (İç anadolu)	37,945300°	32,360500°	37,9	alıcı fonksiyonları	Tezel vd., 2013	
ILGA (İç anadolu)	41,052100°	33,716500°	35,5	alıcı fonksiyonları	Tezel vd., 2013	
CANT (İç anadolu)	40,606200°	33,619700°	35,3	alıcı fonksiyonları	Tezel vd., 2013	
AFSR (İç anadolu)	39,446800°	33,070700°	35	alıcı fonksiyonları	Tezel vd., 2013	
CORM (Karadeniz)	40,178500°	34,630200°	31,6	alıcı fonksiyonları	Tezel vd., 2013	
CDAG (İç anadolu)	39,623600°	34,371900°	34,6	alıcı fonksiyonları	Tezel vd., 2013	
BNN (İç anadolu)	38,852200°	35,847200°	35,9	alıcı fonksiyonları	Tezel vd., 2013	
BZK (Karadeniz)	41,960000°	34,003500°	40,1	alıcı fonksiyonları	Tezel vd., 2013	
DIKM (Karadeniz)	41,649700°	35,257800°	40,7	alıcı fonksiyonları	Tezel vd., 2013	

Tablo 8.1. (Devamı)

Lokasyon	Enlem	Boylam	Kalınlık (km)	Yöntem	Referans	Hata Oranı (\pm) km
ERBA (Karadeniz)	40,681400°	36,754700°	32,6	alıcı fonksiyonları	Tezel vd., 2013	
TOKA (Karadeniz)	40,323200°	36,478300°	39,7	alıcı fonksiyonları	Tezel vd., 2013	
RSDY (Karadeniz)	40,397200°	37,327300°	35,5	alıcı fonksiyonları	Tezel vd., 2013	
SVSK (İç anadolu)	39,917500°	36,992500°	39,8	alıcı fonksiyonları	Tezel vd., 2013	
SCER (İç anadolu)	39,861300°	37,128600°	41,6	alıcı fonksiyonları	Tezel vd., 2013	
SUSE (İç anadolu)	40,208600°	38,202500°	40,2	alıcı fonksiyonları	Tezel vd., 2013	
ESPY (Karadeniz)	40,916700°	38,727300°	32,3	alıcı fonksiyonları	Tezel vd., 2013	
KELT (Karadeniz)	40,148600°	39,255600°	39,5	alıcı fonksiyonları	Tezel vd., 2013	
EUZM (Doğu And.)	39,707300°	39,697500°	39,8	alıcı fonksiyonları	Tezel vd., 2013	
KTUT (Karadeniz)	40,987000°	39,766700°	31,5	alıcı fonksiyonları	Tezel vd., 2013	
BAYT (Karadeniz)	40,393500°	40,141000°	42,6	alıcı fonksiyonları	Tezel vd., 2013	
KOPT (Doğu And.)	40,017900°	40,497200°	41	alıcı fonksiyonları	Tezel vd., 2013	
BCA (Karadeniz)	41,445000°	41,622300°	33,2	alıcı fonksiyonları	Tezel vd., 2013	
DBOC (Karadeniz)	41,345300°	41,666600°	41,5	alıcı fonksiyonları	Tezel vd., 2013	
ARTV (Karadeniz)	41,184900°	41,928300°	45,9	alıcı fonksiyonları	Tezel vd., 2013	
DAGI (Karadeniz)	41,077800°	41,914200°	44,5	alıcı fonksiyonları	Tezel vd., 2013	
DDEM (Karadeniz)	40,892300°	41,750700°	43,5	alıcı fonksiyonları	Tezel vd., 2013	
HOMI (Doğu And.)	40,045200°	41,905500°	42,5	alıcı fonksiyonları	Tezel vd., 2013	
KARS (Doğu And.)	40,615200°	43,093700°	44,3	alıcı fonksiyonları	Tezel vd., 2013	
EAK (Doğu And.)	40,686200°	43,606900°	43,5	alıcı fonksiyonları	Tezel vd., 2013	
DIGO (Doğu And.)	40,414700°	43,374200°	42,9	alıcı fonksiyonları	Tezel vd., 2013	
PINB (İç anadolu)	38,676900°	36,402700°	41,9	alıcı fonksiyonları	Tezel vd., 2013	
DARE (Doğu And.)	38,571200°	37,483200°	42,3	alıcı fonksiyonları	Tezel vd., 2013	

Tablo 8.1. (Devamı)

Lokasyon	Enlem	Boylam	Kalınlık (km)	Yöntem	Referans	Hata Oranı (\pm) km
AKCD (Doğu And.)	38,295600°	37,922400°	39,7	alıcı fonksiyonları	Tezel vd., 2013	
KEMA (Doğu And.)	39,268800°	38,493200°	41,9	alıcı fonksiyonları	Tezel vd., 2013	
PTK (Doğu And.)	38,892300°	39,392300°	32,2	alıcı fonksiyonları	Tezel vd., 2013	
ELZG (Doğu And.)	38,497800°	38,984400°	37,7	alıcı fonksiyonları	Tezel vd., 2013	
SVRC (Doğu And.)	38,377500°	39,306000°	42,4	alıcı fonksiyonları	Tezel vd., 2013	
BNGB (Doğu And.)	38,991300°	40,679200°	36	alıcı fonksiyonları	Tezel vd., 2013	
BNGL (Doğu And.)	38,952100°	41,149900°	41,2	alıcı fonksiyonları	Tezel vd., 2013	
EATA (Doğu And.)	39,862200°	42,491600°	39,9	alıcı fonksiyonları	Tezel vd., 2013	
DYDN (Doğu And.)	39,543600°	43,688900°	48,8	alıcı fonksiyonları	Tezel vd., 2013	
CLDR (Doğu And.)	39,144000°	43,917200°	41,9	alıcı fonksiyonları	Tezel vd., 2013	
TATV (Doğu And.)	38,580000°	42,267200°	37,2	alıcı fonksiyonları	Tezel vd., 2013	
GEVA (Doğu And.)	38,312200°	43,058600°	45,6	alıcı fonksiyonları	Tezel vd., 2013	
HAKT (Doğu And.)	37,557900°	43,707100°	47,4	alıcı fonksiyonları	Tezel vd., 2013	
URFA (Güney And.)	37,441000°	38,821300°	31,1	alıcı fonksiyonları	Tezel vd., 2013	
DIYA (Güney And.)	37,923400°	40,120800°	33	alıcı fonksiyonları	Tezel vd., 2013	
MARD (Güney And.)	37,313200°	40,777600°	40,5	alıcı fonksiyonları	Tezel vd., 2013	
BOZ (Ege)	38,300000°	28,050000°	28,3	alıcı fonksiyonları	Zhu vd., 2006	1,9
NW (Marmara)	40,850000°	30,200000°	36,5	alıcı fonksiyonları	Kahraman vd., 2015	
NE (Marmara)	40,850000°	30,500000°	39	alıcı fonksiyonları	Kahraman vd., 2015	
CW (Marmara)	40,600000°	30,200000°	37	alıcı fonksiyonları	Kahraman vd., 2015	
CE (Marmara)	40,600000°	30,500000°	37	alıcı fonksiyonları	Kahraman vd., 2015	
SW (Marmara)	40,350000°	30,200000°	35	alıcı fonksiyonları	Kahraman vd., 2015	
SE (Marmara)	40,350000°	30,500000°	34	alıcı fonksiyonları	Kahraman vd., 2015	

Tablo 8.1. (Devamı)

Lokasyon	Enlem	Boylam	Kalınlık (km)	Yöntem	Referans	Hata Oranı (\pm) km
ANTO (İç Anadolu)	39,870000°	32,790000°	37,5	alıcı fonksiyonları	Saunders vd., 1998	0,9
KULA (Ege)	38,516500°	28,660700°	30	alıcı fonksiyonları	Saunders vd., 1998	0,7
USAK (Ege)	38,720000°	29,400000°	34	alıcı fonksiyonları	Saunders vd., 1998	1
TRBZ (Karadeniz)	40,990000°	39,770000°	35	alıcı fonksiyonları, yüzey dalgaları*	Çakır ve Erduran 2004	
ID02 (İsrail)	31,240000°	34,710000°	32	alıcı fonksiyonları	Mohsen vd., 2005	
ID01 (İsrail)	31,200000°	34,540000°	31	alıcı fonksiyonları	Mohsen vd., 2005	
ID03 (İsrail)	31,140000°	34,780000°	31	alıcı fonksiyonları	Mohsen vd., 2005	
ID12 (İsrail)	30,990000°	34,920000°	31	alıcı fonksiyonları	Mohsen vd., 2005	
ID26 (İsrail)	30,970000°	34,690000°	33	alıcı fonksiyonları	Mohsen vd., 2005	
ID05 (İsrail)	30,870000°	34,790000°	31	alıcı fonksiyonları	Mohsen vd., 2005	
ID15 (İsrail)	30,870000°	35,080000°	32	alıcı fonksiyonları	Mohsen vd., 2005	
ID07 (İsrail)	30,790000°	34,770000°	32	alıcı fonksiyonları	Mohsen vd., 2005	
ID04 (İsrail)	30,730000°	34,770000°	32	alıcı fonksiyonları	Mohsen vd., 2005	
ID17 (İsrail)	30,620000°	34,900000°	33	alıcı fonksiyonları	Mohsen vd., 2005	
ID08 (İsrail)	30,600000°	34,790000°	32	alıcı fonksiyonları	Mohsen vd., 2005	
ID21 (İsrail)	30,330000°	34,950000°	33	alıcı fonksiyonları	Mohsen vd., 2005	
JS02 (Ürdün)	30,290000°	36,240000°	32	alıcı fonksiyonları	Mohsen vd., 2005	
ID16 (İsrail)	30,920000°	35,020000°	31	alıcı fonksiyonları	Mohsen vd., 2005	
JW01 (Ürdün)	30,870000°	35,970000°	32	alıcı fonksiyonları	Mohsen vd., 2005	
JK01 (Ürdün)	30,780000°	35,610000°	31	alıcı fonksiyonları	Mohsen vd., 2005	
ID19 (İsrail)	30,770000°	35,280000°	35	alıcı fonksiyonları	Mohsen vd., 2005	
ID27 (İsrail)	30,660000°	35,240000°	34	alıcı fonksiyonları	Mohsen vd., 2005	
ID06 (İsrail)	30,560000°	35,180000°	34	alıcı fonksiyonları	Mohsen vd., 2005	

Tablo 8.1. (Devamı)

Lokasyon	Enlem	Boylam	Kalınlık (km)	Yöntem	Referans	Hata Oranı (\pm) km
ID28 (İsrail)	30,360000°	35,160000°	34	alıcı fonksiyonları	Mohsen vd., 2005	
JD05 (Ürdün)	30,260000°	35,230000°	35	alıcı fonksiyonları	Mohsen vd., 2005	
JK05 (Ürdün)	30,240000°	35,480000°	35	alıcı fonksiyonları	Mohsen vd., 2005	
JW05 (Ürdün)	30,230000°	35,690000°	37	alıcı fonksiyonları	Mohsen vd., 2005	
JD06 (Ürdün)	30,090000°	35,210000°	36	alıcı fonksiyonları	Mohsen vd., 2005	
ID31 (İsrail)	30,080000°	35,130000°	33	alıcı fonksiyonları	Mohsen vd., 2005	
ID32 (İsrail)	29,970000°	35,060000°	32	alıcı fonksiyonları	Mohsen vd., 2005	
JS03 (Ürdün)	29,940000°	36,140000°	38	alıcı fonksiyonları	Mohsen vd., 2005	
JW09 (Ürdün)	29,680000°	35,320000°	32	alıcı fonksiyonları	Mohsen vd., 2005	
JS07 (Ürdün)	29,420000°	35,390000°	32	alıcı fonksiyonları	Mohsen vd., 2005	
JD03 (Ürdün)	30,620000°	35,410000°	32	alıcı fonksiyonları	Mohsen vd., 2005	
JK02 (Ürdün)	30,570000°	35,560000°	33	alıcı fonksiyonları	Mohsen vd., 2005	
JD04 (Ürdün)	30,400000°	35,340000°	34	alıcı fonksiyonları	Mohsen vd., 2005	
JK04 (Ürdün)	30,380000°	35,500000°	35	alıcı fonksiyonları	Mohsen vd., 2005	
JW04 (Ürdün)	30,330000°	35,770000°	36	alıcı fonksiyonları	Mohsen vd., 2005	
ID22 (İsrail)	30,180000°	35,020000°	33	alıcı fonksiyonları	Mohsen vd., 2005	
ID23 (İsrail)	30,050000°	35,040000°	34	alıcı fonksiyonları	Mohsen vd., 2005	
JK06 (Ürdün)	30,040000°	35,370000°	35	alıcı fonksiyonları	Mohsen vd., 2005	
JW07 (Ürdün)	30,000000°	35,500000°	35	alıcı fonksiyonları	Mohsen vd., 2005	
ID33 (İsrail)	29,900000°	34,950000°	33	alıcı fonksiyonları	Mohsen vd., 2005	
ID24 (İsrail)	29,790000°	34,910000°	33	alıcı fonksiyonları	Mohsen vd., 2005	
JD08 (Ürdün)	29,720000°	35,050000°	33	alıcı fonksiyonları	Mohsen vd., 2005	
JS05 (Ürdün)	29,440000°	35,820000°	33	alıcı fonksiyonları	Mohsen vd., 2005	

Tablo 8.1. (Devamı)

Lokasyon	Enlem	Boylam	Kalınlık (km)	Yöntem	Referans	Hata Oranı (\pm) km
ANG1 (Suriye)	37,000000°	42,000000°	41,5	alıcı fonksiyonları	Angus vd., 2006	0,5
ANG2 (Güney And.)	38,000000°	42,000000°	42,7	alıcı fonksiyonları	Angus vd., 2006	0,5
ANG3 (Doğu And.)	39,000000°	42,000000°	43,5	alıcı fonksiyonları	Angus vd., 2006	0,5
ANG4 (Doğu And.)	40,000000°	42,000000°	42,5	alıcı fonksiyonları	Angus vd., 2006	0,5
ANG5 (Karadeniz)	41,000000°	42,000000°	44	alıcı fonksiyonları	Angus vd., 2006	0,5
ANG6 (Doğu And.)	39,000000°	38,000000°	36	alıcı fonksiyonları	Angus vd., 2006	0,5
ANG7 (Doğu And.)	39,000000°	39,000000°	40,2	alıcı fonksiyonları	Angus vd., 2006	0,5
ANG8 (Doğu And.)	39,000000°	40,000000°	42	alıcı fonksiyonları	Angus vd., 2006	0,5
ANG9 (Doğu And.)	39,000000°	41,000000°	46,5	alıcı fonksiyonları	Angus vd., 2006	0,5
ANG10 (Doğu And.)	39,000000°	43,000000°	46,5	alıcı fonksiyonları	Angus vd., 2006	0,5
ANG11 (Doğu And.)	39,000000°	44,000000°	44	alıcı fonksiyonları	Angus vd., 2006	0,5
ANG12 (İran)	39,000000°	45,000000°	46	alıcı fonksiyonları	Angus vd., 2006	0,5
TER (Marmara)	41,116667°	29,516667°	29	alıcı fonksiyonları	Zor vd., 2006	
ALB (Marmara)	41,066667°	30,183333°	32	alıcı fonksiyonları	Zor vd., 2006	
KLK (Karadeniz)	41,050000°	31,050000°	34	alıcı fonksiyonları	Zor vd., 2006	
BUY (Marmara)	40,850000°	29,116667°	30	alıcı fonksiyonları	Zor vd., 2006	
PEN (Marmara)	40,866667°	29,266667°	30	alıcı fonksiyonları	Zor vd., 2006	
KAL (Marmara)	40,850000°	29,716667°	31	alıcı fonksiyonları	Zor vd., 2006	
BOZ (Marmara)	40,516667°	28,800000°	30	alıcı fonksiyonları	Zor vd., 2006	
TAR (Marmara)	40,383333°	30,450000°	35	alıcı fonksiyonları	Zor vd., 2006	
KIV (Rusya)	43,960000°	42,690000°	43	alıcı fonksiyonları	Sandvol vd., 1998b	5
CANB (Marmara)	40,016700°	27,062500°	36	alıcı fonksiyonları	Gülen vd., 2007	
MFTX (Marmara)	40,786700°	27,281200°	32	alıcı fonksiyonları	Gülen vd., 2007	

Tablo 8.1. (Devamı)

Lokasyon	Enlem	Boylam	Kalınlık (km)	Yöntem	Referans	Hata Oranı (\pm) km
YLV (Marmara)	40,566700°	29,372300°	31	alıcı fonksiyonları	Gülen vd., 2007	
AZR (İran)	37,678300°	45,980000°	47	alıcı fonksiyonları	Farahmand vd., 2014	0,5
BST (İran)	37,700000°	46,891700°	42,5	alıcı fonksiyonları	Farahmand vd., 2014	1
TBZ (İran)	38,233300°	46,146600°	46	alıcı fonksiyonları	Farahmand vd., 2014	1
SRB (İran)	37,825000°	47,666700°	53,5	alıcı fonksiyonları	Farahmand vd., 2014	1
SHB (İran)	38,283300°	45,616600°	39	alıcı fonksiyonları	Farahmand vd., 2014	1,2
MRD (İran)	38,713300°	45,703300°	52	alıcı fonksiyonları	Farahmand vd., 2014	0,5
HRS (İran)	38,318300°	47,041700°	49	alıcı fonksiyonları	Farahmand vd., 2014	1
HSH (İran)	37,306700°	47,263300°	46	alıcı fonksiyonları	Farahmand vd., 2014	1
AGGI (Yunanistan)	39,010000°	22,320000°	36	alıcı fonksiyonları	Sodoudi vd., 2006	
ALEX (Yunanistan)	40,970000°	25,790000°	30	alıcı fonksiyonları	Sodoudi vd., 2006	
ANAT (Yunanistan)	39,740000°	22,680000°	31	alıcı fonksiyonları	Sodoudi vd., 2006	
ATH (Yunanistan)	37,970000°	23,720000°	25,5	alıcı fonksiyonları	Sodoudi vd., 2006	
DRAM (Yunanistan)	41,200000°	24,010000°	34	alıcı fonksiyonları	Sodoudi vd., 2006	
EVR (Yunanistan)	38,920000°	21,810000°	33	alıcı fonksiyonları	Sodoudi vd., 2006	
FLOR (Yunanistan)	40,780000°	21,380000°	40	alıcı fonksiyonları	Sodoudi vd., 2006	
HIOS (Ege Denizi)	38,250000°	26,040000°	25	alıcı fonksiyonları	Sodoudi vd., 2006	
IDI (Girit)	35,280000°	24,890000°	33	alıcı fonksiyonları	Sodoudi vd., 2006	
ITM (Yunanistan)	37,180000°	21,930000°	28,5	alıcı fonksiyonları	Sodoudi vd., 2006	
JAN (Yunanistan)	39,660000°	20,850000°	28	alıcı fonksiyonları	Sodoudi vd., 2006	
KEK (Yunanistan)	39,710000°	19,800000°	27	alıcı fonksiyonları	Sodoudi vd., 2006	
KOZA (Yunanistan)	40,300000°	21,780000°	37	alıcı fonksiyonları	Sodoudi vd., 2006	
KRIS (Girit)	35,170000°	25,500000°	21	alıcı fonksiyonları	Sodoudi vd., 2006	

Tablo 8.1. (Devamı)

Lokasyon	Enlem	Boylam	Kalınlık (km)	Yöntem	Referans	Hata Oranı (\pm) km
LESB (Ege Denizi)	39,240000°	26,260000°	31	alıcı fonksiyonları	Sodoudi vd., 2006	
LIMN (Ege Denizi)	39,950000°	25,160000°	28	alıcı fonksiyonları	Sodoudi vd., 2006	
LITO (Yunanistan)	40,100000°	22,480000°	30	alıcı fonksiyonları	Sodoudi vd., 2006	
LKR (Yunanistan)	38,650000°	23,000000°	25	alıcı fonksiyonları	Sodoudi vd., 2006	
MILO (Ege Denizi)	36,670000°	24,440000°	36	alıcı fonksiyonları	Sodoudi vd., 2006	
NEO (Yunanistan)	39,310000°	23,220000°	27	alıcı fonksiyonları	Sodoudi vd., 2006	
NPS (Girit)	35,260000°	25,610000°	21	alıcı fonksiyonları	Sodoudi vd., 2006	
NVR (Yunanistan)	41,350000°	23,860000°	40	alıcı fonksiyonları	Sodoudi vd., 2006	
PENT (Yunanistan)	38,040000°	23,960000°	37	alıcı fonksiyonları	Sodoudi vd., 2006	
PLG (Yunanistan)	40,370000°	23,450000°	30	alıcı fonksiyonları	Sodoudi vd., 2006	
RLS (Yunanistan)	38,060000°	21,470000°	25	alıcı fonksiyonları	Sodoudi vd., 2006	
RODO (Ege Denizi)	36,080000°	28,020000°	25	alıcı fonksiyonları	Sodoudi vd., 2006	
SKD (Girit)	35,410000°	23,920000°	33	alıcı fonksiyonları	Sodoudi vd., 2006	
SKIR (Ege Denizi)	38,850000°	24,570000°	26	alıcı fonksiyonları	Sodoudi vd., 2006	
SKOP (Ege Denizi)	39,110000°	23,740000°	25	alıcı fonksiyonları	Sodoudi vd., 2006	
THES (Yunanistan)	40,630000°	22,960000°	29,5	alıcı fonksiyonları	Sodoudi vd., 2006	
VAM (Girit)	35,410000°	24,200000°	33	alıcı fonksiyonları	Sodoudi vd., 2006	
VELI (Yunanistan)	36,710000°	22,940000°	27	alıcı fonksiyonları	Sodoudi vd., 2006	
VLS (Yunanistan)	38,180000°	20,590000°	28	alıcı fonksiyonları	Sodoudi vd., 2006	
ZKR (Ege Denizi)	35,110000°	26,310000°	25,5	alıcı fonksiyonları	Sodoudi vd., 2006	
BBAL (İç anadolu)	39,542700°	33,123000°	38	alıcı fonksiyonları, yüzey dalgaları*	Ersan ve Erduran, 2010	
ELDT (İç anadolu)	40,520000°	33,500000°	36	alıcı fonksiyonları, yüzey dalgaları*	Ersan ve Erduran, 2010	
AMOE (Ege Denizi)	36,915000°	25,978800°	25	alıcı fonksiyonları	Sodoudi vd., 2015	

Tablo 8.1. (Devamı)

Lokasyon	Enlem	Boylam	Kalınlık (km)	Yöntem	Referans	Hata Oranı (\pm) km
AMOS (Ege Denizi)	36,795600°	25,769000°	26,5	alıcı fonksiyonları	Sodoudi vd., 2015	
ANAF (Ege Denizi)	36,358100°	25,778300°	25,5	alıcı fonksiyonları	Sodoudi vd., 2015	
ANDR (Ege Denizi)	37,836100°	24,948200°	24,5	alıcı fonksiyonları	Sodoudi vd., 2015	
ANID (Ege Denizi)	36,625100°	25,684700°	22,5	alıcı fonksiyonları	Sodoudi vd., 2015	
ANPA (Ege Denizi)	37,032300°	25,076300°	25	alıcı fonksiyonları	Sodoudi vd., 2015	
APE (Ege Denizi)	37,068900°	25,530600°	24	alıcı fonksiyonları	Sodoudi vd., 2015	
ASTY (Ege Denizi)	36,579500°	26,411400°	23,5	alıcı fonksiyonları	Sodoudi vd., 2015	
AT01 (Yunanistan)	38,060000°	24,378400°	27,5	alıcı fonksiyonları	Sodoudi vd., 2015	
AT02 (Yunanistan)	38,047300°	23,863800°	26	alıcı fonksiyonları	Sodoudi vd., 2015	
AT03 (Yunanistan)	38,026800°	23,467700°	21	alıcı fonksiyonları	Sodoudi vd., 2015	
AT04 (Yunanistan)	37,725200°	24,049600°	30,5	alıcı fonksiyonları	Sodoudi vd., 2015	
FOLE (Ege Denizi)	36,621600°	24,919700°	23	alıcı fonksiyonları	Sodoudi vd., 2015	
IDHR (Yunanistan)	37,390800°	23,259100°	23,5	alıcı fonksiyonları	Sodoudi vd., 2015	
IKAR (Ege Denizi)	37,643500°	26,305000°	23	alıcı fonksiyonları	Sodoudi vd., 2015	
IOSI (Ege Denizi)	36,734700°	25,361800°	24,5	alıcı fonksiyonları	Sodoudi vd., 2015	
KEAI (Ege Denizi)	37,623200°	24,319100°	28	alıcı fonksiyonları	Sodoudi vd., 2015	
KIMO (Ege Denizi)	36,794900°	24,568000°	29,5	alıcı fonksiyonları	Sodoudi vd., 2015	
KOSI (Ege Denizi)	36,840000°	27,210000°	20	alıcı fonksiyonları	Sodoudi vd., 2015	
LERO (Ege Denizi)	37,163400°	26,835300°	26,5	alıcı fonksiyonları	Sodoudi vd., 2015	
MYKO (Ege Denizi)	37,482200°	25,384400°	27,5	alıcı fonksiyonları	Sodoudi vd., 2015	
NAXO (Ege Denizi)	37,070000°	25,520000°	26,5	alıcı fonksiyonları	Sodoudi vd., 2015	
NEAK (Ege Denizi)	36,408700°	25,401400°	28	alıcı fonksiyonları	Sodoudi vd., 2015	
PARO (Ege Denizi)	37,115000°	25,182500°	22,5	alıcı fonksiyonları	Sodoudi vd., 2015	

Tablo 8.1. (Devamı)

Lokasyon	Enlem	Boylam	Kalınlık (km)	Yöntem	Referans	Hata Oranı (\pm) km
PARS (Ege Denizi)	37,028500°	25,225300°	25	alıcı fonksiyonları	Sodoudi vd., 2015	
PE01 (Yunanistan)	38,017000°	22,028300°	31	alıcı fonksiyonları	Sodoudi vd., 2015	
PE02 (Yunanistan)	37,895800°	22,490700°	45	alıcı fonksiyonları	Sodoudi vd., 2015	
PE03 (Yunanistan)	37,378400°	21,772200°	40	alıcı fonksiyonları	Sodoudi vd., 2015	
PE04 (Yunanistan)	37,600700°	22,959300°	39,5	alıcı fonksiyonları	Sodoudi vd., 2015	
PE05 (Yunanistan)	37,512800°	22,455300°	43	alıcı fonksiyonları	Sodoudi vd., 2015	
PE07 (Yunanistan)	37,147800°	22,819500°	27,5	alıcı fonksiyonları	Sodoudi vd., 2015	
PE08 (Yunanistan)	36,831100°	22,442000°	33	alıcı fonksiyonları	Sodoudi vd., 2015	
SAMO (Ege Denizi)	37,700000°	26,830000°	26	alıcı fonksiyonları	Sodoudi vd., 2015	
SANT (Ege Denizi)	36,370000°	25,460000°	32	alıcı fonksiyonları	Sodoudi vd., 2015	
SCHI (Ege Denizi)	36,874400°	25,518000°	22,5	alıcı fonksiyonları	Sodoudi vd., 2015	
SERI (Ege Denizi)	37,161000°	24,485300°	23	alıcı fonksiyonları	Sodoudi vd., 2015	
SYRO (Ege Denizi)	37,456900°	24,926600°	27,5	alıcı fonksiyonları	Sodoudi vd., 2015	
TILO (Ege Denizi)	36,448500°	27,353500°	23	alıcı fonksiyonları	Sodoudi vd., 2015	
TUR1 (Ege Bölgesi)	38,086500°	26,867600°	26,5	alıcı fonksiyonları	Sodoudi vd., 2015	
TUR2 (Ege Bölgesi)	37,642000°	27,241800°	26	alıcı fonksiyonları	Sodoudi vd., 2015	
TUR3 (Ege Bölgesi)	37,466300°	27,538000°	28	alıcı fonksiyonları	Sodoudi vd., 2015	
TUR4 (Ege Bölgesi)	37,080000°	27,807700°	28	alıcı fonksiyonları	Sodoudi vd., 2015	
TUR5 (Ege Bölgesi)	37,030200°	27,316700°	27	alıcı fonksiyonları	Sodoudi vd., 2015	
TUR6 (Ege Bölgesi)	37,015900°	28,426200°	26,5	alıcı fonksiyonları	Sodoudi vd., 2015	
TUR7 (Ege Bölgesi)	36,701700°	27,569700°	28	alıcı fonksiyonları	Sodoudi vd., 2015	
TUR8 (Ege Bölgesi)	36,827300°	28,939000°	25	alıcı fonksiyonları	Sodoudi vd., 2015	
TUR9 (Ege Bölgesi)	36,701500°	28,088700°	30,5	alıcı fonksiyonları	Sodoudi vd., 2015	

Tablo 8.1. (Devamı)

Lokasyon	Enlem	Boylam	Kalınlık (km)	Yöntem	Referans	Hata Oranı (\pm) km
ISP (Ege)	37,840000°	30,510000°	40	alıcı fonksiyonları, yüzey dalgaları*	Erduran, 2009	
İySK (Yakınları)	38,133333°	21,083333°	23	Sismik Kırılma	Hirn vd., 1996	1
AğrıSK1 (Doğu Anadolu)	39,803200°	43,167300°	41	Sismik Kırılma	Bekler vd., 2005	
Ramnicu (Romanya)	45,366667°	27,166667°	40	Sismik Kırılma	Mucuta vd., 2006	2
Braila (Romanya)	45,316667°	27,883333°	47	Sismik Kırılma	Mucuta vd., 2006	1
EgeSK1 (Ege Denizi)	34,160000°	24,580000°	22	sismik kırılma	Bohnhoff vd., 2001	
EgeSK2 (Ege Denizi)	34,480000°	24,720000°	24	sismik kırılma	Bohnhoff vd., 2001	
EgeSK3 (Ege Denizi)	34,620000°	24,780000°	30	sismik kırılma	Bohnhoff vd., 2001	
EgeSK4 (Ege Denizi)	35,140000°	25,020000°	39	sismik kırılma	Bohnhoff vd., 2001	
EgeSK5 (Ege Denizi)	35,360000°	25,100000°	32	sismik kırılma	Bohnhoff vd., 2001	
EgeSK6 (Ege Denizi)	35,640000°	25,220000°	26	sismik kırılma	Bohnhoff vd., 2001	
EgeSK7 (Ege Denizi)	35,820000°	25,300000°	15	sismik kırılma	Bohnhoff vd., 2001	
EgeSK11 (Ege Denizi)	34,980000°	25,960000°	21	sismik kırılma	Bohnhoff vd., 2001	
EgeSK12 (Ege Denizi)	35,000000°	25,400000°	22	sismik kırılma	Bohnhoff vd., 2001	
EgeSK13 (Ege Denizi)	35,020000°	25,040000°	35	sismik kırılma	Bohnhoff vd., 2001	
EgeSK14 (Ege Denizi)	35,040000°	24,700000°	33	sismik kırılma	Bohnhoff vd., 2001	
EgeSK15 (Ege Denizi)	35,060000°	24,300000°	31	sismik kırılma	Bohnhoff vd., 2001	
EgeSK16 (Ege Denizi)	35,080000°	23,420000°	25	sismik kırılma	Bohnhoff vd., 2001	
EgeSK21 (Ege Denizi)	35,480000°	24,240000°	33,5	sismik kırılma	Bohnhoff vd., 2001	
EgeSK22 (Ege Denizi)	35,400000°	24,900000°	32	sismik kırılma	Bohnhoff vd., 2001	
EgeSK23 (Ege Denizi)	35,340000°	25,280000°	33	sismik kırılma	Bohnhoff vd., 2001	
EgeSK24 (Ege Denizi)	35,280000°	25,520000°	29	sismik kırılma	Bohnhoff vd., 2001	
EgeSK25 (Ege Denizi)	35,240000°	26,080000°	26	sismik kırılma	Bohnhoff vd., 2001	

Tablo 8.1. (Devamı)

Lokasyon	Enlem	Boylam	Kalınlık (km)	Yöntem	Referans	Hata Oranı (\pm) km
EgeSK31 (Ege Denizi)	33,545949°	22,623944°	25,5	sismik kırılma	Makris vd., 2013	0,5
EgeSK32 (Ege Denizi)	33,851519°	22,793486°	26,2	sismik kırılma	Makris vd., 2013	0,5
EgeSK33 (Ege Denizi)	34,172262°	22,961464°	19	sismik kırılma	Makris vd., 2013	0,5
EgeSK34 (Ege Denizi)	34,481653°	23,133008°	23	sismik kırılma	Makris vd., 2013	0,5
EgeSK35 (Ege Denizi)	34,799336°	23,304956°	23	sismik kırılma	Makris vd., 2013	0,5
RmSK5 (Romanya)	46,216667°	26,800000°	38	sismik kırılma	Raileanu vd., 2005	0,5
RmSK7 (Romanya)	44,200000°	25,916667°	32,5	sismik kırılma	Raileanu vd., 2005	0,5
AkySK (Marmara)	40,700000°	30,600000°	39	Derin sondaj sismiği	Karahan vd., 2001	2
AkSK1 (Akdeniz)	33,633333°	32,716667°	25	Sismik kırılma	Avraham vd., 2002	1
AkSK2 (Akdeniz)	33,483333°	33,116667°	22,5	Sismik kırılma	Avraham vd., 2002	1
AkSK3 (Akdeniz)	33,300000°	33,683333°	19,5	Sismik kırılma	Avraham vd., 2002	1
AkSK4 (Akdeniz)	32,433333°	33,416667°	18	Sismik kırılma	Avraham vd., 2002	1
AkSK5 (Akdeniz)	32,366667°	33,600000°	18	Sismik kırılma	Avraham vd., 2002	1
AkSK6 (Akdeniz)	31,750000°	34,616667°	23	Sismik kırılma	Avraham vd., 2002	1
İsSK (İsrail)	30,816667°	34,766667°	35	Sismik kırılma	Avraham vd., 2002	1
ÜrSk (Ürdün)	30,516667°	35,266667°	33,5	Sismik Yansıma, Sismik Kırılma	DESERT Group vd., 2004	0,5
ArmSK (Marmara)	40,566667°	30,083333°	32	Sismik Kırılma	Bekler ve Gürbüz, 2008	2
MarSK1 (Marmara D.)	40,783333°	27,750000°	18,5	Sismik Yansıma, Sismik Kırılma	Bécel vd., 2009	0,5
MarSK2 (Marmara D.)	40,783333°	28,016667°	18,5	Sismik Yansıma, Sismik Kırılma	Bécel vd., 2009	0,5
MarSK3 (Marmara D.)	40,766667°	28,283333°	20	Sismik Yansıma, Sismik Kırılma	Bécel vd., 2009	0,5
MarSK4 (Marmara D.)	40,766667°	28,550000°	20	Sismik Yansıma, Sismik Kırılma	Bécel vd., 2009	0,5
MarSK5 (Marmara D.)	40,750000°	28,833333°	19	Sismik Yansıma, Sismik Kırılma	Bécel vd., 2009	0,5
MarSK6 (Marmara D.)	40,750000°	29,000000°	20	Sismik Yansıma, Sismik Kırılma	Bécel vd., 2009	0,5

Tablo 8.1. (Devamı)

Lokasyon	Enlem	Boylam	Kalınlık (km)	Yöntem	Referans	Hata Oranı (\pm) km
MarSK7 (Marmara D.)	40,750000°	29,116667°	25	Sismik Yansıma, Sismik Kırılma	Bécel vd., 2009	0,5
MarSK8 (Marmara D.)	40,750000°	29,233333°	29	Sismik Yansıma, Sismik Kırılma	Bécel vd., 2009	0,5
MarSK9 (Marmara D.)	40,683333°	28,066667°	29	Sismik Yansıma, Sismik Kırılma	Bécel vd., 2009	0,5
MarSK10 (Marmara D.)	40,683333°	28,400000°	24,5	Sismik Yansıma, Sismik Kırılma	Bécel vd., 2009	0,5
MarSK11 (Marmara D.)	40,700000°	28,483333°	23,5	Sismik Yansıma, Sismik Kırılma	Bécel vd., 2009	0,5
MarSK12 (Marmara D.)	40,683333°	28,616667°	24,5	Sismik Yansıma, Sismik Kırılma	Bécel vd., 2009	0,5
MarSK13 (Marmara D.)	40,666667°	28,766667°	24,7	Sismik Yansıma, Sismik Kırılma	Bécel vd., 2009	0,5
PHSR (Marmara)	41,630000°	27,524000°	30,5	alıcı fonksiyonları	Karabulut vd., 2013	
CRLT (Marmara)	41,128000°	27,736000°	29	alıcı fonksiyonları	Karabulut vd., 2013	
TKR (Marmara)	40,989000°	27,535000°	26	alıcı fonksiyonları	Karabulut vd., 2013	
VEL4 (Marmara)	40,863000°	27,459000°	25,5	alıcı fonksiyonları	Karabulut vd., 2013	
MRMX (Marmara)	40,609000°	27,583000°	25	alıcı fonksiyonları	Karabulut vd., 2013	
W01 (Marmara)	40,506000°	27,777000°	25,5	alıcı fonksiyonları	Karabulut vd., 2013	
W02 (Marmara)	40,346000°	27,862000°	25,5	alıcı fonksiyonları	Karabulut vd., 2013	
W03 (Marmara)	40,108000°	28,058000°	28,5	alıcı fonksiyonları	Karabulut vd., 2013	
GONE (Marmara)	40,047000°	27,686000°	28,5	alıcı fonksiyonları	Karabulut vd., 2013	
CMHB (Marmara)	40,012000°	27,970000°	28,5	alıcı fonksiyonları	Karabulut vd., 2013	
W04 (Marmara)	39,918000°	28,086000°	28,5	alıcı fonksiyonları	Karabulut vd., 2013	
W05 (Marmara)	39,803000°	27,963000°	30	alıcı fonksiyonları	Karabulut vd., 2013	
BALB (Balıkesir)	39,640000°	27,880000°	31	alıcı fonksiyonları	Karabulut vd., 2013	
W06 (Marmara)	39,468000°	27,884000°	31	alıcı fonksiyonları	Karabulut vd., 2013	
W07 (Ege Bölgesi)	39,296000°	27,921000°	31,5	alıcı fonksiyonları	Karabulut vd., 2013	
W08 (Ege Bölgesi)	39,204000°	27,834000°	31,5	alıcı fonksiyonları	Karabulut vd., 2013	

Tablo 8.1. (Devamı)

Lokasyon	Enlem	Boylam	Kalınlık (km)	Yöntem	Referans	Hata Oranı (\pm) km
W09 (Ege Bölgesi)	38,998000°	27,895000°	31	alıcı fonksiyonları	Karabulut vd., 2013	
AKHS1 (Ege)	38,879000°	27,814000°	30,5	alıcı fonksiyonları	Karabulut vd., 2013	
W10 (Ege)	38,849000°	27,874000°	30,5	alıcı fonksiyonları	Karabulut vd., 2013	
W11 (Ege)	38,703000°	27,969000°	30	alıcı fonksiyonları	Karabulut vd., 2013	
KTT (Ege)	38,688000°	28,093000°	29,5	alıcı fonksiyonları	Karabulut vd., 2013	
W13 (Ege)	38,559000°	27,942000°	28	alıcı fonksiyonları	Karabulut vd., 2013	
W12 (Ege)	38,446000°	28,112000°	27,5	alıcı fonksiyonları	Karabulut vd., 2013	
W14 (Ege)	38,301000°	28,049000°	27,5	alıcı fonksiyonları	Karabulut vd., 2013	
W15 (Ege)	38,098000°	28,021000°	25,5	alıcı fonksiyonları	Karabulut vd., 2013	
BOZ1 (Ege)	38,000000°	28,040000°	25,5	alıcı fonksiyonları	Karabulut vd., 2013	
W16 (Ege)	37,960000°	28,017000°	25,5	alıcı fonksiyonları	Karabulut vd., 2013	
AYDB (Ege)	37,946000°	27,890000°	25	alıcı fonksiyonları	Karabulut vd., 2013	
W17 (Ege)	37,864000°	27,999000°	25	alıcı fonksiyonları	Karabulut vd., 2013	
CVD (Ege)	37,752000°	28,107000°	25	alıcı fonksiyonları	Karabulut vd., 2013	
W18 (Ege)	37,687000°	28,027000°	25	alıcı fonksiyonları	Karabulut vd., 2013	
W19 (Ege)	37,549000°	28,065000°	24	alıcı fonksiyonları	Karabulut vd., 2013	
W20 (Ege)	37,458000°	28,219000°	24	alıcı fonksiyonları	Karabulut vd., 2013	
W21 (Ege)	37,293000°	28,128000°	24	alıcı fonksiyonları	Karabulut vd., 2013	
YER0 (Ege)	37,136000°	28,286000°	23	alıcı fonksiyonları	Karabulut vd., 2013	
CETI (Ege)	37,003000°	28,307000°	23	alıcı fonksiyonları	Karabulut vd., 2013	
W22 (Ege)	36,984000°	28,271000°	23	alıcı fonksiyonları	Karabulut vd., 2013	
W23 (Ege)	36,877000°	28,262000°	23	alıcı fonksiyonları	Karabulut vd., 2013	
TURN (Ege)	36,775200°	28,244400°	23	alıcı fonksiyonları	Karabulut vd., 2013	

Tablo 8.1. (Devamı)

Lokasyon	Enlem	Boylam	Kalınlık (km)	Yöntem	Referans	Hata Oranı (\pm) km
ARG (Ege)	36,216000°	28,126000°	19	alıcı fonksiyonları	Karabulut vd., 2013	
Ukranya500	48,300000°	28,233333°	42	Sismik Kırılma	Gran ve Tripolsky, 1995	1
Ukranya400	48,290000°	29,733333°	54	Sismik Kırılma	Gran ve Tripolsky, 1995	1
Ukranya300	48,250000°	31,166667°	41	Sismik Kırılma	Gran ve Tripolsky, 1995	1
Ukranya100	48,266667°	34,000000°	49	Sismik Kırılma	Gran ve Tripolsky, 1995	1
Ukranya1	48,300000°	32,133333°	41	Sismik Kırılma	Gran ve Tripolsky, 1995	1
Ukranya2	49,133333°	31,900000°	39	Sismik Kırılma	Gran ve Tripolsky, 1995	1
K1 (Karadeniz)	44,500000°	29,000000°	36	gravite	Starostenko vd., 2004	1
K2 (Karadeniz)	44,500000°	30,000000°	36	gravite	Starostenko vd., 2004	1
K3 (Karadeniz)	44,500000°	31,000000°	36	gravite	Starostenko vd., 2004	1
K4 (Karadeniz)	44,500000°	32,000000°	36	gravite	Starostenko vd., 2004	1
K5 (Karadeniz)	44,500000°	33,000000°	44	gravite	Starostenko vd., 2004	1
K6 (Karadeniz)	44,500000°	34,000000°	50	gravite	Starostenko vd., 2004	1
K7 (Karadeniz)	44,500000°	35,000000°	40	gravite	Starostenko vd., 2004	1
K8 (Karadeniz)	44,500000°	36,000000°	36	gravite	Starostenko vd., 2004	1
K9 (Karadeniz)	44,500000°	37,000000°	36	gravite	Starostenko vd., 2004	1
K10 (Karadeniz)	44,500000°	29,500000°	36	gravite	Starostenko vd., 2004	1
K11 (Karadeniz)	44,500000°	30,500000°	36	gravite	Starostenko vd., 2004	1
K12 (Karadeniz)	44,500000°	31,500000°	36	gravite	Starostenko vd., 2004	1
K13 (Karadeniz)	44,500000°	32,500000°	40	gravite	Starostenko vd., 2004	1
K14 (Karadeniz)	44,500000°	33,500000°	50	gravite	Starostenko vd., 2004	1
K15 (Karadeniz)	44,500000°	34,500000°	44	gravite	Starostenko vd., 2004	1
K16 (Karadeniz)	44,500000°	35,500000°	36	gravite	Starostenko vd., 2004	1

Tablo 8.1. (Devamı)

Lokasyon	Enlem	Boylam	Kalınlık (km)	Yöntem	Referans	Hata Oranı (\pm) km
K17 (Karadeniz)	44,500000°	36,500000°	36	gravite	Starostenko vd., 2004	1
K18 (Karadeniz)	44,500000°	37,500000°	40	gravite	Starostenko vd., 2004	1
K19 (Karadeniz)	44,000000°	29,000000°	32	gravite	Starostenko vd., 2004	1
K20 (Karadeniz)	44,000000°	30,000000°	32	gravite	Starostenko vd., 2004	1
K21 (Karadeniz)	44,000000°	31,000000°	28	gravite	Starostenko vd., 2004	1
K22 (Karadeniz)	44,000000°	32,000000°	24	gravite	Starostenko vd., 2004	1
K23 (Karadeniz)	44,000000°	33,000000°	28	gravite	Starostenko vd., 2004	1
K24 (Karadeniz)	44,000000°	34,000000°	40	gravite	Starostenko vd., 2004	1
K25 (Karadeniz)	44,000000°	35,000000°	30	gravite	Starostenko vd., 2004	1
K26 (Karadeniz)	44,000000°	36,000000°	28	gravite	Starostenko vd., 2004	1
K27 (Karadeniz)	44,000000°	37,000000°	32	gravite	Starostenko vd., 2004	1
K28 (Karadeniz)	44,000000°	38,000000°	28	gravite	Starostenko vd., 2004	1
K29 (Karadeniz)	44,000000°	29,500000°	32	gravite	Starostenko vd., 2004	1
K30 (Karadeniz)	44,000000°	30,500000°	32	gravite	Starostenko vd., 2004	1
K31 (Karadeniz)	44,000000°	31,500000°	24	gravite	Starostenko vd., 2004	1
K32 (Karadeniz)	44,000000°	32,500000°	24	gravite	Starostenko vd., 2004	1
K33 (Karadeniz)	44,000000°	33,500000°	36	gravite	Starostenko vd., 2004	1
K34 (Karadeniz)	44,000000°	34,500000°	32	gravite	Starostenko vd., 2004	1
K35 (Karadeniz)	44,000000°	35,500000°	28	gravite	Starostenko vd., 2004	1
K36 (Karadeniz)	44,000000°	36,500000°	30	gravite	Starostenko vd., 2004	1
K37 (Karadeniz)	44,000000°	37,500000°	30	gravite	Starostenko vd., 2004	1
K38 (Karadeniz)	44,000000°	38,500000°	28	gravite	Starostenko vd., 2004	1
K39 (Karadeniz)	43,500000°	29,000000°	34	gravite	Starostenko vd., 2004	1

Tablo 8.1. (Devamı)

Lokasyon	Enlem	Boylam	Kalınlık (km)	Yöntem	Referans	Hata Oranı (\pm) km
K40 (Karadeniz)	43,500000°	30,000000°	30	gravite	Starostenko vd., 2004	1
K41 (Karadeniz)	43,500000°	31,000000°	22	gravite	Starostenko vd., 2004	1
K42 (Karadeniz)	43,500000°	32,000000°	20	gravite	Starostenko vd., 2004	1
K43 (Karadeniz)	43,500000°	33,000000°	22	gravite	Starostenko vd., 2004	1
K44 (Karadeniz)	43,500000°	34,000000°	24	gravite	Starostenko vd., 2004	1
K45 (Karadeniz)	43,500000°	35,000000°	26	gravite	Starostenko vd., 2004	1
K46 (Karadeniz)	43,500000°	36,000000°	24	gravite	Starostenko vd., 2004	1
K47 (Karadeniz)	43,500000°	37,000000°	28	gravite	Starostenko vd., 2004	1
K48 (Karadeniz)	43,500000°	38,000000°	30	gravite	Starostenko vd., 2004	1
K49 (Karadeniz)	43,500000°	39,000000°	32	gravite	Starostenko vd., 2004	1
K50 (Karadeniz)	43,500000°	29,500000°	36	gravite	Starostenko vd., 2004	1
K51 (Karadeniz)	43,500000°	30,500000°	28	gravite	Starostenko vd., 2004	1
K52 (Karadeniz)	43,500000°	31,500000°	20	gravite	Starostenko vd., 2004	1
K53 (Karadeniz)	43,500000°	32,500000°	22	gravite	Starostenko vd., 2004	1
K54 (Karadeniz)	43,500000°	33,500000°	22	gravite	Starostenko vd., 2004	1
K55 (Karadeniz)	43,500000°	34,500000°	28	gravite	Starostenko vd., 2004	1
K56 (Karadeniz)	43,500000°	35,500000°	28	gravite	Starostenko vd., 2004	1
K57 (Karadeniz)	43,500000°	36,500000°	24	gravite	Starostenko vd., 2004	1
K58 (Karadeniz)	43,500000°	37,500000°	32	gravite	Starostenko vd., 2004	1
K59 (Karadeniz)	43,500000°	38,500000°	30	gravite	Starostenko vd., 2004	1
K60 (Karadeniz)	43,500000°	39,000000°	32	gravite	Starostenko vd., 2004	1
K61 (Karadeniz)	43,000000°	29,000000°	32	gravite	Starostenko vd., 2004	1
K62 (Karadeniz)	43,000000°	30,000000°	26	gravite	Starostenko vd., 2004	1

Tablo 8.1. (Devamı)

Lokasyon	Enlem	Boylam	Kalınlık (km)	Yöntem	Referans	Hata Oranı (\pm) km
K63 (Karadeniz)	43,000000°	31,000000°	20	gravite	Starostenko vd., 2004	1
K64 (Karadeniz)	43,000000°	32,000000°	19	gravite	Starostenko vd., 2004	1
K65 (Karadeniz)	43,000000°	33,000000°	20	gravite	Starostenko vd., 2004	1
K66 (Karadeniz)	43,000000°	34,000000°	20	gravite	Starostenko vd., 2004	1
K67 (Karadeniz)	43,000000°	35,000000°	24	gravite	Starostenko vd., 2004	1
K68 (Karadeniz)	43,000000°	36,000000°	28	gravite	Starostenko vd., 2004	1
K69 (Karadeniz)	43,000000°	37,000000°	22	gravite	Starostenko vd., 2004	1
K70 (Karadeniz)	43,000000°	38,000000°	24	gravite	Starostenko vd., 2004	1
K71 (Karadeniz)	43,000000°	39,000000°	40	gravite	Starostenko vd., 2004	1
K72 (Karadeniz)	43,000000°	40,000000°	42	gravite	Starostenko vd., 2004	1
K73 (Karadeniz)	43,000000°	28,500000°	34	gravite	Starostenko vd., 2004	1
K74 (Karadeniz)	43,000000°	29,500000°	28	gravite	Starostenko vd., 2004	1
K75 (Karadeniz)	43,000000°	30,500000°	24	gravite	Starostenko vd., 2004	1
K76 (Karadeniz)	43,000000°	31,500000°	19	gravite	Starostenko vd., 2004	1
K77 (Karadeniz)	43,000000°	32,500000°	20	gravite	Starostenko vd., 2004	1
K78 (Karadeniz)	43,000000°	33,500000°	20	gravite	Starostenko vd., 2004	1
K79 (Karadeniz)	43,000000°	34,500000°	20	gravite	Starostenko vd., 2004	1
K80 (Karadeniz)	43,000000°	35,500000°	32	gravite	Starostenko vd., 2004	1
K81 (Karadeniz)	43,000000°	36,500000°	22	gravite	Starostenko vd., 2004	1
K82 (Karadeniz)	43,000000°	37,500000°	28	gravite	Starostenko vd., 2004	1
K83 (Karadeniz)	43,000000°	38,500000°	36	gravite	Starostenko vd., 2004	1
K84 (Karadeniz)	43,000000°	39,500000°	36	gravite	Starostenko vd., 2004	1
K85 (Karadeniz)	42,500000°	28,000000°	38	gravite	Starostenko vd., 2004	1

Tablo 8.1. (Devamı)

Lokasyon	Enlem	Boylam	Kalınlık (km)	Yöntem	Referans	Hata Oranı (\pm) km
K86 (Karadeniz)	42,500000°	29,000000°	28	gravite	Starostenko vd., 2004	1
K87 (Karadeniz)	42,500000°	30,000000°	22	gravite	Starostenko vd., 2004	1
K88 (Karadeniz)	42,500000°	31,000000°	20	gravite	Starostenko vd., 2004	1
K89 (Karadeniz)	42,500000°	32,000000°	20	gravite	Starostenko vd., 2004	1
K90 (Karadeniz)	42,500000°	33,000000°	22	gravite	Starostenko vd., 2004	1
K91 (Karadeniz)	42,500000°	34,000000°	22	gravite	Starostenko vd., 2004	1
K92 (Karadeniz)	42,500000°	35,000000°	24	gravite	Starostenko vd., 2004	1
K93 (Karadeniz)	42,500000°	36,000000°	34	gravite	Starostenko vd., 2004	1
K94 (Karadeniz)	42,500000°	37,000000°	22	gravite	Starostenko vd., 2004	1
K95 (Karadeniz)	42,500000°	38,000000°	24	gravite	Starostenko vd., 2004	1
K96 (Karadeniz)	42,500000°	39,000000°	32	gravite	Starostenko vd., 2004	1
K97 (Karadeniz)	42,500000°	40,000000°	36	gravite	Starostenko vd., 2004	1
K98 (Karadeniz)	42,500000°	41,000000°	40	gravite	Starostenko vd., 2004	1
K99 (Karadeniz)	42,500000°	28,500000°	32	gravite	Starostenko vd., 2004	1
K100 (Karadeniz)	42,500000°	29,500000°	24	gravite	Starostenko vd., 2004	1
K101 (Karadeniz)	42,500000°	30,500000°	22	gravite	Starostenko vd., 2004	1
K102 (Karadeniz)	42,500000°	31,500000°	20	gravite	Starostenko vd., 2004	1
K103 (Karadeniz)	42,500000°	32,500000°	22	gravite	Starostenko vd., 2004	1
K104 (Karadeniz)	42,500000°	33,500000°	22	gravite	Starostenko vd., 2004	1
K105 (Karadeniz)	42,500000°	34,500000°	22	gravite	Starostenko vd., 2004	1
K106 (Karadeniz)	42,500000°	35,500000°	32	gravite	Starostenko vd., 2004	1
K107 (Karadeniz)	42,500000°	36,500000°	24	gravite	Starostenko vd., 2004	1
K108 (Karadeniz)	42,500000°	37,500000°	22	gravite	Starostenko vd., 2004	1

Tablo 8.1. (Devamı)

Lokasyon	Enlem	Boylam	Kalınlık (km)	Yöntem	Referans	Hata Oranı (\pm) km
K109 (Karadeniz)	42,500000°	38,500000°	28	gravite	Starostenko vd., 2004	1
K110 (Karadeniz)	42,500000°	39,500000°	36	gravite	Starostenko vd., 2004	1
K111 (Karadeniz)	42,500000°	40,500000°	36	gravite	Starostenko vd., 2004	1
K112 (Karadeniz)	42,000000°	29,000000°	28	gravite	Starostenko vd., 2004	1
K113 (Karadeniz)	42,000000°	30,000000°	24	gravite	Starostenko vd., 2004	1
K114 (Karadeniz)	42,000000°	31,000000°	24	gravite	Starostenko vd., 2004	1
K115 (Karadeniz)	42,000000°	32,000000°	28	gravite	Starostenko vd., 2004	1
K116 (Karadeniz)	42,000000°	33,000000°	40	gravite	Starostenko vd., 2004	1
K117 (Karadeniz)	42,000000°	34,000000°	40	gravite	Starostenko vd., 2004	1
K118 (Karadeniz)	42,000000°	35,000000°	40	gravite	Starostenko vd., 2004	1
K119 (Karadeniz)	42,000000°	36,000000°	30	gravite	Starostenko vd., 2004	1
K120 (Karadeniz)	42,000000°	37,000000°	28	gravite	Starostenko vd., 2004	1
K121 (Karadeniz)	42,000000°	38,000000°	22	gravite	Starostenko vd., 2004	1
K122 (Karadeniz)	42,000000°	39,000000°	24	gravite	Starostenko vd., 2004	1
K123 (Karadeniz)	42,000000°	40,000000°	28	gravite	Starostenko vd., 2004	1
K124 (Karadeniz)	42,000000°	41,000000°	32	gravite	Starostenko vd., 2004	1
K125 (Karadeniz)	42,000000°	28,500000°	32	gravite	Starostenko vd., 2004	1
K126 (Karadeniz)	42,000000°	29,500000°	24	gravite	Starostenko vd., 2004	1
K127 (Karadeniz)	42,000000°	30,500000°	24	gravite	Starostenko vd., 2004	1
K128 (Karadeniz)	42,000000°	31,500000°	26	gravite	Starostenko vd., 2004	1
K129 (Karadeniz)	42,000000°	32,500000°	36	gravite	Starostenko vd., 2004	1
K130 (Karadeniz)	42,000000°	33,500000°	40	gravite	Starostenko vd., 2004	1
K131 (Karadeniz)	42,000000°	34,500000°	40	gravite	Starostenko vd., 2004	1

Tablo 8.1. (Devamı)

Lokasyon	Enlem	Boylam	Kalınlık (km)	Yöntem	Referans	Hata Oranı (\pm) km
K132 (Karadeniz)	42,000000°	35,500000°	36	gravite	Starostenko vd., 2004	1
K133 (Karadeniz)	42,000000°	36,500000°	32	gravite	Starostenko vd., 2004	1
K134 (Karadeniz)	42,000000°	37,500000°	24	gravite	Starostenko vd., 2004	1
K135 (Karadeniz)	42,000000°	38,500000°	22	gravite	Starostenko vd., 2004	1
K136 (Karadeniz)	42,000000°	39,500000°	24	gravite	Starostenko vd., 2004	1
K137 (Karadeniz)	42,000000°	40,500000°	32	gravite	Starostenko vd., 2004	1
K138 (Karadeniz)	41,500000°	29,000000°	32	gravite	Starostenko vd., 2004	1
K139 (Karadeniz)	41,500000°	30,000000°	30	gravite	Starostenko vd., 2004	1
K140 (Karadeniz)	41,500000°	31,000000°	32	gravite	Starostenko vd., 2004	1
K141 (Karadeniz)	41,500000°	32,000000°	40	gravite	Starostenko vd., 2004	1
K142 (Karadeniz)	41,500000°	37,000000°	32	gravite	Starostenko vd., 2004	1
K143 (Karadeniz)	41,500000°	38,000000°	24	gravite	Starostenko vd., 2004	1
K144 (Karadeniz)	41,500000°	39,000000°	22	gravite	Starostenko vd., 2004	1
K145 (Karadeniz)	41,500000°	40,000000°	23	gravite	Starostenko vd., 2004	1
K146 (Karadeniz)	41,500000°	41,000000°	28	gravite	Starostenko vd., 2004	1
K147 (Karadeniz)	41,500000°	28,500000°	36	gravite	Starostenko vd., 2004	1
K148 (Karadeniz)	41,500000°	29,500000°	28	gravite	Starostenko vd., 2004	1
K149 (Karadeniz)	41,500000°	30,500000°	28	gravite	Starostenko vd., 2004	1
K150 (Karadeniz)	41,500000°	31,500000°	40	gravite	Starostenko vd., 2004	1
K151 (Karadeniz)	41,500000°	36,500000°	40	gravite	Starostenko vd., 2004	1
K152 (Karadeniz)	41,500000°	37,500000°	28	gravite	Starostenko vd., 2004	1
K153 (Karadeniz)	41,500000°	38,500000°	24	gravite	Starostenko vd., 2004	1
K154 (Karadeniz)	41,500000°	39,500000°	22	gravite	Starostenko vd., 2004	1

Tablo 8.1. (Devamı)

Lokasyon	Enlem	Boylam	Kalınlık (km)	Yöntem	Referans	Hata Oranı (\pm) km
K155 (Karadeniz)	41,500000°	40,500000°	24	gravite	Starostenko vd., 2004	1
RUW (ARABİSTAN)	32,480000°	38,400000°	37	alıcı fonksiyonları, yüzey dalgaları*	Gök vd., 2008	
RTB (ARABİSTAN)	33,036600°	40,286408°	35	alıcı fonksiyonları, yüzey dalgaları*	Gök vd., 2008	
SİSGRA1 (Arab.)	33,000000°	38,000000°	35	Sismolojik veri,gravite*	Mechie vd., 2013	
SİSGRA2 (Arab.)	31,900000°	49,133333°	39	Sismolojik veri,gravite*	Mechie vd., 2013	
SİSGRA3 (Kıbrıs)	35,000000°	33,000000°	25	Sismolojik veri,gravite*	Mechie vd., 2013	
SİSGRA4 (Arab.)	34,000000°	37,000000°	40	Sismolojik veri,gravite*	Mechie vd., 2013	
SİSGRA5 (Arab.)	32,133333°	48,300000°	41	Sismolojik veri,gravite*	Mechie vd., 2013	
SİSGRA6 (Arab.)	31,333333°	34,350000°	22	Sismolojik veri,gravite*	Mechie vd., 2013	
SİSGRA7 (Arab.)	31,000000°	34,316667°	24	Sismolojik veri,gravite*	Mechie vd., 2013	
SİSGRA8 (Arab.)	30,466667°	34,366667°	28	Sismolojik veri,gravite*	Mechie vd., 2013	
SİSGRA9 (Arab.)	30,750000°	34,666667°	26	Sismolojik veri,gravite*	Mechie vd., 2013	
SİSGRA10 (Arab.)	30,766667°	34,900000°	30	Sismolojik veri,gravite*	Mechie vd., 2013	
SİSGRA11 (Arab.)	30,000000°	34,666667°	34	Sismolojik veri,gravite*	Mechie vd., 2013	
SİSGRA12 (Arab.)	29,583333°	34,800000°	34	Sismolojik veri,gravite*	Mechie vd., 2013	
SİSGRA13 (Arab.)	29,766667°	35,283333°	32	Sismolojik veri,gravite*	Mechie vd., 2013	
SİSGRA14 (Arab.)	30,116667°	35,850000°	34	Sismolojik veri,gravite*	Mechie vd., 2013	
SİSGRA15 (Arab.)	30,116667°	36,283333°	36	Sismolojik veri,gravite*	Mechie vd., 2013	
SİSGRA16 (Arab.)	29,866667°	36,600000°	38	Sismolojik veri,gravite*	Mechie vd., 2013	
SİSGRA17 (Arab.)	29,583333°	36,583333°	40	Sismolojik veri,gravite*	Mechie vd., 2013	
SİSGRA18 (Arab.)	31,916667°	35,516667°	30	Sismolojik veri,gravite*	Mechie vd., 2013	
SİSGRA19 (Arab.)	31,450000°	35,633333°	32	Sismolojik veri,gravite*	Mechie vd., 2013	
SİSGRA20 (Arab.)	31,350000°	36,266667°	28	Sismolojik veri,gravite*	Mechie vd., 2013	

Tablo 8.1. (Devamı)

Lokasyon	Enlem	Boylam	Kalınlık (km)	Yöntem	Referans	Hata Oranı (\pm) km
SİSGRA21 (Arab.)	31,316667°	35,900000°	30	Sismolojik veri,gravite*	Mechie vd., 2013	
SİSGRA22 (Arab.)	31,016667°	35,866667°	28	Sismolojik veri,gravite*	Mechie vd., 2013	
SİSGRA23 (Arab.)	30,966667°	35,983333°	30	Sismolojik veri,gravite*	Mechie vd., 2013	
SİSGRA24 (Arab.)	31,116667°	36,583333°	32	Sismolojik veri,gravite*	Mechie vd., 2013	
SİSGRA25 (Arab.)	31,833333°	36,750000°	30	Sismolojik veri,gravite*	Mechie vd., 2013	
BGIO (İsrail)	31,720000°	35,090000°	32	alıcı fonksiyonları	Hofstetter ve Bock, 2004	2
JER (İsrail)	31,772000°	35,197000°	31,5	alıcı fonksiyonları	Hofstetter ve Bock, 2004	2,8
EIL (İsrail)	29,670000°	34,951000°	33,5	alıcı fonksiyonları	Hofstetter ve Bock, 2004	1,8
MRNI (İsrail)	33,009000°	35,391000°	27,8	alıcı fonksiyonları	Hofstetter ve Bock, 2004	0,8
MarmaraSK1	41,192638°	30,291700°	32	Sismik Kırılma	Gürbüz vd., 2003	1
MarmaraSK2	39,800000°	29,700000°	35	Sismik Kırılma	Gürbüz vd., 2003	1
YunanKörfezSk1	38,260000°	22,250000°	40	Sismik Kırılma	Clement vd., 2004	
YunanKörfezSk2	38,200000°	22,500000°	32	Sismik Kırılma	Clement vd., 2004	
RmSK1 (Romanya)	46,200000°	24,500000°	37	Sismik Kırılma	Hauser vd., 2007	
RmSK4 (Romanya)	45,166667°	28,433333°	44	Sismik Kırılma	Hauser vd., 2007	
AkdenizSK1	33,050000°	33,966667°	22	Sismik Kırılma	Netzeband vd., 2006	
AkdenizSK2	33,050000°	34,100000°	23	Sismik Kırılma	Netzeband vd., 2006	
AkdenizSK3	33,050000°	34,233333°	23	Sismik Kırılma	Netzeband vd., 2006	
AkdenizSK4	33,050000°	34,383333°	23,5	Sismik Kırılma	Netzeband vd., 2006	
AkdenizSK5	33,050000°	34,550000°	25	Sismik Kırılma	Netzeband vd., 2006	
AkdenizSK6	32,416667°	33,300000°	22	Sismik Kırılma	Netzeband vd., 2006	
AkdenizSK7	32,050000°	33,700000°	23	Sismik Kırılma	Netzeband vd., 2006	
MSDY (Karadeniz)	40,500000°	37,750000°	50	alıcı fonksiyonları	Zor vd., 2003	

Tablo 8.1. (Devamı)

Lokasyon	Enlem	Boylam	Kalınlık (km)	Yöntem	Referans	Hata Oranı (\pm) km
UZML (Doğu And.)	39,733333°	39,666667°	45	alıcı fonksiyonları	Zor vd., 2003	
SILN (Güney And.)	38,133333°	41,000000°	42	alıcı fonksiyonları	Zor vd., 2003	
KYPR (Güney And.)	37,583333°	41,250000°	40	alıcı fonksiyonları	Zor vd., 2003	
KRLV (Doğu And.)	39,400000°	41,000000°	46	alıcı fonksiyonları	Zor vd., 2003	
MUSH (Doğu And.)	38,750000°	41,500000°	48	alıcı fonksiyonları	Zor vd., 2003	
KRTN (Güney And.)	37,916667°	41,666667°	38	alıcı fonksiyonları	Zor vd., 2003	
ERZM (Doğu And.)	40,083333°	41,333333°	46	alıcı fonksiyonları	Zor vd., 2003	
HINS (Doğu And.)	39,333333°	41,633333°	46	alıcı fonksiyonları	Zor vd., 2003	
HLT (Doğu And.)	38,750000°	42,416667°	38	alıcı fonksiyonları	Zor vd., 2003	
DGRL (Doğu And.)	41,000000°	43,333333°	46	alıcı fonksiyonları	Zor vd., 2003	
CMCY (Doğu And.)	39,916667°	43,166667°	42	alıcı fonksiyonları	Zor vd., 2003	
Ak1 (Akdeniz)	34,000000°	24,000000°	22	Yüzey dalgası dispersiyon	Di Luccio ve Pasyanos, 2007	1
Ak2 (Akdeniz)	34,000000°	25,000000°	22	Yüzey dalgası dispersiyon	Di Luccio ve Pasyanos, 2007	1
Ak3 (Akdeniz)	33,000000°	24,000000°	20	Yüzey dalgası dispersiyon	Di Luccio ve Pasyanos, 2007	1
Ak4 (Akdeniz)	33,000000°	25,000000°	22	Yüzey dalgası dispersiyon	Di Luccio ve Pasyanos, 2007	1
Ak6 (Akdeniz)	34,000000°	23,000000°	20	Yüzey dalgası dispersiyon	Di Luccio ve Pasyanos, 2007	1
Ak7 (Akdeniz)	32,000000°	23,000000°	28	Yüzey dalgası dispersiyon	Di Luccio ve Pasyanos, 2007	1
Ak8 (Akdeniz)	32,000000°	24,000000°	28	Yüzey dalgası dispersiyon	Di Luccio ve Pasyanos, 2007	1
Ak9 (Akdeniz)	32,000000°	25,000000°	28	Yüzey dalgası dispersiyon	Di Luccio ve Pasyanos, 2007	1
Ak10 (Akdeniz)	34,000000°	26,000000°	24	Yüzey dalgası dispersiyon	Di Luccio ve Pasyanos, 2007	1
Ak11 (Akdeniz)	33,000000°	26,000000°	22	Yüzey dalgası dispersiyon	Di Luccio ve Pasyanos, 2007	1
Ak12 (Akdeniz)	32,000000°	26,000000°	28	Yüzey dalgası dispersiyon	Di Luccio ve Pasyanos, 2007	1
Ak13 (Akdeniz)	35,000000°	27,000000°	26	Yüzey dalgası dispersiyon	Di Luccio ve Pasyanos, 2007	1

Tablo 8.1. (Devamı)

Lokasyon	Enlem	Boylam	Kalınlık (km)	Yöntem	Referans	Hata Oranı (\pm) km
Ak14 (Akdeniz)	34,000000°	27,000000°	24	Yüzey dalgası dispersiyon	Di Luccio ve Pasyanos, 2007	1
Ak15 (Akdeniz)	33,000000°	27,000000°	22	Yüzey dalgası dispersiyon	Di Luccio ve Pasyanos, 2007	1
Ak16 (Akdeniz)	32,000000°	27,000000°	28	Yüzey dalgası dispersiyon	Di Luccio ve Pasyanos, 2007	1
Ak17 (Akdeniz)	35,000000°	28,000000°	24	Yüzey dalgası dispersiyon	Di Luccio ve Pasyanos, 2007	1
Ak18 (Akdeniz)	34,000000°	28,000000°	24	Yüzey dalgası dispersiyon	Di Luccio ve Pasyanos, 2007	1
Ak19 (Akdeniz)	33,000000°	28,000000°	24	Yüzey dalgası dispersiyon	Di Luccio ve Pasyanos, 2007	1
Ak20 (Akdeniz)	32,000000°	28,000000°	26	Yüzey dalgası dispersiyon	Di Luccio ve Pasyanos, 2007	1
Ak22 (Akdeniz)	36,000000°	29,000000°	22	Yüzey dalgası dispersiyon	Di Luccio ve Pasyanos, 2007	1
Ak23 (Akdeniz)	35,000000°	29,000000°	24	Yüzey dalgası dispersiyon	Di Luccio ve Pasyanos, 2007	1
Ak24 (Akdeniz)	34,000000°	29,000000°	24	Yüzey dalgası dispersiyon	Di Luccio ve Pasyanos, 2007	1
Ak25 (Akdeniz)	33,000000°	29,000000°	24	Yüzey dalgası dispersiyon	Di Luccio ve Pasyanos, 2007	1
Ak26 (Akdeniz)	32,000000°	29,000000°	26	Yüzey dalgası dispersiyon	Di Luccio ve Pasyanos, 2007	1
Ak27 (Akdeniz)	31,000000°	29,000000°	26	Yüzey dalgası dispersiyon	Di Luccio ve Pasyanos, 2007	1
Ak28 (Akdeniz)	36,000000°	30,000000°	26	Yüzey dalgası dispersiyon	Di Luccio ve Pasyanos, 2007	1
Ak29 (Akdeniz)	35,000000°	30,000000°	26	Yüzey dalgası dispersiyon	Di Luccio ve Pasyanos, 2007	1
Ak30 (Akdeniz)	34,000000°	30,000000°	24	Yüzey dalgası dispersiyon	Di Luccio ve Pasyanos, 2007	1
Ak31 (Akdeniz)	33,000000°	30,000000°	24	Yüzey dalgası dispersiyon	Di Luccio ve Pasyanos, 2007	1
Ak32 (Akdeniz)	32,000000°	30,000000°	28	Yüzey dalgası dispersiyon	Di Luccio ve Pasyanos, 2007	1
Ak33 (Akdeniz)	36,000000°	31,000000°	26	Yüzey dalgası dispersiyon	Di Luccio ve Pasyanos, 2007	1
Ak34 (Akdeniz)	35,000000°	31,000000°	28	Yüzey dalgası dispersiyon	Di Luccio ve Pasyanos, 2007	1
Ak35 (Akdeniz)	34,000000°	31,000000°	24	Yüzey dalgası dispersiyon	Di Luccio ve Pasyanos, 2007	1
Ak36 (Akdeniz)	33,000000°	31,000000°	24	Yüzey dalgası dispersiyon	Di Luccio ve Pasyanos, 2007	1
Ak37 (Akdeniz)	32,000000°	31,000000°	28	Yüzey dalgası dispersiyon	Di Luccio ve Pasyanos, 2007	1

Tablo 8.1. (Devamı)

Lokasyon	Enlem	Boylam	Kalınlık (km)	Yöntem	Referans	Hata Oranı (\pm) km
Ak38 (Akdeniz)	36,000000°	32,000000°	26	Yüzey dalgası dispersiyon	Di Luccio ve Pasyanos, 2007	1
Ak39 (Akdeniz)	35,000000°	32,000000°	28	Yüzey dalgası dispersiyon	Di Luccio ve Pasyanos, 2007	1
Ak40 (Akdeniz)	34,000000°	32,000000°	24	Yüzey dalgası dispersiyon	Di Luccio ve Pasyanos, 2007	1
Ak41 (Akdeniz)	33,000000°	32,000000°	22	Yüzey dalgası dispersiyon	Di Luccio ve Pasyanos, 2007	1
Ak42 (Akdeniz)	32,000000°	32,000000°	24	Yüzey dalgası dispersiyon	Di Luccio ve Pasyanos, 2007	1
Ak43 (Akdeniz)	36,000000°	35,000000°	24	Yüzey dalgası dispersiyon	Di Luccio ve Pasyanos, 2007	1
Ak48 (Akdeniz)	34,500000°	24,500000°	24	Yüzey dalgası dispersiyon	Di Luccio ve Pasyanos, 2007	1
Ak49 (Akdeniz)	34,500000°	25,500000°	25	Yüzey dalgası dispersiyon	Di Luccio ve Pasyanos, 2007	1
Ak50 (Akdeniz)	34,500000°	26,500000°	25	Yüzey dalgası dispersiyon	Di Luccio ve Pasyanos, 2007	1
Ak51 (Akdeniz)	34,500000°	27,500000°	24	Yüzey dalgası dispersiyon	Di Luccio ve Pasyanos, 2007	1
Ak52 (Akdeniz)	34,500000°	28,500000°	23,5	Yüzey dalgası dispersiyon	Di Luccio ve Pasyanos, 2007	1
Ak53 (Akdeniz)	34,500000°	29,500000°	24	Yüzey dalgası dispersiyon	Di Luccio ve Pasyanos, 2007	1
Ak54 (Akdeniz)	34500000°	30,500000°	24,5	Yüzey dalgası dispersiyon	Di Luccio ve Pasyanos, 2007	1
Ak55 (Akdeniz)	34,500000°	31,500000°	25	Yüzey dalgası dispersiyon	Di Luccio ve Pasyanos, 2007	1
Ak58 (Akdeniz)	33,500000°	24,500000°	21	Yüzey dalgası dispersiyon	Di Luccio ve Pasyanos, 2007	1
Ak59 (Akdeniz)	33,500000°	25,500000°	23	Yüzey dalgası dispersiyon	Di Luccio ve Pasyanos, 2007	1
Ak60 (Akdeniz)	33,500000°	26,500000°	23	Yüzey dalgası dispersiyon	Di Luccio ve Pasyanos, 2007	1
Ak61 (Akdeniz)	33,500000°	27,500000°	23,5	Yüzey dalgası dispersiyon	Di Luccio ve Pasyanos, 2007	1
Ak62 (Akdeniz)	33,500000°	28,500000°	24	Yüzey dalgası dispersiyon	Di Luccio ve Pasyanos, 2007	1
Ak63 (Akdeniz)	33,500000°	29,500000°	23	Yüzey dalgası dispersiyon	Di Luccio ve Pasyanos, 2007	1
Ak64 (Akdeniz)	33,500000°	30,500000°	22,5	Yüzey dalgası dispersiyon	Di Luccio ve Pasyanos, 2007	1
Ak65 (Akdeniz)	33,500000°	31,500000°	22	Yüzey dalgası dispersiyon	Di Luccio ve Pasyanos, 2007	1
Ak66 (Akdeniz)	32,500000°	24,500000°	24	Yüzey dalgası dispersiyon	Di Luccio ve Pasyanos, 2007	1

Tablo 8.1. (Devamı)

Lokasyon	Enlem	Boylam	Kalınlık (km)	Yöntem	Referans	Hata Oranı (\pm) km
Ak67 (Akdeniz)	32,500000°	25,500000°	25	Yüzey dalgası dispersiyon	Di Luccio ve Pasyanos, 2007	1
Ak68 (Akdeniz)	32,500000°	26,500000°	25	Yüzey dalgası dispersiyon	Di Luccio ve Pasyanos, 2007	1
Ak69 (Akdeniz)	32,500000°	27,500000°	25	Yüzey dalgası dispersiyon	Di Luccio ve Pasyanos, 2007	1
Ak70 (Akdeniz)	32,500000°	28,500000°	24	Yüzey dalgası dispersiyon	Di Luccio ve Pasyanos, 2007	1
Ak71 (Akdeniz)	32,500000°	29,500000°	25	Yüzey dalgası dispersiyon	Di Luccio ve Pasyanos, 2007	1
Ak72 (Akdeniz)	32,500000°	30,500000°	26	Yüzey dalgası dispersiyon	Di Luccio ve Pasyanos, 2007	1
Ak73 (Akdeniz)	32,500000°	31,500000°	24	Yüzey dalgası dispersiyon	Di Luccio ve Pasyanos, 2007	1
Ak74 (Akdeniz)	35,000000°	27,500000°	24	Yüzey dalgası dispersiyon	Di Luccio ve Pasyanos, 2007	1
Ak75 (Akdeniz)	35,000000°	28,500000°	23	Yüzey dalgası dispersiyon	Di Luccio ve Pasyanos, 2007	1
Ak76 (Akdeniz)	35,000000°	29,500000°	25	Yüzey dalgası dispersiyon	Di Luccio ve Pasyanos, 2007	1
Ak77 (Akdeniz)	35,000000°	30,500000°	26	Yüzey dalgası dispersiyon	Di Luccio ve Pasyanos, 2007	1
Ak78 (Akdeniz)	35,000000°	31,500000°	27	Yüzey dalgası dispersiyon	Di Luccio ve Pasyanos, 2007	1
Ak79 (Akdeniz)	34,000000°	22,500000°	20	Yüzey dalgası dispersiyon	Di Luccio ve Pasyanos, 2007	1
Ak80 (Akdeniz)	34,000000°	23,500000°	20	Yüzey dalgası dispersiyon	Di Luccio ve Pasyanos, 2007	1
Ak81 (Akdeniz)	34,000000°	24,500000°	21	Yüzey dalgası dispersiyon	Di Luccio ve Pasyanos, 2007	1
Ak82 (Akdeniz)	34,000000°	25,500000°	23	Yüzey dalgası dispersiyon	Di Luccio ve Pasyanos, 2007	1
Ak83 (Akdeniz)	34,000000°	26,500000°	23	Yüzey dalgası dispersiyon	Di Luccio ve Pasyanos, 2007	1
Ak84 (Akdeniz)	34,000000°	27,500000°	24	Yüzey dalgası dispersiyon	Di Luccio ve Pasyanos, 2007	1
Ak85 (Akdeniz)	34,000000°	28,500000°	24	Yüzey dalgası dispersiyon	Di Luccio ve Pasyanos, 2007	1
Ak86 (Akdeniz)	34,000000°	29,500000°	23	Yüzey dalgası dispersiyon	Di Luccio ve Pasyanos, 2007	1
Ak87 (Akdeniz)	34,000000°	30,500000°	22,5	Yüzey dalgası dispersiyon	Di Luccio ve Pasyanos, 2007	1
Ak88 (Akdeniz)	34,000000°	31,500000°	22	Yüzey dalgası dispersiyon	Di Luccio ve Pasyanos, 2007	1
Ak89 (Akdeniz)	33,000000°	23,500000°	20	Yüzey dalgası dispersiyon	Di Luccio ve Pasyanos, 2007	1

Tablo 8.1. (Devamı)

Lokasyon	Enlem	Boylam	Kalınlık (km)	Yöntem	Referans	Hata Oranı (\pm) km
Ak90 (Akdeniz)	33,000000°	24,500000°	20	Yüzey dalgası dispersiyon	Di Luccio ve Pasyanos, 2007	1
Ak91 (Akdeniz)	33,000000°	25,500000°	22,5	Yüzey dalgası dispersiyon	Di Luccio ve Pasyanos, 2007	1
Ak92 (Akdeniz)	33,000000°	26,500000°	23	Yüzey dalgası dispersiyon	Di Luccio ve Pasyanos, 2007	1
Ak93 (Akdeniz)	33,000000°	27,500000°	23	Yüzey dalgası dispersiyon	Di Luccio ve Pasyanos, 2007	1
Ak94 (Akdeniz)	33,000000°	28,500000°	23,5	Yüzey dalgası dispersiyon	Di Luccio ve Pasyanos, 2007	1
Ak95 (Akdeniz)	33,000000°	29,500000°	23	Yüzey dalgası dispersiyon	Di Luccio ve Pasyanos, 2007	1
Ak96 (Akdeniz)	33,000000°	30,500000°	23	Yüzey dalgası dispersiyon	Di Luccio ve Pasyanos, 2007	1
Ak97 (Akdeniz)	33,000000°	31,500000°	22	Yüzey dalgası dispersiyon	Di Luccio ve Pasyanos, 2007	1
Ak98 (Akdeniz)	32,000000°	26,500000°	27,5	Yüzey dalgası dispersiyon	Di Luccio ve Pasyanos, 2007	1
Ak99 (Akdeniz)	32,000000°	27,500000°	27	Yüzey dalgası dispersiyon	Di Luccio ve Pasyanos, 2007	1
Ak100 (Akdeniz)	32,000000°	28,500000°	25	Yüzey dalgası dispersiyon	Di Luccio ve Pasyanos, 2007	1
Ak101 (Akdeniz)	32,000000°	29,500000°	27,5	Yüzey dalgası dispersiyon	Di Luccio ve Pasyanos, 2007	1
Ak102 (Akdeniz)	32,000000°	30,500000°	27,5	Yüzey dalgası dispersiyon	Di Luccio ve Pasyanos, 2007	1
Ak103 (Akdeniz)	32,000000°	31,500000°	27	Yüzey dalgası dispersiyon	Di Luccio ve Pasyanos, 2007	1
Ak104 (Akdeniz)	34,500000°	22,000000°	20	Yüzey dalgası dispersiyon	Di Luccio ve Pasyanos, 2007	1
Ak105 (Akdeniz)	34,500000°	23,000000°	22	Yüzey dalgası dispersiyon	Di Luccio ve Pasyanos, 2007	1
Ak106 (Akdeniz)	34,500000°	24,000000°	23	Yüzey dalgası dispersiyon	Di Luccio ve Pasyanos, 2007	1
Ak107 (Akdeniz)	34,500000°	25,000000°	24	Yüzey dalgası dispersiyon	Di Luccio ve Pasyanos, 2007	1
Ak108 (Akdeniz)	34,500000°	26,000000°	25	Yüzey dalgası dispersiyon	Di Luccio ve Pasyanos, 2007	1
Ak109 (Akdeniz)	34,500000°	27,000000°	25	Yüzey dalgası dispersiyon	Di Luccio ve Pasyanos, 2007	1
Ak110 (Akdeniz)	34,500000°	28,000000°	24	Yüzey dalgası dispersiyon	Di Luccio ve Pasyanos, 2007	1
Ak111 (Akdeniz)	34,500000°	29,000000°	24	Yüzey dalgası dispersiyon	Di Luccio ve Pasyanos, 2007	1
Ak112 (Akdeniz)	34,500000°	30,000000°	24,5	Yüzey dalgası dispersiyon	Di Luccio ve Pasyanos, 2007	1

Tablo 8.1. (Devamı)

Lokasyon	Enlem	Boylam	Kalınlık (km)	Yöntem	Referans	Hata Oranı (\pm) km
Ak113 (Akdeniz)	34,500000°	31,000000°	24,5	Yüzey dalgası dispersiyon	Di Luccio ve Pasyanos, 2007	1
Ak114 (Akdeniz)	33,500000°	23,000000°	20	Yüzey dalgası dispersiyon	Di Luccio ve Pasyanos, 2007	1
Ak115 (Akdeniz)	33,500000°	24,000000°	20	Yüzey dalgası dispersiyon	Di Luccio ve Pasyanos, 2007	1
Ak116 (Akdeniz)	33,500000°	25,000000°	22	Yüzey dalgası dispersiyon	Di Luccio ve Pasyanos, 2007	1
Ak117 (Akdeniz)	33,500000°	26,000000°	25	Yüzey dalgası dispersiyon	Di Luccio ve Pasyanos, 2007	1
Ak118 (Akdeniz)	33,500000°	27,000000°	24,5	Yüzey dalgası dispersiyon	Di Luccio ve Pasyanos, 2007	1
Ak119 (Akdeniz)	33,500000°	28,000000°	24	Yüzey dalgası dispersiyon	Di Luccio ve Pasyanos, 2007	1
Ak120 (Akdeniz)	33,500000°	29,000000°	23,5	Yüzey dalgası dispersiyon	Di Luccio ve Pasyanos, 2007	1
Ak121 (Akdeniz)	33,500000°	30,000000°	23	Yüzey dalgası dispersiyon	Di Luccio ve Pasyanos, 2007	1
Ak122 (Akdeniz)	33,500000°	31,000000°	24,5	Yüzey dalgası dispersiyon	Di Luccio ve Pasyanos, 2007	1
Ak123 (Akdeniz)	32,500000°	24,000000°	23	Yüzey dalgası dispersiyon	Di Luccio ve Pasyanos, 2007	1
Ak124 (Akdeniz)	32,500000°	25,000000°	25,5	Yüzey dalgası dispersiyon	Di Luccio ve Pasyanos, 2007	1
Ak125 (Akdeniz)	32,500000°	26,000000°	25,5	Yüzey dalgası dispersiyon	Di Luccio ve Pasyanos, 2007	1
Ak126 (Akdeniz)	32,500000°	27,000000°	25,5	Yüzey dalgası dispersiyon	Di Luccio ve Pasyanos, 2007	1
Ak127 (Akdeniz)	32,500000°	28,000000°	24	Yüzey dalgası dispersiyon	Di Luccio ve Pasyanos, 2007	1
Ak128 (Akdeniz)	32,500000°	29,000000°	24,5	Yüzey dalgası dispersiyon	Di Luccio ve Pasyanos, 2007	1
Ak129 (Akdeniz)	32,500000°	30,000000°	26	Yüzey dalgası dispersiyon	Di Luccio ve Pasyanos, 2007	1
Ak130 (Akdeniz)	32,500000°	31,000000°	25	Yüzey dalgası dispersiyon	Di Luccio ve Pasyanos, 2007	1
DYBR (Güney And.)	37,833333°	40,333333°	35	Yüzey Dalgaları ,alıcı fonksiyonları*	Delph vd., 2015	1
ERGN (Doğu And.)	39,300000°	39,750000°	38	Yüzey Dalgaları ,alıcı fonksiyonları*	Delph vd., 2015	1
HRPT (Doğu And.)	38,692502°	39,252038°	39	Yüzey Dalgaları ,alıcı fonksiyonları*	Delph vd., 2015	1
ILIC (Doğu And.)	39,452000°	38,567800°	43	Yüzey Dalgaları ,alıcı fonksiyonları*	Delph vd., 2015	1
IMRL (İç Anadolu)	39,916667°	38,083333°	41	Yüzey Dalgaları ,alıcı fonksiyonları*	Delph vd., 2015	1

Tablo 8.1. (Devamı)

Lokasyon	Enlem	Boylam	Kalınlık (km)	Yöntem	Referans	Hata Oranı (\pm) km
BYKN (Güney And.)	38,166667°	41,750000°	39	Yüzey Dalgaları ,alıcı fonksiyonları*	Delph vd., 2015	1
BTLS (Doğu And.)	38,466667°	42,083333°	44	Yüzey Dalgaları ,alıcı fonksiyonları*	Delph vd., 2015	1
DGSU (Doğu And.)	39,138043°	42,737731°	44	Yüzey Dalgaları ,alıcı fonksiyonları*	Delph vd., 2015	1
HAMR (Doğu And.)	39,633333°	43,000000°	41	Yüzey Dalgaları ,alıcı fonksiyonları*	Delph vd., 2015	1
SIRN (Karadeniz)	40,200000°	39,083333°	45	Yüzey Dalgaları ,alıcı fonksiyonları*	Delph vd., 2015	1
BYBT (Karadeniz)	40,250000°	40,333333°	46	Yüzey Dalgaları ,alıcı fonksiyonları*	Delph vd., 2015	1
HRSN (Doğu And.)	39,916667°	42,283333°	46	Yüzey Dalgaları ,alıcı fonksiyonları*	Delph vd., 2015	1
KOTK (Doğu And.)	40,200000°	43,000000°	43	Yüzey Dalgaları ,alıcı fonksiyonları*	Delph vd., 2015	1
KaraYz1 (Karadeniz)	42,750000°	37,416667°	26	Yüzey Dalgaları	Çınar ve Alkan, 2016	
KaraYz2 (Karadeniz)	42,100000°	38,000000°	26	Yüzey Dalgaları	Çınar ve Alkan, 2016	
KaraYz3 (Karadeniz B.)	40,750000°	39,250000°	42	Yüzey Dalgaları	Çınar ve Alkan, 2016	
KaraYz4 (Karadeniz B.)	40,416667°	39,583333°	42	Yüzey Dalgaları	Çınar ve Alkan, 2016	
TM1	35,000000°	34,000000°	29	Tomografik ters çözüm	Koulakov ve Sobolev, 2006	
TM2	35,000000°	35,000000°	18	Tomografik ters çözüm	Koulakov ve Sobolev, 2006	
TM3	34,000000°	36,000000°	34	Tomografik ters çözüm	Koulakov ve Sobolev, 2006	
TM4	35,000000°	37,000000°	35	Tomografik ters çözüm	Koulakov ve Sobolev, 2006	
TM5	34,000000°	37,000000°	37	Tomografik ters çözüm	Koulakov ve Sobolev, 2006	
TM6	36,000000°	36,000000°	37	Tomografik ters çözüm	Koulakov ve Sobolev, 2006	
TM7	36,000000°	34,000000°	33	Tomografik ters çözüm	Koulakov ve Sobolev, 2006	
TM9	33,000000°	37,000000°	37	Tomografik ters çözüm	Koulakov ve Sobolev, 2006	
TM10	33,000000°	36,000000°	32	Tomografik ters çözüm	Koulakov ve Sobolev, 2006	
TM11	33,000000°	35,000000°	21	Tomografik ters çözüm	Koulakov ve Sobolev, 2006	
TM12	34,000000°	35,000000°	18	Tomografik ters çözüm	Koulakov ve Sobolev, 2006	

Tablo 8.1. (Devamı)

Lokasyon	Enlem	Boylam	Kalınlık (km)	Yöntem	Referans	Hata Oranı (\pm) km
TM13	34,000000°	34,000000°	19	Tomografik ters çözüm	Koulakov ve Sobolev, 2006	
TM14	30,000000°	32,000000°	29	Tomografik ters çözüm	Koulakov ve Sobolev, 2006	
TM15	30,000000°	33,000000°	31	Tomografik ters çözüm	Koulakov ve Sobolev, 2006	
TM16	29,000000°	33,000000°	35	Tomografik ters çözüm	Koulakov ve Sobolev, 2006	
TM17	30,000000°	35,000000°	33	Tomografik ters çözüm	Koulakov ve Sobolev, 2006	
TM18	30,500000°	31,500000°	20	Tomografik ters çözüm	Koulakov ve Sobolev, 2006	
YunanSK1	39,083333°	23,250000°	30	Sismik Kırılma	Makris vd., 2001	
YunanSK2	39,033333°	23,150000°	30	Sismik Kırılma	Makris vd., 2001	
YunanSK3	38,766667°	23,050000°	19	Sismik Kırılma	Makris vd., 2001	
YunanSK4	38,733333°	23,116667°	18	Sismik Kırılma	Makris vd., 2001	
YunanSK5	38,666667°	23,250000°	17,5	Sismik Kırılma	Makris vd., 2001	
YunanSK6	37,666667°	20,000000°	19	Sismik Kırılma	Makris vd., 2013	1
YunanSK7	37,733333°	20,350000°	20	Sismik Kırılma	Makris vd., 2013	1
YunanSK8	37,750000°	20,616667°	26	Sismik Kırılma	Makris vd., 2013	1
YunanSK9	37,933333°	21,333333°	31	Sismik Kırılma	Makris vd., 2013	1
SİSGRA26 (İran)	35,000000°	46,000000°	44	Sismolojik veri,gravite*	Mechie vd., 2013	
SİSGRA27 (İran)	35,000000°	47,000000°	46	Sismolojik veri,gravite*	Mechie vd., 2013	
SİSGRA28 (İran)	35,000000°	48,000000°	46	Sismolojik veri,gravite*	Mechie vd., 2013	
SİSGRA29 (İran)	35,000000°	49,000000°	47	Sismolojik veri,gravite*	Mechie vd., 2013	
SİSGRA30 (İran)	35,000000°	50,000000°	44	Sismolojik veri,gravite*	Mechie vd., 2013	
SİSGRA31 (İran)	35,000000°	51,000000°	41	Sismolojik veri,gravite*	Mechie vd., 2013	
SİSGRA32 (İran)	34,000000°	46,000000°	40	Sismolojik veri,gravite*	Mechie vd., 2013	
SİSGRA33 (İran)	34,000000°	47,000000°	45	Sismolojik veri,gravite*	Mechie vd., 2013	

Tablo 8.1. (Devamı)

Lokasyon	Enlem	Boylam	Kalınlık (km)	Yöntem	Referans	Hata Oranı (\pm) km
SİSGRA34 (İran)	34,000000°	48,000000°	49	Sismolojik veri,gravite*	Mechie vd., 2013	
SİSGRA35 (İran)	34,000000°	49,000000°	48	Sismolojik veri,gravite*	Mechie vd., 2013	
SİSGRA36 (İran)	34,000000°	50,000000°	45	Sismolojik veri,gravite*	Mechie vd., 2013	
SİSGRA37 (İran)	34,000000°	51,000000°	44	Sismolojik veri,gravite*	Mechie vd., 2013	
KaraSK1	42,916667°	35,616667°	27	Derin sondaj sismiği	Yegerova ve Gobarenko, 2010	
KaraSK2	43,633333°	35,616667°	30	Derin sondaj sismiği	Yegerova ve Gobarenko, 2010	
KaraSK3	44,400000°	35,616667°	18	Derin sondaj sismiği	Yegerova ve Gobarenko, 2010	
KaraSK4	42,700000°	30,633333°	16	Derin sondaj sismiği	Yegerova ve Gobarenko, 2010	
KaraSK5	43,566667°	31,133333°	19	Derin sondaj sismiği	Yegerova ve Gobarenko, 2010	
KaraSK6	44,366667°	31,533333°	24	Derin sondaj sismiği	Yegerova ve Gobarenko, 2010	
OREN (Ege B.)	37,033333°	27,950000°	23,64	alıcı fonksiyonları	Özakın, 2008	1,69
TURG (Ege B.)	37,150000°	28,683333°	24,62	alıcı fonksiyonları	Özakın, 2008	1,87
FETY (Ege B.)	36,633333°	29,083333°	21,4	alıcı fonksiyonları	Özakın, 2008	1,16
ACYP	37,471000°	29,301000°	35,2	alıcı fonksiyonları	Kahraman, 2008	3,5
SALD	37,495000°	29,735000°	40,7	alıcı fonksiyonları	Kahraman, 2008	0,9
CLTK	37,492000°	30,434000°	40,7	alıcı fonksiyonları	Kahraman, 2008	1,7
SUTC	37,476000°	30,999000°	33,5	alıcı fonksiyonları	Kahraman, 2008	2,7
HULU	37,471000°	31,580000°	32,4	alıcı fonksiyonları	Kahraman, 2008	4,7
AKRN	37,450000°	32,357000°	30,5	alıcı fonksiyonları	Kahraman, 2008	0,4
AFYN	38,762000°	30,464000°	36,2	alıcı fonksiyonları	Kahraman, 2008	0,5
HYDR	38,268000°	30,381000°	36	alıcı fonksiyonları	Kahraman, 2008	3,1
ULUB	38,120000°	30,463000°	35,5	alıcı fonksiyonları	Kahraman, 2008	4,2
KZLK	37,298000°	30,440000°	39,2	alıcı fonksiyonları	Kahraman, 2008	1,1

Tablo 8.1. (Devamı)

Lokasyon	Enlem	Boylam	Kalınlık (km)	Yöntem	Referans	Hata Oranı (\pm) km
DSMA	37,060000°	30,550000°	47	alıcı fonksiyonları	Kahraman, 2008	6
ANTB	36,890000°	30,650000°	44,3	alıcı fonksiyonları	Kahraman, 2008	5,2
FRSS (ARABİSTAN)	16,740000°	42,110000°	14,4	alıcı fonksiyonları	Al-Damegh vd., 2005	1,02
KBD (KUVEYT)	29,333333°	47,833333°	45	alıcı fonksiyonları, yüzey dalgaları*	Pasyanos vd., 2007	
SİSGRA38	27,000000°	37,000000°	35	Sismolojik veri,gravite*	Mechie vd., 2013	
SİSGRA39	26,000000°	37,000000°	27	Sismolojik veri,gravite*	Mechie vd., 2013	
SİSGRA40	25,000000°	37,000000°	19	Sismolojik veri,gravite*	Mechie vd., 2013	
SİSGRA41	24,000000°	37,000000°	12	Sismolojik veri,gravite*	Mechie vd., 2013	
SİSGRA42	26,000000°	38,000000°	32	Sismolojik veri,gravite*	Mechie vd., 2013	
SİSGRA43	25,000000°	38,000000°	26	Sismolojik veri,gravite*	Mechie vd., 2013	
SİSGRA44	26,000000°	39,000000°	31	Sismolojik veri,gravite*	Mechie vd., 2013	
SİSGRA45	25,000000°	39,000000°	23	Sismolojik veri,gravite*	Mechie vd., 2013	
SİSGRA46	25,000000°	40,000000°	31	Sismolojik veri,gravite*	Mechie vd., 2013	
SİSGRA47	26,000000°	41,000000°	33	Sismolojik veri,gravite*	Mechie vd., 2013	
SİSGRA48	25,000000°	41,000000°	34	Sismolojik veri,gravite*	Mechie vd., 2013	
SİSGRA49	26,000000°	42,000000°	34	Sismolojik veri,gravite*	Mechie vd., 2013	
SİSGRA50	25,000000°	42,000000°	32	Sismolojik veri,gravite*	Mechie vd., 2013	
SİSGRA51	26,000000°	43,000000°	37	Sismolojik veri,gravite*	Mechie vd., 2013	
SİSGRA52	25,000000°	43,000000°	35	Sismolojik veri,gravite*	Mechie vd., 2013	
SİSGRA53	26,000000°	44,000000°	38	Sismolojik veri,gravite*	Mechie vd., 2013	
SİSGRA54	27,000000°	42,000000°	36	Sismolojik veri,gravite*	Mechie vd., 2013	
SİSGRA55	25,000000°	46,000000°	44	Sismolojik veri,gravite*	Mechie vd., 2013	
SİSGRA56	24,000000°	46,000000°	43	Sismolojik veri,gravite*	Mechie vd., 2013	

Tablo 8.1. (Devamı)

Lokasyon	Enlem	Boylam	Kalınlık (km)	Yöntem	Referans	Hata Oranı (\pm) km
SİSGRA57	35,000000°	40,000000°	34	Sismolojik veri,gravite*	Mechie vd., 2013	
SİSGRA58	33,000000°	40,000000°	36	Sismolojik veri,gravite*	Mechie vd., 2013	
SİSGRA59	30,000000°	45,000000°	40	Sismolojik veri,gravite*	Mechie vd., 2013	
SİSGRA60	30,000000°	46,000000°	40	Sismolojik veri,gravite*	Mechie vd., 2013	
SİSGRA61	31,000000°	48,000000°	37	Sismolojik veri,gravite*	Mechie vd., 2013	
SİSGRA62	34,000000°	40,000000°	35	Sismolojik veri,gravite*	Mechie vd., 2013	
SİSGRA63	35,000000°	39,000000°	37	Sismolojik veri,gravite*	Mechie vd., 2013	
SİSGRA64	34,000000°	39,000000°	37	Sismolojik veri,gravite*	Mechie vd., 2013	
ARABGRA1	30,000000°	42,000000°	35	Gravite	Mechie vd., 2013	
ARABGRA2	30,000000°	39,000000°	35	Gravite	Mechie vd., 2013	
ARABGRA3	35,000000°	41,000000°	30	Gravite	Mechie vd., 2013	
RIYD (ARABİSTAN)	24,720000°	46,640000°	45	alıcı fonksiyonları	Sandvol vd., 1998a	2
ERSK1	39,500000°	46,000000°	55	Sismik Kırılma	Jackson vd., 2002	
İRSK	39,323968°	47,367639°	48	Sismik Kırılma	Jackson vd., 2002	1
HZSK2	39,061585°	49,396208°	35	Sismik Kırılma	Jackson vd., 2002	1
HZSK3	38,773105°	51,634317°	30	Sismik Kırılma	Jackson vd., 2002	1
HZSK1	38,598800°	52,980628°	29	Sismik Kırılma	Jackson vd., 2002	1
HZSK4	38,505412°	53,697452°	30	Sismik Kırılma	Jackson vd., 2002	1
TMRF1	38,488355°	53,840713°	33	alıcı fonksiyonları	Jackson vd., 2002	1
TMSK1	38,409631°	54,444184°	35	Sismik Kırılma	Jackson vd., 2002	1
TMRF2	38,155384°	56,422739°	35	alıcı fonksiyonları	Jackson vd., 2002	1
TMSK2	37,500000°	61,500000°	49	Sismik Kırılma	Jackson vd., 2002	
MALT (Doğu Anadolu)	38,313400°	38,427300°	40	alıcı fonksiyonları, yüzey dalgaları*	Gök vd., 2009	

Tablo 8.1. (Devamı)

Lokasyon	Enlem	Boylam	Kalınlık (km)	Yöntem	Referans	Hata Oranı (\pm) km
AGRB (Doğu Anadolu)	39,575500°	42,992000°	40	alıcı fonksiyonları, yüzey dalgaları*	Gök vd., 2009	
VANB (Doğu Anadolu)	38,509000°	43,405800°	44	alıcı fonksiyonları, yüzey dalgaları*	Gök vd., 2009	
SIRT (Güney Anadolu)	37,501000°	42,439200°	45	alıcı fonksiyonları, yüzey dalgaları*	Gök vd., 2009	
CUKT (Doğu Anadolu)	37,247300°	43,607700°	46	alıcı fonksiyonları, yüzey dalgaları*	Gök vd., 2009	
SEMD (Doğu Anadolu)	37,347300°	44,520800°	44	alıcı fonksiyonları, yüzey dalgaları*	Gök vd., 2009	
NAX (AZERBAYCAN)	39,174000°	45,495000°	45	alıcı fonksiyonları, yüzey dalgaları*	Gök vd., 2009	
GAN (AZERBAYCAN)	40,721000°	45,754000°	40	alıcı fonksiyonları, yüzey dalgaları*	Gök vd., 2009	
BRD (AZERBAYCAN)	40,260000°	47,180000°	46	alıcı fonksiyonları, yüzey dalgaları*	Gök vd., 2009	
SEK (AZERBAYCAN)	41,210000°	47,200000°	45	alıcı fonksiyonları, yüzey dalgaları*	Gök vd., 2009	
IML (AZERBAYCAN)	40,790000°	48,180000°	46	alıcı fonksiyonları, yüzey dalgaları*	Gök vd., 2009	
QUB (AZERBAYCAN)	41,350000°	48,490000°	43	alıcı fonksiyonları, yüzey dalgaları*	Gök vd., 2009	
SIZ (AZERBAYCAN)	41,080000°	48,900000°	40	alıcı fonksiyonları, yüzey dalgaları*	Gök vd., 2009	
PQL (AZERBAYCAN)	40,790000°	48,590000°	43	alıcı fonksiyonları, yüzey dalgaları*	Gök vd., 2009	
NDR (AZERBAYCAN)	40,580000°	49,990000°	46	alıcı fonksiyonları, yüzey dalgaları*	Gök vd., 2009	
GOB (AZERBAYCAN)	40,400000°	49,730000°	46	alıcı fonksiyonları, yüzey dalgaları*	Gök vd., 2009	
GAL (AZERBAYCAN)	40,410000°	50,160000°	43	alıcı fonksiyonları, yüzey dalgaları*	Gök vd., 2009	
ALI (AZERBAYCAN)	39,960000°	49,010000°	34	alıcı fonksiyonları, yüzey dalgaları*	Gök vd., 2009	
GLB (AZERBAYCAN)	39,240000°	48,390000°	40	alıcı fonksiyonları, yüzey dalgaları*	Gök vd., 2009	
LKR (AZERBAYCAN)	38,710000°	48,780000°	43	alıcı fonksiyonları, yüzey dalgaları*	Gök vd., 2009	
ONI (GÜRCİSTAN)	42,590500°	43,452500°	46	alıcı fonksiyonları, yüzey dalgaları*	Gök vd., 2009	
AKHA (GÜRCİSTAN)	41,410000°	43,492900°	48	alıcı fonksiyonları, yüzey dalgaları*	Gök vd., 2009	
DELI (GÜRCİSTAN)	41,693900°	44,792500°	49	alıcı fonksiyonları, yüzey dalgaları*	Gök vd., 2009	
GARJ (GÜRCİSTAN)	41,450700°	45,372800°	49	alıcı fonksiyonları, yüzey dalgaları*	Gök vd., 2009	

Tablo 8.1. (Devamı)

Lokasyon	Enlem	Boylam	Kalınlık (km)	Yöntem	Referans	Hata Oranı (\pm) km
GNI (Ermenistan)	40,050000°	44,720000°	43	alıcı fonksiyonları, yüzey dalgaları*	Gök vd., 2009	
KaraSK7	45,566667°	30,333333°	35	Derin sondaj sismiği	Yegerova vd., 2011	
KaraSK8	45,733333°	31,500000°	35	Derin sondaj sismiği	Yegerova vd., 2011	
KaraSK9	46,000000°	36,333333°	35	Derin sondaj sismiği	Yegerova ve Gobarenko, 2010	
KaraSK10	45,500000°	35,833333°	39	Derin sondaj sismiği	Yegerova ve Gobarenko, 2010	
KDDA (Irak)	37,212500°	42,820700°	52,3	alıcı fonksiyonları	Gritto vd., 2008	0,8
KEHH (Irak)	36,676400°	45,047000°	49,8	alıcı fonksiyonları	Gritto vd., 2008	1,4
KEKZ (Irak)	35,989300°	44,097000°	44,7	alıcı fonksiyonları	Gritto vd., 2008	0,8
KESM (Irak)	36,984600°	44,198100°	39,1	alıcı fonksiyonları	Gritto vd., 2008	0,9
KSBB (Irak)	35,041500°	45,709200°	48,6	alıcı fonksiyonları	Gritto vd., 2008	1,3
KSSS (Irak)	35,769600°	46,236200°	52,3	alıcı fonksiyonları	Gritto vd., 2008	0,8
KSJS (Irak)	35,496500°	45,345200°	48,9	alıcı fonksiyonları	Gritto vd., 2008	1,2
KSWW (Irak)	36,149300°	45,262400°	54,2	alıcı fonksiyonları	Gritto vd., 2008	0,7
PVL (Bulgaristan)	43,216700°	25,333300°	31	alıcı fonksiyonları	Georgieva ve Nikolova, 2013	1
SZH (Bulgaristan)	43,266700°	25,933300°	32	alıcı fonksiyonları	Georgieva ve Nikolova, 2013	2
JMB (Bulgaristan)	42,466700°	26,583300°	30	alıcı fonksiyonları	Georgieva ve Nikolova, 2013	2
PLD (Bulgaristan)	42,104900°	24,703100°	32	alıcı fonksiyonları	Georgieva ve Nikolova, 2013	2
PGB (Bulgaristan)	42,550000°	24,166700°	37	alıcı fonksiyonları	Georgieva ve Nikolova, 2013	2
KDZ (Bulgaristan)	41,650000°	25,416700°	28	alıcı fonksiyonları	Georgieva ve Nikolova, 2013	5
RZN (Bulgaristan)	41,688000°	24,716000°	34,5	alıcı fonksiyonları	Georgieva ve Nikolova, 2013	3
MMB (Bulgaristan)	41,589200°	23,727800°	50	alıcı fonksiyonları	Georgieva ve Nikolova, 2013	1
KKB (Bulgaristan)	41,866700°	23,083300°	27	alıcı fonksiyonları	Georgieva ve Nikolova, 2013	3
MPE (Bulgaristan)	43,366667°	23,733333°	29	alıcı fonksiyonları	Georgieva ve Nikolova, 2013	2

Tablo 8.1. (Devamı)

Lokasyon	Enlem	Boylam	Kalınlık (km)	Yöntem	Referans	Hata Oranı (\pm) km
BUD (Macaristan)	47,483600°	19,023900°	34	alıcı fonksiyonları	Hetényi ve Bus, 2007	
PKSM (Macaristan)	46,211900°	18,641300°	27	alıcı fonksiyonları	Hetényi ve Bus, 2007	
PSZ (Macaristan)	47,918400°	19,894400°	33	alıcı fonksiyonları	Hetényi ve Bus, 2007	
SOP (Macaristan)	47,683300°	16,558300°	28	alıcı fonksiyonları	Hetényi ve Bus, 2007	
LN01 (ARABİSTAN)	25,220000°	37,960000°	32,8	alıcı fonksiyonları, yüzey dalgaları*	Tang vd., 2016	0,7
LN02 (ARABİSTAN)	25,140000°	37,860000°	34,1	alıcı fonksiyonları, yüzey dalgaları*	Tang vd., 2016	0,2
LN03 (ARABİSTAN)	25,380000°	37,850000°	36,5	alıcı fonksiyonları, yüzey dalgaları*	Tang vd., 2016	0,8
LN04 (ARABİSTAN)	25,270000°	37,650000°	33,6	alıcı fonksiyonları, yüzey dalgaları*	Tang vd., 2016	0,8
LN05 (ARABİSTAN)	25,050000°	37,700000°	30,5	alıcı fonksiyonları, yüzey dalgaları*	Tang vd., 2016	0,6
LN08 (ARABİSTAN)	25,030000°	37,850000°	339	alıcı fonksiyonları, yüzey dalgaları*	Tang vd., 2016	0,8
LN10 (ARABİSTAN)	25,270000°	37,860000°	33,3	alıcı fonksiyonları, yüzey dalgaları*	Tang vd., 2016	0,7
LN11 (ARABİSTAN)	25,320000°	37,770000°	30,9	alıcı fonksiyonları, yüzey dalgaları*	Tang vd., 2016	0,7
LN12 (ARABİSTAN)	25,270000°	37,770000°	33	alıcı fonksiyonları, yüzey dalgaları*	Tang vd., 2016	0,8
LNYS (ARABİSTAN)	25,080000°	37,940000°	35,4	alıcı fonksiyonları, yüzey dalgaları*	Tang vd., 2016	0,4
UMJS (ARABİSTAN)	25,230000°	37,310000°	25,2	alıcı fonksiyonları, yüzey dalgaları*	Tang vd., 2016	0,3
YNBS (ARABİSTAN)	24,340000°	37,990000°	25	alıcı fonksiyonları, yüzey dalgaları*	Tang vd., 2016	0,4
RH01 (ARABİSTAN)	24,270000°	39,810000°	35	alıcı fonksiyonları, yüzey dalgaları*	Tang vd., 2016	0,4
RH02 (ARABİSTAN)	24,480000°	40,090000°	35,4	alıcı fonksiyonları, yüzey dalgaları*	Tang vd., 2016	0,5
RH03 (ARABİSTAN)	24,250000°	40,170000°	35,5	alıcı fonksiyonları, yüzey dalgaları*	Tang vd., 2016	0,4
RH04 (ARABİSTAN)	23,990000°	39,880000°	34,7	alıcı fonksiyonları, yüzey dalgaları*	Tang vd., 2016	0,5
RH05 (ARABİSTAN)	23,910000°	39,160000°	27,2	alıcı fonksiyonları, yüzey dalgaları*	Tang vd., 2016	0,3
RH06 (ARABİSTAN)	24,380000°	39,190000°	34	alıcı fonksiyonları, yüzey dalgaları*	Tang vd., 2016	0,7
RH07 (ARABİSTAN)	24,670000°	39,040000°	32,6	alıcı fonksiyonları, yüzey dalgaları*	Tang vd., 2016	0,4

Tablo 8.1. (Devamı)

Lokasyon	Enlem	Boylam	Kalınlık (km)	Yöntem	Referans	Hata Oranı (\pm) km
RH08 (ARABİSTAN)	24,710000°	39,540000°	34,3	alıcı fonksiyonları, yüzey dalgaları*	Tang vd., 2016	0,5
RH09 (ARABİSTAN)	24,780000°	39,910000°	35,1	alıcı fonksiyonları, yüzey dalgaları*	Tang vd., 2016	0,2
RH11 (ARABİSTAN)	24,920000°	39,690000°	35,3	alıcı fonksiyonları, yüzey dalgaları*	Tang vd., 2016	0,4
RH13 (ARABİSTAN)	24,210000°	39,370000°	36,1	alıcı fonksiyonları, yüzey dalgaları*	Tang vd., 2016	0,5
KBR5 (ARABİSTAN)	25,790000°	39,260000°	35,1	alıcı fonksiyonları, yüzey dalgaları*	Tang vd., 2016	0,3
FRJS (ARABİSTAN)	22,590000°	39,360000°	30,4	alıcı fonksiyonları, yüzey dalgaları*	Tang vd., 2016	1,2
JEDS (ARABİSTAN)	21,720000°	39,420000°	27,8	alıcı fonksiyonları, yüzey dalgaları*	Tang vd., 2016	0,7
SHMS (ARABİSTAN)	21,450000°	39,690000°	27,9	alıcı fonksiyonları, yüzey dalgaları*	Tang vd., 2016	0,5
LBNS (ARABİSTAN)	21,050000°	39,900000°	31,2	alıcı fonksiyonları, yüzey dalgaları*	Tang vd., 2016	1,6
MDRS (ARABİSTAN)	22,090000°	40,000000°	35,7	alıcı fonksiyonları, yüzey dalgaları*	Tang vd., 2016	0,4
FDAS (ARABİSTAN)	21,830000°	40,360000°	37	alıcı fonksiyonları, yüzey dalgaları*	Tang vd., 2016	0,4
SHRS (ARABİSTAN)	21,500000°	40,200000°	34,4	alıcı fonksiyonları, yüzey dalgaları*	Tang vd., 2016	0,5
FRAS (ARABİSTAN)	21,060000°	40,520000°	39,8	alıcı fonksiyonları, yüzey dalgaları*	Tang vd., 2016	0,3
LTHS (ARABİSTAN)	20,227000°	40,410000°	18,4	alıcı fonksiyonları, yüzey dalgaları*	Tang vd., 2016	2
RYNS (ARABİSTAN)	21,320000°	42,850000°	36,9	alıcı fonksiyonları, yüzey dalgaları*	Tang vd., 2016	0,2
BLJS (ARABİSTAN)	19,880000°	41,600000°	37,8	alıcı fonksiyonları, yüzey dalgaları*	Tang vd., 2016	0,4
NAMS (ARABİSTAN)	19,170000°	42,210000°	41,9	alıcı fonksiyonları, yüzey dalgaları*	Tang vd., 2016	0,3
ENMS (ARABİSTAN)	19,070000°	42,570000°	42,4	alıcı fonksiyonları, yüzey dalgaları*	Tang vd., 2016	0,4
TATS (ARABİSTAN)	19,540000°	43,480000°	39,6	alıcı fonksiyonları, yüzey dalgaları*	Tang vd., 2016	0,2
DJNS (ARABİSTAN)	17,710000°	43,540000°	47,4	alıcı fonksiyonları, yüzey dalgaları*	Tang vd., 2016	0,5
DRBS (ARABİSTAN)	17,830000°	42,300000°	33,2	alıcı fonksiyonları, yüzey dalgaları*	Tang vd., 2016	0,3
ARSS (ARABİSTAN)	25,880000°	43,240000°	38,4	alıcı fonksiyonları, yüzey dalgaları*	Tang vd., 2016	0,2
AFFS (ARABİSTAN)	24,560000°	42,480000°	35,1	alıcı fonksiyonları, yüzey dalgaları*	Tang vd., 2016	0,2

Tablo 8.1. (Devamı)

Lokasyon	Enlem	Boylam	Kalınlık (km)	Yöntem	Referans	Hata Oranı (\pm) km
DBAS (ARABİSTAN)	27,210000°	35,970000°	27,8	alıcı fonksiyonları, yüzey dalgaları*	Tang vd., 2016	1,9
WJHS (ARABİSTAN)	26,730000°	36,390000°	29,8	alıcı fonksiyonları, yüzey dalgaları*	Tang vd., 2016	0,3
BIDS (ARABİSTAN)	26,870000°	36,960000°	36,3	alıcı fonksiyonları, yüzey dalgaları*	Tang vd., 2016	0,3
HQLS (ARABİSTAN)	29,300000°	35,060000°	31,3	alıcı fonksiyonları, yüzey dalgaları*	Tang vd., 2016	0,4
HAQS (ARABİSTAN)	29,050000°	34,930000°	28,5	alıcı fonksiyonları, yüzey dalgaları*	Tang vd., 2016	0,3
RSHS (ARABİSTAN)	28,300000°	34,800000°	20,6	alıcı fonksiyonları, yüzey dalgaları*	Tang vd., 2016	0,4
JLOS (ARABİSTAN)	28,740000°	35,490000°	37,4	alıcı fonksiyonları, yüzey dalgaları*	Tang vd., 2016	0,2
BTHS (ARABİSTAN)	24,050000°	50,850000°	45,7	alıcı fonksiyonları, yüzey dalgaları*	Tang vd., 2016	1,5
SLWS (ARABİSTAN)	24,800000°	50,640000°	37,3	alıcı fonksiyonları, yüzey dalgaları*	Tang vd., 2016	0,3
BOQS (ARABİSTAN)	25,870000°	49,380000°	47,6	alıcı fonksiyonları, yüzey dalgaları*	Tang vd., 2016	0,3
KFJS (ARABİSTAN)	28,190000°	47,940000°	47,2	alıcı fonksiyonları, yüzey dalgaları*	Tang vd., 2016	0,3
ASYS (ARABİSTAN)	27,500000°	44,340000°	47	alıcı fonksiyonları, yüzey dalgaları*	Tang vd., 2016	0,2
TBKS (ARABİSTAN)	28,220000°	36,550000°	36,2	alıcı fonksiyonları, yüzey dalgaları*	Tang vd., 2016	0,3
QLBS (ARABİSTAN)	28,650000°	37,590000°	36,1	alıcı fonksiyonları, yüzey dalgaları*	Tang vd., 2016	0,3
MEZE (Birleşik Arap E.)	24,045200°	55,803500°	44,5	alıcı fonksiyonları	Hansen vd., 2007	
AYUS (ARABİSTAN)	28,190000°	35,270000°	29,3	alıcı fonksiyonları	Al-Amri, 2015	0,5
BDAS (ARABİSTAN)	28,430000°	35,100000°	27,7	alıcı fonksiyonları	Al-Amri, 2015	0,8
HASS (ARABİSTAN)	25,190000°	49,690000°	43,7	alıcı fonksiyonları	Al-Amri, 2015	0,2
HILS (ARABİSTAN)	27,380000°	41,790000°	37,1	alıcı fonksiyonları	Al-Amri, 2015	0,2
JMOS (ARABİSTAN)	29,170000°	35,110000°	32	alıcı fonksiyonları	Al-Amri, 2015	1,9
JMQS (ARABİSTAN)	28,890000°	35,880000°	38,9	alıcı fonksiyonları	Al-Amri, 2015	0,9
MZLS (ARABİSTAN)	24,028000°	45,207000°	41,7	alıcı fonksiyonları	Al-Amri, 2015	0,8
QURS (ARABİSTAN)	31,390000°	37,320000°	34,2	alıcı fonksiyonları	Al-Amri, 2015	0,3

Tablo 8.1. (Devamı)

Lokasyon	Enlem	Boylam	Kalınlık (km)	Yöntem	Referans	Hata Oranı (\pm) km
TAYS (ARABİSTAN)	28,550000°	34,870000°	28,7	alıcı fonksiyonları	Al-Amri, 2015	0,5
AFIF (ARABİSTAN)	23,930000°	43,040000°	36,1	alıcı fonksiyonları	Al-Amri, 2015	0,3
HALM (ARABİSTAN)	22,840000°	44,310000°	36,1	alıcı fonksiyonları	Al-Amri, 2015	0,3
RANI (ARABİSTAN)	21,310000°	42,770000°	37,1	alıcı fonksiyonları	Al-Amri, 2015	0,8
RAYN (ARABİSTAN)	23,520000°	45,500000°	40,2	alıcı fonksiyonları	Al-Amri, 2015	0,1
SODA (ARABİSTAN)	18,290000°	42,370000°	38,2	alıcı fonksiyonları	Al-Amri, 2015	0,3
TAIF (ARABİSTAN)	21,280000°	40,340000°	37,2	alıcı fonksiyonları	Al-Amri, 2015	0,6
UQSK (ARABİSTAN)	25,790000°	42,360000°	36,3	alıcı fonksiyonları	Al-Amri, 2015	0,4
SGS01 (ARABİSTAN)	21,058000°	40,518000°	39,3	alıcı fonksiyonları	Al-Amri, 2015	0,7
SGS02 (ARABİSTAN)	21,449000°	39,691000°	28	alıcı fonksiyonları	Al-Amri, 2015	0,6
SGS03 (ARABİSTAN)	21,834000°	40,359000°	37,1	alıcı fonksiyonları	Al-Amri, 2015	0,5
SGS08 (ARABİSTAN)	18,606000°	42,719000°	39,3	alıcı fonksiyonları	Al-Amri, 2015	1,6
SGS09 (ARABİSTAN)	21,005000°	39,683000°	25,3	alıcı fonksiyonları	Al-Amri, 2015	0,7
SGS13 (ARABİSTAN)	22,927000°	49,462000°	45,6	alıcı fonksiyonları	Al-Amri, 2015	0,7
SGS16 (ARABİSTAN)	24,358000°	38,743000°	30,5	alıcı fonksiyonları	Al-Amri, 2015	0,4
SGS21 (ARABİSTAN)	26,867000°	36,958000°	35,6	alıcı fonksiyonları	Al-Amri, 2015	1,7
SGS22 (ARABİSTAN)	26,732000°	36,393000°	29,6	alıcı fonksiyonları	Al-Amri, 2015	0,5
SGS23 (ARABİSTAN)	21,557000°	39,236000°	46,2	alıcı fonksiyonları	Al-Amri, 2015	0,5
SGS25 (ARABİSTAN)	28,300000°	34,797000°	39,5	alıcı fonksiyonları	Al-Amri, 2015	1,6
SGS27 (ARABİSTAN)	29,300000°	35,062000°	33,1	alıcı fonksiyonları	Al-Amri, 2015	1
BNDS (İran)	27,387000°	56,174000°	51	alıcı fonksiyonları, yüzey dalgaları*	Nasrabadi vd., 2008	
DAMV (İran)	35,630000°	51,970000°	52	alıcı fonksiyonları, yüzey dalgaları*	Nasrabadi vd., 2008	
GHIR (İran)	28,285000°	52,986000°	43	alıcı fonksiyonları, yüzey dalgaları*	Nasrabadi vd., 2008	

Tablo 8.1. (Devamı)

Lokasyon	Enlem	Boylam	Kalınlık (km)	Yöntem	Referans	Hata Oranı (\pm) km
GRMI (İran)	38,790000°	47,830000°	51	alıcı fonksiyonları, yüzey dalgaları*	Nasrabadi vd., 2008	
KRBR (İran)	29,980000°	56,761000°	47	alıcı fonksiyonları, yüzey dalgaları*	Nasrabadi vd., 2008	
MAKU (İran)	39,350000°	44,680000°	40	alıcı fonksiyonları, yüzey dalgaları*	Nasrabadi vd., 2008	
SNGE (İran)	35,092000°	47,346000°	55	alıcı fonksiyonları, yüzey dalgaları*	Nasrabadi vd., 2008	
THKV (İran)	35,902000°	50,914000°	53	alıcı fonksiyonları, yüzey dalgaları*	Nasrabadi vd., 2008	
SHGR (İran)	32,108000°	48,801000°	42	alıcı fonksiyonları, yüzey dalgaları*	Nasrabadi vd., 2008	
ZHSF (İran)	29,614000°	60,795000°	40	alıcı fonksiyonları, yüzey dalgaları*	Nasrabadi vd., 2008	
HRG (Mısır)	27,051700°	33,608100°	25,6	alıcı fonksiyonları	Hosny ve Nyblade, 2014	1
NABD (Mısır)	25,340500°	34,502100°	25,4	alıcı fonksiyonları	Hosny ve Nyblade, 2014	0,8
BRNS (Mısır)	23,855900°	34,114300°	27,2	alıcı fonksiyonları	Hosny ve Nyblade, 2014	1,7
NMAN (Mısır)	23,916900°	33,074900°	35,7	alıcı fonksiyonları	Hosny ve Nyblade, 2014	0,9
NAHD (Mısır)	23,802200°	32,778000°	37,9	alıcı fonksiyonları	Hosny ve Nyblade, 2014	1,1
NNAL (Mısır)	23,293100°	32,664700°	34,7	alıcı fonksiyonları	Hosny ve Nyblade, 2014	1,9
MABD (Mısır)	22,922600°	32,325800°	35,7	alıcı fonksiyonları	Hosny ve Nyblade, 2014	0,7
SWA (Mısır)	29,263000°	25,709000°	36	alıcı fonksiyonları, grup hızı	Gharib vd., 2016	
SLM (Mısır)	31,490000°	25,210000°	32	alıcı fonksiyonları, grup hızı	Gharib vd., 2016	
DB2 (Mısır)	31,090000°	28,280000°	33	alıcı fonksiyonları, grup hızı	Gharib vd., 2016	
FRF (Mısır)	27,148000°	28,310000°	35	alıcı fonksiyonları, grup hızı	Gharib vd., 2016	
NBD (Türkmenistan)	38,510000°	54,390000°	48	alıcı fonksiyonları	Mangino ve Priestley, 1998	
KAT (Türkmenistan)	37,680000°	54,770000°	33	alıcı fonksiyonları	Mangino ve Priestley, 1998	
ABKT (Türkmenistan)	37,930400°	58,118900°	45	alıcı fonksiyonları	Mangino ve Priestley, 1998	
KRF (Türkmenistan)	40,020000°	53,000000°	50	alıcı fonksiyonları	Mangino ve Priestley, 1998	
J2 (İran)	36,122000°	51,367000°	56	alıcı fonksiyonları	Radjaee vd., 2010	

Tablo 8.1. (Devamı)

Lokasyon	Enlem	Boylam	Kalınlık (km)	Yöntem	Referans	Hata Oranı (\pm) km
J3 (İran)	36,638000°	51,392000°	46	alıcı fonksiyonları	Radjaee vd., 2010	
KK1 (İran)	35,405000°	51,312000°	48	alıcı fonksiyonları	Radjaee vd., 2010	
KK2 (İran)	35,963000°	51,542000°	57	alıcı fonksiyonları	Radjaee vd., 2010	
KK3 (İran)	36,385000°	51,780000°	56	alıcı fonksiyonları	Radjaee vd., 2010	
L1 (İran)	35,630000°	51,972000°	54	alıcı fonksiyonları	Radjaee vd., 2010	
L2 (İran)	36,103000°	52,170000°	58	alıcı fonksiyonları	Radjaee vd., 2010	
N1 (İran)	36,445000°	51,910000°	49	alıcı fonksiyonları	Radjaee vd., 2010	
N3 (İran)	36,408000°	51,565000°	56	alıcı fonksiyonları	Radjaee vd., 2010	
N4 (İran)	36,378000°	51,253000°	52	alıcı fonksiyonları	Radjaee vd., 2010	
N6 (İran)	36,232000°	51,562000°	54	alıcı fonksiyonları	Radjaee vd., 2010	
N7 (İran)	36,210000°	51,828000°	52	alıcı fonksiyonları	Radjaee vd., 2010	
N8 (İran)	36,002000°	51,308000°	50	alıcı fonksiyonları	Radjaee vd., 2010	
N9 (İran)	35,965000°	51,115000°	54	alıcı fonksiyonları	Radjaee vd., 2010	
N10 (İran)	35,590000°	50,630000°	49	alıcı fonksiyonları	Radjaee vd., 2010	
T1 (İran)	36,325000°	52,125000°	54	alıcı fonksiyonları	Radjaee vd., 2010	
T3 (İran)	36,327000°	52,357000°	58	alıcı fonksiyonları	Radjaee vd., 2010	
T4 (İran)	36,240000°	52,347000°	54	alıcı fonksiyonları	Radjaee vd., 2010	
T5 (İran)	36,193000°	52,017000°	57	alıcı fonksiyonları	Radjaee vd., 2010	
T6 (İran)	35,977000°	52,297000°	56	alıcı fonksiyonları	Radjaee vd., 2010	
T7 (İran)	35,883000°	52,165000°	53	alıcı fonksiyonları	Radjaee vd., 2010	
T9 (İran)	35,448000°	52,170000°	52	alıcı fonksiyonları	Radjaee vd., 2010	
GHVR (İran)	34,480000°	51,295000°	37,5	alıcı fonksiyonları	Farahmand vd., 2014	1
KHMZ (İran)	33,739000°	49,959000°	64,5	alıcı fonksiyonları	Farahmand vd., 2014	2

Tablo 8.1. (Devamı)

Lokasyon	Enlem	Boylam	Kalınlık (km)	Yöntem	Referans	Hata Oranı (\pm) km
TABS (İran)	33,649000°	57,119000°	44	alıcı fonksiyonları	Farahmand vd., 2014	1,2
RMKL (İran)	30,982000°	49,809000°	42	alıcı fonksiyonları	Farahmand vd., 2014	2
AHRM (İran)	28,864000°	51,295000°	42	alıcı fonksiyonları	Farahmand vd., 2014	2
SHRT (İran)	33,646000°	60,291000°	38,5	alıcı fonksiyonları	Farahmand vd., 2014	1,5
ZNJK (İran)	36,670000°	48,685000°	45,5	alıcı fonksiyonları	Farahmand vd., 2014	2
MRVT (İran)	37,659000°	56,089000°	42	alıcı fonksiyonları	Farahmand vd., 2014	1
SHRD (İran)	35,990000°	56,010000°	44	alıcı fonksiyonları	Farahmand vd., 2014	1,5
BJRD (İran)	37,700000°	57,408000°	49,5	alıcı fonksiyonları	Farahmand vd., 2014	1,2
CHBR (İran)	25,595000°	60,482000°	31,5	alıcı fonksiyonları	Farahmand vd., 2014	1,5
DHR (İran)	34,698100°	46,389000°	36	alıcı fonksiyonları	Farahmand vd., 2014	1
KOM (İran)	34,176200°	47,514300°	39	alıcı fonksiyonları	Farahmand vd., 2014	1
GHG (İran)	34,329300°	46,568400°	42	alıcı fonksiyonları	Farahmand vd., 2014	1
LIN (İran)	34,918700°	46,962600°	37	alıcı fonksiyonları	Farahmand vd., 2014	1
VIS (İran)	34,527500°	46,851100°	51,5	alıcı fonksiyonları	Farahmand vd., 2014	1
PIR (İran)	32,684100°	50,891700°	40,5	alıcı fonksiyonları	Farahmand vd., 2014	1
GAR (İran)	32,406300°	52,047400°	56	alıcı fonksiyonları	Farahmand vd., 2014	1
KLH (İran)	33,319000°	51,578700°	42,5	alıcı fonksiyonları	Farahmand vd., 2014	1,5
RAM (İran)	31,798300°	52,382700°	53,5	alıcı fonksiyonları	Farahmand vd., 2014	2
BAF (İran)	31,590000°	55,567000°	44,5	alıcı fonksiyonları	Farahmand vd., 2014	1,5
CHK (İran)	32,243800°	54,407900°	39	alıcı fonksiyonları	Farahmand vd., 2014	1
SAD (İran)	31,913300°	53,685400°	51,5	alıcı fonksiyonları	Farahmand vd., 2014	2
ZEF (İran)	32,895600°	52,329100°	50	alıcı fonksiyonları	Farahmand vd., 2014	1,5
TEG (İran)	32,896700°	58,748900°	40	alıcı fonksiyonları	Farahmand vd., 2014	1,5

Tablo 8.1. (Devamı)

Lokasyon	Enlem	Boylam	Kalınlık (km)	Yöntem	Referans	Hata Oranı (\pm) km
DAH (İran)	32,738600°	59,867700°	38,5	alıcı fonksiyonları	Farahmand vd., 2014	1,3
KOO (İran)	32,424100°	59,004400°	44	alıcı fonksiyonları	Farahmand vd., 2014	1,3
LAS (İran)	32,380200°	52,959500°	50	alıcı fonksiyonları	Farahmand vd., 2014	1
SHM (İran)	35,806400°	53,284100°	60	alıcı fonksiyonları	Farahmand vd., 2014	1
GLO (İran)	36,502700°	53,830100°	45,5	alıcı fonksiyonları	Farahmand vd., 2014	1,5
KIA (İran)	32,207000°	53,683700°	50,5	alıcı fonksiyonları	Farahmand vd., 2014	1
PRN (İran)	36,241900°	52,338100°	47	alıcı fonksiyonları	Farahmand vd., 2014	1
TEH (İran)	35,740000°	51,385000°	51	alıcı fonksiyonları	Farahmand vd., 2014	2
AFJ (İran)	35,856000°	51,712500°	47,5	alıcı fonksiyonları	Farahmand vd., 2014	2
FIR (İran)	35,641500°	52,753600°	55	alıcı fonksiyonları	Farahmand vd., 2014	1,5
GZV (İran)	36,385900°	50,218400°	48	alıcı fonksiyonları	Farahmand vd., 2014	2
PMV (İran)	35,577200°	52,032200°	57,5	alıcı fonksiyonları	Farahmand vd., 2014	1
SFB (İran)	34,350900°	52,246400°	48	alıcı fonksiyonları	Farahmand vd., 2014	2
VRN (İran)	34,995300°	51,727500°	49	alıcı fonksiyonları	Farahmand vd., 2014	3
MHB (İran)	35,685100°	50,667400°	48,5	alıcı fonksiyonları	Farahmand vd., 2014	1,5
HSB (İran)	35,437800°	51,275700°	52,5	alıcı fonksiyonları	Farahmand vd., 2014	2
RAZ (İran)	35,404400°	49,929200°	47,5	alıcı fonksiyonları	Farahmand vd., 2014	2
QOM (İran)	34,841600°	51,062700°	47,5	alıcı fonksiyonları	Farahmand vd., 2014	2,5
SHI (İran)	29,637100°	52,520200°	51,5	alıcı fonksiyonları	Farahmand vd., 2014	1,1
SRV (İran)	29,381700°	53,113300°	49,5	alıcı fonksiyonları	Farahmand vd., 2014	1,3
MOK (İran)	29,046100°	52,714600°	47	alıcı fonksiyonları	Farahmand vd., 2014	1,2
PAR (İran)	29,840400°	53,048100°	56	alıcı fonksiyonları	Farahmand vd., 2014	1,3
MYA (İran)	36,341600°	60,101700°	40	alıcı fonksiyonları	Farahmand vd., 2014	2

Tablo 8.1. (Devamı)

Lokasyon	Enlem	Boylam	Kalınlık (km)	Yöntem	Referans	Hata Oranı (\pm) km
KRD (İran)	36,776000°	59,514600°	42	alıcı fonksiyonları	Farahmand vd., 2014	1,5
PAY (İran)	36,454200°	58,990400°	48	alıcı fonksiyonları	Farahmand vd., 2014	2
MOG (İran)	36,108000°	59,339100°	47,5	alıcı fonksiyonları	Farahmand vd., 2014	1,2
MHI (İran)	36,309000°	59,470500°	50	alıcı fonksiyonları	Farahmand vd., 2014	1
AKL (İran)	36,594600°	58,754200°	44	alıcı fonksiyonları	Farahmand vd., 2014	1
EMG (İran)	37,408000°	58,651200°	45	alıcı fonksiyonları	Farahmand vd., 2014	2
SFR (İran)	37,043600°	58,002200°	50	alıcı fonksiyonları	Farahmand vd., 2014	1
SHV (İran)	37,533300°	57,696000°	49	alıcı fonksiyonları	Farahmand vd., 2014	1,5
ESP18 (Akdeniz)	33,250000°	28,200000°	23,5	Sismik Kırılma	De Voogd vd., 1992	
MOG (İran)	36,108000°	59,339100°	42	alıcı fonksiyonları	Motaghi vd., 2011	0,8
HAM (İran)	36,930000°	59,770000°	45	alıcı fonksiyonları	Motaghi vd., 2011	0,7
KAR (İran)	36,660000°	59,660000°	40,5	alıcı fonksiyonları	Motaghi vd., 2011	0,8
ZOW (İran)	36,740000°	59,940000°	40,5	alıcı fonksiyonları	Motaghi vd., 2011	0,7
NIK (İran)	32,200000°	54,500000°	42,5	alıcı fonksiyonları	Motaghi vd., 2011	0,5
JAN (İran)	32,720000°	55,720000°	42,5	alıcı fonksiyonları	Motaghi vd., 2011	1,3
CHA (İran)	33,560000°	56,350000°	36,5	alıcı fonksiyonları	Motaghi vd., 2011	0,7
SAL (İran)	34,100000°	56,450000°	27,5	alıcı fonksiyonları	Motaghi vd., 2011	0,9
TAR (İran)	33,940000°	57,100000°	40,5	alıcı fonksiyonları	Motaghi vd., 2011	1,1
SEN (İran)	34,400000°	57,870000°	45	alıcı fonksiyonları	Motaghi vd., 2011	1
KAM (İran)	35,200000°	58,540000°	39,5	alıcı fonksiyonları	Motaghi vd., 2011	0,9
NAM (İran)	35,400000°	58,750000°	33,5	alıcı fonksiyonları	Motaghi vd., 2011	0,8
KTH (İran)	35,700000°	58,920000°	55,5	alıcı fonksiyonları	Motaghi vd., 2011	1
BAH (İran)	36,040000°	59,080000°	53	alıcı fonksiyonları	Motaghi vd., 2011	0,8

Tablo 8.1. (Devamı)

Lokasyon	Enlem	Boylam	Kalınlık (km)	Yöntem	Referans	Hata Oranı (\pm) km
KBD (İran)	36,300000°	59,750000°	44,5	alıcı fonksiyonları	Motaghi vd., 2011	1,2
CSSK1 (Hazar D.)	40,000000°	50,880000°	38	Sismik Kırılma	Knapp vd., 2004	1
CSSK2 (Hazar D.)	40,500000°	50,840000°	36	Sismik Kırılma	Knapp vd., 2004	1
SP3 (Ukranya)	47,532000°	37,814500°	39	Sismik Kırılma	Grad vd., 2003	0,5
SP4 (Ukranya)	47,764100°	38,063800°	40	Sismik Kırılma	Grad vd., 2003	0,5
SP5 (Ukranya)	47,934600°	38,270200°	41	Sismik Kırılma	Grad vd., 2003	0,5
SP6 (Ukranya)	48,065500°	38,369600°	42	Sismik Kırılma	Grad vd., 2003	0,5
SP7 (Ukranya)	48,486900°	38,718500°	39	Sismik Kırılma	Grad vd., 2003	0,5
SP8 (Ukranya)	48,898800°	39,168600°	40	Sismik Kırılma	Grad vd., 2003	0,5
SP9 (Ukranya)	49,049800°	39,355200°	41	Sismik Kırılma	Grad vd., 2003	0,5
Alp8 (Hırvatistan)	45,060556°	17,844444°	29	Sismik Kırılma	Brückl vd., 2007	0,5
Alp7 (Hırvatistan)	45,750000°	16,464722°	27,5	Sismik Kırılma	Brückl vd., 2007	0,5
DMV (İran)	35,582900°	52,028300°	67,5	alıcı fonksiyonları	Sodoudi vd., 2009	
MHD (İran)	35,686100°	50,665100°	54,5	alıcı fonksiyonları	Sodoudi vd., 2009	
SP50101 (Macaristan)	47,718340°	21,434260°	23	Sismik Kırılma	Starostenko vd., 2013	0,5
SP50102 (Macaristan)	48,282460°	22,069850°	24	Sismik Kırılma	Starostenko vd., 2013	0,5
SP50103 (Ukranya)	48,382780°	22,449730°	26	Sismik Kırılma	Starostenko vd., 2013	0,5
SP50104 (Ukranya)	48,588750°	22,756830°	30	Sismik Kırılma	Starostenko vd., 2013	0,5
SP50105 (Ukranya)	48,842340°	23,159270°	35	Sismik Kırılma	Starostenko vd., 2013	0,5
SP50106 (Ukranya)	49,147600°	23,673890°	44	Sismik Kırılma	Starostenko vd., 2013	0,5
SP50107 (Ukranya)	49,451650°	24,168540°	44	Sismik Kırılma	Starostenko vd., 2013	0,5
SP50108 (Ukranya)	49,740000°	24,661120°	45	Sismik Kırılma	Starostenko vd., 2013	0,5
SP50109 (Ukranya)	50,070560°	25,215830°	45	Sismik Kırılma	Starostenko vd., 2013	0,5

Tablo 8.1. (Devamı)

Lokasyon	Enlem	Boylam	Kalınlık (km)	Yöntem	Referans	Hata Oranı (\pm) km
SP50110 (Ukranya)	50,363610°	25,685830°	45	Sismik Kırılma	Starostenko vd., 2013	0,5
SP50111 (Ukranya)	50,694170°	26,302780°	49	Sismik Kırılma	Starostenko vd., 2013	0,5
GVD (Ege Denizi)	34,830000°	24,080000°	26	alıcı fonksiyonları	Li vd., 2003	
APEZ (Girit)	34,970000°	24,880000°	31	alıcı fonksiyonları	Li vd., 2003	
FODE (Girit)	35,370000°	24,950000°	39	alıcı fonksiyonları	Li vd., 2003	
AKSIS1 (Akdeniz)	34,720000°	33,580000°	22,5	Sismik Kırılma	Welford vd., 2015	0,5
AKSIS3 (Akdeniz)	34,630000°	33,580000°	21,5	Sismik Kırılma	Welford vd., 2015	0,5
AKSIS4 (Akdeniz)	34,580000°	33,610000°	21,5	Sismik Kırılma	Welford vd., 2015	0,5
AKSIS5 (Akdeniz)	34,540000°	33,630000°	21	Sismik Kırılma	Welford vd., 2015	0,5
AKSIS6 (Akdeniz)	34,490000°	33,640000°	21	Sismik Kırılma	Welford vd., 2015	0,5
AKSIS7 (Akdeniz)	34,450000°	33,650000°	21	Sismik Kırılma	Welford vd., 2015	0,5
AKSIS8 (Akdeniz)	34,400000°	33,660000°	20,5	Sismik Kırılma	Welford vd., 2015	0,5
AKSIS9 (Akdeniz)	34,350000°	33,670000°	20,5	Sismik Kırılma	Welford vd., 2015	0,5
AKSIS10 (Akdeniz)	34,300000°	33,680000°	19,5	Sismik Kırılma	Welford vd., 2015	0,5
AKSIS11 (Akdeniz)	34,250000°	33,690000°	18,5	Sismik Kırılma	Welford vd., 2015	0,5
AKSIS12 (Akdeniz)	34,210000°	33,700000°	18	Sismik Kırılma	Welford vd., 2015	0,5
AKSIS13 (Akdeniz)	34,160000°	33,710000°	17,5	Sismik Kırılma	Welford vd., 2015	0,5
AKSIS14 (Akdeniz)	34,110000°	33,720000°	17,5	Sismik Kırılma	Welford vd., 2015	0,5
AKSIS15 (Akdeniz)	34,060000°	33,720000°	17	Sismik Kırılma	Welford vd., 2015	0,5
RIY (Hırvatistan)	45,325100°	14,482800°	40,8	alıcı fonksiyonları	Stipcevic vd., 2011	
NVLJ (Hırvatistan)	44,563500°	14,871100°	40	alıcı fonksiyonları	Stipcevic vd., 2011	
KIJV (Hırvatistan)	44,050000°	16,404700°	55,3	alıcı fonksiyonları	Stipcevic vd., 2011	
CACV (Hırvatistan)	43,608900°	16,784400°	52,7	alıcı fonksiyonları	Stipcevic vd., 2011	

Tablo 8.1. (Devamı)

Lokasyon	Enlem	Boylam	Kalınlık (km)	Yöntem	Referans	Hata Oranı (\pm) km
HVAR (Hırvatistan)	43,177600°	16,449000°	43,3	alıcı fonksiyonları	Stipcevic vd., 2011	
STON (Hırvatistan)	42,871000°	17,699900°	43,7	alıcı fonksiyonları	Stipcevic vd., 2011	
DBR (Hırvatistan)	42,647300°	18,078700°	49,7	alıcı fonksiyonları	Stipcevic vd., 2011	
STA (Hırvatistan)	42,600800°	18,318300°	45,2	alıcı fonksiyonları	Stipcevic vd., 2011	
SRB1 (Sırbistan)	45,800000°	19,400000°	24	gravite	Marovic vd., 2002	
SRB2 (Sırbistan)	45,800000°	19,600000°	23	gravite	Marovic vd., 2002	
SRB3 (Sırbistan)	45,800000°	19,800000°	23	gravite	Marovic vd., 2002	
SRB4 (Sırbistan)	45,600000°	19,400000°	24	gravite	Marovic vd., 2002	
SRB5 (Sırbistan)	45,600000°	19,600000°	23	gravite	Marovic vd., 2002	
SRB6 (Sırbistan)	45,600000°	19,800000°	24	gravite	Marovic vd., 2002	
SRB7 (Sırbistan)	45,400000°	19,400000°	24	gravite	Marovic vd., 2002	
SRB8 (Sırbistan)	45,400000°	19,600000°	24	gravite	Marovic vd., 2002	
SRB9 (Sırbistan)	45,400000°	19,800000°	24	gravite	Marovic vd., 2002	
SRB10 (Sırbistan)	45,200000°	19,600000°	24	gravite	Marovic vd., 2002	
SRB11 (Sırbistan)	45,200000°	19,800000°	24	gravite	Marovic vd., 2002	
SRB12 (Sırbistan)	45,800000°	20,200000°	24	gravite	Marovic vd., 2002	
SRB13 (Sırbistan)	45,800000°	20,400000°	24	gravite	Marovic vd., 2002	
SRB14 (Sırbistan)	45,800000°	20,600000°	25	gravite	Marovic vd., 2002	
SRB15 (Sırbistan)	45,600000°	20,200000°	24	gravite	Marovic vd., 2002	
SRB16 (Sırbistan)	45,600000°	20,400000°	24	gravite	Marovic vd., 2002	
SRB17 (Sırbistan)	45,600000°	20,600000°	25	gravite	Marovic vd., 2002	
SRB18 (Sırbistan)	45,400000°	20,200000°	24	gravite	Marovic vd., 2002	
SRB19 (Sırbistan)	45,400000°	20,400000°	24	gravite	Marovic vd., 2002	

Tablo 8.1. (Devamı)

Lokasyon	Enlem	Boylam	Kalınlık (km)	Yöntem	Referans	Hata Oranı (\pm) km
SRB20 (Sırbistan)	45,400000°	20,600000°	25	gravite	Marovic vd., 2002	
SRB21 (Sırbistan)	45,400000°	20,800000°	25	gravite	Marovic vd., 2002	
SRB22 (Sırbistan)	45,200000°	20,200000°	24	gravite	Marovic vd., 2002	
SRB23 (Sırbistan)	45,200000°	20,400000°	25	gravite	Marovic vd., 2002	
SRB24 (Sırbistan)	45,200000°	20,600000°	25	gravite	Marovic vd., 2002	
SRB25 (Sırbistan)	45,200000°	20,800000°	26	gravite	Marovic vd., 2002	
SRB26 (Sırbistan)	45,200000°	21,200000°	27	gravite	Marovic vd., 2002	
SRB27 (Sırbistan)	45,200000°	21,400000°	28	gravite	Marovic vd., 2002	
SRB28 (Sırbistan)	44,800000°	19,600000°	28	gravite	Marovic vd., 2002	
SRB29 (Sırbistan)	44,800000°	19,800000°	27	gravite	Marovic vd., 2002	
SRB30 (Sırbistan)	44,600000°	19,600000°	29	gravite	Marovic vd., 2002	
SRB31 (Sırbistan)	44,600000°	19,800000°	28	gravite	Marovic vd., 2002	
SRB32 (Sırbistan)	44,400000°	19,400000°	31	gravite	Marovic vd., 2002	
SRB33 (Sırbistan)	44,400000°	19,600000°	30	gravite	Marovic vd., 2002	
SRB34 (Sırbistan)	44,400000°	19,800000°	30	gravite	Marovic vd., 2002	
SRB35 (Sırbistan)	44,200000°	19,800000°	32	gravite	Marovic vd., 2002	
SRB36 (Sırbistan)	44,800000°	20,200000°	27	gravite	Marovic vd., 2002	
SRB37 (Sırbistan)	44,800000°	20,400000°	27	gravite	Marovic vd., 2002	
SRB38 (Sırbistan)	44,800000°	20,600000°	27	gravite	Marovic vd., 2002	
SRB39 (Sırbistan)	44,800000°	20,800000°	27	gravite	Marovic vd., 2002	
SRB40 (Sırbistan)	44,600000°	20,200000°	28	gravite	Marovic vd., 2002	
SRB41 (Sırbistan)	44,600000°	20,400000°	28	gravite	Marovic vd., 2002	
SRB42 (Sırbistan)	44,600000°	20,600000°	28	gravite	Marovic vd., 2002	

Tablo 8.1. (Devamı)

Lokasyon	Enlem	Boylam	Kalınlık (km)	Yöntem	Referans	Hata Oranı (\pm) km
SRB43 (Sırbistan)	44,600000°	20,800000°	28	gravite	Marovic vd., 2002	
SRB44 (Sırbistan)	44,400000°	20,200000°	29	gravite	Marovic vd., 2002	
SRB45 (Sırbistan)	44,400000°	20,400000°	29	gravite	Marovic vd., 2002	
SRB46 (Sırbistan)	44,400000°	20,600000°	29	gravite	Marovic vd., 2002	
SRB47 (Sırbistan)	44,400000°	20,800000°	29	gravite	Marovic vd., 2002	
SRB48 (Sırbistan)	44,200000°	20,200000°	30	gravite	Marovic vd., 2002	
SRB49 (Sırbistan)	44,200000°	20,400000°	30	gravite	Marovic vd., 2002	
SRB50 (Sırbistan)	44,200000°	20,600000°	30	gravite	Marovic vd., 2002	
SRB51 (Sırbistan)	44,200000°	20,800000°	29	gravite	Marovic vd., 2002	
SRB52 (Sırbistan)	44,800000°	21,200000°	28	gravite	Marovic vd., 2002	
SRB53 (Sırbistan)	44,600000°	21,200000°	28	gravite	Marovic vd., 2002	
SRB54 (Sırbistan)	44,600000°	21,400000°	28	gravite	Marovic vd., 2002	
SRB55 (Sırbistan)	44,600000°	21,600000°	29	gravite	Marovic vd., 2002	
SRB56 (Sırbistan)	44,600000°	21,800000°	31	gravite	Marovic vd., 2002	
SRB57 (Sırbistan)	44,400000°	21,200000°	28	gravite	Marovic vd., 2002	
SRB58 (Sırbistan)	44,400000°	21,400000°	29	gravite	Marovic vd., 2002	
SRB59 (Sırbistan)	44,400000°	21,600000°	30	gravite	Marovic vd., 2002	
SRB60 (Sırbistan)	44,400000°	21,800000°	31	gravite	Marovic vd., 2002	
SRB61 (Sırbistan)	44,200000°	21,200000°	29	gravite	Marovic vd., 2002	
SRB62 (Sırbistan)	44,200000°	21,400000°	29	gravite	Marovic vd., 2002	
SRB63 (Sırbistan)	44,200000°	21,600000°	31	gravite	Marovic vd., 2002	
SRB64 (Sırbistan)	44,200000°	21,800000°	31	gravite	Marovic vd., 2002	
SRB65 (Sırbistan)	44,400000°	22,200000°	33	gravite	Marovic vd., 2002	

Tablo 8.1. (Devamı)

Lokasyon	Enlem	Boylam	Kalınlık (km)	Yöntem	Referans	Hata Oranı (\pm) km
SRB66 (Sırbistan)	44,200000°	22,400000°	32	gravite	Marovic vd., 2002	
SRB67 (Sırbistan)	43,800000°	19,800000°	35	gravite	Marovic vd., 2002	
SRB68 (Sırbistan)	43,600000°	19,800000°	36	gravite	Marovic vd., 2002	
SRB69 (Sırbistan)	43,400000°	19,600000°	38	gravite	Marovic vd., 2002	
SRB70 (Sırbistan)	43,400000°	19,800000°	37	gravite	Marovic vd., 2002	
SRB71 (Sırbistan)	43,200000°	19,800000°	38	gravite	Marovic vd., 2002	
SRB72 (Sırbistan)	43,800000°	20,200000°	34	gravite	Marovic vd., 2002	
SRB73 (Sırbistan)	43,800000°	20,400000°	33	gravite	Marovic vd., 2002	
SRB74 (Sırbistan)	43,800000°	20,600000°	32	gravite	Marovic vd., 2002	
SRB75 (Sırbistan)	43,800000°	20,800000°	31	gravite	Marovic vd., 2002	
SRB76 (Sırbistan)	43,600000°	20,200000°	35	gravite	Marovic vd., 2002	
SRB77 (Sırbistan)	43,600000°	20,400000°	34	gravite	Marovic vd., 2002	
SRB78 (Sırbistan)	43,600000°	20,600000°	33	gravite	Marovic vd., 2002	
SRB79 (Sırbistan)	43,600000°	20,800000°	32	gravite	Marovic vd., 2002	
SRB80 (Sırbistan)	43,400000°	20,200000°	36	gravite	Marovic vd., 2002	
SRB81 (Sırbistan)	43,400000°	20,400000°	35	gravite	Marovic vd., 2002	
SRB82 (Sırbistan)	43,400000°	20,600000°	35	gravite	Marovic vd., 2002	
SRB83 (Sırbistan)	43,400000°	20,800000°	34	gravite	Marovic vd., 2002	
SRB84 (Sırbistan)	43,200000°	20,200000°	37	gravite	Marovic vd., 2002	
SRB85 (Sırbistan)	43,200000°	20,400000°	36	gravite	Marovic vd., 2002	
SRB86 (Sırbistan)	43,200000°	20,600000°	35	gravite	Marovic vd., 2002	
SRB87 (Sırbistan)	43,200000°	20,800000°	35	gravite	Marovic vd., 2002	
SRB88 (Sırbistan)	43,800000°	21,200000°	30	gravite	Marovic vd., 2002	

Tablo 8.1. (Devamı)

Lokasyon	Enlem	Boylam	Kalınlık (km)	Yöntem	Referans	Hata Oranı (\pm) km
SRB89 (Sırbistan)	43,800000°	21,400000°	30	gravite	Marovic vd., 2002	
SRB90 (Sırbistan)	43,800000°	21,600000°	31	gravite	Marovic vd., 2002	
SRB91 (Sırbistan)	43,800000°	21,800000°	31	gravite	Marovic vd., 2002	
SRB92 (Sırbistan)	43,600000°	21,200000°	31	gravite	Marovic vd., 2002	
SRB93 (Sırbistan)	43,600000°	21,400000°	31	gravite	Marovic vd., 2002	
SRB94 (Sırbistan)	43,600000°	21,600000°	31	gravite	Marovic vd., 2002	
SRB95 (Sırbistan)	43,600000°	21,800000°	32	gravite	Marovic vd., 2002	
SRB96 (Sırbistan)	43,400000°	21,200000°	32	gravite	Marovic vd., 2002	
SRB97 (Sırbistan)	43,400000°	21,400000°	32	gravite	Marovic vd., 2002	
SRB98 (Sırbistan)	43,400000°	21,600000°	32	gravite	Marovic vd., 2002	
SRB99 (Sırbistan)	43,400000°	21,800000°	32	gravite	Marovic vd., 2002	
SRB100 (Sırbistan)	43,200000°	21,200000°	33	gravite	Marovic vd., 2002	
SRB101 (Sırbistan)	43,200000°	21,400000°	33	gravite	Marovic vd., 2002	
SRB102 (Sırbistan)	43,200000°	21,600000°	33	gravite	Marovic vd., 2002	
SRB103 (Sırbistan)	43,200000°	21,800000°	33	gravite	Marovic vd., 2002	
SRB104 (Sırbistan)	43,600000°	22,200000°	32	gravite	Marovic vd., 2002	
SRB105 (Sırbistan)	43,400000°	22,200000°	33	gravite	Marovic vd., 2002	
SRB106 (Sırbistan)	43,200000°	22,200000°	33	gravite	Marovic vd., 2002	
MLR (Romanya)	45,492000°	25,946000°	45	alıcı fonksiyonları	Diehl vd., 2005	1,5
TIRR (Romanya)	44,458100°	28,413000°	35,5	alıcı fonksiyonları	Diehl vd., 2005	1,1
A02 (Romanya)	47,010800°	27,430000°	39	alıcı fonksiyonları	Diehl vd., 2005	0,7
A04 (Romanya)	46,693800°	27,125000°	35	alıcı fonksiyonları	Diehl vd., 2005	0,6
A06 (Romanya)	46,314800°	26,887000°	37,1	alıcı fonksiyonları	Diehl vd., 2005	0,9

Tablo 8.1. (Devamı)

Lokasyon	Enlem	Boylam	Kalınlık (km)	Yöntem	Referans	Hata Oranı (\pm) km
A18 (Romanya)	44,184000°	25,198000°	34,5	alıcı fonksiyonları	Diehl vd., 2005	0,6
A20 (Romanya)	43,825000°	24,838000°	27,5	alıcı fonksiyonları	Diehl vd., 2005	0,8
C03 (Romanya)	46,668500°	25,551000°	27,2	alıcı fonksiyonları	Diehl vd., 2005	2,1
C07 (Romanya)	45,928800°	24,926000°	38,4	alıcı fonksiyonları	Diehl vd., 2005	1,3
D07 (Romanya)	44,470000°	24,445000°	32,5	alıcı fonksiyonları	Diehl vd., 2005	0,7
D12 (Romanya)	44,308000°	25,086000°	35	alıcı fonksiyonları	Diehl vd., 2005	1,1
D15 (Romanya)	44,196000°	25,501000°	35	alıcı fonksiyonları	Diehl vd., 2005	1
D17 (Romanya)	44,170700°	26,135000°	32,5	alıcı fonksiyonları	Diehl vd., 2005	0,7
E02 (Romanya)	46,213200°	26,446000°	31,5	alıcı fonksiyonları	Diehl vd., 2005	1
E03 (Romanya)	46,103300°	26,831000°	35,7	alıcı fonksiyonları	Diehl vd., 2005	1
E05 (Romanya)	46,000200°	26,656000°	31,2	alıcı fonksiyonları	Diehl vd., 2005	1
E13 (Romanya)	46,029700°	26,055000°	34	alıcı fonksiyonları	Diehl vd., 2005	1
E17 (Romanya)	45,512200°	25,508000°	39	alıcı fonksiyonları	Diehl vd., 2005	1,4
E18 (Romanya)	45,437000°	25,049000°	35,4	alıcı fonksiyonları	Diehl vd., 2005	1,3
E21 (Romanya)	45,491000°	25,945000°	45,5	alıcı fonksiyonları	Diehl vd., 2005	1,1
E25 (Romanya)	45,327200°	26,738000°	31	alıcı fonksiyonları	Diehl vd., 2005	0,9
F01 (Romanya)	46,769800°	26,395000°	38,5	alıcı fonksiyonları	Diehl vd., 2005	0,9
F02 (Romanya)	46,511700°	26,649000°	34,9	alıcı fonksiyonları	Diehl vd., 2005	1,1
F04 (Romanya)	46,746800°	27,660000°	34,9	alıcı fonksiyonları	Diehl vd., 2005	1,2
F05 (Romanya)	46,307300°	27,299000°	40,6	alıcı fonksiyonları	Diehl vd., 2005	1,5
F06 (Romanya)	46,312200°	27,579000°	33,6	alıcı fonksiyonları	Diehl vd., 2005	0,9
F10 (Romanya)	45,676000°	28,004000°	44,3	alıcı fonksiyonları	Diehl vd., 2005	1,3
S01 (Romanya)	47,097200°	26,926000°	34,9	alıcı fonksiyonları	Diehl vd., 2005	1,1

Tablo 8.1. (Devamı)

Lokasyon	Enlem	Boylam	Kalınlık (km)	Yöntem	Referans	Hata Oranı (\pm) km
S03 (Romanya)	46,804500°	25,909000°	34,5	alıcı fonksiyonları	Diehl vd., 2005	1,1
S07 (Romanya)	46,090300°	25,692000°	27,4	alıcı fonksiyonları	Diehl vd., 2005	1,1
D (Romanya)	45,908000°	26,690000°	39,7	sismik kırılma	Raileanu vd., 2005	
E (Romanya)	45,691000°	26,646000°	40,7	sismik kırılma	Raileanu vd., 2005	
F (Romanya)	45,604000°	26,505000°	41	sismik kırılma	Raileanu vd., 2005	
G (Romanya)	45,466000°	26,439000°	41	sismik kırılma	Raileanu vd., 2005	
H (Romanya)	45,196000°	26,397000°	41	sismik kırılma	Raileanu vd., 2005	
K (Romanya)	45,090000°	26,400000°	41	sismik kırılma	Raileanu vd., 2005	
L (Romanya)	44,890000°	26,350000°	41	sismik kırılma	Raileanu vd., 2005	
M (Romanya)	44,629000°	26,300000°	39	sismik kırılma	Raileanu vd., 2005	
R (Romanya)	45,354000°	27,796000°	44,4	Sismik Kırılma	Hauser vd., 2007	
S (Romanya)	45,443000°	27,369000°	45,1	Sismik Kırılma	Hauser vd., 2007	
T (Romanya)	45,609000°	26,697000°	43,9	Sismik Kırılma	Hauser vd., 2007	
U (Romanya)	45,778000°	26,226000°	33,4	Sismik Kırılma	Hauser vd., 2007	
W (Romanya)	45,965000°	25,672000°	34,5	Sismik Kırılma	Hauser vd., 2007	
RUSSK1 (Rusya)	44,200000°	46,000000°	40	Sismik Kırılma, gravite*	Yegorova vd., 2004	1
RUSSK2 (Rusya)	46,000000°	46,000000°	49	Sismik Kırılma, gravite*	Yegorova vd., 2004	1
RUSSK3 (Rusya)	47,000000°	46,000000°	46	Sismik Kırılma, gravite*	Yegorova vd., 2004	1
AGAK (Karadeniz)	40,900400°	32,030500°	25	tomografik ters çözüm	Turhan, 2008	
ATYA (Karadeniz)	40,774600°	31,505100°	25	tomografik ters çözüm	Turhan, 2008	
BEYD (Karadeniz)	40,159500°	31,005200°	36	tomografik ters çözüm	Turhan, 2008	
ULUS (Karadeniz)	41,607500°	32,721600°	35	tomografik ters çözüm	Turhan, 2008	
ALTM (Marmara)	41,088000°	28,740000°	33,797	alıcı fonksiyonları	Büyükakpınar,2013	0,62

Tablo 8.1. (Devamı)

Lokasyon	Enlem	Boylam	Kalınlık (km)	Yöntem	Referans	Hata Oranı (\pm) km
ATIM (Marmara)	40,083000°	27,563300°	30,597	alıcı fonksiyonları	Büyükakpınar,2013	0,33
BOZM (Marmara)	40,534000°	28,782000°	32,506	alıcı fonksiyonları	Büyükakpınar,2013	0,33
BUYM (Marmara)	40,852300°	29,118000°	32,11	alıcı fonksiyonları	Büyükakpınar,2013	0,48
BZGM (Marmara)	40,172700°	26,986500°	31,294	alıcı fonksiyonları	Büyükakpınar,2013	0,6
CTKS (Marmara)	41,237300°	28,507200°	32,744	alıcı fonksiyonları	Büyükakpınar,2013	0,33
CTYL (Marmara)	41,476000°	28,289700°	33,348	alıcı fonksiyonları	Büyükakpınar,2013	0,62
ESKM (Marmara)	40,606800°	28,945300°	32,354	alıcı fonksiyonları	Büyükakpınar,2013	0,39
GELI (Marmara)	40,398000°	26,476200°	32,645	alıcı fonksiyonları	Büyükakpınar,2013	0,6
IGDM (Marmara)	40,264000°	29,201300°	32,246	alıcı fonksiyonları	Büyükakpınar,2013	0,77
KMRM (Marmara)	40,418000°	27,069000°	33,896	alıcı fonksiyonları	Büyükakpınar,2013	0,62
KNLM (Marmara)	40,270000°	27,526000°	31,949	alıcı fonksiyonları	Büyükakpınar,2013	0,48
MARM (Marmara)	40,967000°	27,961000°	27,308	alıcı fonksiyonları	Büyükakpınar,2013	0,33
MYCM (Marmara)	41,032500°	27,713300°	32,404	alıcı fonksiyonları	Büyükakpınar,2013	0,77
NEVM (Marmara)	39,954000°	27,263000°	31,496	alıcı fonksiyonları	Büyükakpınar,2013	0,6
SBT1 (Marmara)	40,704200°	29,151700°	32,902	alıcı fonksiyonları	Büyükakpınar,2013	0,62
SBT4 (Marmara)	40,828300°	27,535000°	25,999	alıcı fonksiyonları	Büyükakpınar,2013	0,62
SBT5 (Marmara)	40,631100°	28,880400°	31,045	alıcı fonksiyonları	Büyükakpınar,2013	0,77
SGTM (Marmara)	40,766800°	27,107800°	33,899	alıcı fonksiyonları	Büyükakpınar,2013	0,66
SLVM (Marmara)	41,073100°	28,140300°	30,846	alıcı fonksiyonları	Büyükakpınar,2013	0,48
TRNM (Marmara)	40,505000°	27,778000°	27,299	alıcı fonksiyonları	Büyükakpınar,2013	0,33
ARMT (Marmara)	40,568300°	29,866000°	32,939	alıcı fonksiyonları	Büyükakpınar,2013	1,34
BGKT (Marmara)	41,181000°	28,773000°	32,151	alıcı fonksiyonları	Büyükakpınar,2013	0,33
ELBA (Marmara)	41,146900°	28,430700°	32,798	alıcı fonksiyonları	Büyükakpınar,2013	0,62

Tablo 8.1. (Devamı)

Lokasyon	Enlem	Boylam	Kalınlık (km)	Yöntem	Referans	Hata Oranı (\pm) km
EDC (Marmara)	40,346800°	27,863300°	32,5	alıcı fonksiyonları	Büyükakpınar,2013	0,48
ENEZ (Marmara)	40,736200°	26,153000°	28,129	alıcı fonksiyonları	Büyükakpınar,2013	0,33
ERIK (Marmara)	40,670800°	26,513200°	32,795	alıcı fonksiyonları	Büyükakpınar,2013	0,5
GADA (Ege Adası)	40,190800°	25,898700°	32,465	alıcı fonksiyonları	Büyükakpınar,2013	0,48
GEMT (Marmara)	40,435000°	29,189000°	32,997	alıcı fonksiyonları	Büyükakpınar,2013	0,62
ISK (Marmara)	41,065700°	29,059200°	29,299	alıcı fonksiyonları	Büyükakpınar,2013	0,62
KCTX (Marmara)	40,262500°	28,335300°	28,388	alıcı fonksiyonları	Büyükakpınar,2013	0,62
KLYT (Marmara)	41,253000°	29,042000°	30,052	alıcı fonksiyonları	Büyükakpınar,2013	0,33
LAP (Marmara)	40,372700°	26,760200°	30,303	alıcı fonksiyonları	Büyükakpınar,2013	0,62
MDNY (Marmara)	40,370800°	28,884700°	33,499	alıcı fonksiyonları	Büyükakpınar,2013	0,33
ShotK1	40,087271°	33,650529°	37	sismik kırılma	Toksoz, 2003	1
ShotK2	40,458406°	33,665952°	37	sismik kırılma	Toksoz, 2003	1
ShotK3	40,809792°	33,679825°	36,5	sismik kırılma	Toksoz, 2003	1
ShotK4	41,167458°	33,695144°	33	sismik kırılma	Toksoz, 2003	1
ShotK5	41,513868°	33,712584°	32,5	sismik kırılma	Toksoz, 2003	1
ShotD1	39,446345°	33,953385°	37	sismik kırılma	Toksoz, 2003	1
ShotD2	39,181054°	34,266578°	37	sismik kırılma	Toksoz, 2003	1
ShotD3	38,922301°	34,575603°	36	sismik kırılma	Toksoz, 2003	1
ShotD4	38,655972°	34,886622°	33,5	sismik kırılma	Toksoz, 2003	1
ShotD5	38,377673°	35,195205°	35	sismik kırılma	Toksoz, 2003	1
KUTE	38,304600°	48,854000°	55	sismik tomografi	Bavalli, 2016	1
BALI	38,305500°	48,716100°	55,8	sismik tomografi	Bavalli, 2016	1
SOHA	38,260100°	48,643700°	56,4	sismik tomografi	Bavalli, 2016	1

Tablo 8.1. (Devamı)

Lokasyon	Enlem	Boylam	Kalınlık (km)	Yöntem	Referans	Hata Oranı (\pm) km
IRIL	38,223600°	48,578100°	53,3	sismik tomografi	Bavalli, 2016	1
IVRI	38,178200°	48,528000°	51,3	sismik tomografi	Bavalli, 2016	1
ZARD	38,135300°	48,286900°	51,6	sismik tomografi	Bavalli, 2016	1
DEIM	38,057400°	48,125600°	46,6	sismik tomografi	Bavalli, 2016	1
BALK	38,021500°	47,889000°	50	sismik tomografi	Bavalli, 2016	1
SORK	37,970000°	47,717700°	47,9	sismik tomografi	Bavalli, 2016	1
MIRK	38,058800°	47,543700°	47	sismik tomografi	Bavalli, 2016	1
BOLA	38,136300°	47,347400°	47,1	sismik tomografi	Bavalli, 2016	1
SHAD	38,067300°	47,163600°	46,6	sismik tomografi	Bavalli, 2016	1
SEGI	37,999300°	46,921300°	51,6	sismik tomografi	Bavalli, 2016	1
ALVA	37,980200°	46,745000°	46,7	sismik tomografi	Bavalli, 2016	1
SHEB	37,953200°	46,646400°	47	sismik tomografi	Bavalli, 2016	1
IRAN	37,902000°	46,585800°	52	sismik tomografi	Bavalli, 2016	1
BIRG	37,886300°	46,467000°	46	sismik tomografi	Bavalli, 2016	1
A000	37,858300°	46,314500°	46,1	sismik tomografi	Bavalli, 2016	1
ESFN	37,906300°	46,174800°	45,6	sismik tomografi	Bavalli, 2016	1
BEIG	37,913400°	45,973700°	43,4	sismik tomografi	Bavalli, 2016	1
KHOR	37,876000°	45,784200°	42,3	sismik tomografi	Bavalli, 2016	1
SARA	37,863400°	45,565400°	41,3	sismik tomografi	Bavalli, 2016	1
44201 (Macaristan)	47,466746°	20,471913°	23	sismik kırılma	Hrubcova vd., 2010	0,5
MarGR1 (Marmara B.)	41,250000°	26,500000°	29	gravite	Kende vd., 2017	0,2
MarGR2 (Marmara B.)	41,250000°	27,000000°	28,5	gravite	Kende vd., 2017	0,2
MarGR3 (Marmara B.)	41,250000°	27,500000°	28	gravite	Kende vd., 2017	0,2

Tablo 8.1. (Devamı)

Lokasyon	Enlem	Boylam	Kalınlık (km)	Yöntem	Referans	Hata Oranı (\pm) km
MarGR4 (Marmara B.)	41,000000°	26,500000°	29	gravite	Kende vd., 2017	0,2
MarGR5 (Marmara B.)	41,000000°	27,000000°	29,5	gravite	Kende vd., 2017	0,2
MarGR6 (Marmara B.)	41,250000°	28,000000°	29,5	gravite	Kende vd., 2017	0,2
SP15101 (Ukranya)	45,681940°	28,707500°	38,5	sismik kırılma, sismik yansıma	Starostenko vd., 2013	0,5
SP15102 (Ukranya)	45,932220°	29,125830°	39	sismik kırılma, sismik yansıma	Starostenko vd., 2013	0,5
SP15103 (Ukranya)	46,186670°	29,545280°	35	sismik kırılma, sismik yansıma	Starostenko vd., 2013	0,5
SP15104 (Ukranya)	46,371940°	29,957500°	33	sismik kırılma, sismik yansıma	Starostenko vd., 2013	0,5
SP15105 (Ukranya)	46,586940°	30,348060°	42	sismik kırılma, sismik yansıma	Starostenko vd., 2013	0,5
SP15106 (Ukranya)	46,806940°	30,732780°	48	sismik kırılma, sismik yansıma	Starostenko vd., 2013	0,5
SP15107 (Ukranya)	47,017220°	31,141110°	36	sismik kırılma, sismik yansıma	Starostenko vd., 2013	0,5
SP15108 (Ukranya)	47,224440°	31,558330°	38,5	sismik kırılma, sismik yansıma	Starostenko vd., 2013	0,5
SP15109 (Ukranya)	47,468890°	32,068890°	40	sismik kırılma, sismik yansıma	Starostenko vd., 2013	0,5
SP15110 (Ukranya)	47,732220°	32,539440°	36,5	sismik kırılma, sismik yansıma	Starostenko vd., 2013	0,5
SP15201 (Ukranya)	45,463000°	29,097000°	38,5	sismik kırılma, sismik yansıma	Starostenko vd., 2015	0,5
SP15202	45,448000°	32,580000°	32,5	sismik kırılma, sismik yansıma	Starostenko vd., 2015	0,5
SP15203	45,418000°	33,195000°	35,5	sismik kırılma, sismik yansıma	Starostenko vd., 2015	0,5
SP15204	45,376000°	33,879000°	40,5	sismik kırılma, sismik yansıma	Starostenko vd., 2015	0,5
SP15205	45,343000°	34,470000°	44	sismik kırılma, sismik yansıma	Starostenko vd., 2015	0,5
SP15206	45,293000°	35,132000°	47,5	sismik kırılma, sismik yansıma	Starostenko vd., 2015	0,5
OBH1	45,269220°	30,205040°	38,5	sismik kırılma, sismik yansıma	Starostenko vd., 2015	0,5
OBH2	45,294780°	30,707510°	37	sismik kırılma, sismik yansıma	Starostenko vd., 2015	0,5
OBH3	45,300500°	30,826180°	36,5	sismik kırılma, sismik yansıma	Starostenko vd., 2015	0,5
OBH4	45,307000°	30,964430°	36	sismik kırılma, sismik yansıma	Starostenko vd., 2015	0,5

Tablo 8.1. (Devamı)

Lokasyon	Enlem	Boylam	Kalınlık (km)	Yöntem	Referans	Hata Oranı (\pm) km
OBH5	45,322620°	31,312610°	35	sismik kırılma, sismik yansıma	Starostenko vd., 2015	0,5
OBH6	45,342500°	31,795060°	34	sismik kırılma, sismik yansıma	Starostenko vd., 2015	0,5
OBH7	45,360380°	32,278620°	32,5	sismik kırılma, sismik yansıma	Starostenko vd., 2015	0,5
LS8	45,345050°	32,549000°	32,5	sismik kırılma, sismik yansıma	Starostenko vd., 2015	0,5
LS9	45,381580°	32,943100°	34	sismik kırılma, sismik yansıma	Starostenko vd., 2015	0,5
4F06 (Romanya)	47,340000°	22,180000°	29	alıcı fonksiyonları	Bala vd., 2016	1
4E08 (Romanya)	46,350000°	22,140000°	30	alıcı fonksiyonları	Bala vd., 2016	1
4E09 (Romanya)	46,060000°	22,450000°	31	alıcı fonksiyonları	Bala vd., 2016	1
4F07 (Romanya)	47,050000°	22,480000°	30	alıcı fonksiyonları	Bala vd., 2016	1
4F09 (Romanya)	46,500000°	23,040000°	32	alıcı fonksiyonları	Bala vd., 2016	2
BURAR (Romanya)	47,644000°	25,200000°	32	alıcı fonksiyonları	Bala vd., 2016	1
DRGR (Romanya)	46,791000°	22,711000°	32,5	alıcı fonksiyonları	Bala vd., 2016	1
BMR (Romanya)	47,673000°	23,496000°	30	alıcı fonksiyonları	Bala vd., 2016	1
ARR (Romanya)	45,340000°	24,620000°	29	alıcı fonksiyonları	Bala vd., 2016	1
DEV (Romanya)	45,887000°	22,898000°	33	alıcı fonksiyonları	Bala vd., 2016	0,5
GZR (Romanya)	45,393000°	22,776000°	36	alıcı fonksiyonları	Bala vd., 2016	2
BZS (Romanya)	45,618000°	21,640000°	29	alıcı fonksiyonları	Bala vd., 2016	1
SIRR (Romanya)	46,240000°	21,660000°	28	alıcı fonksiyonları	Bala vd., 2016	1
LOT (Romanya)	45,440000°	23,770000°	31	alıcı fonksiyonları	Bala vd., 2016	1
KB1	49,000000°	35,000000°	42	gravite	Kaban, 2002	0,5
KB2	49,000000°	35,500000°	39	gravite	Kaban, 2002	0,5
KB3	49,000000°	36,000000°	39	gravite	Kaban, 2002	0,5
KB4	49,000000°	36,500000°	40	gravite	Kaban, 2002	0,5

Tablo 8.1. (Devamı)

Lokasyon	Enlem	Boylam	Kalınlık (km)	Yöntem	Referans	Hata Oranı (\pm) km
KB5	49,000000°	37,000000°	42	gravite	Kaban, 2002	0,5
KB6	49,000000°	37,500000°	42,5	gravite	Kaban, 2002	0,5
KB7	49,000000°	38,000000°	42	gravite	Kaban, 2002	0,5
KB8	49,000000°	38,500000°	42	gravite	Kaban, 2002	0,5
KB12	49,000000°	40,500000°	44	gravite	Kaban, 2002	0,5
KB13	49,000000°	41,000000°	44	gravite	Kaban, 2002	0,5
KB14	49,000000°	41,500000°	44	gravite	Kaban, 2002	0,5
KB15	49,000000°	42,000000°	44	gravite	Kaban, 2002	0,5
KB16	49,000000°	42,500000°	43,5	gravite	Kaban, 2002	0,5
KB17	49,000000°	43,000000°	41	gravite	Kaban, 2002	0,5
KB18	49,000000°	43,500000°	40	gravite	Kaban, 2002	0,5
KB19	49,000000°	44,000000°	38,5	gravite	Kaban, 2002	0,5
KB20	49,000000°	44,500000°	38	gravite	Kaban, 2002	0,5
KB21	49,000000°	45,000000°	37	gravite	Kaban, 2002	0,5
KB22	49,000000°	45,500000°	35,5	gravite	Kaban, 2002	0,5
KB23	49,000000°	46,000000°	34,5	gravite	Kaban, 2002	0,5
KB24	49,000000°	46,500000°	34	gravite	Kaban, 2002	0,5
KB25	49,000000°	47,000000°	34	gravite	Kaban, 2002	0,5
KB26	49,000000°	47,500000°	34	gravite	Kaban, 2002	0,5
KB27	49,000000°	48,000000°	34	gravite	Kaban, 2002	0,5
KB28	49,000000°	48,500000°	34,5	gravite	Kaban, 2002	0,5
KB29	49,000000°	49,000000°	35	gravite	Kaban, 2002	0,5
KB30	49,000000°	49,500000°	35,5	gravite	Kaban, 2002	0,5

Tablo 8.1. (Devamı)

Lokasyon	Enlem	Boylam	Kalınlık (km)	Yöntem	Referans	Hata Oranı (\pm) km
KB31	49,000000°	50,000000°	36	gravite	Kaban, 2002	0,5
KB32	49,000000°	50,500000°	36	gravite	Kaban, 2002	0,5
KB33	49,000000°	51,000000°	36	gravite	Kaban, 2002	0,5
KB34	49,000000°	51,500000°	36	gravite	Kaban, 2002	0,5
KB35	49,000000°	52,000000°	36	gravite	Kaban, 2002	0,5
KB36	49,000000°	52,500000°	35,5	gravite	Kaban, 2002	0,5
KB37	49,000000°	53,000000°	35,5	gravite	Kaban, 2002	0,5
KB38	49,000000°	53,500000°	35,5	gravite	Kaban, 2002	0,5
KB39	49,000000°	54,000000°	35,5	gravite	Kaban, 2002	0,5
KB40	49,000000°	54,500000°	36	gravite	Kaban, 2002	0,5
KB41	49,000000°	55,000000°	36,5	gravite	Kaban, 2002	0,5
KB42	48,500000°	35,000000°	42	gravite	Kaban, 2002	0,5
KB43	48,500000°	35,500000°	40	gravite	Kaban, 2002	0,5
KB44	48,500000°	36,000000°	44,5	gravite	Kaban, 2002	0,5
KB45	48,500000°	36,500000°	44	gravite	Kaban, 2002	0,5
KB51	48,500000°	39,500000°	44	gravite	Kaban, 2002	0,5
KB52	48,500000°	40,000000°	44	gravite	Kaban, 2002	0,5
KB53	48,500000°	40,500000°	44	gravite	Kaban, 2002	0,5
KB54	48,500000°	41,000000°	44	gravite	Kaban, 2002	0,5
KB55	48,500000°	41,500000°	44	gravite	Kaban, 2002	0,5
KB56	48,500000°	42,000000°	44	gravite	Kaban, 2002	0,5
KB57	48,500000°	42,500000°	43,5	gravite	Kaban, 2002	0,5
KB58	48,500000°	43,000000°	41	gravite	Kaban, 2002	0,5

Tablo 8.1. (Devamı)

Lokasyon	Enlem	Boylam	Kalınlık (km)	Yöntem	Referans	Hata Oranı (\pm) km
KB59	48,500000°	43,500000°	40	gravite	Kaban, 2002	0,5
KB60	48,500000°	44,000000°	39	gravite	Kaban, 2002	0,5
KB61	48,500000°	44,500000°	38	gravite	Kaban, 2002	0,5
KB62	48,500000°	45,000000°	36	gravite	Kaban, 2002	0,5
KB63	48,500000°	45,500000°	35	gravite	Kaban, 2002	0,5
KB64	48,500000°	46,000000°	35	gravite	Kaban, 2002	0,5
KB65	48,500000°	46,500000°	34	gravite	Kaban, 2002	0,5
KB66	48,500000°	47,000000°	35	gravite	Kaban, 2002	0,5
KB67	48,500000°	47,500000°	35	gravite	Kaban, 2002	0,5
KB68	48,500000°	48,000000°	35,5	gravite	Kaban, 2002	0,5
KB69	48,500000°	48,500000°	36	gravite	Kaban, 2002	0,5
KB70	48,500000°	49,000000°	38	gravite	Kaban, 2002	0,5
KB71	48,500000°	49,500000°	40	gravite	Kaban, 2002	0,5
KB72	48,500000°	50,000000°	40	gravite	Kaban, 2002	0,5
KB73	48,500000°	50,500000°	41	gravite	Kaban, 2002	0,5
KB74	48,500000°	51,000000°	40	gravite	Kaban, 2002	0,5
KB75	48,500000°	51,500000°	40	gravite	Kaban, 2002	0,5
KB76	48,500000°	52,000000°	38,5	gravite	Kaban, 2002	0,5
KB77	48,500000°	52,500000°	37,5	gravite	Kaban, 2002	0,5
KB78	48,500000°	53,000000°	37,5	gravite	Kaban, 2002	0,5
KB79	48,500000°	53,500000°	37,5	gravite	Kaban, 2002	0,5
KB80	48,500000°	54,000000°	40	gravite	Kaban, 2002	0,5
KB81	48,500000°	54,500000°	40	gravite	Kaban, 2002	0,5

Tablo 8.1. (Devamı)

Lokasyon	Enlem	Boylam	Kalınlık (km)	Yöntem	Referans	Hata Oranı (\pm) km
KB82	48,500000°	55,000000°	39	gravite	Kaban, 2002	0,5
KB83	48,000000°	35,000000°	42	gravite	Kaban, 2002	0,5
KB84	48,000000°	35,500000°	42	gravite	Kaban, 2002	0,5
KB85	48,000000°	36,000000°	45	gravite	Kaban, 2002	0,5
KB86	48,000000°	36,500000°	44	gravite	Kaban, 2002	0,5
KB87	48,000000°	37,000000°	40,5	gravite	Kaban, 2002	0,5
KB88	48,000000°	37,500000°	39,5	gravite	Kaban, 2002	0,5
KB93	48,000000°	40,000000°	44	gravite	Kaban, 2002	0,5
KB94	48,000000°	40,500000°	44	gravite	Kaban, 2002	0,5
KB95	48,000000°	41,000000°	44	gravite	Kaban, 2002	0,5
KB96	48,000000°	41,500000°	44	gravite	Kaban, 2002	0,5
KB97	48,000000°	42,000000°	43,5	gravite	Kaban, 2002	0,5
KB98	48,000000°	42,500000°	43	gravite	Kaban, 2002	0,5
KB99	48,000000°	43,000000°	41	gravite	Kaban, 2002	0,5
KB100	48,000000°	43,500000°	40	gravite	Kaban, 2002	0,5
KB101	48,000000°	44,000000°	40	gravite	Kaban, 2002	0,5
KB102	48,000000°	44,500000°	39	gravite	Kaban, 2002	0,5
KB103	48,000000°	45,000000°	36	gravite	Kaban, 2002	0,5
KB104	48,000000°	45,500000°	36	gravite	Kaban, 2002	0,5
KB105	48,000000°	46,000000°	35	gravite	Kaban, 2002	0,5
KB106	48,000000°	46,500000°	35	gravite	Kaban, 2002	0,5
KB107	48,000000°	47,000000°	35,5	gravite	Kaban, 2002	0,5
KB108	48,000000°	47,500000°	36	gravite	Kaban, 2002	0,5

Tablo 8.1. (Devamı)

Lokasyon	Enlem	Boylam	Kalınlık (km)	Yöntem	Referans	Hata Oranı (\pm) km
KB109	48,000000°	48,000000°	37	gravite	Kaban, 2002	0,5
KB110	48,000000°	48,500000°	39	gravite	Kaban, 2002	0,5
KB111	48,000000°	49,000000°	40	gravite	Kaban, 2002	0,5
KB112	48,000000°	49,500000°	40	gravite	Kaban, 2002	0,5
KB113	48,000000°	50,000000°	40,5	gravite	Kaban, 2002	0,5
KB114	48,000000°	50,500000°	40,5	gravite	Kaban, 2002	0,5
KB115	48,000000°	51,000000°	40,5	gravite	Kaban, 2002	0,5
KB116	48,000000°	51,500000°	40	gravite	Kaban, 2002	0,5
KB117	48,000000°	52,000000°	40	gravite	Kaban, 2002	0,5
KB118	48,000000°	52,500000°	39,5	gravite	Kaban, 2002	0,5
KB119	48,000000°	53,000000°	39	gravite	Kaban, 2002	0,5
KB120	48,000000°	53,500000°	39,5	gravite	Kaban, 2002	0,5
KB121	48,000000°	54,000000°	39,5	gravite	Kaban, 2002	0,5
KB122	48,000000°	54,500000°	40	gravite	Kaban, 2002	0,5
KB123	48,000000°	55,000000°	41	gravite	Kaban, 2002	0,5
KB124	47,500000°	35,000000°	40	gravite	Kaban, 2002	0,5
KB125	47,500000°	35,500000°	43	gravite	Kaban, 2002	0,5
KB126	47,500000°	36,000000°	43	gravite	Kaban, 2002	0,5
KB127	47,500000°	36,500000°	40,5	gravite	Kaban, 2002	0,5
KB128	47,500000°	37,000000°	39,5	gravite	Kaban, 2002	0,5
KB129	47,500000°	37,500000°	39,5	gravite	Kaban, 2002	0,5
KB134	47,500000°	40,000000°	44,5	gravite	Kaban, 2002	0,5
KB135	47,500000°	40,500000°	44,5	gravite	Kaban, 2002	0,5

Tablo 8.1. (Devamı)

Lokasyon	Enlem	Boylam	Kalınlık (km)	Yöntem	Referans	Hata Oranı (\pm) km
KB136	47,500000°	41,000000°	44	gravite	Kaban, 2002	0,5
KB137	47,500000°	41,500000°	44	gravite	Kaban, 2002	0,5
KB138	47,500000°	42,000000°	44	gravite	Kaban, 2002	0,5
KB139	47,500000°	42,500000°	43	gravite	Kaban, 2002	0,5
KB140	47,500000°	43,000000°	42	gravite	Kaban, 2002	0,5
KB141	47,500000°	43,500000°	41	gravite	Kaban, 2002	0,5
KB142	47,500000°	44,000000°	40	gravite	Kaban, 2002	0,5
KB143	47,500000°	44,500000°	39	gravite	Kaban, 2002	0,5
KB144	47,500000°	45,000000°	38	gravite	Kaban, 2002	0,5
KB145	47,500000°	45,500000°	37	gravite	Kaban, 2002	0,5
KB146	47,500000°	46,000000°	36,5	gravite	Kaban, 2002	0,5
KB147	47,500000°	46,500000°	36	gravite	Kaban, 2002	0,5
KB148	47,500000°	47,000000°	37	gravite	Kaban, 2002	0,5
KB149	47,500000°	47,500000°	39	gravite	Kaban, 2002	0,5
KB150	47,500000°	48,000000°	40	gravite	Kaban, 2002	0,5
KB151	47,500000°	48,500000°	40,5	gravite	Kaban, 2002	0,5
KB152	47,500000°	49,000000°	40,5	gravite	Kaban, 2002	0,5
KB153	47,500000°	49,500000°	40	gravite	Kaban, 2002	0,5
KB154	47,500000°	50,000000°	40	gravite	Kaban, 2002	0,5
KB155	47,500000°	50,500000°	40	gravite	Kaban, 2002	0,5
KB156	47,500000°	51,000000°	40	gravite	Kaban, 2002	0,5
KB157	47,500000°	51,500000°	40	gravite	Kaban, 2002	0,5
KB158	47,500000°	52,000000°	40	gravite	Kaban, 2002	0,5

Tablo 8.1. (Devamı)

Lokasyon	Enlem	Boylam	Kalınlık (km)	Yöntem	Referans	Hata Oranı (\pm) km
KB159	47,500000°	52,500000°	40	gravite	Kaban, 2002	0,5
KB160	47,500000°	53,000000°	40	gravite	Kaban, 2002	0,5
KB161	47,500000°	53,500000°	40,5	gravite	Kaban, 2002	0,5
KB162	47,500000°	54,000000°	41	gravite	Kaban, 2002	0,5
KB163	47,500000°	54,500000°	42	gravite	Kaban, 2002	0,5
KB164	47,500000°	55,000000°	42	gravite	Kaban, 2002	0,5
KB165	47,000000°	35,000000°	39	gravite	Kaban, 2002	0,5
KB166	47,000000°	35,500000°	39	gravite	Kaban, 2002	0,5
KB167	47,000000°	36,000000°	39	gravite	Kaban, 2002	0,5
KB168	47,000000°	36,500000°	39	gravite	Kaban, 2002	0,5
KB169	47,000000°	37,000000°	38,5	gravite	Kaban, 2002	0,5
KB170	47,000000°	37,500000°	38,5	gravite	Kaban, 2002	0,5
KB171	47,000000°	38,000000°	39	gravite	Kaban, 2002	0,5
KB172	47,000000°	38,500000°	40	gravite	Kaban, 2002	0,5
KB173	47,000000°	39,000000°	40	gravite	Kaban, 2002	0,5
KB174	47,000000°	39,500000°	40,5	gravite	Kaban, 2002	0,5
KB175	47,000000°	40,000000°	44	gravite	Kaban, 2002	0,5
KB176	47,000000°	40,500000°	44	gravite	Kaban, 2002	0,5
KB177	47,000000°	41,000000°	44	gravite	Kaban, 2002	0,5
KB178	47,000000°	41,500000°	44	gravite	Kaban, 2002	0,5
KB179	47,000000°	42,000000°	44	gravite	Kaban, 2002	0,5
KB180	47,000000°	42,500000°	44	gravite	Kaban, 2002	0,5
KB181	47,000000°	43,000000°	43	gravite	Kaban, 2002	0,5

Tablo 8.1. (Devamı)

Lokasyon	Enlem	Boylam	Kalınlık (km)	Yöntem	Referans	Hata Oranı (\pm) km
KB182	47,000000°	43,500000°	42	gravite	Kaban, 2002	0,5
KB183	47,000000°	44,000000°	41	gravite	Kaban, 2002	0,5
KB184	47,000000°	44,500000°	40	gravite	Kaban, 2002	0,5
KB189	47,000000°	47,500000°	40	gravite	Kaban, 2002	0,5
KB190	47,000000°	48,000000°	40	gravite	Kaban, 2002	0,5
KB191	47,000000°	48,500000°	40	gravite	Kaban, 2002	0,5
KB192	47,000000°	49,000000°	40	gravite	Kaban, 2002	0,5
KB193	47,000000°	49,500000°	40	gravite	Kaban, 2002	0,5
KB194	47,000000°	50,000000°	40	gravite	Kaban, 2002	0,5
KB195	47,000000°	50,500000°	40	gravite	Kaban, 2002	0,5
KB196	47,000000°	51,000000°	40	gravite	Kaban, 2002	0,5
KB197	47,000000°	51,500000°	40	gravite	Kaban, 2002	0,5
KB198	47,000000°	52,000000°	40	gravite	Kaban, 2002	0,5
KB199	47,000000°	52,500000°	40	gravite	Kaban, 2002	0,5
KB200	47,000000°	53,000000°	40,5	gravite	Kaban, 2002	0,5
KB201	47,000000°	53,500000°	40,5	gravite	Kaban, 2002	0,5
KB202	47,000000°	54,000000°	41,5	gravite	Kaban, 2002	0,5
KB203	47,000000°	54,500000°	42	gravite	Kaban, 2002	0,5
KB204	47,000000°	55,000000°	42,5	gravite	Kaban, 2002	0,5
KB205	46,500000°	35,000000°	38	gravite	Kaban, 2002	0,5
KB206	46,500000°	35,500000°	37,5	gravite	Kaban, 2002	0,5
KB207	46,500000°	36,000000°	37	gravite	Kaban, 2002	0,5
KB208	46,500000°	36,500000°	37	gravite	Kaban, 2002	0,5

Tablo 8.1. (Devamı)

Lokasyon	Enlem	Boylam	Kalınlık (km)	Yöntem	Referans	Hata Oranı (\pm) km
KB209	46,500000°	37,000000°	36,5	gravite	Kaban, 2002	0,5
KB210	46,500000°	37,500000°	36,5	gravite	Kaban, 2002	0,5
KB211	46,500000°	38,000000°	36,5	gravite	Kaban, 2002	0,5
KB212	46,500000°	38,500000°	36,5	gravite	Kaban, 2002	0,5
KB213	46,500000°	39,000000°	37	gravite	Kaban, 2002	0,5
KB214	46,500000°	39,500000°	38	gravite	Kaban, 2002	0,5
KB215	46,500000°	40,000000°	41	gravite	Kaban, 2002	0,5
KB216	46,500000°	40,500000°	43,5	gravite	Kaban, 2002	0,5
KB217	46,500000°	41,000000°	44	gravite	Kaban, 2002	0,5
KB218	46,500000°	41,500000°	44	gravite	Kaban, 2002	0,5
KB219	46,500000°	42,000000°	44	gravite	Kaban, 2002	0,5
KB220	46,500000°	42,500000°	44	gravite	Kaban, 2002	0,5
KB221	46,500000°	43,000000°	44	gravite	Kaban, 2002	0,5
KB222	46,500000°	43,500000°	43	gravite	Kaban, 2002	0,5
KB223	46,500000°	44,000000°	44	gravite	Kaban, 2002	0,5
KB224	46,500000°	44,500000°	45	gravite	Kaban, 2002	0,5
KB225	46,500000°	45,000000°	45,5	gravite	Kaban, 2002	0,5
KB226	46,500000°	45,500000°	45,5	gravite	Kaban, 2002	0,5
KB227	46,500000°	46,000000°	45,5	gravite	Kaban, 2002	0,5
KB228	46,500000°	46,500000°	45,5	gravite	Kaban, 2002	0,5
KB229	46,500000°	47,000000°	45,5	gravite	Kaban, 2002	0,5
KB230	46,500000°	47,500000°	45,5	gravite	Kaban, 2002	0,5
KB231	46,500000°	48,000000°	45,5	gravite	Kaban, 2002	0,5

Tablo 8.1. (Devamı)

Lokasyon	Enlem	Boylam	Kalınlık (km)	Yöntem	Referans	Hata Oranı (\pm) km
KB232	46,500000°	48,500000°	40	gravite	Kaban, 2002	0,5
KB233	46,500000°	49,000000°	40	gravite	Kaban, 2002	0,5
KB234	46,500000°	49,500000°	40	gravite	Kaban, 2002	0,5
KB235	46,500000°	50,000000°	40	gravite	Kaban, 2002	0,5
KB236	46,500000°	50,500000°	40	gravite	Kaban, 2002	0,5
KB237	46,500000°	51,000000°	40	gravite	Kaban, 2002	0,5
KB238	46,500000°	51,500000°	40	gravite	Kaban, 2002	0,5
KB239	46,500000°	52,000000°	40	gravite	Kaban, 2002	0,5
KB240	46,500000°	52,500000°	41	gravite	Kaban, 2002	0,5
KB241	46,500000°	53,000000°	41	gravite	Kaban, 2002	0,5
KB242	46,500000°	53,500000°	41	gravite	Kaban, 2002	0,5
KB243	46,500000°	54,000000°	41	gravite	Kaban, 2002	0,5
KB244	46,500000°	54,500000°	41	gravite	Kaban, 2002	0,5
KB245	46,500000°	55,000000°	42	gravite	Kaban, 2002	0,5
KB246	46,000000°	35,000000°	38	gravite	Kaban, 2002	0,5
KB247	46,000000°	35,500000°	36	gravite	Kaban, 2002	0,5
KB248	46,000000°	36,000000°	35,5	gravite	Kaban, 2002	0,5
KB249	46,000000°	36,500000°	36	gravite	Kaban, 2002	0,5
KB250	46,000000°	37,000000°	36	gravite	Kaban, 2002	0,5
KB251	46,000000°	37,500000°	36	gravite	Kaban, 2002	0,5
KB252	46,000000°	38,000000°	36	gravite	Kaban, 2002	0,5
KB253	46,000000°	38,500000°	35,5	gravite	Kaban, 2002	0,5
KB254	46,000000°	39,000000°	36	gravite	Kaban, 2002	0,5

Tablo 8.1. (Devamı)

Lokasyon	Enlem	Boylam	Kalınlık (km)	Yöntem	Referans	Hata Oranı (\pm) km
KB255	46,000000°	39,500000°	39	gravite	Kaban, 2002	0,5
KB256	46,000000°	40,000000°	41	gravite	Kaban, 2002	0,5
KB257	46,000000°	40,500000°	43	gravite	Kaban, 2002	0,5,
KB258	46,000000°	41,000000°	42	gravite	Kaban, 2002	0,5
KB259	46,000000°	41,500000°	42	gravite	Kaban, 2002	0,5
KB260	46,000000°	42,000000°	42	gravite	Kaban, 2002	0,5
KB261	46,000000°	42,500000°	42	gravite	Kaban, 2002	0,5
KB262	46,000000°	43,000000°	42	gravite	Kaban, 2002	0,5
KB263	46,000000°	43,500000°	42	gravite	Kaban, 2002	0,5
KB264	46,000000°	44,000000°	43	gravite	Kaban, 2002	0,5
KB265	46,000000°	44,500000°	41	gravite	Kaban, 2002	0,5
KB270	46,000000°	47,500000°	40	gravite	Kaban, 2002	0,5
KB271	46,000000°	48,000000°	40	gravite	Kaban, 2002	0,5
KB272	46,000000°	48,500000°	40	gravite	Kaban, 2002	0,5
KB273	46,000000°	49,000000°	40	gravite	Kaban, 2002	0,5
KB274	46,000000°	49,500000°	40	gravite	Kaban, 2002	0,5
KB275	46,000000°	50,000000°	40	gravite	Kaban, 2002	0,5
KB276	46,000000°	50,500000°	40	gravite	Kaban, 2002	0,5
KB277	46,000000°	51,000000°	40	gravite	Kaban, 2002	0,5
KB278	46,000000°	51,500000°	40	gravite	Kaban, 2002	0,5
KB279	46,000000°	52,000000°	40,5	gravite	Kaban, 2002	0,5
KB280	46,000000°	52,500000°	40,5	gravite	Kaban, 2002	0,5
KB281	46,000000°	53,000000°	41	gravite	Kaban, 2002	0,5

Tablo 8.1. (Devamı)

Lokasyon	Enlem	Boylam	Kalınlık (km)	Yöntem	Referans	Hata Oranı (\pm) km
KB282	46,000000°	53,500000°	41	gravite	Kaban, 2002	0,5
KB283	46,000000°	54,000000°	41	gravite	Kaban, 2002	0,5
KB284	46,000000°	54,500000°	41	gravite	Kaban, 2002	0,5
KB285	46,000000°	55,000000°	41,5	gravite	Kaban, 2002	0,5
KB286	45,500000°	38,000000°	35,5	gravite	Kaban, 2002	0,5
KB287	45,500000°	38,500000°	35,5	gravite	Kaban, 2002	0,5
KB288	45,500000°	39,000000°	35,5	gravite	Kaban, 2002	0,5
KB289	45,500000°	39,500000°	40,5	gravite	Kaban, 2002	0,5
KB290	45,500000°	40,000000°	42	gravite	Kaban, 2002	0,5
KB291	45,500000°	40,500000°	42,5	gravite	Kaban, 2002	0,5
KB292	45,500000°	41,000000°	41,5	gravite	Kaban, 2002	0,5
KB293	45,500000°	41,500000°	41,5	gravite	Kaban, 2002	0,5
KB294	45,500000°	42,000000°	42	gravite	Kaban, 2002	0,5
KB295	45,500000°	42,500000°	42	gravite	Kaban, 2002	0,5
KB296	45,500000°	43,000000°	42	gravite	Kaban, 2002	0,5
KB297	45,500000°	43,500000°	42	gravite	Kaban, 2002	0,5
KB298	45,500000°	44,000000°	41,5	gravite	Kaban, 2002	0,5
KB299	45,500000°	44,500000°	41	gravite	Kaban, 2002	0,5
KB300	45,500000°	45,000000°	40	gravite	Kaban, 2002	0,5
KB301	45,500000°	45,500000°	40	gravite	Kaban, 2002	0,5
KB302	45,500000°	46,000000°	40	gravite	Kaban, 2002	0,5
KB303	45,500000°	46,500000°	40	gravite	Kaban, 2002	0,5
KB304	45,500000°	47,000000°	40	gravite	Kaban, 2002	0,5

Tablo 8.1. (Devamı)

Lokasyon	Enlem	Boylam	Kalınlık (km)	Yöntem	Referans	Hata Oranı (\pm) km
KB305	45,500000°	47,500000°	40	gravite	Kaban, 2002	0,5
KB306	45,500000°	48,000000°	40	gravite	Kaban, 2002	0,5
KB307	45,500000°	48,500000°	40	gravite	Kaban, 2002	0,5
KB308	45,500000°	49,000000°	40	gravite	Kaban, 2002	0,5
KB309	45,500000°	49,500000°	40	gravite	Kaban, 2002	0,5
KB310	45,500000°	50,000000°	40	gravite	Kaban, 2002	0,5
KB311	45,500000°	50,500000°	40,5	gravite	Kaban, 2002	0,5
KB312	45,500000°	51,000000°	40,5	gravite	Kaban, 2002	0,5
KB313	45,500000°	51,500000°	41	gravite	Kaban, 2002	0,5
KB314	45,500000°	52,000000°	41	gravite	Kaban, 2002	0,5
KB315	45,500000°	52,500000°	41	gravite	Kaban, 2002	0,5
KB316	45,500000°	53,000000°	41	gravite	Kaban, 2002	0,5
KB317	45,500000°	53,500000°	41	gravite	Kaban, 2002	0,5
KB318	45,500000°	54,000000°	41	gravite	Kaban, 2002	0,5
KB319	45,500000°	54,500000°	42	gravite	Kaban, 2002	0,5
KB320	45,500000°	55,000000°	41	gravite	Kaban, 2002	0,5
KB321	45,000000°	38,000000°	39	gravite	Kaban, 2002	0,5
KB322	45,000000°	38,500000°	40	gravite	Kaban, 2002	0,5
KB323	45,000000°	39,000000°	41	gravite	Kaban, 2002	0,5
KB324	45,000000°	39,500000°	42	gravite	Kaban, 2002	0,5
KB325	45,000000°	40,000000°	42	gravite	Kaban, 2002	0,5
KB326	45,000000°	40,500000°	41	gravite	Kaban, 2002	0,5
KB327	45,000000°	41,000000°	41	gravite	Kaban, 2002	0,5

Tablo 8.1. (Devamı)

Lokasyon	Enlem	Boylam	Kalınlık (km)	Yöntem	Referans	Hata Oranı (\pm) km
KB328	45,000000°	41,500000°	41	gravite	Kaban, 2002	0,5
KB329	45,000000°	42,000000°	41	gravite	Kaban, 2002	0,5
KB330	45,000000°	42,500000°	42	gravite	Kaban, 2002	0,5
KB331	45,000000°	43,000000°	43	gravite	Kaban, 2002	0,5
KB332	45,000000°	43,500000°	40	gravite	Kaban, 2002	0,5
KB333	45,000000°	44,000000°	40	gravite	Kaban, 2002	0,5
KB334	45,000000°	44,500000°	40	gravite	Kaban, 2002	0,5
KB335	45,000000°	45,000000°	40	gravite	Kaban, 2002	0,5
KB336	45,000000°	45,500000°	40	gravite	Kaban, 2002	0,5
KB337	45,000000°	46,000000°	40	gravite	Kaban, 2002	0,5
KB338	45,000000°	46,500000°	40	gravite	Kaban, 2002	0,5
KB339	45,000000°	47,000000°	40	gravite	Kaban, 2002	0,5
KB340	45,000000°	47,500000°	40	gravite	Kaban, 2002	0,5
KB341	45,000000°	48,000000°	40	gravite	Kaban, 2002	0,5
KB342	45,000000°	48,500000°	40	gravite	Kaban, 2002	0,5
KB343	45,000000°	49,000000°	40	gravite	Kaban, 2002	0,5
KB344	45,000000°	49,500000°	40	gravite	Kaban, 2002	0,5
KB345	45,000000°	50,000000°	41	gravite	Kaban, 2002	0,5
KB346	45,000000°	50,500000°	41	gravite	Kaban, 2002	0,5
KB347	45,000000°	51,000000°	41	gravite	Kaban, 2002	0,5
KB348	45,000000°	51,500000°	41	gravite	Kaban, 2002	0,5
KB349	45,000000°	52,000000°	41	gravite	Kaban, 2002	0,5
KB350	45,000000°	52,500000°	41	gravite	Kaban, 2002	0,5

Tablo 8.1. (Devamı)

Lokasyon	Enlem	Boylam	Kalınlık (km)	Yöntem	Referans	Hata Oranı (\pm) km
KB351	45,000000°	53,000000°	41	gravite	Kaban, 2002	0,5
KB352	45,000000°	53,500000°	41	gravite	Kaban, 2002	0,5
KB353	45,000000°	54,000000°	41	gravite	Kaban, 2002	0,5
KB354	45,000000°	54,500000°	41	gravite	Kaban, 2002	0,5
KB355	45,000000°	55,000000°	41	gravite	Kaban, 2002	0,5
KB356	44,500000°	39,000000°	41	gravite	Kaban, 2002	0,5
KB357	44,500000°	39,500000°	42	gravite	Kaban, 2002	0,5
KB358	44,500000°	40,000000°	47	gravite	Kaban, 2002	0,5
KB359	44,500000°	40,500000°	47	gravite	Kaban, 2002	0,5
KB360	44,500000°	41,000000°	47	gravite	Kaban, 2002	0,5
KB361	44,500000°	41,500000°	47	gravite	Kaban, 2002	0,5
KB362	44,500000°	42,000000°	45,5	gravite	Kaban, 2002	0,5
KB363	44,500000°	42,500000°	44	gravite	Kaban, 2002	0,5
KB364	44,500000°	43,000000°	43,5	gravite	Kaban, 2002	0,5
KB365	44,500000°	43,500000°	40	gravite	Kaban, 2002	0,5
KB366	44,500000°	44,000000°	39	gravite	Kaban, 2002	0,5
KB367	44,500000°	44,500000°	39	gravite	Kaban, 2002	0,5
KB368	44,500000°	45,000000°	39,5	gravite	Kaban, 2002	0,5
KB369	44,500000°	45,500000°	39,5	gravite	Kaban, 2002	0,5
KB370	44,500000°	46,000000°	39	gravite	Kaban, 2002	0,5
KB371	44,500000°	46,500000°	39	gravite	Kaban, 2002	0,5
KB372	44,500000°	47,000000°	39	gravite	Kaban, 2002	0,5
KB373	44,500000°	47,500000°	39	gravite	Kaban, 2002	0,5

Tablo 8.1. (Devamı)

Lokasyon	Enlem	Boylam	Kalınlık (km)	Yöntem	Referans	Hata Oranı (\pm) km
KB374	44,500000°	48,000000°	39	gravite	Kaban, 2002	0,5
KB375	44,500000°	48,500000°	39	gravite	Kaban, 2002	0,5
KB376	44,500000°	49,000000°	39	gravite	Kaban, 2002	0,5
KB377	44,500000°	49,500000°	40	gravite	Kaban, 2002	0,5
KB378	44,500000°	50,000000°	40	gravite	Kaban, 2002	0,5
KB379	44,500000°	50,500000°	41	gravite	Kaban, 2002	0,5
KB380	44,500000°	51,000000°	41,5	gravite	Kaban, 2002	0,5
KB381	44,500000°	51,500000°	42	gravite	Kaban, 2002	0,5
KB382	44,500000°	52,000000°	41	gravite	Kaban, 2002	0,5
KB383	44,500000°	52,500000°	41	gravite	Kaban, 2002	0,5
KB384	44,500000°	53,000000°	41	gravite	Kaban, 2002	0,5
KB385	44,500000°	53,500000°	41	gravite	Kaban, 2002	0,5
KB386	44,500000°	54,000000°	41	gravite	Kaban, 2002	0,5
KB387	44,500000°	54,500000°	40	gravite	Kaban, 2002	0,5
KB388	44,500000°	55,000000°	39,5	gravite	Kaban, 2002	0,5
KB389	44,000000°	40,000000°	48	gravite	Kaban, 2002	0,5
KB390	44,000000°	40,500000°	48,5	gravite	Kaban, 2002	0,5
KB391	44,000000°	41,000000°	48,5	gravite	Kaban, 2002	0,5
KB392	44,000000°	41,500000°	48,5	gravite	Kaban, 2002	0,5
KB393	44,000000°	42,000000°	48,5	gravite	Kaban, 2002	0,5
KB394	44,000000°	42,500000°	48	gravite	Kaban, 2002	0,5
KB395	44,000000°	43,000000°	44,5	gravite	Kaban, 2002	0,5
KB396	44,000000°	43,500000°	44	gravite	Kaban, 2002	0,5

Tablo 8.1. (Devamı)

Lokasyon	Enlem	Boylam	Kalınlık (km)	Yöntem	Referans	Hata Oranı (\pm) km
KB397	44,000000°	44,000000°	40	gravite	Kaban, 2002	0,5
KB398	44,000000°	44,500000°	39	gravite	Kaban, 2002	0,5
KB399	44,000000°	45,000000°	39	gravite	Kaban, 2002	0,5
KB400	44,000000°	45,500000°	38,5	gravite	Kaban, 2002	0,5
KB401	44,000000°	46,000000°	38,5	gravite	Kaban, 2002	0,5
KB402	44,000000°	46,500000°	39	gravite	Kaban, 2002	0,5
KB403	44,000000°	47,000000°	39	gravite	Kaban, 2002	0,5
KB404	44,000000°	47,500000°	38,5	gravite	Kaban, 2002	0,5
KB405	44,000000°	48,000000°	38,5	gravite	Kaban, 2002	0,5
KB406	44,000000°	48,500000°	38,5	gravite	Kaban, 2002	0,5
KB407	44,000000°	49,000000°	38,5	gravite	Kaban, 2002	0,5
KB408	44,000000°	49,500000°	38,5	gravite	Kaban, 2002	0,5
KB409	44,000000°	50,000000°	39	gravite	Kaban, 2002	0,5
KB410	44,000000°	50,500000°	39,5	gravite	Kaban, 2002	0,5
KB411	44,000000°	51,000000°	39	gravite	Kaban, 2002	0,5
KB412	44,000000°	51,500000°	40,5	gravite	Kaban, 2002	0,5
KB413	44,000000°	52,000000°	40,5	gravite	Kaban, 2002	0,5
KB414	44,000000°	52,500000°	41	gravite	Kaban, 2002	0,5
KB415	44,000000°	53,000000°	41	gravite	Kaban, 2002	0,5
KB416	44,000000°	53,500000°	40,5	gravite	Kaban, 2002	0,5
KB417	44,000000°	54,000000°	40,5	gravite	Kaban, 2002	0,5
KB418	44,000000°	54,500000°	40	gravite	Kaban, 2002	0,5
KB419	44,000000°	55,000000°	39	gravite	Kaban, 2002	0,5

Tablo 8.1. (Devamı)

Lokasyon	Enlem	Boylam	Kalınlık (km)	Yöntem	Referans	Hata Oranı (\pm) km
KB420	43,500000°	41,000000°	48,5	gravite	Kaban, 2002	0,5
KB421	43,500000°	41,500000°	51	gravite	Kaban, 2002	0,5
KB422	43,500000°	42,000000°	56	gravite	Kaban, 2002	0,5
KB423	43,500000°	42,500000°	56	gravite	Kaban, 2002	0,5
KB424	43,500000°	43,000000°	53	gravite	Kaban, 2002	0,5
KB425	43,500000°	43,500000°	51	gravite	Kaban, 2002	0,5
KB426	43,500000°	44,000000°	48	gravite	Kaban, 2002	0,5
KB427	43,500000°	44,500000°	44	gravite	Kaban, 2002	0,5
KB428	43,500000°	45,000000°	40	gravite	Kaban, 2002	0,5
KB429	43,500000°	45,500000°	39	gravite	Kaban, 2002	0,5
KB430	43,500000°	46,000000°	39	gravite	Kaban, 2002	0,5
KB431	43,500000°	46,500000°	39	gravite	Kaban, 2002	0,5
KB432	43,500000°	47,000000°	38	gravite	Kaban, 2002	0,5
KB433	43,500000°	47,500000°	38	gravite	Kaban, 2002	0,5
KB434	43,500000°	48,000000°	38	gravite	Kaban, 2002	0,5
KB435	43,500000°	48,500000°	38	gravite	Kaban, 2002	0,5
KB436	43,500000°	49,000000°	37	gravite	Kaban, 2002	0,5
KB437	43,500000°	49,500000°	36,5	gravite	Kaban, 2002	0,5
KB438	43,500000°	50,000000°	37	gravite	Kaban, 2002	0,5
KB439	43,500000°	50,500000°	37	gravite	Kaban, 2002	0,5
KB440	43,500000°	51,000000°	39	gravite	Kaban, 2002	0,5
KB441	43,500000°	51,500000°	39	gravite	Kaban, 2002	0,5
KB442	43,500000°	52,000000°	40	gravite	Kaban, 2002	0,5

Tablo 8.1. (Devamı)

Lokasyon	Enlem	Boylam	Kalınlık (km)	Yöntem	Referans	Hata Oranı (\pm) km
KB443	43,500000°	52,500000°	41	gravite	Kaban, 2002	0,5
KB444	43,500000°	53,000000°	41	gravite	Kaban, 2002	0,5
KB445	43,500000°	53,500000°	41	gravite	Kaban, 2002	0,5
KB446	43,500000°	54,000000°	40	gravite	Kaban, 2002	0,5
KB447	43,500000°	54,500000°	40	gravite	Kaban, 2002	0,5
KB448	43,500000°	55,000000°	39	gravite	Kaban, 2002	0,5
KB449	43,000000°	41,500000°	46,5	gravite	Kaban, 2002	0,5
KB450	43,000000°	42,000000°	51	gravite	Kaban, 2002	0,5
KB451	43,000000°	42,500000°	54,5	gravite	Kaban, 2002	0,5
KB452	43,000000°	43,000000°	56	gravite	Kaban, 2002	0,5
KB453	43,000000°	43,500000°	56	gravite	Kaban, 2002	0,5
KB454	43,000000°	44,000000°	56	gravite	Kaban, 2002	0,5
KB455	43,000000°	44,500000°	53	gravite	Kaban, 2002	0,5
KB456	43,000000°	45,000000°	50	gravite	Kaban, 2002	0,5
KB457	43,000000°	45,500000°	47	gravite	Kaban, 2002	0,5
KB458	43,000000°	46,000000°	43	gravite	Kaban, 2002	0,5
KB459	43,000000°	46,500000°	41	gravite	Kaban, 2002	0,5
KB460	43,000000°	47,000000°	39	gravite	Kaban, 2002	0,5
KB461	43,000000°	47,500000°	39	gravite	Kaban, 2002	0,5
KB462	43,000000°	48,000000°	38,5	gravite	Kaban, 2002	0,5
KB463	43,000000°	48,500000°	38,5	gravite	Kaban, 2002	0,5
KB464	43,000000°	49,000000°	38	gravite	Kaban, 2002	0,5
KB465	43,000000°	49,500000°	37	gravite	Kaban, 2002	0,5

Tablo 8.1. (Devamı)

Lokasyon	Enlem	Boylam	Kalınlık (km)	Yöntem	Referans	Hata Oranı (\pm) km
KB466	43,000000°	50,000000°	38	gravite	Kaban, 2002	0,5
KB467	43,000000°	50,500000°	38	gravite	Kaban, 2002	0,5
KB468	43,000000°	51,000000°	39	gravite	Kaban, 2002	0,5
KB469	43,000000°	51,500000°	39	gravite	Kaban, 2002	0,5
KB470	43,000000°	52,000000°	40,5	gravite	Kaban, 2002	0,5
KB471	43,000000°	52,500000°	40,5	gravite	Kaban, 2002	0,5
KB472	43,000000°	53,000000°	40,5	gravite	Kaban, 2002	0,5
KB473	43,000000°	53,500000°	40,5	gravite	Kaban, 2002	0,5
KB474	43,000000°	54,000000°	40	gravite	Kaban, 2002	0,5
KB475	43,000000°	54,500000°	40	gravite	Kaban, 2002	0,5
KB476	43,000000°	55,000000°	39	gravite	Kaban, 2002	0,5
KB477	42,500000°	42,000000°	40,5	gravite	Kaban, 2002	0,5
KB478	42,500000°	42,500000°	44	gravite	Kaban, 2002	0,5
KB479	42,500000°	43,000000°	47,5	gravite	Kaban, 2002	0,5
KB480	42,500000°	43,500000°	52,5	gravite	Kaban, 2002	0,5
KB481	42,500000°	44,000000°	56	gravite	Kaban, 2002	0,5
KB482	42,500000°	44,500000°	57	gravite	Kaban, 2002	0,5
KB483	42,500000°	45,000000°	57	gravite	Kaban, 2002	0,5
KB484	42,500000°	45,500000°	52,5	gravite	Kaban, 2002	0,5
KB485	42,500000°	46,000000°	48	gravite	Kaban, 2002	0,5
KB486	42,500000°	46,500000°	47	gravite	Kaban, 2002	0,5
KB487	42,500000°	47,000000°	45	gravite	Kaban, 2002	0,5
KB488	42,500000°	47,500000°	43	gravite	Kaban, 2002	0,5

Tablo 8.1. (Devamı)

Lokasyon	Enlem	Boylam	Kalınlık (km)	Yöntem	Referans	Hata Oranı (\pm) km
KB489	42,500000°	48,000000°	40	gravite	Kaban, 2002	0,5
KB490	42,500000°	48,500000°	40	gravite	Kaban, 2002	0,5
KB491	42,500000°	49,000000°	39	gravite	Kaban, 2002	0,5
KB492	42,500000°	49,500000°	39	gravite	Kaban, 2002	0,5
KB493	42,500000°	50,000000°	39	gravite	Kaban, 2002	0,5
KB494	42,500000°	50,500000°	39	gravite	Kaban, 2002	0,5
KB495	42,500000°	51,000000°	39	gravite	Kaban, 2002	0,5
KB496	42,500000°	51,500000°	39	gravite	Kaban, 2002	0,5
KB497	42,500000°	52,000000°	40	gravite	Kaban, 2002	0,5
KB498	42,500000°	52,500000°	40	gravite	Kaban, 2002	0,5
KB499	42,500000°	53,000000°	40,5	gravite	Kaban, 2002	0,5
KB500	42,500000°	53,500000°	40,5	gravite	Kaban, 2002	0,5
KB501	42,500000°	54,000000°	40,5	gravite	Kaban, 2002	0,5
KB502	42,500000°	54,500000°	40,5	gravite	Kaban, 2002	0,5
KB503	42,500000°	55,000000°	40,5	gravite	Kaban, 2002	0,5
KB504	42,000000°	49,000000°	39,5	gravite	Kaban, 2002	0,5
KB505	42,000000°	49,500000°	41	gravite	Kaban, 2002	0,5
KB506	42,000000°	50,000000°	41	gravite	Kaban, 2002	0,5
KB507	42,000000°	50,500000°	40,5	gravite	Kaban, 2002	0,5
KB508	42,000000°	51,000000°	40	gravite	Kaban, 2002	0,5
KB509	42,000000°	51,500000°	40	gravite	Kaban, 2002	0,5
KB510	42,000000°	52,000000°	40	gravite	Kaban, 2002	0,5
KB511	42,000000°	52,500000°	40	gravite	Kaban, 2002	0,5

Tablo 8.1. (Devamı)

Lokasyon	Enlem	Boylam	Kalınlık (km)	Yöntem	Referans	Hata Oranı (\pm) km
KB512	42,000000°	53,000000°	40	gravite	Kaban, 2002	0,5
KB513	42,000000°	53,500000°	40	gravite	Kaban, 2002	0,5
KB514	42,000000°	54,000000°	39	gravite	Kaban, 2002	0,5
KB515	42,000000°	54,500000°	39	gravite	Kaban, 2002	0,5
KB516	42,000000°	55,000000°	39	gravite	Kaban, 2002	0,5
KB517	41,500000°	49,500000°	42,5	gravite	Kaban, 2002	0,5
KB518	41,500000°	50,000000°	41	gravite	Kaban, 2002	0,5
KB519	41,500000°	50,500000°	41	gravite	Kaban, 2002	0,5
KB520	41,500000°	51,000000°	38	gravite	Kaban, 2002	0,5
KB521	41,500000°	51,500000°	38	gravite	Kaban, 2002	0,5
KB522	41,500000°	52,000000°	39	gravite	Kaban, 2002	0,5
KB523	41,500000°	52,500000°	39	gravite	Kaban, 2002	0,5
KB524	41,500000°	53,000000°	39	gravite	Kaban, 2002	0,5
KB525	41,500000°	53,500000°	38	gravite	Kaban, 2002	0,5
KB526	41,500000°	54,000000°	37,5	gravite	Kaban, 2002	0,5
KB527	41,500000°	54,500000°	37	gravite	Kaban, 2002	0,5
KB528	41,500000°	55,000000°	38	gravite	Kaban, 2002	0,5
KB529	41,000000°	50,000000°	41	gravite	Kaban, 2002	0,5
KB530	41,000000°	50,500000°	40,5	gravite	Kaban, 2002	0,5
KB531	41,000000°	51,000000°	39	gravite	Kaban, 2002	0,5
KB532	41,000000°	51,500000°	38	gravite	Kaban, 2002	0,5
KB533	41,000000°	52,000000°	37,5	gravite	Kaban, 2002	0,5
KB534	41,000000°	52,500000°	37,5	gravite	Kaban, 2002	0,5

Tablo 8.1. (Devamı)

Lokasyon	Enlem	Boylam	Kalınlık (km)	Yöntem	Referans	Hata Oranı (\pm) km
KB535	41,000000°	53,000000°	37,5	gravite	Kaban, 2002	0,5
KB536	41,000000°	53,500000°	37	gravite	Kaban, 2002	0,5
KB537	41,000000°	54,000000°	36,5	gravite	Kaban, 2002	0,5
KB538	41,000000°	54,500000°	36,5	gravite	Kaban, 2002	0,5
KB539	41,000000°	55,000000°	36,5	gravite	Kaban, 2002	0,5
KB540	40,500000°	51,000000°	40,5	gravite	Kaban, 2002	0,5
KB541	40,500000°	51,500000°	41	gravite	Kaban, 2002	0,5
KB542	40,500000°	52,000000°	41	gravite	Kaban, 2002	0,5
KB543	40,500000°	52,500000°	40	gravite	Kaban, 2002	0,5
KB544	40,500000°	53,000000°	39	gravite	Kaban, 2002	0,5
KB545	40,500000°	53,500000°	37	gravite	Kaban, 2002	0,5
KB546	40,500000°	54,000000°	36	gravite	Kaban, 2002	0,5
KB547	40,500000°	54,500000°	36	gravite	Kaban, 2002	0,5
KB548	40,500000°	55,000000°	36	gravite	Kaban, 2002	0,5
KB549	40,000000°	50,000000°	39	gravite	Kaban, 2002	0,5
KB550	40,000000°	50,500000°	39	gravite	Kaban, 2002	0,5
KB551	40,000000°	51,000000°	41	gravite	Kaban, 2002	0,5
KB552	40,000000°	51,500000°	43	gravite	Kaban, 2002	0,5
KB553	40,000000°	52,000000°	43,5	gravite	Kaban, 2002	0,5
KB554	40,000000°	52,500000°	43	gravite	Kaban, 2002	0,5
KB555	40,000000°	53,000000°	43	gravite	Kaban, 2002	0,5
KB556	40,000000°	53,500000°	43	gravite	Kaban, 2002	0,5
KB557	40,000000°	54,000000°	39,5	gravite	Kaban, 2002	0,5

Tablo 8.1. (Devamı)

Lokasyon	Enlem	Boylam	Kalınlık (km)	Yöntem	Referans	Hata Oranı (\pm) km
KB558	40,000000°	54,500000°	39	gravite	Kaban, 2002	0,5
KB559	40,000000°	55,000000°	36,5	gravite	Kaban, 2002	0,5
KB560	39,500000°	50,000000°	36,5	gravite	Kaban, 2002	0,5
KB561	39,500000°	50,500000°	36	gravite	Kaban, 2002	0,5
KB562	39,500000°	51,000000°	40	gravite	Kaban, 2002	0,5
KB563	39,500000°	51,500000°	43	gravite	Kaban, 2002	0,5
KB564	39,500000°	52,000000°	43	gravite	Kaban, 2002	0,5
KB565	39,500000°	52,500000°	43	gravite	Kaban, 2002	0,5
KB566	39,500000°	53,000000°	48,5	gravite	Kaban, 2002	0,5
KB567	39,500000°	53,500000°	51	gravite	Kaban, 2002	0,5
KB568	39,500000°	54,000000°	48	gravite	Kaban, 2002	0,5
KB569	39,500000°	54,500000°	45	gravite	Kaban, 2002	0,5
KB570	39,500000°	55,000000°	45,5	gravite	Kaban, 2002	0,5
KB571	39,000000°	50,000000°	31	gravite	Kaban, 2002	0,5
KB572	39,000000°	50,500000°	31,5	gravite	Kaban, 2002	0,5
KB573	39,000000°	51,000000°	35	gravite	Kaban, 2002	0,5
KB574	39,000000°	51,500000°	33	gravite	Kaban, 2002	0,5
KB575	39,000000°	52,000000°	41	gravite	Kaban, 2002	0,5
KB576	39,000000°	52,500000°	41	gravite	Kaban, 2002	0,5
KB577	39,000000°	53,000000°	43	gravite	Kaban, 2002	0,5
KB578	39,000000°	53,500000°	44	gravite	Kaban, 2002	0,5
KB579	39,000000°	54,000000°	47,5	gravite	Kaban, 2002	0,5
KB580	39,000000°	54,500000°	47	gravite	Kaban, 2002	0,5

Tablo 8.1. (Devamı)

Lokasyon	Enlem	Boylam	Kalınlık (km)	Yöntem	Referans	Hata Oranı (\pm) km
KB581	39,000000°	55,000000°	40	gravite	Kaban, 2002	0,5
KB582	38,500000°	49,500000°	36,5	gravite	Kaban, 2002	0,5
KB583	38,500000°	50,000000°	32	gravite	Kaban, 2002	0,5
KB584	38,500000°	50,500000°	31,5	gravite	Kaban, 2002	0,5
KB585	38,500000°	51,000000°	34	gravite	Kaban, 2002	0,5
KB586	38,500000°	51,500000°	35	gravite	Kaban, 2002	0,5
KB587	38,500000°	52,000000°	35	gravite	Kaban, 2002	0,5
KB588	38,500000°	52,500000°	35	gravite	Kaban, 2002	0,5
KB589	38,500000°	53,000000°	32	gravite	Kaban, 2002	0,5
KB590	38,500000°	53,500000°	32	gravite	Kaban, 2002	0,5
KB591	38,000000°	49,500000°	39,5	gravite	Kaban, 2002	0,5
KB592	38,000000°	50,000000°	36	gravite	Kaban, 2002	0,5
KB593	38,000000°	50,500000°	32	gravite	Kaban, 2002	0,5
KB594	38,000000°	51,000000°	32	gravite	Kaban, 2002	0,5
KB595	38,000000°	51,500000°	33	gravite	Kaban, 2002	0,5
KB596	38,000000°	52,000000°	33	gravite	Kaban, 2002	0,5
KB597	38,000000°	52,500000°	31,5	gravite	Kaban, 2002	0,5
KB598	38,000000°	53,000000°	31	gravite	Kaban, 2002	0,5
KB599	38,000000°	53,500000°	30	gravite	Kaban, 2002	0,5
KB600	37,500000°	51,500000°	33	gravite	Kaban, 2002	0,5
KB601	37,500000°	52,000000°	32	gravite	Kaban, 2002	0,5
KB602	37,500000°	52,500000°	31,5	gravite	Kaban, 2002	0,5
KB603	37,500000°	53,000000°	31	gravite	Kaban, 2002	0,5

Tablo 8.1. (Devamı)

Lokasyon	Enlem	Boylam	Kalınlık (km)	Yöntem	Referans	Hata Oranı (\pm) km
KB604	37,500000°	53,500000°	31	gravite	Kaban, 2002	0,5
KB605	37,000000°	51,500000°	37	gravite	Kaban, 2002	0,5
KB606	37,000000°	52,000000°	35,5	gravite	Kaban, 2002	0,5
KB607	37,000000°	52,500000°	35	gravite	Kaban, 2002	0,5
KB608	49,000000°	55,500000°	36	gravite	Kaban, 2002	0,5
KB609	49,000000°	56,000000°	36,5	gravite	Kaban, 2002	0,5
KB610	49,000000°	56,500000°	37	gravite	Kaban, 2002	0,5
KB611	49,000000°	57,000000°	39	gravite	Kaban, 2002	0,5
KB612	49,000000°	57,500000°	40	gravite	Kaban, 2002	0,5
KB613	49,000000°	58,000000°	40	gravite	Kaban, 2002	0,5
KB614	49,000000°	58,500000°	40	gravite	Kaban, 2002	0,5
KB615	49,000000°	59,000000°	41	gravite	Kaban, 2002	0,5
KB616	49,000000°	59,500000°	42,5	gravite	Kaban, 2002	0,5
KB617	49,000000°	60,000000°	43	gravite	Kaban, 2002	0,5
KB618	48,500000°	55,500000°	39	gravite	Kaban, 2002	0,5
KB619	48,500000°	56,000000°	40	gravite	Kaban, 2002	0,5
KB620	48,500000°	56,500000°	40	gravite	Kaban, 2002	0,5
KB621	48,500000°	57,000000°	41	gravite	Kaban, 2002	0,5
KB622	48,500000°	57,500000°	41	gravite	Kaban, 2002	0,5
KB623	48,500000°	58,000000°	41	gravite	Kaban, 2002	0,5
KB624	48,500000°	58,500000°	41	gravite	Kaban, 2002	0,5
KB625	48,500000°	59,000000°	42	gravite	Kaban, 2002	0,5
KB626	48,500000°	59,500000°	43	gravite	Kaban, 2002	0,5

Tablo 8.1. (Devamı)

Lokasyon	Enlem	Boylam	Kalınlık (km)	Yöntem	Referans	Hata Oranı (\pm) km
KB627	48,500000°	60,000000°	43,5	gravite	Kaban, 2002	0,5
KB628	48,000000°	55,500000°	41	gravite	Kaban, 2002	0,5
KB629	48,000000°	56,000000°	41	gravite	Kaban, 2002	0,5
KB630	48,000000°	56,500000°	42	gravite	Kaban, 2002	0,5
KB631	48,000000°	57,000000°	42	gravite	Kaban, 2002	0,5
KB632	48,000000°	57,500000°	42	gravite	Kaban, 2002	0,5
KB633	48,000000°	58,000000°	42	gravite	Kaban, 2002	0,5
KB634	48,000000°	58,500000°	42	gravite	Kaban, 2002	0,5
KB635	48,000000°	59,000000°	42	gravite	Kaban, 2002	0,5
KB636	48,000000°	59,500000°	42	gravite	Kaban, 2002	0,5
KB637	48,000000°	60,000000°	43,5	gravite	Kaban, 2002	0,5
KB638	47,500000°	55,500000°	43	gravite	Kaban, 2002	0,5
KB639	47,500000°	56,000000°	43,5	gravite	Kaban, 2002	0,5
KB640	47,500000°	56,500000°	43,5	gravite	Kaban, 2002	0,5
KB641	47,500000°	57,000000°	43	gravite	Kaban, 2002	0,5
KB642	47,500000°	57,500000°	43	gravite	Kaban, 2002	0,5
KB643	47,500000°	58,000000°	42	gravite	Kaban, 2002	0,5
KB644	47,500000°	58,500000°	42	gravite	Kaban, 2002	0,5
KB645	47,500000°	59,000000°	42	gravite	Kaban, 2002	0,5
KB646	47,500000°	59,500000°	42	gravite	Kaban, 2002	0,5
KB647	47,500000°	60,000000°	43,5	gravite	Kaban, 2002	0,5
KB648	47,000000°	55,500000°	43	gravite	Kaban, 2002	0,5
KB649	47,000000°	56,000000°	43,5	gravite	Kaban, 2002	0,5

Tablo 8.1. (Devamı)

Lokasyon	Enlem	Boylam	Kalınlık (km)	Yöntem	Referans	Hata Oranı (\pm) km
KB650	47,000000°	56,500000°	43,5	gravite	Kaban, 2002	0,5
KB651	47,000000°	57,000000°	43	gravite	Kaban, 2002	0,5
KB652	47,000000°	57,500000°	42	gravite	Kaban, 2002	0,5
KB653	47,000000°	58,000000°	41	gravite	Kaban, 2002	0,5
KB654	47,000000°	58,500000°	41	gravite	Kaban, 2002	0,5
KB655	47,000000°	59,000000°	41	gravite	Kaban, 2002	0,5
KB656	47,000000°	59,500000°	41	gravite	Kaban, 2002	0,5
KB657	47,000000°	60,000000°	42	gravite	Kaban, 2002	0,5
KB658	46,500000°	55,500000°	42	gravite	Kaban, 2002	0,5
KB659	46,500000°	56,000000°	43	gravite	Kaban, 2002	0,5
KB660	46,500000°	56,500000°	43	gravite	Kaban, 2002	0,5
KB661	46,500000°	57,000000°	42	gravite	Kaban, 2002	0,5
KB662	46,500000°	57,500000°	41	gravite	Kaban, 2002	0,5
KB663	46,500000°	58,000000°	40	gravite	Kaban, 2002	0,5
KB664	46,500000°	58,500000°	39	gravite	Kaban, 2002	0,5
KB665	46,500000°	59,000000°	39	gravite	Kaban, 2002	0,5
KB666	46,500000°	59,500000°	39	gravite	Kaban, 2002	0,5
KB667	46,500000°	60,000000°	39	gravite	Kaban, 2002	0,5
KB668	46,000000°	55,500000°	42	gravite	Kaban, 2002	0,5
KB669	46,000000°	56,000000°	42	gravite	Kaban, 2002	0,5
KB670	46,000000°	56,500000°	42	gravite	Kaban, 2002	0,5
KB671	46,000000°	57,000000°	42	gravite	Kaban, 2002	0,5
KB672	46,000000°	57,500000°	41	gravite	Kaban, 2002	0,5

Tablo 8.1. (Devamı)

Lokasyon	Enlem	Boylam	Kalınlık (km)	Yöntem	Referans	Hata Oranı (\pm) km
KB673	46,000000°	58,000000°	40	gravite	Kaban, 2002	0,5
KB674	46,000000°	58,500000°	40	gravite	Kaban, 2002	0,5
KB675	46,000000°	59,000000°	39	gravite	Kaban, 2002	0,5
KB676	46,000000°	59,500000°	39	gravite	Kaban, 2002	0,5
KB677	46,000000°	60,000000°	38,5	gravite	Kaban, 2002	0,5
KB678	45,500000°	55,500000°	41	gravite	Kaban, 2002	0,5
KB679	45,500000°	56,000000°	42	gravite	Kaban, 2002	0,5
KB680	45,500000°	56,500000°	42	gravite	Kaban, 2002	0,5
KB681	45,500000°	57,000000°	41	gravite	Kaban, 2002	0,5
KB682	45,500000°	57,500000°	41	gravite	Kaban, 2002	0,5
KB683	45,500000°	58,000000°	40,5	gravite	Kaban, 2002	0,5
KB684	45,500000°	58,500000°	40	gravite	Kaban, 2002	0,5
KB685	45,500000°	59,000000°	39,5	gravite	Kaban, 2002	0,5
KB686	45,500000°	59,500000°	39	gravite	Kaban, 2002	0,5
KB687	45,500000°	60,000000°	37,5	gravite	Kaban, 2002	0,5
KB688	45,000000°	55,500000°	40	gravite	Kaban, 2002	0,5
KB689	45,000000°	56,000000°	40	gravite	Kaban, 2002	0,5
KB690	45,000000°	56,500000°	40,5	gravite	Kaban, 2002	0,5
KB691	45,000000°	57,000000°	40,5	gravite	Kaban, 2002	0,5
KB692	45,000000°	57,500000°	40	gravite	Kaban, 2002	0,5
KB693	45,000000°	58,000000°	40	gravite	Kaban, 2002	0,5
KB694	45,000000°	58,500000°	39	gravite	Kaban, 2002	0,5
KB695	45,000000°	59,000000°	38,5	gravite	Kaban, 2002	0,5

Tablo 8.1. (Devamı)

Lokasyon	Enlem	Boylam	Kalınlık (km)	Yöntem	Referans	Hata Oranı (\pm) km
KB696	45,000000°	59,500000°	37	gravite	Kaban, 2002	0,5
KB697	45,000000°	60,000000°	36	gravite	Kaban, 2002	0,5
KB698	44,500000°	55,500000°	39	gravite	Kaban, 2002	0,5
KB699	44,500000°	56,000000°	39	gravite	Kaban, 2002	0,5
KB700	44,500000°	56,500000°	39	gravite	Kaban, 2002	0,5
KB701	44,500000°	57,000000°	40	gravite	Kaban, 2002	0,5
KB702	44,500000°	57,500000°	40	gravite	Kaban, 2002	0,5
KB703	44,500000°	58,000000°	40	gravite	Kaban, 2002	0,5
KB704	44,500000°	58,500000°	38,5	gravite	Kaban, 2002	0,5
KB705	44,500000°	59,000000°	37,5	gravite	Kaban, 2002	0,5
KB706	44,500000°	59,500000°	35,5	gravite	Kaban, 2002	0,5
KB707	44,500000°	60,000000°	35	gravite	Kaban, 2002	0,5
KB708	44,000000°	55,500000°	39	gravite	Kaban, 2002	0,5
KB709	44,000000°	56,000000°	39	gravite	Kaban, 2002	0,5
KB710	44,000000°	56,500000°	39	gravite	Kaban, 2002	0,5
KB711	44,000000°	57,000000°	39	gravite	Kaban, 2002	0,5
KB712	44,000000°	57,500000°	39	gravite	Kaban, 2002	0,5
KB713	44,000000°	58,000000°	39	gravite	Kaban, 2002	0,5
KB714	44,000000°	58,500000°	37,5	gravite	Kaban, 2002	0,5
KB715	44,000000°	59,000000°	36,5	gravite	Kaban, 2002	0,5
KB716	44,000000°	59,500000°	35,5	gravite	Kaban, 2002	0,5
KB717	44,000000°	60,000000°	35	gravite	Kaban, 2002	0,5
KB718	43,500000°	55,500000°	39	gravite	Kaban, 2002	0,5

Tablo 8.1. (Devamı)

Lokasyon	Enlem	Boylam	Kalınlık (km)	Yöntem	Referans	Hata Oranı (\pm) km
KB719	43,500000°	56,000000°	39	gravite	Kaban, 2002	0,5
KB720	43,500000°	56,500000°	39	gravite	Kaban, 2002	0,5
KB721	43,500000°	57,000000°	39	gravite	Kaban, 2002	0,5
KB722	43,500000°	57,500000°	39	gravite	Kaban, 2002	0,5
KB723	43,500000°	58,000000°	38	gravite	Kaban, 2002	0,5
KB724	43,500000°	58,500000°	38	gravite	Kaban, 2002	0,5
KB725	43,500000°	59,000000°	37	gravite	Kaban, 2002	0,5
KB726	43,500000°	59,500000°	36	gravite	Kaban, 2002	0,5
KB727	43,500000°	60,000000°	35,5	gravite	Kaban, 2002	0,5
KB728	43,000000°	55,500000°	39,5	gravite	Kaban, 2002	0,5
KB729	43,000000°	56,000000°	39	gravite	Kaban, 2002	0,5
KB730	43,000000°	56,500000°	39	gravite	Kaban, 2002	0,5
KB731	43,000000°	57,000000°	38,5	gravite	Kaban, 2002	0,5
KB732	43,000000°	57,500000°	38,5	gravite	Kaban, 2002	0,5
KB733	43,000000°	58,000000°	38	gravite	Kaban, 2002	0,5
KB734	43,000000°	58,500000°	38	gravite	Kaban, 2002	0,5
KB735	43,000000°	59,000000°	37,5	gravite	Kaban, 2002	0,5
KB736	43,000000°	59,500000°	37,5	gravite	Kaban, 2002	0,5
KB737	43,000000°	60,000000°	37	gravite	Kaban, 2002	0,5
KB738	42,500000°	55,500000°	40	gravite	Kaban, 2002	0,5
KB739	42,500000°	56,000000°	39	gravite	Kaban, 2002	0,5
KB740	42,500000°	56,500000°	39	gravite	Kaban, 2002	0,5
KB741	42,500000°	57,000000°	38	gravite	Kaban, 2002	0,5

Tablo 8.1. (Devamı)

Lokasyon	Enlem	Boylam	Kalınlık (km)	Yöntem	Referans	Hata Oranı (\pm) km
KB742	42,500000°	57,500000°	38	gravite	Kaban, 2002	0,5
KB743	42,500000°	58,000000°	38	gravite	Kaban, 2002	0,5
KB744	42,500000°	58,500000°	38	gravite	Kaban, 2002	0,5
KB745	42,500000°	59,000000°	38,5	gravite	Kaban, 2002	0,5
KB746	42,500000°	59,500000°	38,5	gravite	Kaban, 2002	0,5
KB747	42,500000°	60,000000°	39	gravite	Kaban, 2002	0,5
KB748	42,000000°	55,500000°	39	gravite	Kaban, 2002	0,5
KB749	42,000000°	56,000000°	39	gravite	Kaban, 2002	0,5
KB750	42,000000°	56,500000°	39	gravite	Kaban, 2002	0,5
KB751	42,000000°	57,000000°	38,5	gravite	Kaban, 2002	0,5
KB752	42,000000°	57,500000°	38,5	gravite	Kaban, 2002	0,5
KB753	42,000000°	58,000000°	38,5	gravite	Kaban, 2002	0,5
KB754	42,000000°	58,500000°	38,5	gravite	Kaban, 2002	0,5
KB755	42,000000°	59,000000°	38,5	gravite	Kaban, 2002	0,5
KB756	42,000000°	59,500000°	39	gravite	Kaban, 2002	0,5
KB757	42,000000°	60,000000°	40	gravite	Kaban, 2002	0,5
KB758	41,500000°	55,500000°	39	gravite	Kaban, 2002	0,5
KB759	41,500000°	56,000000°	40	gravite	Kaban, 2002	0,5
KB760	41,500000°	56,500000°	39,5	gravite	Kaban, 2002	0,5
KB761	41,500000°	57,000000°	38,5	gravite	Kaban, 2002	0,5
KB762	41,500000°	57,500000°	38,5	gravite	Kaban, 2002	0,5
KB763	41,500000°	58,000000°	38,5	gravite	Kaban, 2002	0,5
KB764	41,500000°	58,500000°	38,5	gravite	Kaban, 2002	0,5

Tablo 8.1. (Devamı)

Lokasyon	Enlem	Boylam	Kalınlık (km)	Yöntem	Referans	Hata Oranı (\pm) km
KB765	41,500000°	59,000000°	38,5	gravite	Kaban, 2002	0,5
KB766	41,500000°	59,500000°	39	gravite	Kaban, 2002	0,5
KB767	41,500000°	60,000000°	40	gravite	Kaban, 2002	0,5
KB768	41,000000°	55,500000°	37,5	gravite	Kaban, 2002	0,5
KB769	41,000000°	56,000000°	40	gravite	Kaban, 2002	0,5
KB770	41,000000°	56,500000°	40	gravite	Kaban, 2002	0,5
KB771	41,000000°	57,000000°	38,5	gravite	Kaban, 2002	0,5
KB772	41,000000°	57,500000°	38,5	gravite	Kaban, 2002	0,5
KB773	41,000000°	58,000000°	38,5	gravite	Kaban, 2002	0,5
KB774	41,000000°	58,500000°	38,5	gravite	Kaban, 2002	0,5
KB775	41,000000°	59,000000°	38,5	gravite	Kaban, 2002	0,5
KB776	41,000000°	59,500000°	38,5	gravite	Kaban, 2002	0,5
KB777	41,000000°	60,000000°	40	gravite	Kaban, 2002	0,5
KB778	40,500000°	55,500000°	36	gravite	Kaban, 2002	0,5
KB779	40,500000°	56,000000°	37,5	gravite	Kaban, 2002	0,5
KB780	40,500000°	56,500000°	38,5	gravite	Kaban, 2002	0,5
KB781	40,500000°	57,000000°	38,5	gravite	Kaban, 2002	0,5
KB782	40,500000°	57,500000°	38,5	gravite	Kaban, 2002	0,5
KB783	40,500000°	58,000000°	38	gravite	Kaban, 2002	0,5
KB784	40,500000°	58,500000°	38	gravite	Kaban, 2002	0,5
KB785	40,500000°	59,000000°	38	gravite	Kaban, 2002	0,5
KB786	40,500000°	59,500000°	38,5	gravite	Kaban, 2002	0,5
KB787	40,500000°	60,000000°	39,5	gravite	Kaban, 2002	0,5

Tablo 8.1. (Devamı)

Lokasyon	Enlem	Boylam	Kalınlık (km)	Yöntem	Referans	Hata Oranı (\pm) km
KB788	40,000000°	55,500000°	36,5	gravite	Kaban, 2002	0,5
KB789	40,000000°	56,000000°	37	gravite	Kaban, 2002	0,5
KB790	40,000000°	56,500000°	37,5	gravite	Kaban, 2002	0,5
KB791	40,000000°	57,000000°	37,5	gravite	Kaban, 2002	0,5
KB792	40,000000°	57,500000°	37,5	gravite	Kaban, 2002	0,5
KB793	40,000000°	58,000000°	37	gravite	Kaban, 2002	0,5
KB794	40,000000°	58,500000°	36	gravite	Kaban, 2002	0,5
KB795	40,000000°	59,000000°	37	gravite	Kaban, 2002	0,5
KB796	40,000000°	59,500000°	38	gravite	Kaban, 2002	0,5
KB797	40,000000°	60,000000°	39,5	gravite	Kaban, 2002	0,5
KB798	39,500000°	55,500000°	40	gravite	Kaban, 2002	0,5
KB799	39,500000°	56,000000°	39	gravite	Kaban, 2002	0,5
KB800	39,500000°	56,500000°	39	gravite	Kaban, 2002	0,5
KB801	39,500000°	57,000000°	38,5	gravite	Kaban, 2002	0,5
KB802	39,500000°	57,500000°	38	gravite	Kaban, 2002	0,5
KB803	39,500000°	58,000000°	37,5	gravite	Kaban, 2002	0,5
KB804	39,500000°	58,500000°	37	gravite	Kaban, 2002	0,5
KB805	39,500000°	59,000000°	36,5	gravite	Kaban, 2002	0,5
KB806	39,500000°	59,500000°	38,5	gravite	Kaban, 2002	0,5
KB807	39,500000°	60,000000°	40	gravite	Kaban, 2002	0,5
KB808	39,000000°	55,500000°	40	gravite	Kaban, 2002	0,5
KB809	39,000000°	56,000000°	40	gravite	Kaban, 2002	0,5
KB810	39,000000°	56,500000°	40	gravite	Kaban, 2002	0,5

Tablo 8.1. (Devamı)

Lokasyon	Enlem	Boylam	Kalınlık (km)	Yöntem	Referans	Hata Oranı (\pm) km
KB811	39,000000°	57,000000°	41	gravite	Kaban, 2002	0,5
KB812	39,000000°	57,500000°	40	gravite	Kaban, 2002	0,5
KB813	39,000000°	58,000000°	39	gravite	Kaban, 2002	0,5
KB814	39,000000°	58,500000°	39	gravite	Kaban, 2002	0,5
KB815	39,000000°	59,000000°	39	gravite	Kaban, 2002	0,5
KB816	39,000000°	59,500000°	39	gravite	Kaban, 2002	0,5
KB817	39,000000°	60,000000°	41	gravite	Kaban, 2002	0,5
KB818	38,500000°	55,500000°	41,5	gravite	Kaban, 2002	0,5
KB819	38,500000°	56,000000°	40	gravite	Kaban, 2002	0,5
KB820	38,500000°	56,500000°	40	gravite	Kaban, 2002	0,5
KB821	38,500000°	57,000000°	43	gravite	Kaban, 2002	0,5
KB822	38,500000°	57,500000°	44	gravite	Kaban, 2002	0,5
KB823	38,500000°	58,000000°	43	gravite	Kaban, 2002	0,5
KB824	38,500000°	58,500000°	43	gravite	Kaban, 2002	0,5
KB825	38,500000°	59,000000°	42	gravite	Kaban, 2002	0,5
KB826	38,500000°	59,500000°	42	gravite	Kaban, 2002	0,5
KB827	38,500000°	60,000000°	42,5	gravite	Kaban, 2002	0,5
KB828	38,000000°	55,500000°	45	gravite	Kaban, 2002	0,5
KB829	38,000000°	56,000000°	41	gravite	Kaban, 2002	0,5
KB830	38,000000°	56,500000°	40	gravite	Kaban, 2002	0,5
KB831	38,000000°	57,000000°	40	gravite	Kaban, 2002	0,5
KB832	38,000000°	57,500000°	41,5	gravite	Kaban, 2002	0,5
KB833	38,000000°	58,000000°	38	gravite	Kaban, 2002	0,5

Tablo 8.1. (Devamı)

Lokasyon	Enlem	Boylam	Kalınlık (km)	Yöntem	Referans	Hata Oranı (\pm) km
KB834	38,000000°	58,500000°	47	Gravite	Kaban, 2002	0,5
KB835	38,000000°	59,000000°	45	Gravite	Kaban, 2002	0,5
KB836	38,000000°	59,500000°	45	Gravite	Kaban, 2002	0,5
KB837	38,000000°	60,000000°	45,5	Gravite	Kaban, 2002	0,5
IR1 (İran)	35,416195°	50,688751°	46	alıcı fonksiyonları	Doloei ve Roberts, 2003	
IR2 (İran)	35,662804°	50,897640°	47	alıcı fonksiyonları	Doloei ve Roberts, 2003	
IR3 (İran)	35,476112°	51,023750°	46	alıcı fonksiyonları	Doloei ve Roberts, 2003	
IR4 (İran)	35,238693°	50,901165°	43	alıcı fonksiyonları	Doloei ve Roberts, 2003	
IR5 (İran)	35,212833°	50,581112°	43	alıcı fonksiyonları	Doloei ve Roberts, 2003	
IR6 (İran)	35,473667°	50,425610°	49	alıcı fonksiyonları	Doloei ve Roberts, 2003	
IR7 (İran)	35,702805°	50,608891°	44	alıcı fonksiyonları	Doloei ve Roberts, 2003	
F13 (İran)	28,820000°	51,120000°	51	alıcı fonksiyonları, yüzey dalgaları*	Motaghi vd., 2015	1,5
M1 (İran)	29,050000°	51,320000°	49	alıcı fonksiyonları, yüzey dalgaları*	Motaghi vd., 2015	1,5
A1 (İran)	29,440000°	51,310000°	51	alıcı fonksiyonları, yüzey dalgaları*	Motaghi vd., 2015	2
A3 (İran)	29,350000°	51,860000°	51	alıcı fonksiyonları, yüzey dalgaları*	Motaghi vd., 2015	2
M2 (İran)	29,710000°	52,230000°	51	alıcı fonksiyonları, yüzey dalgaları*	Motaghi vd., 2015	1,5
B1 (İran)	29,840000°	52,580000°	47	alıcı fonksiyonları, yüzey dalgaları*	Motaghi vd., 2015	2
B2 (İran)	30,190000°	52,500000°	45	alıcı fonksiyonları, yüzey dalgaları*	Motaghi vd., 2015	2
B3 (İran)	30,130000°	52,060000°	47	alıcı fonksiyonları, yüzey dalgaları*	Motaghi vd., 2015	2
M6 (İran)	31,580000°	53,810000°	57	alıcı fonksiyonları, yüzey dalgaları*	Motaghi vd., 2015	1,5
C2 (İran)	32,150000°	53,810000°	52	alıcı fonksiyonları, yüzey dalgaları*	Motaghi vd., 2015	1,5
D1 (İran)	32,040000°	54,510000°	37	alıcı fonksiyonları, yüzey dalgaları*	Motaghi vd., 2015	1,5
D3 (İran)	32,410000°	54,090000°	47	alıcı fonksiyonları, yüzey dalgaları*	Motaghi vd., 2015	1,5

Tablo 8.1. (Devamı)

Lokasyon	Enlem	Boylam	Kalınlık (km)	Yöntem	Referans	Hata Oranı (\pm) km
EgeGR13	41,000000°	20,500000°	38	Gravite	Makris vd., 2013	
EgeGR17	41,000000°	22,500000°	30	Gravite	Makris vd., 2013	
EgeGR18	41,000000°	23,000000°	30	Gravite	Makris vd., 2013	
EgeGR22	41,000000°	25,000000°	30	Gravite	Makris vd., 2013	
EgeGR23	41,000000°	25,500000°	30	Gravite	Makris vd., 2013	
EgeGR24	41,000000°	26,000000°	30	Gravite	Makris vd., 2013	
EgeGR25	40,500000°	20,000000°	38	Gravite	Makris vd., 2013	
EgeGR31	40,500000°	23,000000°	30	Gravite	Makris vd., 2013	
EgeGR32	40,500000°	23,500000°	30	Gravite	Makris vd., 2013	
EgeGR33	40,500000°	24,000000°	30	Gravite	Makris vd., 2013	
EgeGR34	40,500000°	24,500000°	28	Gravite	Makris vd., 2013	
EgeGR35	40,500000°	25,000000°	28	Gravite	Makris vd., 2013	
EgeGR36	40,500000°	25,500000°	30	Gravite	Makris vd., 2013	
EgeGR37	40,500000°	26,000000°	30	Gravite	Makris vd., 2013	
EgeGR44	40,000000°	23,000000°	32	Gravite	Makris vd., 2013	
EgeGR45	40,000000°	23,500000°	30	Gravite	Makris vd., 2013	
EgeGR46	40,000000°	24,000000°	26	Gravite	Makris vd., 2013	
EgeGR47	40,000000°	24,500000°	24	Gravite	Makris vd., 2013	
EgeGR48	40,000000°	25,000000°	26	Gravite	Makris vd., 2013	
EgeGR49	40,000000°	25,500000°	28	Gravite	Makris vd., 2013	
EgeGR50	40,000000°	26,000000°	30	Gravite	Makris vd., 2013	
EgeGR57	39,500000°	23,000000°	30	Gravite	Makris vd., 2013	
EgeGR58	39,500000°	23,500000°	28	Gravite	Makris vd., 2013	

Tablo 8.1. (Devamı)

Lokasyon	Enlem	Boylam	Kalınlık (km)	Yöntem	Referans	Hata Oranı (\pm) km
EgeGR59	39,500000°	24,000000°	24	Gravite	Makris vd., 2013	
EgeGR60	39,500000°	24,500000°	24	Gravite	Makris vd., 2013	
EgeGR61	39,500000°	25,000000°	24	Gravite	Makris vd., 2013	
EgeGR62	39,500000°	25,500000°	28	Gravite	Makris vd., 2013	
EgeGR63	39,500000°	26,000000°	30	Gravite	Makris vd., 2013	
EgeGR64	39,000000°	20,000000°	32	Gravite	Makris vd., 2013	
EgeGR72	39,000000°	24,000000°	24	Gravite	Makris vd., 2013	
EgeGR73	39,000000°	24,500000°	24	Gravite	Makris vd., 2013	
EgeGR74	39,000000°	25,000000°	24	Gravite	Makris vd., 2013	
EgeGR75	39,000000°	25,500000°	26	Gravite	Makris vd., 2013	
EgeGR76	39,000000°	26,000000°	30	Gravite	Makris vd., 2013	
EgeGR85	38,500000°	24,000000°	26	Gravite	Makris vd., 2013	
EgeGR86	38,500000°	24,500000°	24	Gravite	Makris vd., 2013	
EgeGR87	38,500000°	25,000000°	24	Gravite	Makris vd., 2013	
EgeGR88	38,500000°	25,500000°	24	Gravite	Makris vd., 2013	
EgeGR89	38,500000°	26,000000°	26	Gravite	Makris vd., 2013	
EgeGR98	38,000000°	24,000000°	24	Gravite	Makris vd., 2013	
EgeGR99	38,000000°	24,500000°	24	Gravite	Makris vd., 2013	
EgeGR100	38,000000°	25,000000°	26	Gravite	Makris vd., 2013	
EgeGR101	38,000000°	25,500000°	26	Gravite	Makris vd., 2013	
EgeGR102	38,000000°	26,000000°	26	Gravite	Makris vd., 2013	
EgeGR113	37,500000°	25,000000°	20	Gravite	Makris vd., 2013	
EgeGR114	37,500000°	25,500000°	24	Gravite	Makris vd., 2013	

Tablo 8.1. (Devamı)

Lokasyon	Enlem	Boylam	Kalınlık (km)	Yöntem	Referans	Hata Oranı (\pm) km
EgeGR115	37,500000°	26,000000°	26	Gravite	Makris vd., 2013	
EgeGR122	37,000000°	23,000000°	30	Gravite	Makris vd., 2013	
EgeGR123	37,000000°	23,500000°	26	Gravite	Makris vd., 2013	
EgeGR124	37,000000°	24,000000°	22	Gravite	Makris vd., 2013	
EgeGR125	37,000000°	24,500000°	20	Gravite	Makris vd., 2013	
EgeGR126	37,000000°	25,000000°	18	Gravite	Makris vd., 2013	
EgeGR127	37,000000°	25,500000°	20	Gravite	Makris vd., 2013	
EgeGR128	37,000000°	26,000000°	22	Gravite	Makris vd., 2013	
EgeGR133	36,500000°	22,000000°	30	Gravite	Makris vd., 2013	
EgeGR134	36,500000°	22,500000°	32	Gravite	Makris vd., 2013	
EgeGR135	36,500000°	23,000000°	30	Gravite	Makris vd., 2013	
EgeGR136	36,500000°	23,500000°	24	Gravite	Makris vd., 2013	
EgeGR137	36,500000°	24,000000°	22	Gravite	Makris vd., 2013	
EgeGR138	36,500000°	24,500000°	20	Gravite	Makris vd., 2013	
EgeGR139	36,500000°	25,000000°	18	Gravite	Makris vd., 2013	
EgeGR140	36,500000°	25,500000°	18	Gravite	Makris vd., 2013	
EgeGR141	36,500000°	26,000000°	20	Gravite	Makris vd., 2013	
EgeGR142	36,500000°	26,500000°	24	Gravite	Makris vd., 2013	
EgeGR147	36,000000°	22,000000°	28	Gravite	Makris vd., 2013	
EgeGR148	36,000000°	22,500000°	30	Gravite	Makris vd., 2013	
EgeGR149	36,000000°	23,000000°	30	Gravite	Makris vd., 2013	
EgeGR150	36,000000°	23,500000°	26	Gravite	Makris vd., 2013	
EgeGR151	36,000000°	24,000000°	22	Gravite	Makris vd., 2013	

Tablo 8.1. (Devamı)

Lokasyon	Enlem	Boylam	Kalınlık (km)	Yöntem	Referans	Hata Oranı (\pm) km
EgeGR152	36,000000°	24,500000°	20	Gravite	Makris vd., 2013	
EgeGR153	36,000000°	25,000000°	18	Gravite	Makris vd., 2013	
EgeGR154	36,000000°	25,500000°	18	Gravite	Makris vd., 2013	
EgeGR155	36,000000°	26,000000°	20	Gravite	Makris vd., 2013	
EgeGR156	36,000000°	26,500000°	22	Gravite	Makris vd., 2013	
EgeGR164	35,500000°	23,500000°	28	Gravite	Makris vd., 2013	
EgeGR165	35,500000°	24,000000°	28	Gravite	Makris vd., 2013	
EgeGR166	35,500000°	24,500000°	26	Gravite	Makris vd., 2013	
EgeGR167	35,500000°	25,000000°	26	Gravite	Makris vd., 2013	
EgeGR168	35,500000°	25,500000°	24	Gravite	Makris vd., 2013	
EgeGR169	35,500000°	26,000000°	24	Gravite	Makris vd., 2013	
EgeGR170	35,500000°	26,500000°	24	Gravite	Makris vd., 2013	
EgeGR178	35,000000°	24,000000°	28	Gravite	Makris vd., 2013	
EgeGR182	35,000000°	26,000000°	28	Gravite	Makris vd., 2013	
EgeGR183	35,000000°	26,500000°	26	Gravite	Makris vd., 2013	
EgeGR191	34,500000°	23,500000°	24	Gravite	Makris vd., 2013	
EgeGR192	34,500000°	24,000000°	24	Gravite	Makris vd., 2013	
EgeGR193	34,500000°	24,500000°	26	Gravite	Makris vd., 2013	
EgeGR194	34,500000°	25,000000°	26	Gravite	Makris vd., 2013	
EgeGR196	34,500000°	26,000000°	26	Gravite	Makris vd., 2013	
EgeGR197	34,500000°	26,500000°	24	Gravite	Makris vd., 2013	
MsrGR2	29,500000°	26,500000°	32,9	Gravite	El-Khadragy vd., 2010	0,1
MsrGR3	29,500000°	27,000000°	32,7	Gravite	El-Khadragy vd., 2010	0,1

Tablo 8.1. (Devamı)

Lokasyon	Enlem	Boylam	Kalınlık (km)	Yöntem	Referans	Hata Oranı (\pm) km
MsrGR4	29,500000°	27,500000°	32,5	Gravite	El-Khadragy vd., 2010	0,1
MsrGR5	29,500000°	28,000000°	32,3	Gravite	El-Khadragy vd., 2010	0,1
MsrGR7	29,000000°	26,500000°	33,6	Gravite	El-Khadragy vd., 2010	0,1
MsrGR8	29,000000°	27,000000°	33,4	Gravite	El-Khadragy vd., 2010	0,1
MsrGR9	29,000000°	27,500000°	33,1	Gravite	El-Khadragy vd., 2010	0,1
MsrGR10	29,000000°	28,000000°	32,9	Gravite	El-Khadragy vd., 2010	0,1
MsrGR11	28,500000°	26,000000°	34,6	Gravite	El-Khadragy vd., 2010	0,1
MsrGR12	28,500000°	26,500000°	34,4	Gravite	El-Khadragy vd., 2010	0,1
MsrGR13	28,500000°	27,000000°	34,1	Gravite	El-Khadragy vd., 2010	0,1
MsrGR14	28,500000°	27,500000°	33,8	Gravite	El-Khadragy vd., 2010	0,1
MsrGR15	28,500000°	28,000000°	33,6	Gravite	El-Khadragy vd., 2010	0,1
MsrGR16	28,250000°	26,000000°	35	Gravite	El-Khadragy vd., 2010	0,1
MsrGR17	28,250000°	26,500000°	34,8	Gravite	El-Khadragy vd., 2010	0,1
MsrGR18	28,250000°	27,000000°	34,5	Gravite	El-Khadragy vd., 2010	0,1
MsrGR19	28,250000°	27,500000°	34	Gravite	El-Khadragy vd., 2010	0,1
MsrGR20	28,250000°	28,000000°	33,7	Gravite	El-Khadragy vd., 2010	0,1
MsrGR22	29,250000°	26,500000°	33,3	Gravite	El-Khadragy vd., 2010	0,1
MsrGR23	29,250000°	27,000000°	33	Gravite	El-Khadragy vd., 2010	0,1
MsrGR24	29,250000°	27,500000°	32,8	Gravite	El-Khadragy vd., 2010	0,1
MsrGR25	29,250000°	28,000000°	32,5	Gravite	El-Khadragy vd., 2010	0,1
MsrGR26	28,750000°	26,000000°	34,1	Gravite	El-Khadragy vd., 2010	0,1
MsrGR27	28,750000°	26,500000°	34	Gravite	El-Khadragy vd., 2010	0,1
MsrGR28	28,750000°	27,000000°	33,75	Gravite	El-Khadragy vd., 2010	0,1

Tablo 8.1. (Devamı)

Lokasyon	Enlem	Boylam	Kalınlık (km)	Yöntem	Referans	Hata Oranı (\pm) km
MsrGR29	28,750000°	27,500000°	33,5	Gravite	El-Khadragy vd., 2010	0,1
MsrGR30	28,750000°	28,000000°	33,3	Gravite	El-Khadragy vd., 2010	0,1
MsrGR31	31,500000°	30,500000°	28	Gravite	Saleh, 2013	1
MsrGR32	31,500000°	31,000000°	28	Gravite	Saleh, 2013	1
MsrGR33	31,500000°	31,500000°	28	Gravite	Saleh, 2013	1
MsrGR34	31,500000°	32,000000°	28	Gravite	Saleh, 2013	1
MsrGR35	31,500000°	32,500000°	27	Gravite	Saleh, 2013	1
MsrGR36	31,500000°	33,000000°	27	Gravite	Saleh, 2013	1
MsrGR37	31,500000°	33,500000°	27	Gravite	Saleh, 2013	1
MsrGR38	31,500000°	34,000000°	27	Gravite	Saleh, 2013	1
MsrGR39	31,000000°	30,500000°	32,5	Gravite	Saleh, 2013	1
MsrGR40	31,000000°	31,000000°	32,5	Gravite	Saleh, 2013	1
MsrGR41	31,000000°	31,500000°	33,5	Gravite	Saleh, 2013	1
MsrGR42	31,000000°	32,000000°	34,5	Gravite	Saleh, 2013	1
MsrGR43	31,000000°	32,500000°	32,5	Gravite	Saleh, 2013	1
MsrGR44	31,000000°	33,000000°	33,5	Gravite	Saleh, 2013	1
MsrGR45	31,000000°	33,500000°	32,5	Gravite	Saleh, 2013	1
MsrGR47	30,500000°	30,500000°	35,5	Gravite	Saleh, 2013	1
MsrGR48	30,500000°	31,000000°	35,5	Gravite	Saleh, 2013	1
MsrGR49	30,500000°	32,000000°	36	Gravite	Saleh, 2013	1
MsrGR50	30,500000°	32,500000°	35,5	Gravite	Saleh, 2013	1
MsrGR51	30,500000°	33,000000°	35,5	Gravite	Saleh, 2013	1
MsrGR52	30,500000°	33,500000°	35,5	Gravite	Saleh, 2013	1

Tablo 8.1. (Devamı)

Lokasyon	Enlem	Boylam	Kalınlık (km)	Yöntem	Referans	Hata Oranı (\pm) km
MsrGR53	30,500000°	34,000000°	36	Gravite	Saleh, 2013	1
MsrGR54	30,000000°	33,500000°	31,5	gravite,sismik,manyetik*	El-Khadragy vd., 2014	0,5
MsrGR55	30,000000°	34,000000°	31,5	gravite,sismik,manyetik*	El-Khadragy vd., 2014	0,5
MsrGR56	30,000000°	34,500000°	32,5	gravite,sismik,manyetik*	El-Khadragy vd., 2014	0,5
MsrGR57	29,500000°	33,000000°	31	gravite,sismik,manyetik*	El-Khadragy vd., 2014	0,5
MsrGR58	29,500000°	33,500000°	33	gravite,sismik,manyetik*	El-Khadragy vd., 2014	0,5
MsrGR59	29,500000°	34,000000°	33,5	gravite,sismik,manyetik*	El-Khadragy vd., 2014	0,5
MsrGR60	29,500000°	34,500000°	34	gravite,sismik,manyetik*	El-Khadragy vd., 2014	0,5
MsrGR61	31,000000°	29,500000°	27	Gravite	Saada vd., 2013	0,5
MsrGR62	31,000000°	30,000000°	30	Gravite	Saada vd., 2013	0,5
MsrGR63	30,500000°	29,000000°	27	Gravite	Saada vd., 2013	0,5
MsrGR64	30,500000°	29,500000°	28	Gravite	Saada vd., 2013	0,5
MsrGR65	30,500000°	30,000000°	31	Gravite	Saada vd., 2013	0,5
MsrGR66	30,000000°	29,000000°	28,5	Gravite	Saada vd., 2013	0,5
MsrGR67	30,000000°	29,500000°	29	Gravite	Saada vd., 2013	0,5
MsrGR68	30,000000°	30,000000°	32	Gravite	Saada vd., 2013	0,5
MsrGR69	30,000000°	30,500000°	33	Gravite	Saada vd., 2013	0,5
MsrGR70	30,000000°	31,000000°	33	Gravite	Saada vd., 2013	0,5
MsrGR71	30,000000°	31,500000°	33	Gravite	Saada vd., 2013	0,5
MsrGR72	30,000000°	32,500000°	33	Gravite	Saada vd., 2013	0,5
MsrGR73	29,500000°	29,000000°	31	Gravite	Saada vd., 2013	0,5
MsrGR74	29,500000°	29,500000°	32	Gravite	Saada vd., 2013	0,5
MsrGR75	29,500000°	30,000000°	33	Gravite	Saada vd., 2013	0,5

Tablo 8.1. (Devamı)

Lokasyon	Enlem	Boylam	Kalınlık (km)	Yöntem	Referans	Hata Oranı (\pm) km
MsrGR76	29,500000°	30,500000°	33	Gravite	Saada vd., 2013	0,5
MsrGR77	29,500000°	31,000000°	33	Gravite	Saada vd., 2013	0,5
MsrGR78	29,500000°	31,500000°	33	Gravite	Saada vd., 2013	0,5
MsrGR79	29,500000°	32,000000°	34	Gravite	Saada vd., 2013	0,5
MsrGR80	29,500000°	32,500000°	34	Gravite	Saada vd., 2013	0,5
MsrGR81	29,000000°	29,000000°	33	Gravite	Saada vd., 2013	0,5
MsrGR82	29,000000°	29,500000°	33	Gravite	Saada vd., 2013	0,5
MsrGR83	29,000000°	30,000000°	33	Gravite	Saada vd., 2013	0,5
MsrGR84	29,000000°	30,500000°	33	Gravite	Saada vd., 2013	0,5
MsrGR85	29,000000°	31,000000°	34	Gravite	Saada vd., 2013	0,5
MsrGR86	29,000000°	31,500000°	35	Gravite	Saada vd., 2013	0,5
MsrGR87	29,000000°	32,000000°	35	Gravite	Saada vd., 2013	0,5
MsrGR88	29,000000°	32,500000°	35	Gravite	Saada vd., 2013	0,5
MsrGR89	31,000000°	26,000000°	26	Gravite	Dorre vd., 1997	1
MsrGR90	31,000000°	27,000000°	28	Gravite	Dorre vd., 1997	1
MsrGR91	30,000000°	26,000000°	28	Gravite	Dorre vd., 1997	1
MsrGR92	30,000000°	27,000000°	26	Gravite	Dorre vd., 1997	1
MsrGR93	30,000000°	28,000000°	26	Gravite	Dorre vd., 1997	1
MsrGR94	28,000000°	26,000000°	33	Gravite	Dorre vd., 1997	1
MsrGR95	28,000000°	27,000000°	32	Gravite	Dorre vd., 1997	1
MsrGR96	28,000000°	28,000000°	32	Gravite	Dorre vd., 1997	1
MsrGR97	28,000000°	29,000000°	30	Gravite	Dorre vd., 1997	1
MsrGR98	28,000000°	30,000000°	30	Gravite	Dorre vd., 1997	1

Tablo 8.1. (Devamı)

Lokasyon	Enlem	Boylam	Kalınlık (km)	Yöntem	Referans	Hata Oranı (\pm) km
MsrGR99	28,000000°	31,000000°	30	Gravite	Dorre vd., 1997	1
MsrGR100	28,000000°	32,000000°	30	Gravite	Dorre vd., 1997	1
MsrGR101	28,000000°	33,000000°	28	Gravite	Dorre vd., 1997	1
MsrGR102	28,000000°	34,000000°	24	Gravite	Dorre vd., 1997	1
MsrGR103	28,000000°	35,000000°	18	Gravite	Dorre vd., 1997	1
MsrGR104	27,000000°	26,000000°	34	Gravite	Dorre vd., 1997	1
MsrGR105	27,000000°	27,000000°	33	Gravite	Dorre vd., 1997	1
MsrGR108	27,000000°	30,000000°	31	Gravite	Dorre vd., 1997	1
MsrGR109	27,000000°	31,000000°	32	Gravite	Dorre vd., 1997	1
MsrGR110	27,000000°	32,000000°	32	Gravite	Dorre vd., 1997	1
MsrGR112	27,000000°	34,000000°	26	Gravite	Dorre vd., 1997	1
MsrGR113	27,000000°	35,000000°	18	Gravite	Dorre vd., 1997	1
MsrGR114	26,000000°	26,000000°	34	Gravite	Dorre vd., 1997	1
MsrGR115	26,000000°	27,000000°	34	Gravite	Dorre vd., 1997	1
MsrGR116	26,000000°	28,000000°	32	Gravite	Dorre vd., 1997	1
MsrGR117	26,000000°	29,000000°	32	Gravite	Dorre vd., 1997	1
MsrGR118	26,000000°	30,000000°	31	Gravite	Dorre vd., 1997	1
MsrGR119	26,000000°	31,000000°	32	Gravite	Dorre vd., 1997	1
MsrGR120	26,000000°	32,000000°	33	Gravite	Dorre vd., 1997	1
MsrGR121	26,000000°	33,000000°	32	Gravite	Dorre vd., 1997	1
MsrGR123	26,000000°	35,000000°	26	Gravite	Dorre vd., 1997	1
MsrGR124	25,000000°	26,000000°	35	Gravite	Dorre vd., 1997	1
MsrGR125	25,000000°	27,000000°	34	Gravite	Dorre vd., 1997	1

Tablo 8.1. (Devamı)

Lokasyon	Enlem	Boylam	Kalınlık (km)	Yöntem	Referans	Hata Oranı (\pm) km
MsrGR126	25,000000°	28,000000°	33	Gravite	Dorre vd., 1997	1
MsrGR127	25,000000°	29,000000°	32	Gravite	Dorre vd., 1997	1
MsrGR128	25,000000°	30,000000°	32	Gravite	Dorre vd., 1997	1
MsrGR129	25,000000°	31,000000°	32	Gravite	Dorre vd., 1997	1
MsrGR130	25,000000°	32,000000°	32	Gravite	Dorre vd., 1997	1
MsrGR131	25,000000°	33,000000°	32	Gravite	Dorre vd., 1997	1
MsrGR133	25,000000°	35,000000°	28	Gravite	Dorre vd., 1997	1
MsrGR134	24,000000°	26,000000°	34	Gravite	Dorre vd., 1997	1
MsrGR135	24,000000°	27,000000°	34	Gravite	Dorre vd., 1997	1
MsrGR136	24,000000°	28,000000°	34	Gravite	Dorre vd., 1997	1
MsrGR137	24,000000°	29,000000°	33	Gravite	Dorre vd., 1997	1
MsrGR138	24,000000°	30,000000°	32	Gravite	Dorre vd., 1997	1
MsrGR139	24,000000°	31,000000°	32	Gravite	Dorre vd., 1997	1
MsrGR144	23,000000°	26,000000°	33	Gravite	Dorre vd., 1997	1
MsrGR145	23,000000°	27,000000°	34	Gravite	Dorre vd., 1997	1
MsrGR146	23,000000°	28,000000°	34	Gravite	Dorre vd., 1997	1
MsrGR147	23,000000°	29,000000°	33	Gravite	Dorre vd., 1997	1
MsrGR148	23,000000°	30,000000°	33	Gravite	Dorre vd., 1997	1
MsrGR149	23,000000°	31,000000°	32	Gravite	Dorre vd., 1997	1
ABAD (İran)	28,310000°	57,040000°	45,4	alıcı fonksiyonları	Yaminifard vd., 2012	0,5
ABZA (İran)	27,600000°	56,310000°	45,6	alıcı fonksiyonları	Yaminifard vd., 2012	0,5
AGHA (İran)	27,700000°	56,390000°	46,2	alıcı fonksiyonları	Yaminifard vd., 2012	0,5
BAGA (İran)	28,320000°	56,860000°	45,8	alıcı fonksiyonları	Yaminifard vd., 2012	0,5

Tablo 8.1. (Devamı)

Lokasyon	Enlem	Boylam	Kalınlık (km)	Yöntem	Referans	Hata Oranı (\pm) km
BAGN (İran)	27,710000°	55,900000°	45,4	alıcı fonksiyonları	Yaminifard vd., 2012	0,5
BANR (İran)	27,580000°	56,370000°	45,8	alıcı fonksiyonları	Yaminifard vd., 2012	0,5
BONE (İran)	28,150000°	56,700000°	45,8	alıcı fonksiyonları	Yaminifard vd., 2012	0,5
GENO (İran)	27,400000°	56,290000°	45,4	alıcı fonksiyonları	Yaminifard vd., 2012	0,5
JAVN (İran)	27,510000°	56,200000°	45,4	alıcı fonksiyonları	Yaminifard vd., 2012	0,5
KHON (İran)	27,360000°	56,420000°	45,5	alıcı fonksiyonları	Yaminifard vd., 2012	0,5
MASH (İran)	27,780000°	56,520000°	34,5	alıcı fonksiyonları	Yaminifard vd., 2012	0,5
MEZR (İran)	27,630000°	56,140000°	45,5	alıcı fonksiyonları	Yaminifard vd., 2012	0,5
MORD (İran)	28,250000°	57,080000°	45,5	alıcı fonksiyonları	Yaminifard vd., 2012	0,5
NAMD (İran)	27,850000°	56,590000°	34,4	alıcı fonksiyonları	Yaminifard vd., 2012	0,5
REZN (İran)	27,550000°	56,070000°	45,5	alıcı fonksiyonları	Yaminifard vd., 2012	0,5
SP03 (Beyaz Rusya)	52,847000°	28,736400°	45	sismik kırılma	Thybo vd., 2003	1
SP04 (Beyaz Rusya)	52,580000°	28,683200°	44	sismik kırılma	Thybo vd., 2003	1
SP05 (Beyaz Rusya)	52,309700°	28,641000°	43	sismik kırılma	Thybo vd., 2003	1
SP06 (Beyaz Rusya)	52,018500°	28,581800°	44	sismik kırılma	Thybo vd., 2003	1
SP07 (Beyaz Rusya)	51,782300°	28,536200°	44	sismik kırılma	Thybo vd., 2003	1
SP08 (Ukranya)	51,515800°	28,493400°	44	sismik kırılma	Thybo vd., 2003	1
SP09 (Ukranya)	51,222000°	28,479600°	48	sismik kırılma	Thybo vd., 2003	1
SP10 (Ukranya)	50,966300°	28,418300°	45	sismik kırılma	Thybo vd., 2003	1
SP11 (Ukranya)	50,670800°	28,395600°	45	sismik kırılma	Thybo vd., 2003	1
SP12 (Ukranya)	50,428400°	28,355600°	45,5	sismik kırılma	Thybo vd., 2003	1
SP13 (Ukranya)	50,155100°	28,313000°	45,5	sismik kırılma	Thybo vd., 2003	1
SP14 (Ukranya)	49,886200°	28,282800°	45,5	sismik kırılma	Thybo vd., 2003	1

Tablo 8.1. (Devamı)

Lokasyon	Enlem	Boylam	Kalınlık (km)	Yöntem	Referans	Hata Oranı (\pm) km
SP15 (Ukranya)	49,618800°	28,250900°	46,5	sismik kırılma	Thybo vd., 2003	1
SP16 (Ukranya)	49,315300°	28,219000°	49	sismik kırılma	Thybo vd., 2003	1
25010 (Macaristan)	46,113650°	18,708100°	23,5	sismik kırılma	Grad vd., 2006	0,5
26710 (Slovakya)	48,580550°	20,805167°	29	sismik kırılma	Grad vd., 2006	0,5
20040 (Avusturya)	47,883700°	15,095200°	40,5	sismik kırılma	Grad vd., 2009	0,5
20050 (Avusturya)	48,340400°	15,595100°	39	sismik kırılma	Grad vd., 2009	0,5
Behm1	49,000000°	16,000000°	35	sismik kırılma	Behm vd., 2007	1
Behm2	49,000000°	17,500000°	35	sismik kırılma	Behm vd., 2007	1
Behm3	48,500000°	17,500000°	30	sismik kırılma	Behm vd., 2007	1
Behm4	48,000000°	16,500000°	35,5	sismik kırılma	Behm vd., 2007	1
Behm5	47,500000°	16,000000°	40	sismik kırılma	Behm vd., 2007	1
Behm6	47,500000°	16,500000°	35,5	sismik kırılma	Behm vd., 2007	1
Behm7	47,500000°	17,000000°	30	sismik kırılma	Behm vd., 2007	1
Behm8	47,500000°	17,500000°	29	sismik kırılma	Behm vd., 2007	1
Behm9	47,000000°	17,000000°	30	sismik kırılma	Behm vd., 2007	1
Behm10	47,000000°	17,500000°	30	sismik kırılma	Behm vd., 2007	1
Behm11	46,500000°	16,500000°	31	sismik kırılma	Behm vd., 2007	1
Behm12	46,500000°	17,500000°	30	sismik kırılma	Behm vd., 2007	1
Behm13	46,500000°	18,000000°	29	sismik kırılma	Behm vd., 2007	1
Behm14	46,000000°	15,000000°	35	sismik kırılma	Behm vd., 2007	1
Behm15	46,000000°	16,500000°	26	sismik kırılma	Behm vd., 2007	1
Behm16	46,000000°	17,000000°	25	sismik kırılma	Behm vd., 2007	1
Behm17	45,500000°	17,000000°	26	sismik kırılma	Behm vd., 2007	1

Tablo 8.1. (Devamı)

Lokasyon	Enlem	Boylam	Kalınlık (km)	Yöntem	Referans	Hata Oranı (\pm) km
MARJ (Libya)	32,523000°	20,878000°	31	alıcı fonksiyonları, Poison oranı*	Meijde vd., 2003	1,5
20060 (Avusturya)	48,603300°	15,844700°	40	sismik kırılma	Hrubcová ve Šroda, 2008	0,5
20070 (Çek Cum.)	49,250000°	16,420000°	36	sismik kırılma	Hrubcová ve Šroda, 2008	0,5
20080 (Çek Cum.)	49,450000°	16,840000°	35,5	sismik kırılma	Hrubcová ve Šroda, 2008	0,5
20090 (Çek Cum.)	49,850000°	17,380000°	36	sismik kırılma	Hrubcová ve Šroda, 2008	0,5
29120 (Avusturya)	48,950000°	15,340000°	38	sismik kırılma	Hrubcova vd., 2005	0,5
29130 (Avusturya)	48,750000°	15,800000°	40,5	sismik kırılma	Hrubcova vd., 2005	0,5
29140 (Avusturya)	48,672300°	16,156400°	28,5	sismik kırılma	Hrubcová ve Šroda, 2015	0,5
29150	49,420000°	16,640000°	29	sismik kırılma	Hrubcová ve Šroda, 2015	0,5
21031 (Macaristan)	47,640000°	18,180000°	30,5	sismik kırılma	Hrubcová ve Šroda, 2015	0,5
44080	49,998864°	15,079601°	30,5	sismik kırılma	Hrubcová ve Šroda, 2015	0,5
44090	49,734280°	15,760150°	31,5	sismik kırılma	Hrubcová ve Šroda, 2015	0,5
44100	49,463500°	16,165500°	32	sismik kırılma	Hrubcová ve Šroda, 2015	0,5
44110	49,266916°	16,744416°	36,5	sismik kırılma	Hrubcová ve Šroda, 2015	0,5
44140 (Slovakya)	48,474333°	18,704250°	33	sismik kırılma	Hrubcová ve Šroda, 2015	0,5
44170 (Macaristan)	47,916400°	19,507500°	30,5	sismik kırılma	Hrubcová ve Šroda, 2015	0,5
44180 (Macaristan)	47,849700°	19,645800°	30,5	sismik kırılma	Hrubcová ve Šroda, 2015	0,5
44190 (Macaristan)	47,780600°	19,796100°	28,5	sismik kırılma	Hrubcová ve Šroda, 2015	0,5
44200 (Macaristan)	47,714700°	19,915500°	26	sismik kırılma	Hrubcová ve Šroda, 2015	0,5
GRI (İtalya)	38,821900°	16,419700°	43	alıcı fonksiyonları	Marone vd., 2003	
MGR (İtalya)	40,137800°	15,553100°	23	alıcı fonksiyonları	Marone vd., 2003	
SOI (İtalya)	38,073300°	16,054700°	35	alıcı fonksiyonları	Marone vd., 2003	
CA14 (İtalya)	42,121000°	15,505000°	27	alıcı fonksiyonları	Di Bona vd., 2008	

Tablo 8.1. (Devamı)

Lokasyon	Enlem	Boylam	Kalınlık (km)	Yöntem	Referans	Hata Oranı (\pm) km
MSAG (İtalya)	41,712000°	15,910000°	27	alıcı fonksiyonları	Mele vd., 2013	1,5
SGRT (İtalya)	41,755000°	15,744000°	30	alıcı fonksiyonları	Mele vd., 2013	1,2
ItaCS1	42,000000°	15,000000°	32	sismoloji ve alıcı fonksiyonu*	Spada vd., 2013	
ItaCS2	42,000000°	16,000000°	28	sismoloji ve alıcı fonksiyonu*	Spada vd., 2013	
ItaCS3	41,000000°	15,000000°	28	sismoloji ve alıcı fonksiyonu*	Spada vd., 2013	
ItaCS4	41,000000°	16,000000°	36	sismoloji ve alıcı fonksiyonu*	Spada vd., 2013	
ItaCS5	41,000000°	17,000000°	28	sismoloji ve alıcı fonksiyonu*	Spada vd., 2013	
ItaCS6	40,000000°	15,000000°	28	sismoloji ve alıcı fonksiyonu*	Spada vd., 2013	
ItaCS7	40,000000°	16,000000°	32	sismoloji ve alıcı fonksiyonu*	Spada vd., 2013	
ItaCS8	40,000000°	17,000000°	40	sismoloji ve alıcı fonksiyonu*	Spada vd., 2013	
ItaCS9	39,000000°	16,000000°	32	sismoloji ve alıcı fonksiyonu*	Spada vd., 2013	
ItaCS10	39,000000°	17,000000°	40	sismoloji ve alıcı fonksiyonu*	Spada vd., 2013	
ItaCS11	38,000000°	15,000000°	28	sismoloji ve alıcı fonksiyonu*	Spada vd., 2013	
ItaCS12	38,000000°	16,000000°	36	sismoloji ve alıcı fonksiyonu*	Spada vd., 2013	
ItaCS13	37,000000°	15,000000°	32	sismoloji ve alıcı fonksiyonu*	Spada vd., 2013	
ARQ (Umman)	23,340000°	56,520000°	40	alıcı fonksiyonları, yüzey dalgaları*	Al-Hashmi vd., 2011	
ASH (Umman)	24,680000°	56,060000°	45	alıcı fonksiyonları, yüzey dalgaları*	Al-Hashmi vd., 2011	
BAN (Umman)	25,920000°	56,300000°	48	alıcı fonksiyonları, yüzey dalgaları*	Al-Hashmi vd., 2011	
BID (Umman)	23,520000°	58,130000°	44	alıcı fonksiyonları, yüzey dalgaları*	Al-Hashmi vd., 2011	
BSY (Umman)	22,740000°	57,200000°	38	alıcı fonksiyonları, yüzey dalgaları*	Al-Hashmi vd., 2011	
HOQ (Umman)	23,580000°	57,310000°	40	alıcı fonksiyonları, yüzey dalgaları*	Al-Hashmi vd., 2011	
JMD (Umman)	22,370000°	58,100000°	43	alıcı fonksiyonları, yüzey dalgaları*	Al-Hashmi vd., 2011	
SMD (Umman)	23,060000°	58,050000°	38	alıcı fonksiyonları, yüzey dalgaları*	Al-Hashmi vd., 2011	

Tablo 8.1. (Devamı)

Lokasyon	Enlem	Boylam	Kalınlık (km)	Yöntem	Referans	Hata Oranı (\pm) km
WBK (Umman)	22,610000°	58,970000°	46	alıcı fonksiyonları, yüzey dalgaları*	Al-Hashmi vd., 2011	
KTOM (Umman)	23,480000°	57,690000°	41	alıcı fonksiyonları	Al-Lazki vd., 2002	2
AWBI (Umman)	23,300000°	57,530000°	49	alıcı fonksiyonları	Al-Lazki vd., 2002	2
JBRN (Umman)	22,910000°	57,260000°	43	alıcı fonksiyonları	Al-Lazki vd., 2002	2
ESP5 (Akdeniz)	35,720000°	18,040000°	17,3	Sismik Kırılma	De Voogd vd., 1992	
ESP4 (Akdeniz)	36,100000°	17,500000°	19,65	Sismik Kırılma	De Voogd vd., 1992	
ESP19 (Akdeniz)	34,100000°	19,200000°	18,4	Sismik Kırılma	De Voogd vd., 1992	
ESP6 (Akdeniz)	34,320000°	19,640000°	19,8	Sismik Kırılma	De Voogd vd., 1992	
LibGRM1	31,000000°	20,000000°	31	gravite,manyetik*	Ghanoush vd., 2014	
LibGRM2	31,000000°	20,500000°	36	gravite,manyetik*	Ghanoush vd., 2014	
LibGRM3	31,000000°	21,000000°	39,6	gravite,manyetik*	Ghanoush vd., 2014	
LibGRM4	31,000000°	20,500000°	40,6	gravite,manyetik*	Ghanoush vd., 2014	
LibGRM5	30,750000°	19,500000°	37	gravite,manyetik*	Ghanoush vd., 2014	
JDB (Libya)	30,550000°	20,120000°	24,1	alıcı fonksiyonları	Lemnifi vd., 2017	
JFR (Libya)	29,060000°	15,490000°	33,1	alıcı fonksiyonları	Lemnifi vd., 2017	0,12
LibGRM8	30,750000°	21,000000°	40,2	gravite,manyetik*	Ghanoush vd., 2014	
LibGRM9	30,750000°	21,500000°	40,4	gravite,manyetik*	Ghanoush vd., 2014	
LibGRM10	30,500000°	19,000000°	37	gravite,manyetik*	Ghanoush vd., 2014	
LibGRM11	30,500000°	19,500000°	34,6	gravite,manyetik*	Ghanoush vd., 2014	
KFR (Libya)	24,100000°	23,130000°	36	alıcı fonksiyonları	Lemnifi vd., 2017	0,19
MRJ (Libya)	32,350000°	20,530000°	27	alıcı fonksiyonları	Lemnifi vd., 2017	0,28
LibGRM14	30,500000°	21,000000°	40,2	gravite,manyetik*	Ghanoush vd., 2014	
LibGRM15	30,500000°	21,500000°	40,2	gravite,manyetik*	Ghanoush vd., 2014	

Tablo 8.1. (Devamı)

Lokasyon	Enlem	Boylam	Kalınlık (km)	Yöntem	Referans	Hata Oranı (\pm) km
LibGRM16	30,250000°	19,000000°	40	gravite,manyetik*	Ghanoush vd., 2014	
LibGRM17	30,250000°	19,500000°	34,6	gravite,manyetik*	Ghanoush vd., 2014	
LibGRM18	30,250000°	20,000000°	29	gravite,manyetik*	Ghanoush vd., 2014	
LibGRM19	30,250000°	20,500000°	36,6	gravite,manyetik*	Ghanoush vd., 2014	
LibGRM20	30,250000°	21,000000°	40,2	gravite,manyetik*	Ghanoush vd., 2014	
LibGRM21	30,250000°	21,500000°	40,6	gravite,manyetik*	Ghanoush vd., 2014	
LibGRM22	30,000000°	19,000000°	40	gravite,manyetik*	Ghanoush vd., 2014	
LibGRM23	30,000000°	19,500000°	35,4	gravite,manyetik*	Ghanoush vd., 2014	
LibGRM24	30,000000°	20,000000°	29	gravite,manyetik*	Ghanoush vd., 2014	
LibGRM25	30,000000°	20,500000°	34	gravite,manyetik*	Ghanoush vd., 2014	
LibGRM26	30,000000°	21,000000°	40,2	gravite,manyetik*	Ghanoush vd., 2014	
LibGRM27	30,000000°	21,500000°	40,4	gravite,manyetik*	Ghanoush vd., 2014	
LibGRM28	29,750000°	19,000000°	40	gravite,manyetik*	Ghanoush vd., 2014	
LibGRM29	29,750000°	19,500000°	38	gravite,manyetik*	Ghanoush vd., 2014	
LibGRM30	29,750000°	20,000000°	36	gravite,manyetik*	Ghanoush vd., 2014	
LibGRM31	29,750000°	20,500000°	35	gravite,manyetik*	Ghanoush vd., 2014	
LibGRM32	29,750000°	21,000000°	40,2	gravite,manyetik*	Ghanoush vd., 2014	
LibGRM33	29,750000°	21,500000°	40,4	gravite,manyetik*	Ghanoush vd., 2014	
LibGRM34	29,500000°	19,000000°	40,2	gravite,manyetik*	Ghanoush vd., 2014	
LibGRM35	29,500000°	19,500000°	39,6	gravite,manyetik*	Ghanoush vd., 2014	
LibGRM36	29,500000°	20,000000°	36,4	gravite,manyetik*	Ghanoush vd., 2014	
LibGRM37	29,500000°	20,500000°	29	gravite,manyetik*	Ghanoush vd., 2014	
LibGRM38	29,500000°	21,000000°	39,4	gravite,manyetik*	Ghanoush vd., 2014	

Tablo 8.1. (Devamı)

Lokasyon	Enlem	Boylam	Kalınlık (km)	Yöntem	Referans	Hata Oranı (\pm) km
LibGRM39	29,50000°	21,50000°	40,6	gravite,manyetik*	Ghanoush vd., 2014	
LibGRM40	29,25000°	19,00000°	40,4	gravite,manyetik*	Ghanoush vd., 2014	
LibGRM41	29,25000°	19,50000°	40,2	gravite,manyetik*	Ghanoush vd., 2014	
LibGRM42	29,25000°	20,00000°	34,8	gravite,manyetik*	Ghanoush vd., 2014	
LibGRM43	29,25000°	20,50000°	30	gravite,manyetik*	Ghanoush vd., 2014	
MSR (Libya)	32,19000°	15,01000°	30,9	alıcı fonksiyonları	Lemnifi vd., 2017	0,26
UMB (Libya)	26,08000°	14,45000°	30,44	alıcı fonksiyonları	Lemnifi vd., 2017	0,13
LibGRM46	29,00000°	19,00000°	40,4	gravite,manyetik*	Ghanoush vd., 2014	
LibGRM47	29,00000°	19,50000°	40	gravite,manyetik*	Ghanoush vd., 2014	
LibGRM48	29,00000°	20,00000°	39,6	gravite,manyetik*	Ghanoush vd., 2014	
LibGRM49	29,00000°	20,50000°	36	gravite,manyetik*	Ghanoush vd., 2014	
SRT (Libya)	31,05000°	16,39000°	26,1	alıcı fonksiyonları	Lemnifi vd., 2017	0,44
UJL (Libya)	29,07000°	21,18000°	28,8	alıcı fonksiyonları	Lemnifi vd., 2017	0,16
24150	47,60000°	21,42000°	22,5	Sismik Kırılma	Janik vd., 2011	
24140	47,90000°	21,30000°	23,5	Sismik Kırılma	Janik vd., 2011	
24130	48,18000°	21,20000°	25	Sismik Kırılma	Janik vd., 2011	
24120	48,40000°	21,10000°	26	Sismik Kırılma	Janik vd., 2011	
24070	49,80000°	20,46000°	35	Sismik Kırılma	Janik vd., 2011	
24160	47,38000°	21,56000°	22,5	Sismik Kırılma	Janik vd., 2011	
24090	49,08000°	20,64000°	31,5	Sismik Kırılma	Janik vd., 2011	
24080	49,38000°	20,58000°	45	Sismik Kırılma	Janik vd., 2011	
26650	48,24000°	22,08000°	21	Sismik Kırılma	Janik vd., 2011	
26640	48,72000°	21,80000°	27,5	Sismik Kırılma	Janik vd., 2011	

Tablo 8.1. (Devamı)

Lokasyon	Enlem	Boylam	Kalınlık (km)	Yöntem	Referans	Hata Oranı (\pm) km
26700	47,280000°	20,820000°	24	Sismik Kırılma	Janik vd., 2011	
25020 (Macaristan)	46,387950°	18,913567°	22,5	Sismik Kırılma	Janik vd., 2011	
25040 (Macaristan)	47,155667°	19,541333°	22	Sismik Kırılma	Janik vd., 2011	
25050 (Macaristan)	47,416517°	19,783200°	22	Sismik Kırılma	Janik vd., 2011	
25070 (Macaristan)	47,833883°	20,173100°	24	Sismik Kırılma	Janik vd., 2011	
25080 (Macaristan)	48,097267°	20,335317°	25	Sismik Kırılma	Janik vd., 2011	
25090 (Macaristan)	48,337533°	20,514033°	26	Sismik Kırılma	Janik vd., 2011	
25100 (Macaristan)	48,480667°	20,647917°	26,5	Sismik Kırılma	Janik vd., 2011	
25110 (Slovakya)	48,752667°	20,896783°	28,5	Sismik Kırılma	Janik vd., 2011	
25120 (Slovakya)	48,882867°	20,997117°	29	Sismik Kırılma	Janik vd., 2011	
25130 (Slovakya)	49,227550°	21,082867°	30	Sismik Kırılma	Janik vd., 2011	
25140 (Polonya)	49,461133°	21,258217°	30	Sismik Kırılma	Janik vd., 2011	
25150 (Polonya)	49,669467°	21,410467°	31	Sismik Kırılma	Janik vd., 2011	
25170 (Polonya)	49,970800°	21,681350°	38	Sismik Kırılma	Janik vd., 2011	
21020	47,100000°	17,520000°	30	Sismik Kırılma	Janik vd., 2011	
21030 (Macaristan)	47,560000°	18,140000°	29	Sismik Kırılma	Janik vd., 2011	
21060	48,020000°	18,440000°	29	Sismik Kırılma	Janik vd., 2011	
21070	48,220000°	18,560000°	29,5	Sismik Kırılma	Janik vd., 2011	
21090	48,720000°	18,660000°	31	Sismik Kırılma	Janik vd., 2011	
21080	48,720000°	19,100000°	32,5	Sismik Kırılma	Janik vd., 2011	
21100	49,100000°	19,400000°	37,5	Sismik Kırılma	Janik vd., 2011	
21110	49,300000°	19,700000°	39	Sismik Kırılma	Janik vd., 2011	
21120	49,500000°	19,800000°	37,5	Sismik Kırılma	Janik vd., 2011	

Tablo 8.1. (Devamı)

Lokasyon	Enlem	Boylam	Kalınlık (km)	Yöntem	Referans	Hata Oranı (\pm) km
RABH (Suriye)	34,435500°	37,205500°	42	alıcı fonksiyonları	Brew vd., 2001	2
HAWK (Suriye)	34,520000°	36,405333°	28	alıcı fonksiyonları	Brew vd., 2001	3
QASN (Suriye)	33,532833°	36,276167°	37	alıcı fonksiyonları	Brew vd., 2001	3
WHAB (Suriye)	35,917167°	37,552000°	28	alıcı fonksiyonları	Brew vd., 2001	3
Ak131	39,500000°	17,500000°	28	Yüzey dalgası dispersiyon	Di Luccio ve Pasyanos, 2007	1
Ak132	39,500000°	18,000000°	26	Yüzey dalgası dispersiyon	Di Luccio ve Pasyanos, 2007	1
Ak133	39,500000°	18,500000°	25,5	Yüzey dalgası dispersiyon	Di Luccio ve Pasyanos, 2007	1
Ak134	39,500000°	19,000000°	27	Yüzey dalgası dispersiyon	Di Luccio ve Pasyanos, 2007	1
Ak136	39,000000°	17,500000°	25,5	Yüzey dalgası dispersiyon	Di Luccio ve Pasyanos, 2007	1
Ak137	39,000000°	18,000000°	24	Yüzey dalgası dispersiyon	Di Luccio ve Pasyanos, 2007	1
Ak138	39,000000°	18,500000°	23	Yüzey dalgası dispersiyon	Di Luccio ve Pasyanos, 2007	1
Ak139	39,000000°	19,000000°	24,5	Yüzey dalgası dispersiyon	Di Luccio ve Pasyanos, 2007	1
Ak140	39,000000°	19,500000°	27	Yüzey dalgası dispersiyon	Di Luccio ve Pasyanos, 2007	1
Ak141	39,000000°	20,000000°	35	Yüzey dalgası dispersiyon	Di Luccio ve Pasyanos, 2007	1
Ak142	38,500000°	17,000000°	21	Yüzey dalgası dispersiyon	Di Luccio ve Pasyanos, 2007	1
Ak143	38,500000°	17,500000°	21	Yüzey dalgası dispersiyon	Di Luccio ve Pasyanos, 2007	1
Ak144	38,500000°	18,000000°	18,5	Yüzey dalgası dispersiyon	Di Luccio ve Pasyanos, 2007	1
Ak145	38,500000°	18,500000°	18	Yüzey dalgası dispersiyon	Di Luccio ve Pasyanos, 2007	1
Ak146	38,500000°	19,000000°	18,5	Yüzey dalgası dispersiyon	Di Luccio ve Pasyanos, 2007	1
Ak147	38,500000°	19,500000°	24	Yüzey dalgası dispersiyon	Di Luccio ve Pasyanos, 2007	1
Ak148	38,500000°	20,000000°	27,5	Yüzey dalgası dispersiyon	Di Luccio ve Pasyanos, 2007	1
Ak149	38,000000°	17,000000°	14,5	Yüzey dalgası dispersiyon	Di Luccio ve Pasyanos, 2007	1
Ak150	38,000000°	17,500000°	15	Yüzey dalgası dispersiyon	Di Luccio ve Pasyanos, 2007	1

Tablo 8.1. (Devamı)

Lokasyon	Enlem	Boylam	Kalınlık (km)	Yöntem	Referans	Hata Oranı (\pm) km
Ak151	38,000000°	18,000000°	15	Yüzey dalgası dispersiyon	Di Luccio ve Pasyanos, 2007	1
Ak152	38,000000°	18,500000°	14	Yüzey dalgası dispersiyon	Di Luccio ve Pasyanos, 2007	1
Ak153	38,000000°	19,000000°	15	Yüzey dalgası dispersiyon	Di Luccio ve Pasyanos, 2007	1
Ak154	38,000000°	19,500000°	17	Yüzey dalgası dispersiyon	Di Luccio ve Pasyanos, 2007	1
Ak155	38,000000°	20,000000°	22	Yüzey dalgası dispersiyon	Di Luccio ve Pasyanos, 2007	1
Ak156	37,500000°	16,500000°	14	Yüzey dalgası dispersiyon	Di Luccio ve Pasyanos, 2007	1
Ak157	37,500000°	17,000000°	14	Yüzey dalgası dispersiyon	Di Luccio ve Pasyanos, 2007	1
Ak158	37,500000°	17,500000°	14	Yüzey dalgası dispersiyon	Di Luccio ve Pasyanos, 2007	1
Ak159	37,500000°	18,000000°	14	Yüzey dalgası dispersiyon	Di Luccio ve Pasyanos, 2007	1
Ak160	37,500000°	18,500000°	14	Yüzey dalgası dispersiyon	Di Luccio ve Pasyanos, 2007	1
Ak161	37,500000°	19,000000°	14	Yüzey dalgası dispersiyon	Di Luccio ve Pasyanos, 2007	1
Ak162	37,000000°	16,000000°	14	Yüzey dalgası dispersiyon	Di Luccio ve Pasyanos, 2007	1
Ak163	37,000000°	16,500000°	14	Yüzey dalgası dispersiyon	Di Luccio ve Pasyanos, 2007	1
Ak164	37,000000°	17,000000°	14	Yüzey dalgası dispersiyon	Di Luccio ve Pasyanos, 2007	1
Ak165	37,000000°	17,500000°	14	Yüzey dalgası dispersiyon	Di Luccio ve Pasyanos, 2007	1
Ak166	37,000000°	18,000000°	14	Yüzey dalgası dispersiyon	Di Luccio ve Pasyanos, 2007	1
Ak167	37,000000°	18,500000°	14	Yüzey dalgası dispersiyon	Di Luccio ve Pasyanos, 2007	1
Ak168	37,000000°	19,000000°	14	Yüzey dalgası dispersiyon	Di Luccio ve Pasyanos, 2007	1
Ak169	37,000000°	19,500000°	15	Yüzey dalgası dispersiyon	Di Luccio ve Pasyanos, 2007	1
Ak170	37,000000°	20,000000°	21	Yüzey dalgası dispersiyon	Di Luccio ve Pasyanos, 2007	1
Ak171	37,000000°	20,500000°	21,5	Yüzey dalgası dispersiyon	Di Luccio ve Pasyanos, 2007	1
Ak172	36,500000°	15,500000°	14,5	Yüzey dalgası dispersiyon	Di Luccio ve Pasyanos, 2007	1
Ak173	36,500000°	16,000000°	14	Yüzey dalgası dispersiyon	Di Luccio ve Pasyanos, 2007	1

Tablo 8.1. (Devamı)

Lokasyon	Enlem	Boylam	Kalınlık (km)	Yöntem	Referans	Hata Oranı (\pm) km
Ak174	36,500000°	16,500000°	14	Yüzey dalgası dispersiyon	Di Luccio ve Pasyanos, 2007	1
Ak175	36,500000°	17,000000°	14	Yüzey dalgası dispersiyon	Di Luccio ve Pasyanos, 2007	1
Ak176	36,500000°	17,500000°	14	Yüzey dalgası dispersiyon	Di Luccio ve Pasyanos, 2007	1
Ak177	36,500000°	18,000000°	14	Yüzey dalgası dispersiyon	Di Luccio ve Pasyanos, 2007	1
Ak178	36,500000°	18,500000°	14	Yüzey dalgası dispersiyon	Di Luccio ve Pasyanos, 2007	1
Ak179	36,500000°	19,000000°	14,5	Yüzey dalgası dispersiyon	Di Luccio ve Pasyanos, 2007	1
Ak180	36,500000°	19,500000°	17	Yüzey dalgası dispersiyon	Di Luccio ve Pasyanos, 2007	1
Ak181	36,500000°	20,000000°	18,5	Yüzey dalgası dispersiyon	Di Luccio ve Pasyanos, 2007	1
Ak182	36,500000°	20,500000°	19	Yüzey dalgası dispersiyon	Di Luccio ve Pasyanos, 2007	1
Ak183	36,500000°	21,000000°	20	Yüzey dalgası dispersiyon	Di Luccio ve Pasyanos, 2007	1
Ak184	36,000000°	15,500000°	14	Yüzey dalgası dispersiyon	Di Luccio ve Pasyanos, 2007	1
Ak185	36,000000°	16,000000°	14	Yüzey dalgası dispersiyon	Di Luccio ve Pasyanos, 2007	1
Ak186	36,000000°	16,500000°	14	Yüzey dalgası dispersiyon	Di Luccio ve Pasyanos, 2007	1
Ak188	36,000000°	19,000000°	15	Yüzey dalgası dispersiyon	Di Luccio ve Pasyanos, 2007	1
Ak189	36,000000°	19,500000°	16	Yüzey dalgası dispersiyon	Di Luccio ve Pasyanos, 2007	1
Ak190	36,000000°	20,000000°	17	Yüzey dalgası dispersiyon	Di Luccio ve Pasyanos, 2007	1
Ak191	36,000000°	20,500000°	18	Yüzey dalgası dispersiyon	Di Luccio ve Pasyanos, 2007	1
Ak192	36,000000°	21,000000°	18	Yüzey dalgası dispersiyon	Di Luccio ve Pasyanos, 2007	1
Ak193	36,000000°	21,500000°	18	Yüzey dalgası dispersiyon	Di Luccio ve Pasyanos, 2007	1
Ak194	36,000000°	22,000000°	18	Yüzey dalgası dispersiyon	Di Luccio ve Pasyanos, 2007	1
Ak195	35,500000°	15,500000°	14	Yüzey dalgası dispersiyon	Di Luccio ve Pasyanos, 2007	1
Ak196	35,500000°	16,000000°	14	Yüzey dalgası dispersiyon	Di Luccio ve Pasyanos, 2007	1
Ak197	35,500000°	16,500000°	14	Yüzey dalgası dispersiyon	Di Luccio ve Pasyanos, 2007	1

Tablo 8.1. (Devamı)

Lokasyon	Enlem	Boylam	Kalınlık (km)	Yöntem	Referans	Hata Oranı (\pm) km
Ak198	35,500000°	19,000000°	14	Yüzey dalgası dispersiyon	Di Luccio ve Pasyanos, 2007	1
Ak199	35,500000°	19,500000°	14,5	Yüzey dalgası dispersiyon	Di Luccio ve Pasyanos, 2007	1
Ak200	35,500000°	20,000000°	15	Yüzey dalgası dispersiyon	Di Luccio ve Pasyanos, 2007	1
Ak201	35,500000°	20,500000°	16	Yüzey dalgası dispersiyon	Di Luccio ve Pasyanos, 2007	1
Ak202	35,500000°	21,000000°	17	Yüzey dalgası dispersiyon	Di Luccio ve Pasyanos, 2007	1
Ak203	35,500000°	21,500000°	18	Yüzey dalgası dispersiyon	Di Luccio ve Pasyanos, 2007	1
Ak204	35,500000°	22,000000°	19	Yüzey dalgası dispersiyon	Di Luccio ve Pasyanos, 2007	1
Ak205	35,000000°	15,500000°	14	Yüzey dalgası dispersiyon	Di Luccio ve Pasyanos, 2007	1
Ak206	35,000000°	16,000000°	14	Yüzey dalgası dispersiyon	Di Luccio ve Pasyanos, 2007	1
Ak207	35,000000°	16,500000°	14	Yüzey dalgası dispersiyon	Di Luccio ve Pasyanos, 2007	1
Ak208	35,000000°	17,000000°	14	Yüzey dalgası dispersiyon	Di Luccio ve Pasyanos, 2007	1
Ak209	35,000000°	17,500000°	14	Yüzey dalgası dispersiyon	Di Luccio ve Pasyanos, 2007	1
Ak210	35,000000°	18,000000°	14	Yüzey dalgası dispersiyon	Di Luccio ve Pasyanos, 2007	1
Ak211	35,000000°	18,500000°	14	Yüzey dalgası dispersiyon	Di Luccio ve Pasyanos, 2007	1
Ak212	35,000000°	19,000000°	14	Yüzey dalgası dispersiyon	Di Luccio ve Pasyanos, 2007	1
Ak213	35,000000°	19,500000°	14	Yüzey dalgası dispersiyon	Di Luccio ve Pasyanos, 2007	1
Ak214	35,000000°	20,000000°	14,5	Yüzey dalgası dispersiyon	Di Luccio ve Pasyanos, 2007	1
Ak215	35,000000°	20,500000°	15,5	Yüzey dalgası dispersiyon	Di Luccio ve Pasyanos, 2007	1
Ak216	35,000000°	21,000000°	16	Yüzey dalgası dispersiyon	Di Luccio ve Pasyanos, 2007	1
Ak217	35,000000°	21,500000°	17,5	Yüzey dalgası dispersiyon	Di Luccio ve Pasyanos, 2007	1
Ak218	35,000000°	22,000000°	18,5	Yüzey dalgası dispersiyon	Di Luccio ve Pasyanos, 2007	1
Ak219	34,500000°	15,500000°	14	Yüzey dalgası dispersiyon	Di Luccio ve Pasyanos, 2007	1
Ak220	34,500000°	16,000000°	14	Yüzey dalgası dispersiyon	Di Luccio ve Pasyanos, 2007	1

Tablo 8.1. (Devamı)

Lokasyon	Enlem	Boylam	Kalınlık (km)	Yöntem	Referans	Hata Oranı (\pm) km
Ak221	34,500000°	16,500000°	14	Yüzey dalgası dispersiyon	Di Luccio ve Pasyanos, 2007	1
Ak222	34,500000°	17,000000°	14	Yüzey dalgası dispersiyon	Di Luccio ve Pasyanos, 2007	1
Ak223	34,500000°	17,500000°	14	Yüzey dalgası dispersiyon	Di Luccio ve Pasyanos, 2007	1
Ak224	34,500000°	18,000000°	14	Yüzey dalgası dispersiyon	Di Luccio ve Pasyanos, 2007	1
Ak226	34,500000°	20,500000°	16	Yüzey dalgası dispersiyon	Di Luccio ve Pasyanos, 2007	1
Ak227	34,500000°	21,000000°	17	Yüzey dalgası dispersiyon	Di Luccio ve Pasyanos, 2007	1
Ak228	34,500000°	21,500000°	18	Yüzey dalgası dispersiyon	Di Luccio ve Pasyanos, 2007	1
Ak229	34,500000°	22,000000°	19	Yüzey dalgası dispersiyon	Di Luccio ve Pasyanos, 2007	1
Ak230	34,000000°	15,500000°	16	Yüzey dalgası dispersiyon	Di Luccio ve Pasyanos, 2007	1
Ak231	34,000000°	16,000000°	14	Yüzey dalgası dispersiyon	Di Luccio ve Pasyanos, 2007	1
Ak232	34,000000°	16,500000°	14	Yüzey dalgası dispersiyon	Di Luccio ve Pasyanos, 2007	1
Ak233	34,000000°	17,000000°	14	Yüzey dalgası dispersiyon	Di Luccio ve Pasyanos, 2007	1
Ak234	34,000000°	17,500000°	14	Yüzey dalgası dispersiyon	Di Luccio ve Pasyanos, 2007	1
Ak235	34,000000°	18,000000°	14	Yüzey dalgası dispersiyon	Di Luccio ve Pasyanos, 2007	1
Ak237	34,000000°	20,500000°	16	Yüzey dalgası dispersiyon	Di Luccio ve Pasyanos, 2007	1
Ak238	34,000000°	21,000000°	17	Yüzey dalgası dispersiyon	Di Luccio ve Pasyanos, 2007	1
Ak239	34,000000°	21,500000°	18	Yüzey dalgası dispersiyon	Di Luccio ve Pasyanos, 2007	1
Ak240	34,000000°	22,000000°	18,5	Yüzey dalgası dispersiyon	Di Luccio ve Pasyanos, 2007	1
Ak241	33,500000°	15,500000°	17	Yüzey dalgası dispersiyon	Di Luccio ve Pasyanos, 2007	1
Ak242	33,500000°	16,000000°	14	Yüzey dalgası dispersiyon	Di Luccio ve Pasyanos, 2007	1
Ak243	33,500000°	16,500000°	14	Yüzey dalgası dispersiyon	Di Luccio ve Pasyanos, 2007	1
Ak244	33,500000°	17,000000°	14	Yüzey dalgası dispersiyon	Di Luccio ve Pasyanos, 2007	1
Ak245	33,500000°	17,500000°	14	Yüzey dalgası dispersiyon	Di Luccio ve Pasyanos, 2007	1

Tablo 8.1. (Devamı)

Lokasyon	Enlem	Boylam	Kalınlık (km)	Yöntem	Referans	Hata Oranı (\pm) km
Ak246	33,500000°	18,000000°	14	Yüzey dalgası dispersiyon	Di Luccio ve Pasyanos, 2007	1
Ak247	33,500000°	18,500000°	14	Yüzey dalgası dispersiyon	Di Luccio ve Pasyanos, 2007	1
Ak248	33,500000°	19,000000°	14	Yüzey dalgası dispersiyon	Di Luccio ve Pasyanos, 2007	1
Ak249	33,500000°	19,500000°	14	Yüzey dalgası dispersiyon	Di Luccio ve Pasyanos, 2007	1
Ak250	33,500000°	20,000000°	15	Yüzey dalgası dispersiyon	Di Luccio ve Pasyanos, 2007	1
Ak251	33,500000°	20,500000°	16	Yüzey dalgası dispersiyon	Di Luccio ve Pasyanos, 2007	1
Ak252	33,500000°	21,000000°	18	Yüzey dalgası dispersiyon	Di Luccio ve Pasyanos, 2007	1
Ak253	33,500000°	21,500000°	18	Yüzey dalgası dispersiyon	Di Luccio ve Pasyanos, 2007	1
Ak254	33,500000°	22,000000°	18	Yüzey dalgası dispersiyon	Di Luccio ve Pasyanos, 2007	1
Ak255	33,000000°	15,500000°	18	Yüzey dalgası dispersiyon	Di Luccio ve Pasyanos, 2007	1
Ak256	33,000000°	16,000000°	16	Yüzey dalgası dispersiyon	Di Luccio ve Pasyanos, 2007	1
Ak257	33,000000°	16,500000°	14,5	Yüzey dalgası dispersiyon	Di Luccio ve Pasyanos, 2007	1
Ak258	33,000000°	17,000000°	14	Yüzey dalgası dispersiyon	Di Luccio ve Pasyanos, 2007	1
Ak259	33,000000°	17,500000°	14	Yüzey dalgası dispersiyon	Di Luccio ve Pasyanos, 2007	1
Ak260	33,000000°	18,000000°	14	Yüzey dalgası dispersiyon	Di Luccio ve Pasyanos, 2007	1
Ak261	33,000000°	18,500000°	14	Yüzey dalgası dispersiyon	Di Luccio ve Pasyanos, 2007	1
Ak262	33,000000°	19,000000°	14	Yüzey dalgası dispersiyon	Di Luccio ve Pasyanos, 2007	1
Ak263	33,000000°	19,500000°	14	Yüzey dalgası dispersiyon	Di Luccio ve Pasyanos, 2007	1
Ak264	33,000000°	20,000000°	15	Yüzey dalgası dispersiyon	Di Luccio ve Pasyanos, 2007	1
Ak265	32,500000°	15,500000°	22	Yüzey dalgası dispersiyon	Di Luccio ve Pasyanos, 2007	1
Ak266	32,500000°	16,000000°	21	Yüzey dalgası dispersiyon	Di Luccio ve Pasyanos, 2007	1
Ak267	32,500000°	16,500000°	21	Yüzey dalgası dispersiyon	Di Luccio ve Pasyanos, 2007	1
Ak268	32,500000°	17,000000°	18,5	Yüzey dalgası dispersiyon	Di Luccio ve Pasyanos, 2007	1

Tablo 8.1. (Devamı)

Lokasyon	Enlem	Boylam	Kalınlık (km)	Yöntem	Referans	Hata Oranı (\pm) km
Ak269	32,500000°	17,500000°	17,5	Yüzey dalgası dispersiyon	Di Luccio ve Pasyanos, 2007	1
Ak270	32,500000°	18,000000°	17	Yüzey dalgası dispersiyon	Di Luccio ve Pasyanos, 2007	1
Ak271	32,500000°	18,500000°	16	Yüzey dalgası dispersiyon	Di Luccio ve Pasyanos, 2007	1
Ak272	32,500000°	19,000000°	16	Yüzey dalgası dispersiyon	Di Luccio ve Pasyanos, 2007	1
Ak273	32,500000°	19,500000°	18	Yüzey dalgası dispersiyon	Di Luccio ve Pasyanos, 2007	1
Ak274	32,500000°	20,000000°	19,5	Yüzey dalgası dispersiyon	Di Luccio ve Pasyanos, 2007	1
Ak275	35,500000°	29,000000°	23	Yüzey dalgası dispersiyon	Di Luccio ve Pasyanos, 2007	1
Ak276	35,500000°	29,500000°	24	Yüzey dalgası dispersiyon	Di Luccio ve Pasyanos, 2007	1
Ak277	35,500000°	30,000000°	25	Yüzey dalgası dispersiyon	Di Luccio ve Pasyanos, 2007	1
Ak278	35,500000°	30,500000°	25	Yüzey dalgası dispersiyon	Di Luccio ve Pasyanos, 2007	1
Ak279	35,500000°	31,000000°	25	Yüzey dalgası dispersiyon	Di Luccio ve Pasyanos, 2007	1
Ak280	35,500000°	31,500000°	26	Yüzey dalgası dispersiyon	Di Luccio ve Pasyanos, 2007	1
Ak281	35,500000°	32,000000°	26	Yüzey dalgası dispersiyon	Di Luccio ve Pasyanos, 2007	1
Ak282	32,000000°	16,000000°	24	Yüzey dalgası dispersiyon	Di Luccio ve Pasyanos, 2007	1
Ak283	32,000000°	16,500000°	23,5	Yüzey dalgası dispersiyon	Di Luccio ve Pasyanos, 2007	1
Ak284	32,000000°	17,000000°	23	Yüzey dalgası dispersiyon	Di Luccio ve Pasyanos, 2007	1
Ak285	32,000000°	17,500000°	22	Yüzey dalgası dispersiyon	Di Luccio ve Pasyanos, 2007	1
Ak286	32,000000°	18,000000°	19	Yüzey dalgası dispersiyon	Di Luccio ve Pasyanos, 2007	1
Ak287	32,000000°	18,500000°	19	Yüzey dalgası dispersiyon	Di Luccio ve Pasyanos, 2007	1
Ak288	32,000000°	19,000000°	19	Yüzey dalgası dispersiyon	Di Luccio ve Pasyanos, 2007	1
Ak289	32,000000°	19,500000°	23,5	Yüzey dalgası dispersiyon	Di Luccio ve Pasyanos, 2007	1
MakDSS1	42,034419°	20,806195°	47	Derin sismik sondaj	Delipetrov vd., 2016	
MakDSS2	42,073135°	20,895512°	46	Derin sismik sondaj	Delipetrov vd., 2016	

Tablo 8.1. (Devamı)

Lokasyon	Enlem	Boylam	Kalınlık (km)	Yöntem	Referans	Hata Oranı (\pm) km
MakDSS3	42,096362°	20,964340°	45	Derin sismik sondaj	Delipetrov vd., 2016	
MakDSS4	42,123250°	21,025255°	44	Derin sismik sondaj	Delipetrov vd., 2016	
MakDSS5	42,142781°	21,070115°	43	Derin sismik sondaj	Delipetrov vd., 2016	
MakDSS6	42,166933°	21,124133°	42	Derin sismik sondaj	Delipetrov vd., 2016	
MakDSS7	42,179012°	21,361611°	38	Derin sismik sondaj	Delipetrov vd., 2016	
MakDSS8	42,222524°	21,464140°	36	Derin sismik sondaj	Delipetrov vd., 2016	
MakDSS9	42,220688°	21,536492°	35	Derin sismik sondaj	Delipetrov vd., 2016	
MakDSS10	42,227524°	21,588164°	34	Derin sismik sondaj	Delipetrov vd., 2016	
MakDSS11	42,223161°	21,650721°	33	Derin sismik sondaj	Delipetrov vd., 2016	
MakDSS12	42,225474°	21,707784°	31	Derin sismik sondaj	Delipetrov vd., 2016	
MakDSS13	42,252431°	21,834967°	31	Derin sismik sondaj	Delipetrov vd., 2016	
MakDSS14	42,268103°	21,917274°	32	Derin sismik sondaj	Delipetrov vd., 2016	
MakDSS15	42,274841°	22,002553°	33	Derin sismik sondaj	Delipetrov vd., 2016	
MakDSS16	42,286319°	22,178996°	35	Derin sismik sondaj	Delipetrov vd., 2016	
MakDSS17	42,288870°	22,285783°	36	Derin sismik sondaj	Delipetrov vd., 2016	
MakDSS18	41,922898°	20,848770°	46	Derin sismik sondaj	Delipetrov vd., 2016	
MakDSS19	41,938465°	20,916215°	45	Derin sismik sondaj	Delipetrov vd., 2016	
MakDSS20	41,944208°	20,970030°	44	Derin sismik sondaj	Delipetrov vd., 2016	
MakDSS21	41,972714°	21,024059°	43	Derin sismik sondaj	Delipetrov vd., 2016	
MakDSS22	41,987007°	21,098677°	42	Derin sismik sondaj	Delipetrov vd., 2016	
MakDSS23	42,002133°	21,182464°	41	Derin sismik sondaj	Delipetrov vd., 2016	
MakDSS24	42,005203°	21,243055°	40	Derin sismik sondaj	Delipetrov vd., 2016	
MakDSS25	42,004941°	21,305608°	39	Derin sismik sondaj	Delipetrov vd., 2016	

Tablo 8.1. (Devamı)

Lokasyon	Enlem	Boylam	Kalınlık (km)	Yöntem	Referans	Hata Oranı (\pm) km
MakDSS26	42,023671°	21,407416°	37	Derin sismik sondaj	Delipetrov vd., 2016	
MakDSS27	42,053721°	21,567362°	35	Derin sismik sondaj	Delipetrov vd., 2016	
MakDSS28	42,067079°	21,638317°	34	Derin sismik sondaj	Delipetrov vd., 2016	
MakDSS29	42,075185°	21,705729°	33	Derin sismik sondaj	Delipetrov vd., 2016	
MakDSS30	42,089697°	21,772310°	31	Derin sismik sondaj	Delipetrov vd., 2016	
MakDSS31	42,106901°	21,937557°	31	Derin sismik sondaj	Delipetrov vd., 2016	
MakDSS32	42,119228°	22,023942°	32	Derin sismik sondaj	Delipetrov vd., 2016	
MakDSS33	42,134787°	22,096324°	33	Derin sismik sondaj	Delipetrov vd., 2016	
MakDSS34	42,155680°	22,258528°	35	Derin sismik sondaj	Delipetrov vd., 2016	
MakDSS35	42,149725°	22,349197°	36	Derin sismik sondaj	Delipetrov vd., 2016	
MakDSS36	42,159519°	22,434855°	37	Derin sismik sondaj	Delipetrov vd., 2016	
MakDSS37	41,632493°	20,636154°	46	Derin sismik sondaj	Delipetrov vd., 2016	
MakDSS38	41,642344°	20,725298°	45	Derin sismik sondaj	Delipetrov vd., 2016	
MakDSS39	41,665058°	20,802515°	44	Derin sismik sondaj	Delipetrov vd., 2016	
MakDSS40	41,674189°	20,872388°	43	Derin sismik sondaj	Delipetrov vd., 2016	
MakDSS41	41,686930°	20,940941°	42	Derin sismik sondaj	Delipetrov vd., 2016	
MakDSS42	41,699989°	21,027724°	41	Derin sismik sondaj	Delipetrov vd., 2016	
MakDSS43	41,714540°	21,120624°	40	Derin sismik sondaj	Delipetrov vd., 2016	
MakDSS44	41,719475°	21,231053°	38	Derin sismik sondaj	Delipetrov vd., 2016	
MakDSS45	41,739100°	21,370442°	36	Derin sismik sondaj	Delipetrov vd., 2016	
MakDSS46	41,762890°	21,610051°	34	Derin sismik sondaj	Delipetrov vd., 2016	
MakDSS47	41,789817°	21,924910°	31	Derin sismik sondaj	Delipetrov vd., 2016	
MakDSS48	41,840830°	22,129025°	31	Derin sismik sondaj	Delipetrov vd., 2016	

Tablo 8.1. (Devamı)

Lokasyon	Enlem	Boylam	Kalınlık (km)	Yöntem	Referans	Hata Oranı (\pm) km
MakDSS49	41,873723°	22,289988°	33	Derin sismik sondaj	Delipetrov vd., 2016	
MakDSS50	41,917748°	22,483987°	36	Derin sismik sondaj	Delipetrov vd., 2016	
MakDSS51	41,948142°	22,598891°	38	Derin sismik sondaj	Delipetrov vd., 2016	
MakDSS52	41,979729°	22,691768°	40	Derin sismik sondaj	Delipetrov vd., 2016	
MakDSS53	41,372240°	20,647959°	43	Derin sismik sondaj	Delipetrov vd., 2016	
MakDSS54	41,389994°	20,830370°	41	Derin sismik sondaj	Delipetrov vd., 2016	
MakDSS55	41,400522°	20,969237°	39	Derin sismik sondaj	Delipetrov vd., 2016	
MakDSS56	41,411908°	21,103649°	37	Derin sismik sondaj	Delipetrov vd., 2016	
MakDSS57	41,441889°	21,393089°	35	Derin sismik sondaj	Delipetrov vd., 2016	
MakDSS58	41,465792°	21,730348°	33	Derin sismik sondaj	Delipetrov vd., 2016	
MakDSS59	41,514814°	22,061432°	31	Derin sismik sondaj	Delipetrov vd., 2016	
MakDSS60	41,556934°	22,402363°	32	Derin sismik sondaj	Delipetrov vd., 2016	
MakDSS61	41,611595°	22,619293°	35	Derin sismik sondaj	Delipetrov vd., 2016	
MakDSS62	41,654381°	22,721769°	37	Derin sismik sondaj	Delipetrov vd., 2016	
MakDSS63	41,712619°	22,863294°	40	Derin sismik sondaj	Delipetrov vd., 2016	
MakDSS64	41,083654°	20,714574°	41	Derin sismik sondaj	Delipetrov vd., 2016	
MakDSS65	41,121572°	20,919017°	39	Derin sismik sondaj	Delipetrov vd., 2016	
MakDSS66	41,166248°	21,173741°	36	Derin sismik sondaj	Delipetrov vd., 2016	
MakDSS67	41,249653°	21,594221°	34	Derin sismik sondaj	Delipetrov vd., 2016	
MakDSS68	41,358070°	22,141073°	31	Derin sismik sondaj	Delipetrov vd., 2016	
MakDSS69	41,376888°	22,216053°	30	Derin sismik sondaj	Delipetrov vd., 2016	
MakDSS70	41,391377°	22,333852°	30	Derin sismik sondaj	Delipetrov vd., 2016	
MakDSS71	41,434484°	22,519903°	32	Derin sismik sondaj	Delipetrov vd., 2016	

Tablo 8.1. (Devamı)

Lokasyon	Enlem	Boylam	Kalınlık (km)	Yöntem	Referans	Hata Oranı (\pm) km
MakDSS72	41,496333°	22,736372°	35	Derin sismik sondaj	Delipetrov vd., 2016	
MakDSS73	40,954164°	21,203552°	37	Derin sismik sondaj	Delipetrov vd., 2016	
MakDSS74	41,039767°	21,637860°	35	Derin sismik sondaj	Delipetrov vd., 2016	
MakDSS75	41,197543°	22,228001°	31	Derin sismik sondaj	Delipetrov vd., 2016	
MakDSS76	41,228844°	22,538230°	30	Derin sismik sondaj	Delipetrov vd., 2016	
MakDSS77	41,304136°	22,694191°	32	Derin sismik sondaj	Delipetrov vd., 2016	
MIB (Kuveyt)	29,803200°	47,338800°	43	alıcı fonksiyonları	Gök vd., 2012	
UMR (Kuveyt)	29,540000°	47,720000°	44	alıcı fonksiyonları	Gök vd., 2012	
DHK (Irak)	36,750000°	42,900000°	42	alıcı fonksiyonları, yüzey dalgaları*	Abdulnaby vd., 2012	2
İranRFY1	32,960000°	47,380000°	52	alıcı fonksiyonları, yüzey dalgaları*	Kalvandi vd., 2016	0,5
İranRFY2	33,202997°	47,817131°	44	alıcı fonksiyonları, yüzey dalgaları*	Kalvandi vd., 2016	0,5
İranRFY3	33,460561°	48,252557°	47	alıcı fonksiyonları, yüzey dalgaları*	Kalvandi vd., 2016	0,5
İranRFY4	33,708008°	48,685645°	58	alıcı fonksiyonları, yüzey dalgaları*	Kalvandi vd., 2016	0,5
İranRFY5	33,964565°	49,128221°	59	alıcı fonksiyonları, yüzey dalgaları*	Kalvandi vd., 2016	0,5
İranRFY6	34,226220°	49,568185°	60	alıcı fonksiyonları, yüzey dalgaları*	Kalvandi vd., 2016	0,5
İranRFY7	34,474671°	50,015161°	57	alıcı fonksiyonları, yüzey dalgaları*	Kalvandi vd., 2016	0,5
İranRFY8	34,731150°	50,468498°	57	alıcı fonksiyonları, yüzey dalgaları*	Kalvandi vd., 2016	0,5
İranRFY9	34,981108°	50,924084°	48	alıcı fonksiyonları, yüzey dalgaları*	Kalvandi vd., 2016	0,5
İranRFY10	35,200000°	51,320000°	42	alıcı fonksiyonları, yüzey dalgaları*	Kalvandi vd., 2016	0,5
BAEgr1 (Birleşik Arap E.)	23,600000°	52,460000°	31	gravite	Ali ve Watts, 2009	
BAEgr2 (Birleşik Arap E.)	23,698493°	52,943269°	31	gravite	Ali ve Watts, 2009	
BAEgr3 (Birleşik Arap E.)	23,795885°	53,417882°	31	gravite	Ali ve Watts, 2009	
BAEgr4 (Birleşik Arap E.)	23,898903°	53,899341°	31	gravite	Ali ve Watts, 2009	

Tablo 8.1. (Devamı)

Lokasyon	Enlem	Boylam	Kalınlık (km)	Yöntem	Referans	Hata Oranı (\pm) km
BAEgr5 (Birleşik Arap E.)	23,992995°	54,378127°	31,5	gravite	Ali ve Watts, 2009	
BAEgr6 (Birleşik Arap E.)	24,086136°	54,858450°	32	gravite	Ali ve Watts, 2009	
İran10	37,000000°	50,000000°	36	alıcı fonksiyonları	Mokhtari vd., 2004	
İran11	28,000000°	53,000000°	46	alıcı fonksiyonları	Mokhtari vd., 2004	
İran12	28,900000°	50,800000°	40	alıcı fonksiyonları	Mokhtari vd., 2004	
PBAYZ1	29,000000°	49,000000°	35	yüzey dalgası	Manaman vd., 2011	2,5
PBAYZ2	29,000000°	50,000000°	37,5	yüzey dalgası	Manaman vd., 2011	2,5
PBAYZ3	28,000000°	49,000000°	37,5	yüzey dalgası	Manaman vd., 2011	2,5
PBAYZ4	28,000000°	51,000000°	37,5	yüzey dalgası	Manaman vd., 2011	2,5
PBAYZ5	27,000000°	50,000000°	36	yüzey dalgası	Manaman vd., 2011	2,5
PBAYZ6	27,000000°	52,000000°	35	yüzey dalgası	Manaman vd., 2011	2,5
PBAYZ7	26,000000°	53,000000°	37,5	yüzey dalgası	Manaman vd., 2011	2,5
PBAYZ8	26,000000°	54,000000°	35	yüzey dalgası	Manaman vd., 2011	2,5
PBAYZ9	26,000000°	55,000000°	32,5	yüzey dalgası	Manaman vd., 2011	2,5
PBAYZ10	25,000000°	52,000000°	37,5	yüzey dalgası	Manaman vd., 2011	2,5
PBAYZ11	25,000000°	53,000000°	35	yüzey dalgası	Manaman vd., 2011	2,5
PBAYZ12	25,000000°	54,000000°	37,5	yüzey dalgası	Manaman vd., 2011	2,5
PBAYZ13	25,000000°	57,000000°	40	yüzey dalgası	Manaman vd., 2011	2,5
PBAYZ14	26,000000°	57,000000°	37,5	yüzey dalgası	Manaman vd., 2011	2,5
PBAYZ15	25,000000°	58,000000°	35	yüzey dalgası	Manaman vd., 2011	2,5
PBAYZ16	25,000000°	59,000000°	32,5	yüzey dalgası	Manaman vd., 2011	2,5
PBAYZ17	25,000000°	60,000000°	30	yüzey dalgası	Manaman vd., 2011	2,5
PBAYZ18	24,000000°	58,000000°	35	yüzey dalgası	Manaman vd., 2011	2,5

Tablo 8.1. (Devamı)

Lokasyon	Enlem	Boylam	Kalınlık (km)	Yöntem	Referans	Hata Oranı (\pm) km
PBAYZ19	24,000000°	59,000000°	32,5	yüzey dalgası	Manaman vd., 2011	2,5
PBAYZ20	24,000000°	60,000000°	30	yüzey dalgası	Manaman vd., 2011	2,5
ARABSK1	24,500000°	45,660000°	42	Sismik Kırılma	Badri, 1991	0,5
ARABSK2	23,240000°	44,520000°	40,5	Sismik Kırılma	Badri, 1991	0,5
AkST1	43,000000°	15,000000°	36	sismik tomografi	Raykova ve Nikolova, 2007	1
AkST2	43,000000°	16,000000°	35	sismik tomografi	Raykova ve Nikolova, 2007	1
AkST3	43,000000°	19,000000°	45	sismik tomografi	Raykova ve Nikolova, 2007	1
AkST4	43,000000°	20,000000°	47	sismik tomografi	Raykova ve Nikolova, 2007	1
AkST5	42,000000°	17,000000°	30	sismik tomografi	Raykova ve Nikolova, 2007	1
AkST6	42,000000°	18,000000°	32	sismik tomografi	Raykova ve Nikolova, 2007	1
AkST7	42,000000°	19,000000°	38	sismik tomografi	Raykova ve Nikolova, 2007	1
AkST8	42,000000°	20,000000°	48	sismik tomografi	Raykova ve Nikolova, 2007	1
AkST9	41,000000°	19,000000°	36	sismik tomografi	Raykova ve Nikolova, 2007	1
AkST10	41,000000°	20,000000°	43	sismik tomografi	Raykova ve Nikolova, 2007	1
AkST11	40,000000°	20,000000°	42	sismik tomografi	Raykova ve Nikolova, 2007	1
ASAO (İran)	34,549000°	50,024000°	50	alıcı fonksiyonları, yüzey dalgaları*	Mochan vd., 2017	2
NASN (İran)	32,799000°	52,808000°	56	alıcı fonksiyonları, yüzey dalgaları*	Mochan vd., 2017	2
Yunan1SK	38,305863°	22,184365°	37	Sismik Kırılma	Zelt vd., 2005	1
Yunan2SK	38,377301°	21,999233°	39,5	Sismik Kırılma	Zelt vd., 2005	1
Yunan3SK	38,455323°	22,413555°	38	Sismik Kırılma	Zelt vd., 2005	1
Yunan4SK	38,393444°	22,666794°	35	Sismik Kırılma	Zelt vd., 2005	1
Yunan5SK	38,272203°	22,812034°	33,5	Sismik Kırılma	Zelt vd., 2005	1
Yunan6SK	38,156960°	23,239801°	31,5	Sismik Kırılma	Zelt vd., 2005	1

Tablo 8.1. (Devamı)

Lokasyon	Enlem	Boylam	Kalınlık (km)	Yöntem	Referans	Hata Oranı (\pm) km
Yunan7SK	38,038352°	22,915919°	26,5	Sismik Kırılma	Zelt vd., 2005	1
Yunan8SK	38,162940°	22,318495°	34	Sismik Kırılma	Zelt vd., 2005	1
KSLM (İç Anadolu)	39,431000°	33,600000°	37,4	alıcı fonksiyonları	Çıvgın ve Kaypak, 2017	0,6
MRKZ (İç Anadolu)	39,949000°	32,970000°	34,5	alıcı fonksiyonları	Çıvgın ve Kaypak, 2017	0,5
OZLU (İç Anadolu)	40,521000°	33,062000°	39,8	alıcı fonksiyonları	Çıvgın ve Kaypak, 2017	0,3
SALI (İç Anadolu)	40,150000°	32,185000°	38,2	alıcı fonksiyonları	Çıvgın ve Kaypak, 2017	1,2
SERE (İç Anadolu)	39,302000°	32,596000°	37,5	alıcı fonksiyonları	Çıvgın ve Kaypak, 2017	0,6
YENİ (İç Anadolu)	40,183000°	33,868000°	40,5	alıcı fonksiyonları	Çıvgın ve Kaypak, 2017	0,4
RmSKY1 (Romanya)	44,377589°	27,233049°	31	Sismik Kırılma	Mocanu vd., 1996	1
RmSKY2 (Romanya)	44,606270°	27,379153°	36	Sismik Kırılma	Mocanu vd., 1996	1
RmSKY3 (Romanya)	44,825517°	27,524398°	36	Sismik Kırılma	Mocanu vd., 1996	1
RmSKY4 (Romanya)	45,047527°	27,675261°	39	Sismik Kırılma	Mocanu vd., 1996	1
RmSKY5 (Romanya)	45,261742°	27,824929°	49	Sismik Kırılma	Mocanu vd., 1996	1
RmSKY6 (Romanya)	45,478954°	27,973011°	46	Sismik Kırılma	Mocanu vd., 1996	1
RmSKY7 (Romanya)	44,627046°	24,080505°	33	Sismik Kırılma	Mocanu vd., 1996	1
RmSKY8 (Romanya)	45,419873°	27,300815°	44	Sismik Kırılma	Mocanu vd., 1996	1
RmSKY9 (Romanya)	45,034483°	26,495417°	35	Sismik Kırılma	Mocanu vd., 1996	1
RmSKY10 (Romanya)	47,500000°	26,000000°	42	Sismik Kırılma	Raileanu vd., 1994	1
RmSKY11 (Romanya)	46,060000°	20,440000°	28	Sismik Kırılma	Raileanu vd., 1994	1
RmSKY12 (Romanya)	45,980000°	20,600000°	27	Sismik Kırılma	Raileanu vd., 1994	1
RmSKY13 (Romanya)	47,600000°	22,300000°	28	Sismik Kırılma	Raileanu vd., 1994	1
RmSKY14 (Romanya)	44,680000°	25,900000°	33	Sismik Kırılma	Raileanu vd., 1994	1
RmSKY15 (Romanya)	44,900000°	26,460000°	35	Sismik Kırılma	Raileanu vd., 1994	1

Tablo 8.1. (Devamı)

Lokasyon	Enlem	Boylam	Kalınlık (km)	Yöntem	Referans	Hata Oranı (\pm) km
RmSKY16 (Romanya)	44,980000°	24,900000°	39	Sismik Kırılma	Raileanu vd., 1994	1
AkAnd1	39,000000°	32,000000°	35	alıcı fonksiyonları	Abgarmi vd., 2017	1
AkAnd2	39,000000°	33,000000°	34	alıcı fonksiyonları	Abgarmi vd., 2017	1
AkAnd3	39,000000°	34,000000°	33	alıcı fonksiyonları	Abgarmi vd., 2017	1
AkAnd4	39,000000°	35,000000°	37	alıcı fonksiyonları	Abgarmi vd., 2017	1
AkAnd5	39,000000°	36,000000°	37	alıcı fonksiyonları	Abgarmi vd., 2017	1
AkAnd6	39,000000°	37,000000°	42	alıcı fonksiyonları	Abgarmi vd., 2017	1
AkAnd7	38,500000°	33,000000°	29	alıcı fonksiyonları	Abgarmi vd., 2017	1
AkAnd8	38,500000°	34,000000°	30	alıcı fonksiyonları	Abgarmi vd., 2017	1
AkAnd9	38,500000°	35,000000°	35	alıcı fonksiyonları	Abgarmi vd., 2017	1
AkAnd10	38,500000°	36,000000°	39	alıcı fonksiyonları	Abgarmi vd., 2017	1
AkAnd11	38,500000°	37,000000°	37	alıcı fonksiyonları	Abgarmi vd., 2017	1
AkAnd12	38,500000°	38,000000°	36	alıcı fonksiyonları	Abgarmi vd., 2017	1
AkAnd13	38,000000°	33,000000°	37	alıcı fonksiyonları	Abgarmi vd., 2017	1
AkAnd14	38,000000°	34,000000°	36	alıcı fonksiyonları	Abgarmi vd., 2017	1
AkAnd15	38,000000°	35,000000°	35	alıcı fonksiyonları	Abgarmi vd., 2017	1
AkAnd16	38,000000°	36,000000°	38	alıcı fonksiyonları	Abgarmi vd., 2017	1
AkAnd17	38,000000°	37,000000°	35	alıcı fonksiyonları	Abgarmi vd., 2017	1
AkAnd18	37,500000°	33,000000°	40	alıcı fonksiyonları	Abgarmi vd., 2017	1
AkAnd19	37,500000°	34,000000°	33	alıcı fonksiyonları	Abgarmi vd., 2017	1
AkAnd20	37,500000°	35,000000°	42	alıcı fonksiyonları	Abgarmi vd., 2017	1
AkAnd21	37,500000°	36,000000°	36	alıcı fonksiyonları	Abgarmi vd., 2017	1
AkAnd22	37,500000°	37,000000°	35	alıcı fonksiyonları	Abgarmi vd., 2017	1

Tablo 8.1. (Devamı)

Lokasyon	Enlem	Boylam	Kalınlık (km)	Yöntem	Referans	Hata Oranı (\pm) km
AkAnd23	37,500000°	38,000000°	30	alıcı fonksiyonları	Abgarmi vd., 2017	1
AkAnd24	37,000000°	33,000000°	40	alıcı fonksiyonları	Abgarmi vd., 2017	1
AkAnd25	37,000000°	34,000000°	38	alıcı fonksiyonları	Abgarmi vd., 2017	1
AkAnd26	37,000000°	35,000000°	33	alıcı fonksiyonları	Abgarmi vd., 2017	1
AkAnd27	37,000000°	36,000000°	31	alıcı fonksiyonları	Abgarmi vd., 2017	1
AkAnd28	37,000000°	37,000000°	31	alıcı fonksiyonları	Abgarmi vd., 2017	1
CAVI (Marmara)	40,201800°	29,837700°	31,4	alıcı fonksiyonları	Tezel vd., 2013	
KRBG (Marmara)	40,393200°	27,297700°	30,9	alıcı fonksiyonları	Tezel vd., 2013	
GEU (Marmara)	40,398000°	26,474200°	35,2	alıcı fonksiyonları	Tezel vd., 2013	
HRTX (Marmara)	40,821700°	29,668000°	42,2	alıcı fonksiyonları	Tezel vd., 2013	
ADNT (Marmara)	40,433200°	29,738300°	32,1	alıcı fonksiyonları	Tezel vd., 2013	

Ek 2: Gmt'le Harita Oluşturmada Kullanılan Kodlar

Şekil 7.1.'deki Moho derinlik haritası oluşturmada kullanılan komutlar;

```

nearneighbor veri13.dat -R -I0.1/0.1 -Gveri13_ort.grd -S350k -N6
psbasemap -R15/60/20/50 -JM20 -B5g5f2.5 -V -K >> 0.2derece.ps
psscale -D9i/3i/15c/1c -Cqwe.cpt -B2:Moho:/:km: -E -O -K >> 0.2derece.ps
grdimage veri14_ort.grd -JM -R -Cqwe.cpt -V -O -K >> 0.2derece.ps
pscoast -JM -R -Df -Na/0.75p/0/0/0 -Lf50/22/38/600 -W0.75p/0/0/0 -V -O -K >>
0.2derece.ps
grdcontour veri14_ort.grd -R -JM -W2/100 -C2 -A+s6 -S4 -V -O -K >> 0.1derece.ps
psxy -R -JM -O -Sc0.1 -Gred veri13.dat >> 0.2derece.ps
ps2raster 0.2derece.ps -A -P -Tg

```

Şekil 7.2.,7.3.,7.4.'deki haritalar için komutlarda nearneighbor komutunda sadece -I değiştirilmiştir. Şekil 7.5.'deki haritada ise -R değiştirilmiştir.

Şekil 7.6.'deki Moho derinlik haritası için kullanılan komutlar;

```

surface veri13.dat -R -V -I0.01 -Gveri14_ort.grd
psbasemap -R15/60/20/50 -JM20 -B5g5f2.5 -V -K >> surface.ps
psscale -D9i/3i/15c/1c -Cqwe.cpt -B2:Moho:/:km: -E -O -K >> surface.ps
grdimage veri14_ort.grd -JM -R -Cqwe.cpt -V -O -K >> surface.ps
pscoast -JM -R -Df -Na/0.75p/0/0/0 -Lf50/22/38/600 -W0.75p/0/0/0 -V -O -K >>
surface.ps
grdcontour veri14_ort.grd -R -JM -W2/100 -C2 -A+s6 -S4 -V -O -K >> surface.ps
psxy -R -JM -O -Sc0.1 -Gred veri13.dat >> surface.ps
ps2raster surface.ps -A -P -Tg

```

Şekil 7.1.'deki Moho derinlik haritası oluşturmada kullanılan komutlar için açıklama kısmı;

nearneighbor veri13.dat -R -I0.1/0.1 -Gveri13_ort.grd -S350k -N6 (En yakın komşu (Nearest-neighbor) gridleme algoritması; -I: örnekleme aralığı, -S: daire yarıçapı)

psbasemap -R15/60/20/50 -JM20 -B5g5f2.5 -V -K >> 0.2derece.ps (Temel çizim alanı oluşturur. -R: Harita sınırlarını belirler, -JM: projeksiyon ve harita eni)

psscale -D9i/3i/15c/1c -Cqwe.cpt -B2:MoHo:/:km: -E -O -K >> 0.2derece.ps (Renkli skala çizer. -C: renk dosyası, -B: skalanın üzerine yazı yazar, -D: haritada skalanın yerini belirleme)

grdimage veri14_ort.grd -JM -R -Cqwe.cpt -V -O -K >> 0.2derece.ps (2-B gridlenmiş veriden resim üretir; -C: renk dosyası)

pscoast -JM -R -Df -Na/0.75p/0/0/0 -Lf50/22/38/600 -W0.75p/0/0/0 -V -O -K >> 0.2derece.ps (Kıyı çizgi haritası oluşturma; -R: Harita sınırı, -JM: projeksiyon ve harita eni, -Df: kıyı verisi çözünürlüğü, -Na: ulusal sınırlar, -Lf: ölçek, -W: kıyı çizgi kalınlığı)

grdcontour veri14_ort.grd -R -JM -W2/100 -C2 -A+s6 -S4 -V -O -K >> 0.2derece.ps (Kontur çizgilerini çizen komut; -C: konturların aralıkları, -S: konturların (verinin değil) yuvarlaklaştırılması, -A: kontur yazısı çeşiti)

psxy -R -JM -O -Sc0.1 -Gred veri13.dat >> 0.2derece.ps (2-B Sembol, poligon ve çizgi çizer (xy).)

ps2raster 0.2derece.ps -A -P -Tg (Oluşturduğun haritadan png formatında resim üretir.)

Şekil 7.6.'daki MoHo derinlik haritasında kullanılan komutlar için açıklama kısmı;

surface veri13.dat -R -V -I0.01 -Gveri14_ort.grd (Yuvarlatma olmadan veriden bir yüzey geçirilerek 0.01° örnekleme gridi oluşturulması)

psbasemap -R15/60/20/50 -JM20 -B5g5f2.5 -V -K >> surface.ps (Temel çizim alanı oluşturur. -R: Harita sınırlarını belirler, -JM: projeksiyon ve harita eni)

psscale -D9i/3i/15c/1c -Cqwe.cpt -B2:Moho:/:km: -E -O -K >> surface.ps (Renkli skala çizer. -C: renk dosyası, -B: skalanın üzerine yazı yazar, -D: haritada skalanın yerini belirleme)

grdimage veri14_ort.grd -JM -R -Cqwe.cpt -V -O -K >> surface.ps (2-B gridlenmiş veriden resim üretir.)

pscoast -JM -R -Df -Na/0.75p/0/0/0 -Lf50/22/38/600 -W0.75p/0/0/0 -V -O -K >> surface.ps (Kıyı çizgi haritası oluşturma; -R: Harita sınırı, -JM: projeksiyon ve harita eni, -Df: kıyı verisi çözünürlüğü, -Na: ulusal sınırlar, -Lf: ölçek, -W: kıyı çizgi kalınlığı)

grdcontour veri14_ort.grd -R -JM -W2/100 -C2 -A+s6 -S4 -V -O -K >> surface.ps (Kontur çizgilerini çizen komut; -C: konturların aralıkları, -S: konturların (verinin değil) yuvarlaklaştırılması, -A: kontur yazısı çeşiti)

psxy -R -JM -O -Sc0.1 -Gred veri13.dat >> surface.ps (2-B Sembol, poligon ve çizgi çizer (xy).)

ps2raster surface.ps -A -P -Tg (Oluşturduğun haritadan .png formatında resim üretir.)

ÖZGEÇMİŞ

Gürbüz Kayhan, 25.03.1992'de İstanbul'da doğdu. İlk, orta ve lise eğitimini İstanbul'da tamamladı. 2010 yılında Gözcübaba Lisesi'nden mezun oldu. 2010 yılında Sakarya Üniversitesi Jeofizik Mühendisliği Bölümü'ne başladı. 2012 yılında Türkiye Petrolleri Anonim Ortaklığı'nda ilk stajını yaptı. 2013 yılında ikinci stajı olan Maden Tetkik ve Arama'da yaptı. 2014 yılında Sakarya Üniversitesi Jeofizik Mühendisliği Bölümü'nü bitirdi. 2015 yılında Sakarya Üniversitesi Jeofizik Mühendisliği Bölümü'nde yüksek lisans eğitimine başladı.